



ΕΘΝΙΚΟ ΜΕΤΣΟΒΙΟ ΠΟΛΥΤΕΧΝΕΙΟ
ΣΧΟΛΗ ΗΛΕΚΤΡΟΛΟΓΩΝ ΜΗΧΑΝΙΚΩΝ ΚΑΙ ΜΗΧΑΝΙΚΩΝ ΥΠΟΛΟΓΙΣΤΩΝ

ΤΟΜΕΑΣ ΤΕΧΝΟΛΟΓΙΑΣ ΠΛΗΡΟΦΟΡΙΚΗΣ ΚΑΙ ΥΠΟΛΟΓΙΣΤΩΝ
ΕΡΓΑΣΤΗΡΙΟ ΥΠΟΛΟΓΙΣΤΙΚΩΝ ΣΥΣΤΗΜΑΤΩΝ

Ενοποιημένη εφαρμογή μετασχηματισμών κώδικα και
δεδομένων για την αντιμετώπιση καθυστερήσεων λόγω
αστοχιών (misses) σε πολυεπίπεδες ιεραρχίες μνήμης
πολυνηματικών αρχιτεκτονικών

ΔΙΠΛΩΜΑΤΙΚΗ ΕΡΓΑΣΙΑ

του

Χάρη Μ. Βώλου

Επιβλέπων: Νεκτάριος Κοζύρης
Επ. Καθηγητής ΕΜΠ

Αθήνα, Ιούλιος 2005



ΕΘΝΙΚΟ ΜΕΤΣΟΒΙΟ ΠΟΛΥΤΕΧΝΕΙΟ
ΣΧΟΛΗ ΗΛΕΚΤΡΟΛΟΓΩΝ ΜΗΧΑΝΙΚΩΝ ΚΑΙ
ΜΗΧΑΝΙΚΩΝ ΥΠΟΛΟΓΙΣΤΩΝ
ΤΟΜΕΑΣ ΤΕΧΝΟΛΟΓΙΑΣ ΠΛΗΡΟΦΟΡΙΚΗΣ ΚΑΙ
ΥΠΟΛΟΓΙΣΤΩΝ
ΕΡΓΑΣΤΗΡΙΟ ΥΠΟΛΟΓΙΣΤΙΚΩΝ ΣΥΣΤΗΜΑΤΩΝ

Ενοποιημένη εφαρμογή μετασχηματισμών κώδικα και
δεδομένων για την αντιμετώπιση καθυστερήσεων λόγω
αστοχιών (misses) σε πολυεπίπεδες ιεραρχίες μνήμης
πολυνηματικών αρχιτεκτονικών

ΔΙΠΛΩΜΑΤΙΚΗ ΕΡΓΑΣΙΑ

του

Χάρη Μ. Βώλου

Επιβλέπων: Νεκτάριος Κοζύρης
Επ. Καθηγητής ΕΜΠ

Εγκρίθηκε από την τριμελή εξεταστική επιτροπή την 11^η Ιουλίου 2005.

.....
Νεκτάριος Κοζύρης
Επ. Καθηγητής ΕΜΠ

.....
Τίμος Σελλής
Καθηγητής ΕΜΠ

.....
Παναγιώτης Τσανάκας
Καθηγητής ΕΜΠ

Αθήνα, Ιούλιος 2005.

.....
Χάρης Μ. Βώλος

Διπλωματούχος Ηλεκτρολόγος Μηχανικός και Μηχανικός Υπολογιστών Ε.Μ.Π.

Copyright ©Χάρης Μ. Βώλος, 2005

Με επιφύλαξη παντός δικαιώματος. All rights reserved.

Απαγορεύεται η αντιγραφή, αποθήκευση και διανομή της παρούσας εργασίας, εξ' ολοκλήρου ή τμήματος αυτής, για εμπορικό σκοπό. Επιτρέπεται η ανατύπωση, αποθήκευση και διανομή για σκοπό μη κερδοσκοπικό, εκπαιδευτικής ή ερευνητικής φύσης, υπό την προϋπόθεση να ναφέρεται η πηγή προέλευσης και να διατηρείται το παρόν μήνυμα. Ερωτήματα που αφορούν τη χρήση της εργασίας για κερδοσκοπικό σκοπό πρέπει να απευθύνονται προς τον συγγραφέα.

Οι απόψεις και τα συμπεράσματα που περιέχονται σε αυτό το έγγραφο εκφράζουν τον συγγραφέα και δεν πρέπει να ερμηνευθεί ότι αντιπροσωπεύουν τις επίσημες θέσεις του Εθνικού Μετσόβιου Πολυτεχνείου.

Περίληψη

Ένα από τα πιο σοβαρά προβλήματα των σημερινών υπολογιστικών συστημάτων είναι το χάσμα επίδοσης μεταξύ μονάδας επεξεργασίας και συστήματος μνήμης. Το πρόβλημα αυτό αντιμετωπίζεται με την ιεράρχηση του συστήματος μνήμης σε πολλαπλά επίπεδα (καταχωρητές, κρυφή μνήμη, εικονική μνήμη), όπου τα δεδομένα ενός επιπέδου αποτελούν υποσύνολο των δεδομένων του αμέσως χαμηλότερου επιπέδου. Αν και η εισαγωγή της ιεραρχίας λύνει σημαντικά το πρόβλημα, η επίδοση μπορεί να αυξηθεί ακόμη περισσότερο όταν τα ίδια τα προγράμματα σχεδιάζονται με στόχο την μέγιστη δυνατή αξιοποίηση της ιεραρχίας μνήμης.

Σκοπός της παρούσας διπλωματικής εργασίας είναι η αξιοποίηση των πολυεπίπεδων ιεραρχιών μνήμης των σύγχρονων υπολογιστικών συστημάτων μέσω της ενιαίας εφαρμογής μετασχηματισμών κώδικα και μετασχηματισμών διατάξεων δεδομένων, οι οποίοι αύξάνουν την τοπικότητα των αναφορών και μειώνουν επομένως τις αστοχίες στα διάφορα επίπεδα. Παρουσιάζουμε μεταξύ άλλων τον μετασχηματισμό πλακόστρωσης (tiling) ο οποίος αποτελεί τον πιο διαδεδομένο μετασχηματισμό κώδικα για την αναδιάταξη των επαναλήψεων σε φωλιασμένους βρόχους με στόχο την αύξηση της τοπικότητας, καθώς και τις διατάξεις ενοτήτων οι οποίες αναδιατάσσουν το χώρο δεδομένων, έτσι ώστε τα δεδομένα να αποθηκεύονται με τη σειρά που αυτά προσπελάνονται από τους tiled κώδικες. Για την δεικτοδότηση των ενοτήτων στηρίζομαστε στον αποδοτικό μηχανισμό δεικτοδότησης MBaLt.

Η μελέτη της αποτελεσματικότητας των μετασχηματισμών, καθώς και του μηχανισμού δεικτοδότηση ενοτήτων, γίνεται μέσω της υλοποίησης διαφόρων εκδοχών του μετροπρογράμματος ‘Παραγοντοποίηση Cholesky’. Τα πραγματικά αποτελέσματα που λαμβάνουμε από την εκτέλεση των εκδοχών του μετροπρογράμματος σε δύο διαφορετικά υπολογιστικά συστήματα δείχνουν ότι η επίδοση αυξάνεται σημαντικά με την ενιαία εφαρμογή της πλακόστρωσης και διατάξεων ενοτήτων με δεικτοδότηση MBaLt. Επιπρόσθετα, τα αναλυτικά αποτελέσματα που λαμβάνονται από την εξομείωση μέσω του εργαλείου SimpleScalar, επιβεβαιώνουν ότι η βελτίωση της επίδοσης οφείλεται στην ελάττωση των αστοχιών κρυφής μνήμης και τον περιορισμό της κατάχρησης TLB.

Τέλος, υλοποιούμε πολυνηματικές εκδοχές του μετροπρογράμματος με στόχο την μελέτη της επίδοσης της ενιαίας εφαρμογής των προαναφερομένων μετασχηματισμών σε ιεραρχίες μνήμης πολυνηματικών αρχιτεκτονικών τύπου SMT. Τα αποτελέσματα που προκύπτουν, αποκαλύπτουν την αδυναμία επίδοσης αυτών των αρχιτεκτονικών κατά την εκτέλεση παράλληλων εκδοχών βελτιστοποιημένων προγραμμάτων που παρουσιάζουν υψηλή παραλληλία σε επίπεδο εντολής.

Λέξεις Κλειδιά: Ιεραρχία Μνήμης, Κρυφή Μνήμη, Αστοχία, Τοπικότητα Αναφορών, Μετασχηματισμός Βρόχων και Δεδομένων, Μετασχηματισμός Πλακόστρωσης (tiling), Διατάξεις Ενοτήτων, Δεικτοδότηση Ενοτήτων MBaLt, Πολυνηματική Αρχιτεκτονική SMT, ‘Παραγοντοποίηση Cholesky’

Abstract

One of the most important problems of modern computer systems is the increasing discrepancy between processor cycle times and main memory access times. One solution to this problem is the use of a multiple level hierarchical memory system (registers, cache memory, virtual memory), where the data of one level is a subset of the data of a lower level. The performance can be further increased, when programs are written in such a way to exploit the existence of a memory hierarchy.

The goal of this diploma thesis is the exploit of the memory hierarchy found in contemporary computer systems, through the unified application of code and data layout transformations. These transformations increase the locality of data references and hence decrease misses in different levels of the memory hierarchy. We present the tiling transformation, which is a widely used loop iteration reordering technique for improving locality of references, and also block data layouts which reorder the data space in the order that is swept by the tiled instruction stream. For the indexing of the blocks we use the MBaLt mechanism, which is an efficient and fast indexing method.

To study the effectiveness of such transformations and also the efficiency of MBaLt, we implement different versions of Cholesky factorization benchmark. Actual experimental results on two different computer systems, using these versions, illustrate that performance is greatly improved when combining tiled code with block data layouts and MBaLt indexing mechanism. Furthermore, analytical simulation results taken using the SimpleScalar tool, verify that our enhanced performance is due to the considerable reduction of cache misses in all levels of memory hierarchy.

Finally, we implement some multithreaded versions of the benchmark to study the effectiveness of the above transformations in the memory hierarchy of simultaneous multithreading (SMT) architecture. The results show the weakness of this architecture to perform well when executing parallel versions of optimized programs with high level of instruction level parallelism.

Keywords: Memory Hierarchy, Cache Memory, Miss, Locality of References, Loop And Data Layout Transformations, Tiling, Block Data Layouts, MBaLt Blocks Indexing, Simultaneous Multithreading (SMT), Cholesky Factorization

Ευχαριστίες

Η παρούσα διπλωματική εργασία πραγματοποιήθηκε στο Εργαστήριο Υπολογιστικών Συστημάτων της Σχολής Ηλεκτρολόγων Μηχανικών και Μηχανικών Υπολογιστών του Εθνικού Μετσοβίου Πολυτεχνείου, υπό την επίβλεψη του Επίκουρου Καθηγητή Νεκτάριου Κοζύρη.

Θα ήθελα κατ' αρχήν να ευχαριστήσω τον καθηγητή μου Νεκτάριο Κοζύρη, τόσο για την εποπτεία του κατά την εκπόνηση της εργασίας μου, όσο και για τη συμβολή του στην διαμόρφωση μου ως μηχανικού μέσα από τις διδασκαλίες του και τη γενικότερη στάση του.

Τις ευχαριστίες μου θα ήθελα να εκφράσω επίσης σε όλα τα μέλη του εργαστηρίου και ιδιαίτερα στην Υποψήφια Διδάκτορα Ευαγγελία Αθανασάκη για τη συνεχή καθοδήγηση και ενθάρρυνση που μου προσέφερε προς ολοκλήρωση της διπλωματικής μου εργασίας.

Τέλος, θα ήθελα να ευχαριστήσω όλους όσους βρίσκονται στο οικογενειακό και φιλικό μου περιβάλλον και κυρίως τους γονείς μου, η κάθε είδους υποστήριξη των οποίων συνετέλεσε τόσο στην περάτωση της διπλωματικής μου εργασίας όσο και στην επιτυχή ολοκλήρωση των προπτυχιακών μου σπουδών.

Περιεχόμενα

0.1	Γενικά	13
0.2	Σκοπός	15
0.3	Οργάνωση-Αντικείμενο της εργασίας	15
1	Αρχιτεκτονική Συστήματος Μνήμης	17
1.1	Βασικές Έννοιες Κρυφής Μνήμης	17
1.1.1	Οργάνωση Κρυφής Μνήμης	18
1.1.2	Εύρεση Ενότητας μέσα στην Κρυφή Μνήμη	19
1.1.3	Αντικατάσταση Ενότητας στην περίπτωση αστοχίας Κρυφής Μνήμης	20
1.1.4	Μηχανισμοί Εγγραφής Ενότητας	21
1.2	Βελτιστοποίηση Επίδοσης Κρυφής Μνήμης	22
1.2.1	Στρατηγικές Υλικού	22
1.2.2	Στρατηγικές Μεταγλωττιστή	23
1.3	Οργάνωση Εικονικής Μνήμης	25
2	Μετασχηματισμοί Βρόχων	27
2.1	Βασικές Έννοιες	27
2.1.1	Φωλιασμένοι Βρόχοι	27
2.1.2	Χώρος Επαναλήψεων	28
2.1.3	Εξαρτήσεις Δεδομένων	29
2.2	Τοπικότητα και Επαναχρησιμοποίηση	32
2.2.1	Διάκριση Τοπικότητας και Επαναχρησιμοποίησης	32
2.2.2	Εύρεση Επαναχρησιμοποίησης	32
2.3	Unimodular Μετασχηματισμοί Βρόχων	33
2.4	Μη Γραμμικοί Μετασχηματισμοί Βρόχων	36
2.5	Μετασχηματισμός Tiling	38
2.5.1	Γενικά	38
2.5.2	Εφαρμόζοντας τον Μετασχηματισμό Tiling	40
3	Μετασχηματισμοί Δεδομένων	45
3.1	Γενικά	45
3.2	Βασικές Έννοιες	46
3.3	Μετασχηματισμοί δεδομένων	47
3.3.1	Ορισμός	47
3.3.2	Εφαρμογή Μετασχηματισμού	47
3.3.3	Ορισμένες Βασικές Μορφές	50

3.3.4	Εγκυρότητα	52
3.4	Ενοποίηση Μετασχηματισμών Βρόχων και Δεδομένων	52
3.4.1	Γενικά	52
3.4.2	Γραμμικές Διατάξεις	52
3.4.3	Διάταξη Ενοτήτων	53
3.5	Η Μέθοδος Διευθυνσιοδότησης MBaLt	54
3.5.1	Διεσταλμένοι Ακέραιοι (Dilated Integers) και Δεικτοδότηση Morton	55
3.5.2	Μια Πρώτη Προσέγγιση	56
3.5.3	Θεωρία Μασκών	57
3.5.4	Υλοποίηση-Σχεδιασμός Κώδικα	58
3.5.5	Ο αλγόριθμος	61
4	Παραγοντοποίηση Cholesky - Επίδοση MBaLt	65
4.1	Γενικά	65
4.2	Σχεδίαση Tiled Μορφής με Γραμμικές Διατάξεις	66
4.3	Σχεδίαση Tiled Μορφής με MBaLt	70
4.4	Πειραματικά Αποτελέσματα	72
4.4.1	Περιβάλλον Εκτέλεσης	72
4.4.2	Χρονικές Μετρήσεις	73
4.4.3	Αποτελέσματα Προσομοίωσης	74
4.5	Συμπεράσματα	75
5	Πολυνηματικές Αρχιτεκτονικές	85
5.1	Γενικά	85
5.2	Πολυνημάτωση	85
5.3	Ταυτόχρονη Πολυνημάτωση (SMT)	86
5.4	Τεχνολογία Hyper-Threading (HT)	88
6	Επίδοση MBaLt σε Ιερ. Μνήμης Πολυν. Αρχ.	91
6.1	Γενικά	91
6.2	Πολυνηματική Παραλληλοποίηση	91
6.3	Πολυνηματική Παραλληλοποίηση Παραγοντοποίησης Cholesky	92
6.3.1	Λεπτοκομμένη Διαμέριση Εργασίας	93
6.3.2	Χοντροκομμένη Διαμέριση Εργασίας	94
6.3.3	Συνδυασμός Χοντροκομμένης και Λεπτοκομμένης Διαμέρισης	95
6.4	Θέματα Υλοποίησης	96
6.4.1	Νήματα POSIX	96
6.4.2	CPU Affinity	96
6.4.3	Μηχανισμοί Συγχρονισμού	97
6.5	Πειραματικά Αποτελέσματα	98
6.5.1	Περιβάλλον Εκτέλεσης	98
6.5.2	Αποτελέσματα	98
6.6	Συμπεράσματα	101

A' Συμπληρωματικά Θέματα	111
A'.1 Εκτίμηση Κόστους Εκτέλεσης Φωλιασμένων Βρόχων	111
A'.1.1 Γενικά	111
A'.1.2 Ομάδες Αναφορών	111
A'.1.3 Κόστος Βρόχου	112
A'.1.4 Εύρεση της Βέλτιστης Δομής	114
B' Πηγαίος Κώδικας	117
B'.1 Πηγαίος Κώδικας Μετροπρογράμματος Cholesky	117
B'.2 Πηγαίος Κώδικας Πολυνηματικών Εκδοχών	125
B'.3 Βοηθητικές Συναρτήσεις	146
B'.3.1 Μεθόδου MBaLt	146
B'.3.2 CPU Affinity	148
B'.3.3 Spin-Locks	148
Βιβλιογραφία	151
Ευρετήριο	153

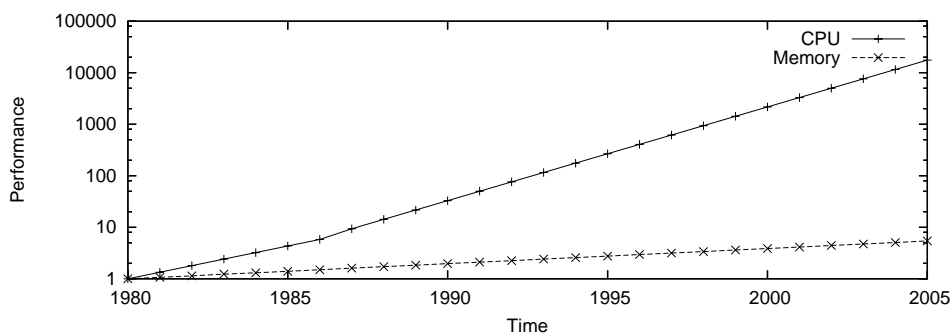
Εισαγωγή

0.1 Γενικά

Η τρομακτική τεχνολογική ανάπτυξη που σημειώθηκε τις τελευταίες δύο με τρεις δεκαετίες στον τομέα των VLSI είχε ως αποτέλεσμα την αύξηση της πυκνότητας ολοκλήρωσης σε μια ψηφίδα, που όπως σωστά πρόβλεψε ο J. Moore στα μέσα της δεκαετίας του 1960, η πυκνότητα αυτή διπλασιάζεται κάθε 18-24 μήνες. Η δυνατότητα αυτή για χρησιμοποίηση περισσότερων τρανζίστορ είχε ως αποτέλεσμα την επινόηση και υλοποίηση σωληνωτών και υπερβαθμωτών αρχιτεκτονικών οι οποίες αύξησαν την επεξεργαστική ισχύ της *κεντρικής μονάδας επεξεργασίας (ΚΜΕ) (CPU)*.

Δυστυχώς όμως η ανάπτυξη αυτή της ΚΜΕ δεν συνοδευόταν και από την αντίστοιχη αύξηση επίδοσης της μονάδας μνήμης, οδηγώντας όπως φαίνεται και στο σχήμα 1 στην δημιουργία χάσματος μεταξύ επίδοσης του επεξεργαστή και της μνήμης ενός σύγχρονου υπολογιστικού συστήματος. Ενώ η επίδοση του επεξεργαστή παρουσιάζει ένα ρυθμό αύξησης 60% ανά έτος, ο ρυθμός αύξησης της επίδοσης της μονάδας μνήμης είναι ιδιαίτερα χαμηλός, μόνο 7%. Φτάσαμε λοιπόν σε ένα σημείο όπου η επίδοση της μονάδας μνήμης είναι 100 μέχρι και 1000 φορές μικρότερη από την επίδοση του επεξεργαστή.

Η μικρή διάρκεια του κύκλου μηχανής σε συνάρτηση με τη μη δραστική μείωση της καθυστέρησης μεταφοράς δεδομένων από την μονάδα μνήμης έχει σαν αποτέλεσμα να χρειάζονται ολοένα και περισσότεροι κύκλοι μηχανής για την μεταφορά αυτή. Η επίδοση της μονάδας μνήμης ενός σύγχρονου υπολογιστικού συστήματος είναι λοιπόν ένας σημαντικός παράγοντας για



Σχήμα 1: Το Χάσμα μεταξύ Επίδοσης της ΚΜΕ και της Μονάδας Μνήμης τα τελευταία 25 χρόνια



Σχήμα 2: Ιεραρχία Μνήμης

τον περιορισμό της συνολικής επίδοσης του.

Μια οικονομική, αλλά ταυτόχρονα και αποδοτική λύση στο πρόβλημα αυτό είναι η χρήση της *Ιεραρχίας Μνήμης* (memory hierarchy). Η ιδέα πίσω από την ιεραρχία μνήμης όπως φαίνεται και στο σχήμα 2 είναι η τοποθέτηση μιας πολύ γρήγορης μικρής μνήμης, η οποία ονομάζεται *κρυφή μνήμη* (cache memory) και είναι τεχνολογίας SRAM, κοντά στον επεξεργαστή η οποία τροφοδοτείται από την μεγαλύτερη αλλά και πιο αργή *κεντρική μνήμη* (main memory) τεχνολογίας DRAM. Η ιεραρχία μνήμης παρέχει με αυτό τον τρόπο ένα σύστημα μνήμης με κόστος σχεδόν τόσο χαμηλό όσο το φθηνότερο επίπεδο μνήμης και ταχύτητα τόσο όση του γρηγορότερου επιπέδου. Σήμερα, ιδιαίτερα διαδεδομένες είναι οι πολυεπίπεδες ιεραρχίες μνήμης οι οποίες δεν περιορίζονται μόνο στο ένα επίπεδο κρυφής μνήμης, αλλά χρησιμοποιούν μέχρι και τρία τέτοια επίπεδα.

Για την επίτευξη βέβαια υψηλής επίδοσης με τη χρήση της ιεραρχίας μνήμης απαιτείται η ελαχιστοποίηση της μεταφοράς δεδομένων από την κεντρική μνήμη προς την κρυφή μνήμη. Η δυνατότητα μιας τέτοιας ελαχιστοποίησης ευτυχώς δικαιολογείται από την *αρχή της τοπικότητας της αναφοράς* (principle of locality of reference), η οποία δηλώνει ότι τα περισσότερα προγράμματα δεν προσπελάνουν ομοιόμορφα τον κώδικα και τα δεδομένα τους, αλλά έχουν την τάση κάποια μέρη να τα επαναπροσπελάνουν και μάλιστα χρονικά κοντά.

Αυξάνοντας λοιπόν την τοπικότητα των αναφορών σε ένα πρόγραμμα επιτυγχάνεται η όσο το δυνατόν καλύτερη εκμετάλλευση της ιεραρχίας μνήμης. Μια τέτοια αύξηση μπορεί να επιτευχθεί με τη χρήση μετασχηματισμών κώδικα¹ και δεδομένων οι οποίοι σκοπό έχουν την αναδιάταξη των αναφορών και τη σειρά αποθήκευσης των δεδομένων στη μνήμη. Τέτοιοι μετασχηματισμοί εφαρμόζονται συνήθως από τον *μεταγλωττιστή* (compiler) και είναι αρκετά αποτελεσματικοί στην περίπτωση εφαρμογών που διαθέτουν *μορφότυπα αναφορών* (reference patterns) που ακολουθούν μια κανονική δομή, όπως τα προγράμματα αριθμητικής ανάλυσης.

¹Η παρούσα εργασία εστιάζεται στην κατηγορία των μετασχηματισμών κώδικα που εφαρμόζονται σε επαναληπτικούς βρόχους και οι οποίοι ονομάζονται *μετασχηματισμοί βρόχων*.

0.2 Σκοπός

Σκοπός της παρούσας διπλωματικής εργασίας είναι η ενιαία εφαρμογή μετασχηματισμών κώδικα και δεδομένων και η μελέτη της αποτελεσματικότητας τους για μείωση των καθυστερήσεων λόγω αστοχιών σε πολυεπίπεδες ιεραρχίες μνήμης σύγχρονων υπολογιστικών συστημάτων, συμπεριλαμβανομένων και πολυνηματικών αρχιτεκτονικών. Μεταξύ άλλων χρησιμοποιείται ο μετασχηματισμός tiling και οι διατάξεις ενοτήτων με αποδοτική δεικτοδότηση MBaLt για την υλοποίηση σειριακών και παράλληλων εκδοχών του μετροπρογράμματος ‘Παραγοντοποίηση Cholesky’, οι οποίες χρησιμοποιούνται για την μελέτη της επίδοσης των μετασχηματισμών.

0.3 Οργάνωση-Αντικείμενο της εργασίας

Στο πρώτο κεφάλαιο παρουσιάζεται η αρχιτεκτονική του συστήματος μνήμης. Χρησιμοποιούμε τον όρο αρχιτεκτονική, διότι εκτός από την παρουσίαση της δομής και της οργάνωσης της ιεραρχίας μνήμης, παρουσιάζουμε και ορισμένες βασικές βελτιστοποιήσεις που εφαρμόζονται τόσο από την πλευρά του υλικού, όσο και από την πλευρά του λογισμικού.

Στη συνέχεια, στο δεύτερο κεφάλαιο αναπτύσσεται το απαραίτητο θεωρητικό και μαθηματικό υπόβαθρο που αφορά τους μετασχηματισμούς βρόχων. Οι φωλιασμένοι βρόχοι αποτελούν τα πιο χρονοβόρα τμήματα σε ένα πρόγραμμα και η βελτιστοποίησή τους επηρεάζει καθοριστικά το συνολικό χρόνο εκτέλεσης. Εδώ, παρουσιάζεται και ο μετασχηματισμός tiling ο οποίος αποτελεί ένα από τους πιο σημαντικούς μετασχηματισμούς βρόχων για αύξηση της τοπικότητας των δεδομένων.

Στο τρίτο κεφάλαιο παρουσιάζεται το γενικό πεδίο γύρω από τους μετασχηματισμούς δεδομένων οι οποίοι προσανατολίζονται στην τροποποίηση των διατάξεων με τις οποίες αποθηκεύονται τα δεδομένα στη μνήμη. Το κεφάλαιο αυτό εστιάζεται στις διατάξεις ενοτήτων και παρουσιάζεται μια αποδοτική μέθοδος [2] για τη δεικτοδότηση των στοιχείων σε τέτοιες διατάξεις.

Στο τέταρτο κεφάλαιο υλοποιούνται διάφορες εκδοχές του μετροπρογράμματος ‘Παραγοντοποίηση Cholesky’ χρησιμοποιώντας μεταξύ άλλων το μετασχηματισμό tiling, γραμμικές διατάξεις και διατάξεις ενοτήτων. Παρουσιάζονται πραγματικές μετρήσεις που λήφθηκαν από την εκτέλεση του μετροπρογράμματος σε δύο διαφορετικά υπολογιστικά συστήματα, καθώς και αποτελέσματα προσομοιώσεων, τα οποία όλα μαζί υποστηρίζουν την αποδοτικότητα της μεθόδου δεικτοδότησης που παρουσιάζεται στο τρίτο κεφάλαιο.

Ακολούθως, στο πέμπτο κεφάλαιο γίνεται μια σύντομη αναφορά γύρω από τις πολυνηματικές αρχιτεκτονικές με έμφαση στην αρχιτεκτονική ταυτόχρονης πολυνημάτωσης SMT, για την οποία παρουσιάζεται μια εμπορική υλοποίησή της, η τεχνολογία Hyper-Threading της Intel.

Τέλος, στο έκτο κεφάλαιο υλοποιείται μια παράλληλη πολυνηματωμένη εκδοχή του μετροπρογράμματος ‘Παραγοντοποίηση Cholesky’ με χρήση tiling και διατάξεων ενοτήτων, για την μελέτη της επίδοσης των διατάξεων και σε αρχιτεκτονικές τύπου SMT. Τα αποτελέσματα τα οποία παρουσιάζονται, προκύπτουν από την εκτέλεση του μετροπρογράμματος σε υπολογιστικό σύστημα με τεχνολογία Hyper-Threading.

Κεφάλαιο 1

Αρχιτεκτονική Συστήματος Μνήμης

1.1 Βασικές Έννοιες Κρυφής Μνήμης

Η κρυφή μνήμη¹ αποτελεί το ένα από δύο βασικά επίπεδα της ιεραρχίας μνήμης. Το άλλο είναι η εικονική μνήμη η οποία θα συζητηθεί στην ενότητα 1.3

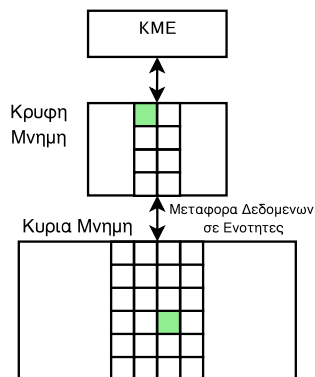
Η κρυφή μνήμη όπως αναφέρθηκε στην Εισαγωγή είναι το επίπεδο της ιεραρχίας μνήμης που βρίσκεται πιο κοντά στον επεξεργαστή και συνήθως στα σύγχρονα υπολογιστικά συστήματα αποτελείται από δύο ή και τρία επίπεδα κρυφής μνήμης τα οποία ονομάζονται L1, L2 και L3. Το πρώτο επίπεδο είναι πάντα ενσωματωμένο στην μονάδα επεξεργασίας, το οποίο συμβαίνει συνήθως και με το δεύτερο επίπεδο στις σύγχρονες ΚΜΕ.

Όπως έχει ήδη αναφερθεί η ιεραρχία μνήμης και ειδικότερα η κρυφή μνήμη στηρίζει την ύπαρξη της στην *αρχή της τοπικότητας της αναφοράς* (principle of locality of reference) η οποία χαρακτηρίζει τον τρόπο που λειτουργούν τα προγράμματα. Η αρχή της τοπικότητας δηλώνει ότι σε ένα πρόγραμμα οι αναφορές στις διευθύνσεις μνήμης δεν είναι τελείως τυχαίες, αλλά αντίθετα τείνουν να είναι τοπικώς περιορισμένες για ορισμένο χρονικό διάστημα. Διακρίνονται δε, δύο είδη τοπικότητας:

- *Χρονική Τοπικότητα* (temporal locality) : Ένα δεδομένο που έχει χρησιμοποιηθεί τείνει να επαναχρησιμοποιηθεί σύντομα.
- *Χωρική Τοπικότητα* (spatial locality) : Δεδομένα που οι διευθύνσεις μνήμης τους είναι κοντά σε ένα δεδομένο που έχει χρησιμοποιηθεί, τείνουν να χρησιμοποιηθούν σύντομα. Για παράδειγμα τα γειτονικά δεδομένα ενός πίνακα.

Όταν ο επεξεργαστής κάνει μια αναφορά στην μνήμη, εξετάζεται αρχικά εάν η ζητούμενη λέξη (word) περιέχεται στην κρυφή μνήμη. Εάν πράγματι η λέξη βρίσκεται στην κρυφή μνήμη, επιτυχία κρυφής μνήμης (cache hit), τότε γίνεται αμέσως προσπέλαση σε αυτή. Εάν, όμως δεν βρεθεί η λέξη στην κρυφή μνήμη, *αστοχία κρυφής μνήμης* (cache miss), τότε διαβάζεται από την κύρια μνήμη και ταυτοχρόνως μεταφέρεται από την κύρια μνήμη στην κρυφή μνήμη μια *ενότητα* (block) λέξεων όπως φαίνεται στο σχήμα 1.1, που περιλαμβάνει και τη λέξη για

¹Το παρών κεφάλαιο στηρίζεται στα [7][8]



Σχήμα 1.1: Μεταφορά δεδομένων σε ενότητες μεταξύ των επιπέδων της ιεραρχίας μνήμης

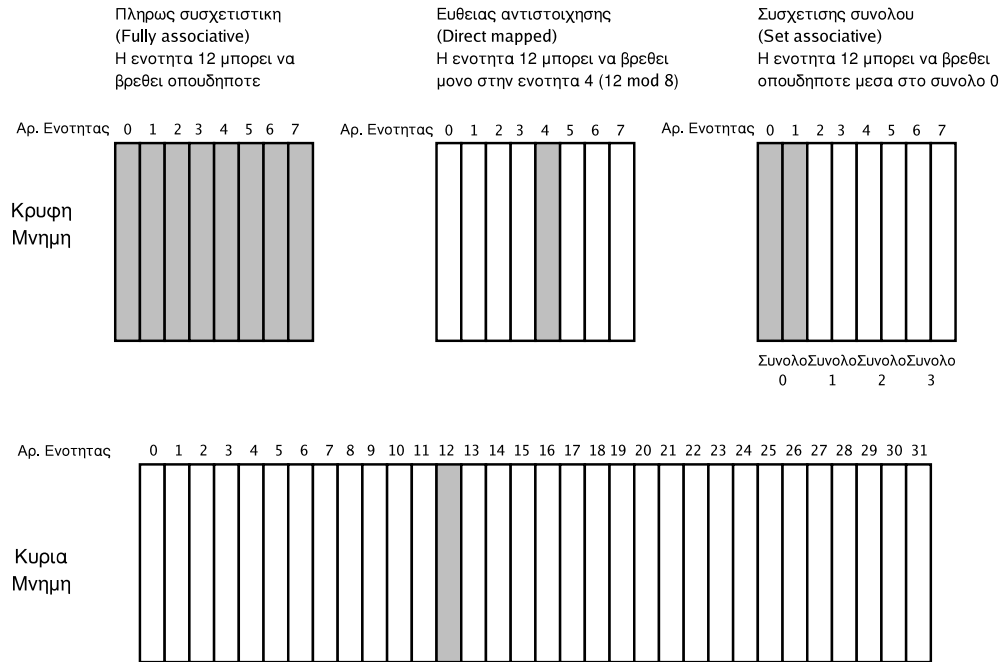
την οποία ξεκίνησε η παρούσα προσπέλαση. Η λέξη για την οποία ξεκίνησε η προσπέλαση μεταφέρεται στην κρυφή μνήμη για την ικανοποίηση τυχόν μελλοντικών αναφορών στην ίδια λέξη, λαμβάνοντας με αυτό τον τρόπο υπόψιν την ιδιότητα της χρονικής τοπικότητας της αναφοράς. Οι επιπλέον λέξεις της ενότητας μεταφέρονται στη γρήγορη μνήμη για να ικανοποιηθούν τυχόν μελλοντικές αναφορές μνήμης, λαμβάνοντας έτσι υπόψιν την ιδιότητα της χωρικής τοπικότητας της αναφοράς.

Ο χρόνος για την επίλυση μιας αστοχίας κρυφής μνήμης εξαρτάται τόσο από την καθυστέρηση απόκρισης (latency) της κύριας μνήμης, όσο και από το εύρος ζώνης (bandwidth) αυτής. Η καθυστέρηση απόκρισης καθορίζει τον χρόνο για την απόκτηση της πρώτης λέξης μιας ενότητας λέξεων. Το δε εύρος ζώνης καθορίζει τον χρόνο για την μεταφορά των υπόλοιπων λέξεων της ενότητας.

1.1.1 Οργάνωση Κρυφής Μνήμης

Όπως φαίνεται και στο σχήμα 1.2 οι περιορισμοί για το που θα τοποθετηθεί μια ενότητα δημιουργούν τρεις βασικές κατηγορίες οργάνωσης κρυφών μνημών:

- *Ευθείας αντιστοίχισης* (direct mapped) : Κάθε ενότητα μπορεί να τοποθετηθεί μόνο σε μια συγκεκριμένη θέση μέσα στην κρυφή μνήμη. Η αντιστοίχιση είναι συνήθως: $(\text{θέση στην κρυφή μνήμη}) = (\text{διεύθυνση ενότητας}) \text{ MOD } (\text{πλήθος ενοτήτων στην κρυφή μνήμη})$
- *Πλήρως συσχετιστική* (fully associative) : Κάθε ενότητα μπορεί να τοποθετηθεί σε οποιαδήποτε θέση μέσα στην κρυφή μνήμη.
- *Συσχέτισης συνόλου* (set associative) : Κάθε ενότητα μπορεί να τοποθετηθεί μόνο σε ένα σύνολο θέσεων της κρυφής μνήμης. Ένα σύνολο είναι μια ομάδα ενοτήτων. Μια ενότητα αρχικά αντιστοιχίζεται σε ένα σύνολο και ακολούθως μπορεί να τοποθετηθεί οπουδήποτε μέσα στο σύνολο. Η αντιστοίχιση είναι συνήθως: $(\text{αρ. συνόλου}) = (\text{διεύθυνση ενότητας}) \text{ MOD } (\text{πλήθος συνόλων στην κρυφή μνήμη})$



Σχήμα 1.2: Παράδειγμα οργάνωσης κρυφής μνήμης

Εάν υπάρχουν n ενότητες σε ένα σύνολο, τότε η κρυφή μνήμη ονομάζεται συσχέτισης συνόλου n δρόμων (n -way set associative).

Την κρυφή μνήμη ευθείας αντιστοίχισης μπορεί να την δει κανείς ως μια κρυφή μνήμη συσχέτισης συνόλου ενός δρόμου, ενώ μια κρυφή μνήμη πλήρως συσχετιστική m ενοτήτων ως μια κρυφή μνήμη συσχέτισης συνόλου m δρόμων.

Τα παραπάνω εφαρμόζονται στο παράδειγμα του σχήματος 1.2 όπου παρουσιάζονται οι τρεις δυνατές οργανώσεις κρυφής μνήμης. Κάθε κρυφή μνήμη έχει χωρητικότητα 8 ενοτήτων, ενώ η κύρια μνήμη 32 ενοτήτων. Στην περίπτωση της πλήρως συσχετιστικής κρυφής μνήμης, η ενότητα 12 όπως φαίνεται και στο σχήμα μπορεί να τοποθετηθεί σε οποιαδήποτε θέση. Αντίθετα στις άλλες δύο οργανώσεις υπάρχει περιορισμός στη θέση. Συγκεκριμένα για την κρυφή μνήμη ευθείας αντιστοίχισης η ενότητα 12 μπορεί να τοποθετηθεί μόνο στη θέση 4 ($12 \bmod 8$), ενώ στην περίπτωση της κρυφής μνήμης συσχέτισης συνόλου δύο δρόμων υπάρχει μια λίγο μεγαλύτερη ελευθερία κι έτσι η ενότητα 12 μπορεί να τοποθετηθεί οπουδήποτε μέσα στο σύνολο 0 ($12 \bmod 4$).

1.1.2 Εύρεση Ενότητας μέσα στην Κρυφή Μνήμη

Στο σχήμα 1.3 φαίνεται πως γίνεται ο διαχωρισμός μιας διεύθυνσης μνήμης στα τρία πεδία: ετικέτα, δείκτης και αριθμός λέξης. Οι κρυφές μνήμες για να μπορούν να εντοπίζουν την ζητούμενη ενότητα αποθηκεύουν μια ετικέτα (tag) για κάθε ενότητα που περιέχουν μαζί με ένα *μπιτ εγκυρότητας* (valid bit) το οποίο δείχνει αν τα δεδομένα που υπάρχουν γι' αυτή τη θέση μνήμης είναι έγκυρα.

Ο εντοπισμός της ζητούμενης ενότητας γίνεται ως εξής:

Διεύθυνση ενότητας		Αριθμός λέξης (block offset)
Ετικετα (tag)	Δεικτης (index)	

Σχήμα 1.3: Τα τρία πεδία μιας διεύθυνσης μνήμης

1. Αρχικά, το πεδίο δείκτης (index) της διεύθυνσης μνήμης χρησιμοποιείται για τον εντοπισμό του συνόλου στο οποίο ανήκει η ζητούμενη ενότητα.
2. Ακολούθως, για κάθε έγκυρη ενότητα που βρίσκεται μέσα στο σύνολο ελέγχεται αν η ετικετα συμπίπτει με το αντίστοιχο τμήμα της διεύθυνσης μνήμης που δίνεται προς επίλυση από την ΚΜΕ. Εάν βρεθεί μια τέτοια ενότητα, τότε αυτό σημαίνει ότι η λέξη με τη δοθείσα διεύθυνση μνήμης υπάρχει μέσα στην κρυφή μνήμη. Ο έλεγχος αυτός κατά κανόνα πρέπει να γίνεται παράλληλα για λόγους ταχύτητας.
3. Τέλος, χρησιμοποιείται ο αριθμός λέξης (block offset) για να επιλεγεί η επιθυμητή λέξη μέσα από την ενότητα.

1.1.3 Αντικατάσταση Ενότητας στην περίπτωση αστοχίας Κρυφής Μνήμης

Στην περίπτωση αστοχίας κρυφής μνήμης, ο ελεγκτής της κρυφής μνήμης πρέπει να αποφασίσει ποια ενότητα θα αντικατασταθεί. Ένα πλεονέκτημα της κρυφής μνήμης με ευθεία αντιστοίχιση είναι η απλότητα της λήψης μιας τέτοιας απόφασης. Από τη στιγμή που μόνο μια ενότητα ελέγχεται, αυτό σημαίνει ότι μόνο αυτή η ενότητα μπορεί να αντικατασταθεί. Αντίθετα, με τους άλλους δύο τύπους οργάνωσης υπάρχουν περισσότερες από μια ενότητες προς αντικατάσταση και αυτό περιπλέκει τη λήψη απόφασης. Σ' αυτές τις περιπτώσεις υπάρχουν τρεις δημοφιλείς στρατηγικές για την επιλογή της ενότητας που θα αντικατασταθεί:

- *Τυχαία επιλογή (random)* : Οι υποψήφιος ενότητες επιλέγονται τυχαία χρησιμοποιώντας κάποια γεννήτρια ψευδοτυχαίων αριθμών.
- *Η πιο πρόσφατα χρησιμοποιούμενη (LRU-least recently used)* : Επιλέγεται η ενότητα στην οποία δεν έγινε αναφορά για το μεγαλύτερο χρονικό διάστημα. Η στρατηγική αυτή στηρίζεται έμμεσα στην αρχή της τοπικότητας της αναφοράς: αφού οι ενότητες που χρησιμοποιήθηκαν πρόσφατα έχουν μεγάλη πιθανότητα να επαναχρησιμοποιηθούν, τότε ένας καλός υποψήφιος για αντικατάσταση είναι η ενότητα που έχει τον περισσότερο χρόνο να χρησιμοποιηθεί.
- *Με βάση το χρόνο παραμονής (FIFO)* : Επιλέγεται η ενότητα με τον περισσότερο χρόνο παραμονής στην κρυφή μνήμη.

Από τις παραπάνω στρατηγικές η πιο απλή στην υλοποίηση της είναι η στρατηγική της τυχαίας επιλογής η οποία και χρησιμοποιείται συχνά. Η στρατηγική της πιο πρόσφατα χρησιμοποιούμενης χρειάζεται την φύλαξη αρκετής πληροφορίας γι' αυτό και το κόστος υλοποίησης της είναι αρκετά υψηλό για κρυφές μνήμες με μεγάλο πλήθος ενότητων. Έτσι στην πράξη υλοποιείται συνήθως κάποια προσέγγιση της στρατηγικής αυτής.

1.1.4 Μηχανισμοί Εγγραφής Ενότητας

Υπάρχουν δύο βασικοί μηχανισμοί για την εγγραφή μιας ενότητας στην κρυφή μνήμη στην περίπτωση επιτυχίας εγγραφής (write hit):

- *Επανεγγραφή* (write-back) : Η πληροφορία εγγράφεται μόνο στην ενότητα της κρυφής μνήμης, ενώ η κύρια μνήμη ενημερώνεται μόνο κατά την απομάκρυνση της ενότητας από την κρυφή μνήμη.
- *Δι-εγγραφή* (write-through) : Η πληροφορία εγγράφεται τόσο στην ενότητα της κρυφής μνήμης, όσο και της κύριας μνήμης.

Για να ελαττωθεί περαιτέρω η συχνότητα εγγραφών στην κύρια μνήμη στην περίπτωση της επανεγγραφής, χρησιμοποιείται το *μπιτ τροποποίησης* (dirty bit). Αυτό το μπιτ κατάστασης δηλώνει κατά πόσο μια ενότητα είναι τροποποιημένη ή μη. Εάν είναι μη τροποποιημένη τότε δεν χρειάζεται η επανεγγραφή της ενότητας στην περίπτωση απομάκρυνση της, αφού τα δεδομένα που περιέχει η κύρια μνήμη και η κρυφή μνήμη για τη συγκεκριμένη ενότητα είναι ταυτόσημα.

Τόσο η μέθοδος της επανεγγραφής, όσο και η μέθοδος της δι-εγγραφής έχουν τα πλεονεκτήματά τους. Τα πλεονεκτήματα της επανεγγραφής είναι ότι οι εγγραφές πραγματοποιούνται με την ταχύτητα της κρυφής μνήμης. Επίσης πολλές εγγραφές στην ίδια ενότητα ανάγονται μόνο σε μια ενημέρωση της κύριας μνήμης, χρησιμοποιώντας με αυτό τον τρόπο συνολικά λιγότερο εύρος ζώνης κύριας μνήμης.

Η μέθοδος της δι-εγγραφής είναι ευκολότερη στην υλοποίηση της. Επίσης με την δι-εγγραφή εγγυάτε ότι το αμέσως κατώτερο επίπεδο της ιεραρχίας έχει πάντα το πιο πρόσφατο αντίγραφο, κάτι το οποίο απλοποιεί την συνάφεια δεδομένων. Βέβαια με την δι-εγγραφή υπάρχει αυξημένη μετακίνηση δεδομένων προς την κύρια μνήμη, συνεπάγοντας χρησιμοποίηση μεγαλύτερου εύρους ζώνης.

Στην περίπτωση *αστοχίας εγγραφής* (write miss) υπάρχουν δύο δυνατές επιλογές:

- *Εγγραφή με παραχώρηση* (write allocate) : Παραχωρείται χώρος από την κρυφή μνήμη, η ενότητα επομένως φορτώνεται από την κύρια μνήμη στην κρυφή και στη συνέχεια ακολουθούνται οι ενέργειες για επιτυχία εγγραφής που αναφέρονται παραπάνω.
- *Εγγραφή χωρίς παραχώρηση* (No-write allocate) : Δεν παραχωρείται κάποιος χώρος από την κρυφή μνήμη και επομένως οι μετατροπές δεδομένων γίνονται απευθείας στην κύρια μνήμη.

Συνήθως η επανεγγραφή συνδυάζεται με εγγραφή με παραχώρηση και η δι-εγγραφή με εγγραφή χωρίς παραχώρηση.

Οι Τρεις Κατηγορίες αστοχιών Κρυφής Μνήμης

Οι αστοχίες κρυφής μνήμης μπορούν να διαχωρισθούν σε τρεις κατηγορίες:

- *Αστοχίες Υποχρεωτικές* (Compulsory misses): Είναι οι αστοχίες κρυφής μνήμης που προκαλούνται από την πρώτη πρόσβαση σε μια ενότητα που δεν τοποθετήθηκε ποτέ στην κρυφή μνήμη.

- *Αστοχίες Χωρητικότητας* (Capacity misses): Είναι οι αστοχίες κρυφής μνήμης που προκαλούνται όταν η κρυφή μνήμη δεν μπορεί να περιέχει όλες τις ενότητες που χρειάζονται κατά την εκτέλεση ενός προγράμματος.
- *Αστοχίες Σύγκρουσης* (Conflict misses): Είναι οι αστοχίες κρυφής μνήμης που εμφανίζονται στις κρυφές μνήμες συσχέτισης συνόλου ή ευθείας αντιστοίχισης όταν πολλαπλές ενότητες ανταγωνίζονται για το ίδιο σύνολο. Εναλλακτικά, οι αστοχίες σύγκρουσης είναι οι αστοχίες μιας κρυφής μνήμης συσχέτισης συνόλου ή ευθείας αντιστοίχισης κρυφής μνήμης που εξαλείφονται με τη χρήση μιας πλήρους συσχετιστικής κρυφής μνήμης. Οι αστοχίες σύγκρουσης περαιτέρω χωρίζονται σε δύο κατηγορίες: στις συγκρούσεις μεταξύ διαφορετικών μεταβλητών. (cross-interference) και στις συγκρούσεις μεταξύ στοιχείων του ίδιου πίνακα (self-interference).

1.2 Βελτιστοποίηση Επίδοσης Κρυφής Μνήμης

Για την βελτιστοποίηση της επίδοσης της κρυφής μνήμης οι ερευνητές επικεντρώθηκαν στην μείωση των τριων συνιστωσών που επηρεάζουν τον μέσο χρόνο πρόσβασης των δεδομένων στη μνήμη: την χρονική επιβάρυνση από μια αστοχία κρυφής μνήμης λόγω μεταφοράς δεδομένων από το χαμηλότερο επίπεδο της ιεραρχίας μνήμης, το ρυθμό αστοχιών κρυφής μνήμης και το χρόνο προσπέλασης κρυφής μνήμης. Το πρόβλημα προσεγγίζεται τόσο από την πλευρά του υλικού, όσο και από την πλευρά του λογισμικού μέσω των μεταγλωττιστών.

1.2.1 Στρατηγικές Υλικού

Μια μέθοδος για την μείωση της χρονικής επιβάρυνσης από μια αστοχία μνήμης είναι μέσω της απομόνωσης των αναφορών προς τη μνήμη. Η χρήση *απομονωτή εγγραφής* (write buffer) εφαρμόζεται για την απομόνωση των αναφορών εγγραφής. Χρησιμοποιώντας απομονωτές εγγραφής, ο επεξεργαστής δεν χρειάζεται να περιμένει την συμπλήρωση της εγγραφής. Αντίθετα, απλώς εκτελεί την εγγραφή στέλνοντας την στον απομονωτή, το οποίο γίνεται μέσα σ' ένα κύκλο μηχανής. Το πλεονέκτημα που προκύπτει από τη χρήση ενός απομονωτή εγγραφής δεν είναι μόνο ότι ο επεξεργαστής δεν μπλοκάρεται κατά την εκτέλεση της εγγραφής, αλλά και το ότι μειώνεται η συμφόρηση στον διάδρομο του συστήματος καθυστερώντας την εγγραφή μέχρι να βρεθεί ένας κενός κύκλος διαδρόμου.

Στους σύγχρονους υπολογιστές τύπου αγωγού που υποστηρίζουν εκτέλεση εντολών *εκτός σειράς* (out-of-order) ή σε *πολυνηματικές* (multithreading) αρχιτεκτονικές όπου γίνεται *μεταγωγή* (switching) μεταξύ *νημάτων*, ο επεξεργαστής δεν χρειάζεται να μπλοκάρεται αναμένοντας την επίλυση μιας αστοχίας κρυφής μνήμης, αλλά μπορεί να συνεχίσει με την εκτέλεση άλλων ανεξάρτητων εντολών μέχρι την ολοκλήρωση της επίλυσης. Σε τέτοια μηχανήματα είναι απαραίτητη η χρήση *κρυφής μνήμης χωρίς - μπλοκάρισμα* (non-blocking cache). Μια τέτοια κρυφή μνήμη μπορεί να εξυπηρετήσει μια νέα αναφορά μνήμης, ενώ ταυτόχρονα επεξεργάζεται την προηγούμενη αστοχία, κρύβοντας έτσι το χρόνο που χρειάζεται η επίλυση της αστοχίας. Οι σύγχρονες κρυφές μνήμες αυτού του τύπου επιτρέπουν δε, την εκκρεμότητα αρκετών αστοχιών.

Για την μείωση του ρυθμού αστοχιών εξαιρετικά ωφέλιμες είναι βέβαια οι κρυφές μνήμες με μεγάλο μέγεθος ή με ψηλό βαθμό συσχέτισης. Ένας πρακτικός κανόνας λέει ότι οι κρυφές

μνήμες ευθείας αντιστοίχισης μεγέθους N έχουν τον ίδιο ρυθμό αστοχιών με τις κρυφές μνήμες συσχέτισης συνόλου δύο δρόμων μεγέθους $N/2$.

Δύο τεχνικές με τις οποίες επιτυγχάνεται τόσο η μείωση της χρονικής επιβάρυνσης λόγω αστοχίας, όσο και η μείωση του ρυθμού αστοχιών είναι το hardware prefetching και η χρήση κρυφής μνήμης θυμάτων. Η τεχνική του hardware prefetching, στηρίζεται κι αυτή στη κρυφή μνήμη χωρίς - μπλοκάρισμα. Στην τεχνική αυτή γίνονται αναφορές σε δεδομένα πριν αυτά χρειαστούν από τον επεξεργαστή, έτσι ώστε μέχρι ο επεξεργαστής τα χρειαστεί, να έχουν ήδη επιλυθεί οι οποιεσδήποτε αστοχίες κρυφής μνήμης που προέκυψαν από τις αναφορές αυτές. Βέβαια για την καλή απόδοση αυτής της τεχνικής, πρέπει να γίνει νωρίς η σωστή πρόβλεψη των δεδομένων που θα χρειαστεί ο επεξεργαστής το οποίο είναι αρκετά πολύπλοκο να γίνει με μεγάλη ακρίβεια από το υλικό. Γι' αυτό και το prefetching των εντολών μπορεί να καθοδηγείται από τον μεταγλωττιστή (compiler prefetching), ο οποίος έχει τη δυνατότητα της ανάλυσης του προγράμματος και ακολούθως να προσθέσει σε κατάλληλα σημεία εντολές για το prefetching δεδομένων τα οποία θα χρειαστούν πιθανές μελλοντικές αναφορές.

Στην στρατηγική χρήσης κρυφής μνήμης θυμάτων (victim cache) χρησιμοποιείται μια επιπλέον μικρή πλήρως συσχετιστική κρυφή μνήμη η οποία βρίσκεται μεταξύ της κρυφής μνήμης και του επόμενου κατώτερου επιπέδου της ιεραρχίας μνήμης. Αυτή η επιπλέον κρυφή μνήμη περιέχει μόνο τις ενότητες θύματα οι οποίες απομακρύνθηκαν από την κρυφή μνήμη λόγω αστοχίας. Η κρυφή μνήμη θυμάτων ελέγχεται στην περίπτωση αστοχίας εάν περιέχει τα απαιτούμενα δεδομένα, πριν αυτά αναζητηθούν στο επόμενο επίπεδο, κι αν όντως βρεθούν μέσα σε αυτή, τότε τα δεδομένα των δύο κρυφών μνημών ανταλλάσσονται.

Η μείωση του χρόνου προσπέλασης κρυφής μνήμης επιτυγχάνεται με τη χρήση μικρών κι απλών κρυφών μνημών. Στις κρυφές μνήμες ξοδεύεται αρκετός χρόνος για την εύρεση της υποψήφιας ενότητας μέσω του δείκτη, κι ακολούθως για τη σύγκριση των ετικετών. Επομένως σε μια κρυφή μνήμη με μικρό μέγεθος, ο χρόνος εύρεσης της υποψήφιας ενότητας είναι και πιο μικρός. Επίσης η απλή σχεδίαση της κρυφής μνήμης πλεονεκτηεί, αφού για την έρευση της ενότητας στις κρυφές μνήμες συσχέτισης συνόλου χρειάζεται πιο πολύπλοκο υλικό, που συνεπάγεται περισσότερο χρόνο. Επιπρόσθετα, οι κρυφές μνήμες ευθείας αντιστοίχισης πλεονεκτούν και λόγω του ότι είναι δυνατή η επικάλυψη της σύγκρισης της ετικέτας με την ταυτόχρονη αποστολή των δεδομένων προς τον επεξεργαστή. Εάν η σύγκριση προκύψει λανθασμένη, τότε ο επεξεργαστής απλώς απορρίπτει τα δεδομένα αυτά. Τέλος η μικρή κι απλή κρυφή μνήμη τοποθετείται στην ίδια ψηφίδα με την ΚΜΕ, μικραίνοντας με αυτό τον τρόπο το χρόνο μεταφοράς δεδομένων μεταξύ επεξεργαστή και κρυφής μνήμης.

Ο χρόνος μετάφρασης των εικονικών διευθύνσεων στις φυσικές προκειμένου να κληθούν τα δεδομένα από τη μνήμη μπορεί να αποφευχθεί, αν η κρυφή μνήμη που χρησιμοποιείται είναι εικονική. Από τη στιγμή που οι επιτυχίες μνήμης είναι πιο συχνές από τις αστοχίες, είναι προτιμότερο η διευθυνσιοδότηση της κρυφής μνήμης να είναι εικονική, οπότε θα απαιτείται αντιστοίχιση με τις φυσικές διευθύνσεις μόνο στην περίπτωση που πρέπει να γίνει επίλυση της αστοχίας με ανάτρεξη στην κύρια μνήμη. Κάθε φορά όμως που ξεκινάει η εκτέλεση ενός προγράμματος απαιτείται η φόρτωση της κρυφής μνήμης, το οποίο βέβαια επιβαρύνει τον συνολικό χρόνο εκτέλεσης.

1.2.2 Στρατηγικές Μεταγλωττιστή

Η αποδοτικότητα όλων των προηγούμενων μηχανισμών εξαρτάται από την ικανότητα των μεταγλωττιστών να μετασχηματίζουν την δομή των προγραμμάτων (κώδικα και δεδομένα)

προς εκτέλεση, έτσι ώστε να αξιοποιούνται πλήρως οι δυνατότητες και τα πλεονεκτήματα που παρέχουν οι μηχανισμοί αυτοί, επιτυγχάνοντας με αυτό υψηλή επίδοση. Ο μεταγλωττιστής καλείται να βρει τη μέγιστη *παραλληλία στο επίπεδο εντολής* (ILP - instruction level parallelism) για να τροφοδοτεί τους πόρους της μηχανής, κι επίσης να μετασχηματίσει κατάλληλα το πρόγραμμα έτσι ώστε να επιτύχει το μέγιστο δυνατό βαθμό τοπικότητας αξιοποιώντας την ιεραρχία μνήμης.

Κατά την βελτιστοποίηση ενός προγράμματος, το μεγαλύτερο κέρδος προκύπτει από τη βελτιστοποίηση των τμημάτων του προγράμματος που χρειάζονται το μεγαλύτερο χρόνο για να διεκπεραιωθούν. Οι επαναληπτικοί βρόχοι, οι οποίοι περιέχουν μεταβλητές πολυδιάστατων πινάκων, είναι τέτοια τμήματα που προσφέρονται για βελτιστοποίηση και οι οποίοι γι' αυτό το λόγο τυγχάνουν μεγάλης προσοχής από την ερευνητική κοινότητα.

Οι μετασχηματισμοί που μπορεί να εφαρμόσει ο μεταγλωττιστής για την βελτιστοποίηση ενός προγράμματος χωρίζονται σε δύο κατηγορίες:

- *Μετασχηματισμοί Βρόχων* (loop transformations) : Είναι μια μορφή μετασχηματισμών κώδικα οι οποίοι σκοπό έχουν την ελάττωση του πλήθους εντολών προς εκτέλεση ή/και την αλλαγή της σειράς εκτέλεσης αυτών.
- *Μετασχηματισμοί Δεδομένων* (data transformations) : Σκοπό έχουν την αναδιοργάνωση της διάταξης των δεδομένων με την οποία αυτά αποθηκεύονται στην μνήμη. Είναι αποτελεσματικοί για την ελάττωση των αστοχιών κρυφής μνήμης λόγω σύγκρουσης, cross-interference και self-interference. Συνήθως συνδυάζονται με τους μετασχηματισμούς βρόχους για να δώσουν την βέλτιστη δυνατή επίδοση.

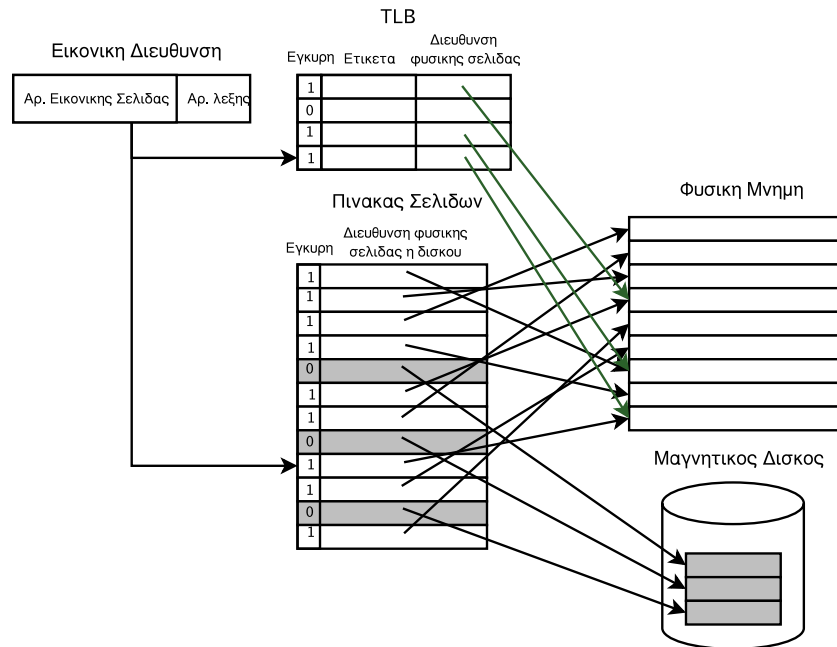
Οι μετασχηματισμοί βρόχων, οι οποίοι μπορούν και να συνδυαστούν[14] μεταξύ τους για περισσότερη βελτιστοποίηση, μπορούν να χωριστούν σε δύο κατηγορίες:

- Σε αυτούς που σκοπό έχουν την βελτίωση της παραλληλίας στο επίπεδο εντολής: *ξεδίπλωμα εσωτερικότερου βρόχου* (inner unrolling), *software pipelining*.
- Σε αυτούς που σκοπό έχουν την βελτίωση της τοπικότητας των δεδομένων: *μετάθεση βρόχων* (loop permutation), *διάσπαση βρόχου* (loop fission), *συγχώνευση βρόχων* (loop fusion), *scalar replacement* (αλλά στο επίπεδο των καταχωρητών), *πλακόστρωση* (tiling) .

Ο πιο δημοφιλής μετασχηματισμός είναι ο μετασχηματισμός tiling, ο οποίος έχει κάποιες ενδιαφέρουσες ιδιότητες:

- Βελτιώνει την παραλληλία στο επίπεδο εντολής, όταν εφαρμοσθεί στο επίπεδο καταχωρητών.
- Εκμεταλλεύεται την επαναχρησιμοποίηση δεδομένων σε διάφορες διαστάσεις του *χώρου επαναλήψεων* (iteration space).
- Βελτιώνει ταυτόχρονα την τοπικότητα των δεδομένων σε διάφορα επίπεδα της ιεραρχίας μνήμης.

Οι παραπάνω μετασχηματισμοί βρόχων παρουσιάζονται με μεγαλύτερη λεπτομέρεια στο κεφάλαιο 2, όπου επίσης παρουσιάζεται η μαθηματική θεωρία γύρω από τους *φωλιασμένους βρόχους* (nested loops) και τους μετασχηματισμούς βρόχων. Η προσοχή μας όμως εστιάζεται στην ενιαία εφαρμογή και μελέτη των μετασχηματισμών δεδομένων με τους μετασχηματισμούς βρόχων και ξεκινάει από το κεφάλαιο 3.



Σχήμα 1.4: Παράδειγμα μιας τυπικής οργάνωσης Εικονικής Μνήμης

1.3 Οργάνωση Εικονικής Μνήμης

Όπως η κρυφή μνήμη λειτουργεί ως ένας ενδιαμέσος γρήγορος αποθηκευτικός χώρος μεταξύ επεξεργαστή και κύριας μνήμης, έτσι και η κύρια μνήμη μπορεί να λειτουργήσει ως ένας ενδιαμέσος χώρος μεταξύ κρυφής μνήμης και μαγνητικού δίσκου. Αυτή η τεχνική ονομάζεται *εικονική μνήμη* (virtual memory) και έχει δύο σημαντικά πλεονεκτήματα: επιτρέπει την κοινή χρήση της μνήμης από διάφορα προγράμματα με αποδοτικό και ασφαλή τρόπο, και απαλλάσσει τον προγραμματιστή από το βάρος της μικρής και περιορισμένης κύριας μνήμης.

Με την εικονική μνήμη κάθε πρόγραμμα έχει το δικό του εικονικό πεδίο διευθύνσεων (virtual address space), δηλαδή ένα ξεχωριστό χώρο εικονικών θέσεων μνήμης προσβάσιμο μόνο από αυτό το πρόγραμμα. Οι δε θέσεις αυτές αντιστοιχίζονται από τον μηχανισμό εικονικής μνήμης σε πραγματικές φυσικές θέσεις μνήμης. Έχοντας λοιπόν αυτόνομα πεδία διευθύνσεων, επιτυγχάνεται η απομόνωση του κάθε προγράμματος, αφού κάθε πρόγραμμα γνωρίζει κι έχει πρόσβαση μόνο στο δικό του χώρο διευθύνσεων. Επίσης ο εικονικός χώρος διευθύνσεων δεν περιορίζεται από το μικρό μέγεθος της φυσικής κύριας μνήμης, παρέχοντας με αυτό τον τρόπο σε κάθε πρόγραμμα ένα πολύ μεγάλο χώρο διευθύνσεων.

Ο χώρος των εικονικών διευθύνσεων μνήμης χωρίζεται σε ένα αριθμό από ίσα και συνεχόμενα μέρη, τα οποία αναφέρονται ως *σελίδες* (pages). Στα συστήματα που διαθέτουν εικονική μνήμη η ΚΜΕ παράγει διευθύνσεις εικονικής μνήμης οι οποίες μεταφράζονται με βάση ένα πίνακα σελίδων στην αντίστοιχη φυσική διεύθυνση η οποία χρησιμοποιείται για την πρόσβαση στην κύρια μνήμη.

Όπως φαίνεται και στο σχήμα 1.4, η εικονική διεύθυνση χωρίζεται σε δύο τμήματα: τον *αριθμό εικονικής σελίδας* (virtual page number) και τον *αριθμό λέξης* (page offset). Ο αριθ-

μός εικονικής σελίδας μεταφράζεται με βάση των πίνακα σελίδων στον αριθμό της αντίστοιχης φυσικής σελίδας και αποτελεί το άνω μέρος της φυσικής διεύθυνσης. Ο δε *αριθμός λέξης* (page offset) αποτελεί το κάτω μέρος της φυσικής διεύθυνσης και εντοπίζει την ζητούμενη λέξη μέσα στη φυσική σελίδα.

Επειδή ο πίνακας σελίδων βρίσκεται αποθηκευμένος στην κύρια μνήμη, αυτό συνεπάγεται ότι κάθε φορά που θα πρέπει να μεταφραστεί μια εικονική διεύθυνση μνήμης θα πρέπει να γίνει πρόσβαση της κύριας μνήμης δύο φορές: μία φορά για την εύρεση της αντιστοίχισης και μία για την εύρεση της λέξης. Για την αποφυγή της πρώτης πρόσβασης και τη μείωση επομένως του χρόνου μετάφρασης χρησιμοποιείται μια κρυφή μνήμη η οποία ονομάζεται *προσωρινός καταχωρητής μετάφρασης* (TLB - translation look-aside buffer), και περιέχει ορισμένες καταχωρήσεις του πίνακα σελίδων. Και πάλι βάση της αρχής της τοπικότητας της αναφοράς, αποθηκεύονται οι πιο πρόσφατες αντιστοιχίσεις σελίδων.

Έτσι, όταν ο επεξεργαστής ζητήσει μια διεύθυνση εικονικής μνήμης ελέγχεται πρώτα ο TLB κι αν βρεθεί μια έγκυρη καταχώρηση (*επιτυχία TLB*) της οποίας η ετικέτα συμπίπτει με τον αριθμό της εικονικής σελίδας, τότε χρησιμοποιείται ο αριθμός φυσικής σελίδας που δίνει ο TLB. Αντίθετα, αν δεν βρεθεί κάποια καταχώρηση (*αστοχία TLB*) τότε η μετάφραση γίνεται μέσω του πίνακα σελίδων.

Όταν ο ρυθμός αστοχιών ενός επιπέδου της ιεραρχίας μνήμης είναι αρκετά υψηλός τότε λέμε ότι υπάρχει *υπερχείληση* (thrash) του επιπέδου αυτού. Στην περίπτωση της εικονικής μνήμης το πρόβλημα της υπερχειλήσης είναι οξύτερο απ' ό,τι σ' άλλα επίπεδα, κυρίως λόγω του υψηλού κόστους το οποίο χαρακτηρίζει τη μεταφορά μιας σελίδας από το δίσκο στην κύρια μνήμη. Επίσης, η υπερχειλήση TLB (TLB thrashing) είναι κι αυτή αρκετά δαπανηρή, λόγω του ότι καταναλώνεται αρκετό εύρος ζώνης και εισάγονται μεγάλες χρονικές καθυστερήσεις για την μετάφραση των εικονικών διευθύνσεων σε φυσικές.

Κεφάλαιο 2

Μετασχηματισμοί Βρόχων

2.1 Βασικές Έννοιες

2.1.1 Φωλιασμένοι Βρόχοι

Ένα σύστημα τέλεια φωλιασμένων βρόχων (perfectly nested loops) έχει την ακόλουθη μορφή:

```
for (i1=lb1; i1<=ub1; i1++)
  for (i2=lb2; i2<=ub2; i2++)
    ...
    for (in=lb_n; in<=ub_n; in++) {
      /* loop body */
    }
```

, δηλαδή όλες οι εντολές που εκτελούνται βρίσκονται στον εσωτερικότερο βρόχο. Τα όρια των βρόχων έχουν την ακόλουθη μορφή:

$$lb_r = \max(l_{r,0}, l_{r,1}, l_{r,2}, \dots) \quad ub_r = \max(u_{r,0}, u_{r,1}, u_{r,2}, \dots)$$

και τα $l'_{r,j}$ και $u'_{r,j}$ είναι γραμμικές συναρτήσεις της ακόλουθης μορφής:

$$l_{r,j} = \sum_{k=1}^{r-1} a_{r,j}^k \cdot i_k + Y_{r,j} \quad u_{r,j} = \sum_{k=1}^{r-1} b_{r,j}^k \cdot i_k + F_{r,j}$$

όπου $a_{r,j}^k, b_{r,j}^k \in \mathbf{Z}$ ($1 \leq k \leq r-1$), $Y_{r,j}$ και $F_{r,j}$ είναι σταθερές και i_k ($1 \leq k \leq r-1$) είναι οι μεταβλητές ελέγχου των βρόχων.

Πολλές φορές οι βρόχοι σε ένα πρόγραμμα ενδέχεται να μην είναι τελείως φωλιασμένοι, όπως συμβαίνει για παράδειγμα στην αποσύνθεση LU και την παραγοντοποίηση *Cholesky*. Τέτοιοι όμως βρόχοι μπορούν να αναχθούν σε τελείως φωλιασμένους βρόχους χρησιμοποιώντας τον μετασχηματισμό βύθισης κώδικα[8] (code sinking). Ο μετασχηματισμός αυτός μετατοπίζει όλες τις εντολές που βρίσκονται μεταξύ των βρόχων προς τον εσωτερικότερο βρόχο προσθέτοντας έναν ή περισσότερους ελέγχους συνθηκών. Πρέπει όμως να προσεχθεί ότι η εφαρμογή ενός τέτοιου μετασχηματισμού είναι έγκυρη αν και μόνο αν οι βρόχοι δεν εκτελούν κενές επαναλήψεις. Ο μετασχηματισμός αυτός παρουσιάζεται στο σχήμα 2.1.

<pre> for (i1=lb1; i1<=ub1; i1++) { /* statements 1 */ for (i1=lb1; i1<=ub1; i1++) { /* statements 2 */ ... for (in=lb_n; in<=ub_n; in++) { /* statements n */ } /* statements 2' */ } /* statements 1' */ } </pre>	<pre> for (i1=lb1; i1<=ub1; i1++) { for (i1=lb1; i1<=ub1; i1++) { ... for (in=lb_n; in<=ub_n; in++) { if (in=lb_n && ... && i2=lb2) /* statements 1 */ if (in=lb_n && ...) /* statements 2 */ /* statements n */ if (in=lb_n && ...) /* statements 2' */ if (in=lb_n && ... && i2=lb2) /* statements 1' */ } } } </pre>
αρχική μορφή	τελική μορφή

Σχήμα 2.1: Μετατροπή ενός μη τέλειου φωλιασμένου βρόχου σε τέλειο φωλιασμένο βρόχο

Η προσθήκη των συνθηκών ελέγχου αυξάνει βέβαια τον χρόνο εκτέλεσης, επειδή σε κάθε επανάληψη θα πρέπει οι συνθήκες αυτές να αποτιμούνται. Για την αποφυγή λοιπόν αυτής της επιβάρυνσης, θα πρέπει να γίνεται απλοποίηση και απαλοιφή των περιττών συνθηκών.

2.1.2 Χώρος Επαναλήψεων

Ορισμός 2.1 Κάθε επανάληψη του συστήματος αυτού των φωλιασμένων βρόχων αντιπροσωπεύεται από το n -διάστατο διάνυσμα $\vec{I} = (i_1, i_2, \dots, i_n) \in \mathbf{Z}^n$, που ονομάζεται **διάνυσμα επανάληψης** (*iteration vector*).

Κάθε συνιστώσα του διανύσματος επανάληψης αντιστοιχεί σε ένα από τους φωλιασμένους βρόχους, με την αριστερότερη συνιστώσα να αντιστοιχεί στον εξωτερικότερο βρόχο και την δεξιότερη συνιστώσα στον εσωτερικότερο βρόχο.

Ορισμός 2.2 Το σύνολο των επαναλήψεων που ορίζεται από τα όρια των φωλιασμένων βρόχων:

$$I^n = \{(i_1, i_2, \dots, i_n) \mid i_j \in \mathbf{Z} \wedge l_j \leq i_j \leq u_j, 1 \leq j \leq n\} \subseteq \mathbf{Z}^n$$

αποτελεί ένα κυρτό πολύεδρο του \mathbf{Z}^n και ονομάζεται **χώρος επαναλήψεων** (*iteration space*).

Ο χώρος επαναλήψεων δύναται να αναπαραστηθεί σε μορφή πίνακα. Λαμβάνοντας υπόψιν την σημασιολογία ενός βρόχου *for* κάθε μια από τις γραμμικές συναρτήσεις $l_{r,j}$ και $u_{r,j}$ παριστάνει μια ανισότητα της μορφής:

$$\sum_{k=1}^{r-1} a_{r,j}^k \cdot i_k + Y_{r,j} \leq i_r \leq \sum_{k=1}^{r-1} b_{r,j}^k \cdot i_k + F_{r,j}$$

Παίρνοντας μαζί όλες τις ανισότητες, σχηματίζεται η ακόλουθη ανισότητα πινάκων:

$$A \cdot \vec{I} \leq \beta$$

Κάθε γραμμή του πίνακα A ορίζει ένα κατώτερο όριο $l'_{r,j}$ (ή ένα ανώτερο όριο $u'_{r,j}$) και αποτελείται από τους συντελεστές $a'_{r,j}$ και -1 (ή $b'_{r,j}$ και 1). Οι n συνιστώσες του διανύσματος \vec{I} είναι οι μεταβλητές ελέγχου i_r , ενώ οι συνιστώσες του διανύσματος β είναι οι συντελεστές $-Y_{r,j}$ (ή $F_{r,j}$).

Παράδειγμα Έστω το ακόλουθο σύστημα φωλιασμένων βρόχων:

```
for ( i1=0; i1 <=4; i1++)
  for ( i2=0; i2 <=6; i2++) {
    A[ i1 ][ i2 ] += A[ i1 - 1 ][ i2 ] + D[ i1 ][ i2 + 1 ];
    D[ i1 ][ i2 ] += D[ i1 - 1 ][ i2 + 1 ] + A[ i1 ][ i2 ];
  }
```

Τα όρια μπορούν να αναπαρασταθούν με τον ακόλουθο πίνακα ανισώσεων:

$$\begin{array}{l} 0 \leq i_1 \leq 4 \\ 0 \leq i_2 \leq 6 \end{array} \Rightarrow \begin{pmatrix} 1 & 0 \\ 0 & 1 \\ -1 & 0 \\ 0 & -1 \end{pmatrix} \cdot \begin{pmatrix} i_1 \\ i_2 \end{pmatrix} \leq \begin{pmatrix} 4 \\ 6 \\ 0 \\ 0 \end{pmatrix}$$

Ορισμός 2.3 Έστω τα σύνολα A_1, A_2, \dots, A_n , το καρτεσιανό γινόμενο $A^n = A_1 \times A_2 \times \dots \times A_n$ και τα διανύσματα $\vec{a} = (a_1, a_2, \dots, a_n)$, $\vec{b} = (b_1, b_2, \dots, b_n)$. Η λεξικογραφική διάταξη¹ (lexicographic order) ορίζει ότι $\vec{a} < \vec{b}$ αν και μόνο αν:

1. $a_1 < b_1$, ή
2. $a_1 = b_1, a_2 = b_2, \dots, a_k = b_k, a_{k+1} < b_{k+1}$, $1 \leq k \leq n - 1$

Οι επανλήψεις ενός συστήματος φωλιασμένων βρόχων εκτελούνται επομένως σε λεξικογραφική σειρά. Δηλαδή, εάν η επανάληψη \vec{I}_2 είναι λεξικογραφικά μεγαλύτερη από την \vec{I}_1 ($\vec{I}_2 \succ \vec{I}_1$) τότε η επανάληψη \vec{I}_2 εκτελείται μετά την \vec{I}_1 .

2.1.3 Εξαρτήσεις Δεδομένων

Οι εξαρτήσεις δεδομένων (data dependencies) χρησιμοποιούνται από τον μεταγλωττιστή για την αναπαράσταση των αναγκαίων περιορισμών στην διάταξη μεταξύ των εντολών ή της επαναχρησιμοποίησης των τιμών ενός προγράμματος. Μεταξύ δύο αναφορών υπάρχει εξάρτηση εάν υπάρχει ένα μονοπάτι ροής από την πρώτη αναφορά προς τη δεύτερη και οι δύο αναφορές προσπελάνουν την ίδια θέση μνήμης. Διακρίνονται τέσσερα είδη εξαρτήσεων:

- *Ανάγνωση Μετά από Εγγραφή* (Read After Write-RAW) ή αλλιώς *πραγματική εξάρτηση* (true dependence): εάν η πρώτη αναφορά εγγράφει στην θέση μνήμης και η δεύτερη διαβάζει από αυτή.
- *Εγγραφή Μετά από Ανάγνωση* (Write After Read-WAR) ή αλλιώς *αντι-εξάρτηση* (anti-dependence): εάν η πρώτη αναφορά διαβάζει από την θέση μνήμης και η δεύτερη εγγράφει σ' αυτήν.

¹Με βάση τον ορισμό αυτό η λεξικογραφική διάταξη ορίζει μια μερική διάταξη.

- *Εγγραφή Μετά από Εγγραφή* (Write After Write-WAW) ή αλλιώς *εξάρτηση εξόδου* (output dependence): εάν η πρώτη αναφορά εγγράφει στην θέση μνήμης και η δεύτερη επίσης εγγράφει σ' αυτήν.
- *Ανάγνωση Μετά από Ανάγνωση* (Read After Read-RAR) ή αλλιώς *εξάρτηση εισόδου* (input dependence): εάν η πρώτη αναφορά διαβάζει από την θέση μνήμης και η δεύτερη επίσης διαβάζει από αυτή.

Όταν ένας κώδικας μετασχηματίζεται με σκοπό την βελτιστοποίηση είναι αναγκαία η διατήρηση της σχετικής διάταξης μεταξύ των εγγραφών και των αναγνώσεων στην ίδια θέση μνήμης, αλλιώς ο μετασχηματισμένος κώδικας θα παράγει λανθασμένα αποτελέσματα. Συγκεκριμένα θα πρέπει να διατηρούνται οι εξαρτήσεις τύπου RAW, WAR, WAW. Ο τέταρτος τύπος εξάρτησης, η RAR, δεν χρειάζεται να διατηρείται.

Ορισμός 2.4 Ως *διάνυσμα εξάρτησης dependence vector* $\vec{d} = (d_1, d_2, \dots, d_n)$ μιας επανάληψης ενός προγράμματος με φωλιασμένους βρόχους ορίζεται η διαφορά του διανύσματος $\vec{I} = (i_1, i_2, \dots, i_n)$ που εκφράζει την συγκεκριμένη επανάληψη μείον το διάνυσμα $\vec{I}' = (i'_1, i'_2, \dots, i'_n)$, το οποίο εκφράζει μια επανάληψη, της οποίας τα αποτελέσματα χρησιμοποιούνται άμεσα κατά τους υπολογισμούς που πραγματοποιούνται από την \vec{I} .

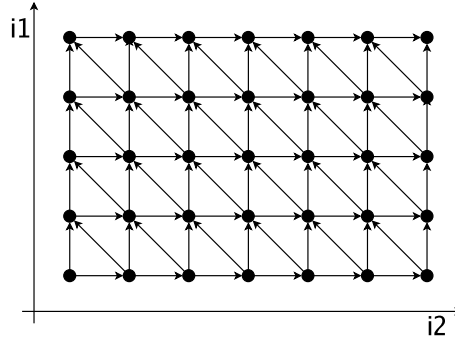
Ο βρόχος ο οποίος σχετίζεται με την αριστερότερη μη μηδενική απόσταση του διανύσματος εξάρτησης ονομάζεται *βρόχος μεταφοράς εξάρτησης* (carried loop), ενώ στην περίπτωση που όλες οι συνιστώσες του διανύσματος είναι μηδενικές τότε η εξάρτηση είναι *ανεξάρτητη βρόχων* (loop independent).

Συχνά για την αναπαράσταση του διανύσματος είναι αρκετό μόνο το πρόσημο των αποστάσεων. Με βάση τον συμβολισμό που προτείνει ο [18], χρησιμοποιείται το σύμβολο $+$ για εύρος απόστασης $[1, \infty]$, το σύμβολο $-$ για εύρος $[-\infty, -1]$, και το σύμβολο \pm για άγνωστη απόσταση $[-\infty, \infty]$.

Για την αναπαράσταση των διανυσμάτων εξάρτησης χρησιμοποιούνται συχνά δύο τρόποι: ο *πίνακας εξαρτήσεων* (dependence table) ή/και ο *γράφος εξάρτησης χώρου επαναλήψεων* (iteration space dependence graph). Ο πίνακας εξαρτήσεων των επαναλήψεων ενός συστήματος φωλιασμένων βρόχων είναι ένας πίνακας του οποίου οι στήλες αποτελούν το σύνολο των διανυσμάτων εξάρτησης των επαναλήψεων. Ο δε γράφος εξάρτησης χώρου επαναλήψεων παριστάνει τους περιορισμούς που δεν επιτρέπουν την αναδιάταξη των επαναλήψεων ενός συστήματος φωλιασμένων βρόχων. Εάν μια εντολή κάποιας επανάληψης I_2 εξαρτάται από μια οποιαδήποτε εντολή κάποιας άλλης επανάληψης I_1 , δηλαδή υπάρχει εξάρτηση τύπου RAW, WAR, ή WAW, τότε η εξάρτηση αναπαριστάται με ένα βέλος από την επανάληψη I_1 προς την επανάληψη I_2 .

Όπως αναφέρθηκε προηγουμένως οι επαναλήψεις ενός συστήματος φωλιασμένων βρόχων εκτελούνται σε λεξικογραφική διάταξη. Χρησιμοποιώντας την έννοια του διανύσματος εξάρτησης, η επανάληψη \vec{I}_2 εξαρτάται από την επανάληψη \vec{I}_1 , και επομένως πρέπει να εκτελεστεί μετά από αυτήν, εάν για κάποιο διάνυσμα εξάρτησης \vec{e} ισχύει $\vec{I}_2 = \vec{I}_1 + \vec{e}$. Βάση επομένως του ορισμού 2.3, αφού $\vec{I}_2 \succ \vec{I}_1$, το \vec{e} θα πρέπει να είναι λεξικογραφικά μεγαλύτερο από το $\vec{0}$, ή πιο απλά, *λεξικογραφικά θετικό*² (lexicographically positive).

²Δηλαδή ένα διάνυσμα είναι λεξικογραφικά θετικό αν η πρώτη μη μηδενική συνιστώσα του είναι θετική.



Σχήμα 2.2: Ο γράφος εξάρτησης χώρου επαναλήψεων του παραδείγματος

Πιο απλά, τα διανύσματα εξάρτησης που αφορούν ένα πρόγραμμα που βρίσκεται στην αρχική του μορφή είναι λεξικογραφικά θετικά, και ορίζουν μια μερική διάταξη μεταξύ των κόμβων του χώρου επαναλήψεων. Τέλος, οποιαδήποτε *τοπολογική διάταξη* (topological ordering) του γράφου εξάρτησης είναι έγκυρη, αρκεί να διατηρούνται όλες οι εξαρτήσεις, δηλαδή να παραμένουν λεξικογραφικά θετικές.

Παράδειγμα (συνέχεια) Για τον σύστημα φωλιασμένων βρόχων του παραδείγματος, τα διανύσματα εξάρτησης είναι τα ακόλουθα:

- $A[i_1][i_2] \rightarrow A[i_1 - 1][i_2]$: Εξάρτηση τύπου RAW με διάνυσμα εξάρτησης το $(i_1, i_2) - (i_1 - 1, i_2) = (1, 0) = (+, 0)$
- $D[i_1][i_2] \rightarrow D[i_1 - 1][i_2 + 1]$: Εξάρτηση τύπου RAW με διάνυσμα εξάρτησης το $(i_1, i_2) - (i_1 - 1, i_2 + 1) = (1, -1) = (+, -)$
- $A[i_1][i_2] \rightarrow A[i_1][i_2]$: Εξάρτηση τύπου RAW με διάνυσμα εξάρτησης το $(i_1, i_2) - (i_1, i_2) = (0, 0)$
- $D[i_1][i_2 + 1] \rightarrow D[i_1][i_2]$: Εξάρτηση τύπου WAR με διάνυσμα εξάρτησης το $(i_1, i_2 + 1) - (i_1, i_2) = (0, 1) = (0, +)$
- $A[i_1][i_2] \rightarrow A[i_1 - 1][i_2]$: Εξάρτηση τύπου RAR με διάνυσμα εξάρτησης το $(i_1, i_2) - (i_1 - 1, i_2) = (1, 0) = (+, 0)$

Παρατηρούμε ότι όλες οι εξαρτήσεις είναι λεξικογραφικά θετικές. Οι δε τέσσερις πρώτες εξαρτήσεις αποτελούν εξαρτήσεις που πρέπει να διατηρηθούν, ενώ η διατήρηση της πέμπτης εξάρτησης τύπου RAR δεν είναι υποχρεωτική. Τα διανύσματα εξάρτησης παριστάνονται από τον γράφο εξάρτησης χώρου επαναλήψεων στο σχήμα 2.2. Τέλος, ο πίνακας εξαρτήσεων είναι ο:

$$D = \begin{pmatrix} 1 & 1 & 0 & 0 & 1 \\ 0 & -1 & 0 & 1 & 0 \end{pmatrix}$$

2.2 Τοπικότητα και Επαναχρησιμοποίηση

2.2.1 Διάκριση Τοπικότητας και Επαναχρησιμοποίησης

Είναι πολύ σημαντικό να διακρίνουμε τη διαφορά μεταξύ *τοπικότητας* (locality) και *επαναχρησιμοποίησης* (reuse) [18]. Λέμε ότι ένα στοιχείο *επαναχρησιμοποιείται* όταν το ίδιο στοιχείο χρησιμοποιείται σε πολλαπλές επαναλήψεις ενός συστήματος φωλιασμένων βρόχων. Η επαναχρησιμοποίηση λοιπόν είναι έμφυτη σε μια υπολογιστική διαδικασία και δεν εξαρτάται από τον συγκεκριμένο τρόπο που οι βρόχοι είναι γραμμένοι. Επομένως, η ύπαρξη επαναχρησιμοποίησης των δεδομένων δεν σημαίνει και την ελαχιστοποίηση των αναφορών στη μνήμη, όταν μεταξύ των επαναχρησιμοποιήσεων τα δεδομένα διώχνονται από την κρυφή μνήμη λόγω αντικαταστάσεων που προκαλούν νέα δεδομένα που εισέρχονται σε αυτή. Στην περίπτωση όμως, που το επαναχρησιμοποιήσιμο στοιχείο παραμένει στην κρυφή μνήμη και έχουμε επιτυχία κρυφής μνήμης στην νέα αναφορά που γίνεται πάνω στο στοιχείο αυτό, τότε λέμε ότι η αναφορά έχει τοπικότητα.

Για να γίνει περισσότερη κατανοητή η διαφορά, έστω το ακόλουθο τμήμα του κώδικα ενός προγράμματος:

```

for ( i=0; i<N; i++) {
    for ( j=0; j<N; j++)
        A[i]+=A[j]*A[i];
}

```

Η αναφορά $A[j]$ προσπελάνει διαφορετικά δεδομένα κατά τις επαναλήψεις του εσωτερικού βρόχου, αλλά επαναχρησιμοποιεί τα ίδια δεδομένα κατά τις επαναλήψεις του εξωτερικού βρόχου. Ακριβέστερα, το δεδομένο $A[j]$ χρησιμοποιείται στις επαναλήψεις $\{(i, j) | 0 \leq i < N\}$ και επομένως υπάρχει επαναχρησιμοποίηση. Μεταξύ όμως δύο επαναχρησιμοποιήσεων υπάρχουν $N - 1$ αναφορές σε άλλα δεδομένα. Άρα, στην περίπτωση που το N είναι αρκετά μεγάλο, έτσι ώστε τα δεδομένα να διώχνονται από την κρυφή μνήμη πριν επαναχρησιμοποιηθούν, δεν υπάρχει τοπικότητα.

2.2.2 Εύρεση Επαναχρησιμοποίησης

Η εύρεση σε ποιες περιοχές του χώρου επαναλήψεων υπάρχει επαναχρησιμοποίηση είναι αρκετά βοηθητική για την εφαρμογή των κατάλληλων μετασχηματισμών βρόχων, έτσι ώστε η επαναχρησιμοποίηση να μετατραπεί σε όσο το δυνατόν περισσότερη τοπικότητα. Η επαναχρησιμοποίηση χωρίζεται σε τέσσερις κατηγορίες: αυτο-χρονική, αυτο-χωρική, ομαδο-χρονική και ομαδο-χωρική επαναχρησιμοποίηση.

Πριν προχωρήσουμε στις τέσσερις κατηγορίες επαναχρησιμοποίησης ακολουθεί ένας χρήσιμος ορισμός.

Ορισμός 2.5 Σε ένα σύστημα φωλιασμένων βρόχων βάθους n , μια αναφορά στον m -διάστατο πίνακα A μπορεί να αναπαρασταθεί με τη διανυσματική συνάρτηση $\vec{f}_A(i_1, i_2, \dots, i_n) = U \cdot \vec{I} + \vec{u}$, όπου ο πίνακας U διαστάσεων $m \times n$ ονομάζεται πίνακας αναφοράς και το m -διάστατο διάνυσμα \vec{u} ονομάζεται διάνυσμα απόκλισης. Η διανυσματική συνάρτηση \vec{f}_A θα ονομάζεται διάνυσμα αναφοράς.

Ακολούθως, παρουσιάζονται περιληπτικά οι τέσσερις αυτές κατηγορίες και πως μπορεί να γίνει η εύρεση της κάθε επαναχρησιμοποίησης, όπως αναφέρεται στο [18].

Αυτο-χρονική Επαναχρησιμοποίηση Η αυτο-χρονική (self-temporal reuse) εμφανίζεται όταν μια αναφορά ενός συστήματος φωλιασμένων βρόχων προσπελάνει το ίδιο δεδομένο σε διαφορετικές επαναλήψεις. Χρησιμοποιώντας τον ορισμό 2.5, αυτο-χρονική επαναχρησιμοποίηση μεταξύ των επαναλήψεων \vec{I}_1 και \vec{I}_2 υπάρχει όταν ισχύει $U \cdot \vec{I}_1 + \vec{u} = \cdot \vec{I}_2 + \vec{u}$, δηλαδή όταν $U \cdot (\vec{I}_1 - \vec{I}_2) = \vec{0}$. Λέμε ότι υπάρχει επαναχρησιμοποίηση στην κατεύθυνση \vec{r} (διάνυσμα επαναχρησιμοποίησης-τεξτλατινρευσε εςτορ) όταν $U \cdot \vec{r} = \vec{0}$. Η λύση της εξίσωσης αποτελεί το διανυσματικό χώρο αυτο-χρονικής επαναχρησιμοποίησης: $R_{ST} = \ker U \subset \mathbf{R}^n$.

Αυτο-χωρική Επαναχρησιμοποίηση Η αυτο-χωρική (self-spatial reuse) εμφανίζεται όταν μια αναφορά ενός συστήματος φωλιασμένων βρόχων προσπελάνει την ίδια ενότητα κρυφής μνήμης σε διαφορετικές επαναλήψεις. Δηλαδή, η αυτο-χωρική επαναχρησιμοποίηση αποτελεί γενίκευση της αυτο-χρονικής. Έστω, ότι τα δεδομένα του πίνακα U αποθηκεύονται παράλληλα με την k -διάσταση. Τότε, για να υπάρχει στην αναφορά $U[L^U \cdot \vec{I} + \vec{b}^U]$ αυτο-χωρική επαναχρησιμοποίηση, θα πρέπει οι συντεταγμένες όλων των διαστάσεων πλην της k -διάστασης να ταυτίζονται. Αντικαθιστώντας την k -γραμμή του πίνακα L^U με μηδενικά, παίρνουμε τον πίνακα L_S^U . Τότε, ο διανυσματικός χώρος αυτο-χωρικής επαναχρησιμοποίησης είναι ο: $R_{SS} = \ker L_S^U \subset \mathbf{R}^n$.

Ομαδο-χρονική Επαναχρησιμοποίηση Η ομαδο-χρονική (group-temporal reuse) εμφανίζεται όταν οι αναφορές ενός συστήματος φωλιασμένων βρόχων προσπελάνουν το ίδιο δεδομένο σε διαφορετικές επαναλήψεις. Έστω, ότι οι αναφορές διαφέρουν το πολύ στον σταθερό όρο \vec{u} , δηλαδή $U \cdot \vec{I} + \vec{u}_1$ και $L^U \cdot \vec{I} + \vec{u}_2$. Τότε, υπάρχει ομαδο-χρονική επαναχρησιμοποίηση μεταξύ των δύο αυτών αναφορών αν και μόνο αν $\exists \vec{r} : L^U \cdot \vec{r} = \vec{u}_1 - \vec{u}_2$, όπου $|\vec{u}_1 - \vec{u}_2| < (\mu\acute{\eta}\kappa\omicron\varsigma \epsilon\nu\acute{o}\tau\eta\tau\alpha\varsigma \kappa\rho\upsilon\phi\acute{\eta}\varsigma \mu\acute{\eta}\mu\eta\varsigma/\mu\acute{\epsilon}\gamma\epsilon\theta\omicron\varsigma \sigma\tau\omicron\iota\chi\epsilon\acute{\iota}\omicron\upsilon)$. Λύνοντας την εξίσωση αυτή προκύπτει το διάνυσμα \vec{r}_p , αν υπάρχει τέτοιο. Ο διανυσματικός χώρος αυτο-χρονικής επαναχρησιμοποίησης προκύπτει ως: $R_{GT} = \ker U + [\vec{r}_p]$.

Ομαδο-χωρική Επαναχρησιμοποίηση Η ομαδο-χωρική (group-spatial reuse) εμφανίζεται όταν οι αναφορές ενός συστήματος φωλιασμένων βρόχων προσπελάνουν την ίδια ενότητα κρυφής μνήμης σε διαφορετικές επαναλήψεις. Δηλαδή, η ομαδο-χωρική επαναχρησιμοποίηση αποτελεί γενίκευση της ομαδο-χρονικής. Έστω, ότι οι αναφορές διαφέρουν το πολύ στον σταθερό όρο \vec{u} , δηλαδή $U \cdot \vec{I} + \vec{u}_1$ και $U \cdot \vec{I} + \vec{u}_2$. Αντικαθιστώντας την k -γραμμή του πίνακα U και των διανυσμάτων u_1, u_2 με μηδενικά, παίρνουμε τα U_S , $u_{S,1}$ και $u_{S,2}$. Τότε, υπάρχει ομαδο-χωρική επαναχρησιμοποίηση μεταξύ των δύο αυτών αναφορών αν και μόνο αν $\exists \vec{r} : U_S \cdot \vec{r} = \vec{u}_{S,1} - \vec{u}_{S,2}$, όπου $|\vec{u}_1 - \vec{u}_2| < (\mu\acute{\eta}\kappa\omicron\varsigma \epsilon\nu\acute{o}\tau\eta\tau\alpha\varsigma \kappa\rho\upsilon\phi\acute{\eta}\varsigma \mu\acute{\eta}\mu\eta\varsigma/\mu\acute{\epsilon}\gamma\epsilon\theta\omicron\varsigma \sigma\tau\omicron\iota\chi\epsilon\acute{\iota}\omicron\upsilon)$. Ο διανυσματικός χώρος αυτο-χρονικής επαναχρησιμοποίησης προκύπτει ως: $R_{GS} = \ker U_S + [\vec{r}_p]$.

2.3 Unimodular Μετασχηματισμοί Βρόχων

Ορισμός 2.6 Ένας μετασχηματισμός βρόχων T αντιστοιχίζει κάθε επανάληψη $\vec{I} = (i_1, i_2, \dots, i_n)$ του n -διάστατου χώρου επαναλήψεων στην επανάληψη $\vec{J} = (j_1, j_2, \dots, j_n)$ του επίσης n -διάστατου μετασχηματισμένου χώρου επαναλήψεων:

$$J^n = \{\vec{J} = T \cdot \vec{I} \mid \vec{I} \in \mathbf{Z}^n\}$$

Τα όρια του n -διάστατου μετασχηματισμένου χώρου επαναλήψεων βρίσκονται με την εφαρμογή του πίνακα μετασχηματισμού T επί της ανισότητας πινάκων που παριστάνει τα όρια του αρχικού n -διάστατου χώρου επαναλήψεων. Δηλαδή τα όρια του μετασχηματισμένου χώρου επαναλήψεων βρίσκονται ως εξής³:

$$\left. \begin{array}{l} A \cdot \vec{I} \leq \beta \\ \vec{J} = T \cdot \vec{I} \\ \det(T) = \pm 1 \neq 0 \end{array} \right\} \Rightarrow A \cdot T^{-1} \cdot \vec{J} \leq \beta \quad (2.1)$$

Ορισμός 2.7 Ένας **unimodular μετασχηματισμός βρόχων**⁴ παριστάνεται με ένα πίνακα T , για τον οποίο $\det(T) = \pm 1$. Ο συνδυασμός unimodular μετασχηματισμών δίνει ένα επίσης unimodular μετασχηματισμό και ο πίνακας του νέου μετασχηματισμού προκύπτει από το γινόμενο των επιμέρους μετασχηματισμών.

Οι μετασχηματισμοί βρόχων είναι χρήσιμοι όταν διατηρούν τις εξαρτήσεις δεδομένων μετά την εφαρμογή τους σε ένα σύστημα φωλιασμένων βρόχων. Το ακόλουθο θεώρημα αφορά τους unimodular μετασχηματισμούς βρόχων και είναι πολύ σημαντικό.

Θεώρημα 2.1 Έστω D το σύνολο των διανυσμάτων εξάρτησης ενός συστήματος φωλιασμένων βρόχων. Ένας unimodular μετασχηματισμός βρόχων T είναι έγκυρος (legal) αν και μόνο αν $\forall \vec{d} \in D : T\vec{d} \succ \vec{0}$.

Ακολουθεί η περιγραφή τριών βασικών unimodular μετασχηματισμών βρόχων: η ανταλλαγή, η μετάθεση, η αναστροφή και η περιστροφή.

1. Η **ανταλλαγή** (interchange) δύο βρόχων μετατρέπει το διάνυσμα επανάληψης (i, j) στο διάνυσμα (j, i) . Ο πίνακας του μετασχηματισμού είναι ο:

$$T = \begin{pmatrix} 0 & 1 \\ 1 & 0 \end{pmatrix}$$

Από το συνδυασμό διαδοχικών ανταλλαγών προκύπτει η πιο γενική μορφή του μετασχηματισμού, η **μετάθεση** (permutation), η οποία μεταθέτει τη διάταξη των βρόχων επανάληψης. Για παράδειγμα, ο πίνακας μετασχηματισμού για την μετάθεση του διανύσματος επανάληψης $\vec{I} = (i, j, k)$ στο διάνυσμα $\vec{J} = (k, j, i)$ δίνεται από τον:

$$T = T_3 T_2 T_1 = \begin{pmatrix} 1 & 0 & 0 \\ 0 & 0 & 1 \\ 0 & 1 & 0 \end{pmatrix} \begin{pmatrix} 0 & 1 & 0 \\ 1 & 0 & 0 \\ 0 & 0 & 1 \end{pmatrix} \begin{pmatrix} 1 & 0 & 0 \\ 0 & 0 & 1 \\ 0 & 1 & 0 \end{pmatrix} = \begin{pmatrix} 0 & 0 & 1 \\ 0 & 1 & 0 \\ 1 & 0 & 0 \end{pmatrix}$$

Τόσο η μετάθεση όσο και η ανταλλαγή χρησιμοποιούνται για να τροποποιήσουν την διάταξη των βρόχων έτσι ώστε να προσπελάνουν τα δεδομένα με τη διάταξη που αυτά είναι αποθηκευμένα, βελτιώνοντας με αυτό τον τρόπο την χωρική τοπικότητα. Από τη στιγμή που τροποποιούν τη διάταξη των βρόχων κι επομένως τη σειρά εκτέλεσης των επαναλήψεων, αυτό σημαίνει ότι η εφαρμογή τους δεν είναι πάντοτε έγκυρη. Ιδιαίτερα χρήσιμο είναι το επόμενο θεώρημα.

³Η λύση των συστημάτων ανισώσεων που προκύπτουν παρότι είναι πολύ σημαντική, είναι εκτός του αντικείμενου της παρούσας εργασίας και γι' αυτό δεν θα ασχοληθούμε περαιτέρω.

⁴Οι unimodular μετασχηματισμοί αποτελούν μια ειδική κατηγορία γραμμικών μετασχηματισμών.

Θεώρημα[18] 2.2 Σε ένα σύστημα φωλιασμένων βρόχων, οι βρόχοι l_i μέχρι l_j είναι πλήρως μεταθέσιμοι (*fully permutable*) αν και μόνο αν όλα τα διανύσματα εξάρτησης είναι όλα λεξικογραφικά θετικά. Επιπλέον για κάθε διάνυσμα ισχύει ότι, είτε το (d_1, \dots, d_{i-1}) είναι λεξικογραφικά θετικό, είτε οι συνιστώσες d_i, \dots, d_j είναι μη αρνητικές.

2. Η *αναστροφή* (reversal) ενός βρόχου πραγματοποιείται με πολλαπλασιασμό με -1 του αντίστοιχου δείκτη. Για παράδειγμα σε ένα σύστημα φωλιασμένων βρόχων με βάθος 2, οι πίνακες μετασχηματισμού για κάθε μια μεταβλητή είναι οι:

$$T_{rev,i} = \begin{pmatrix} -1 & 0 \\ 0 & 1 \end{pmatrix} \quad T_{rev,j} = \begin{pmatrix} 1 & 0 \\ 0 & -1 \end{pmatrix}$$

3. Η *περιστροφή* skewing ενός βρόχου παριστάνεται από τον πίνακα μετασχηματισμού T_{skew} , ο οποίος προσθέτει κάποιο ακέραιο πολλαπλάσιο ενός δείκτη βρόχου σε έναν άλλο δείκτη:

$$T_{skew} = \begin{pmatrix} 1 & 0 \\ f & 1 \end{pmatrix}$$

Η περιστροφή είναι πάντοτε έγκυρη. Παρόλο που επηρεάζει τα διανύσματα εξάρτησης, η περιστροφή δεν αλλάζει καθόλου την σειρά εκτέλεσης των επαναλήψεων. Έτσι, αν και γενικά δεν βελτιώνει την επίδοση, μπορεί να επιτρέψει την εφαρμογή άλλων μετασχηματισμών των οποίων η εφαρμογή προηγουμένως δεν ήταν έγκυρη, λ.χ. η μετατροπή ενός μη-πλήρως μεταθέσιμου συστήματος φωλιασμένων βρόχων σε πλήρως μεταθέσιμο.

Παράδειγμα (συνέχεια) Συνεχίζοντας το παράδειγμα μας έστω ότι επιθυμούμε να εφαρμόσουμε ανταλλαγή (ή μετάθεση) στον κώδικα μας. Η εφαρμογή όμως απευθείας της ανταλλαγής δεν είναι έγκυρη βάση του θεωρήματος 2.1. Πράγματι εφαρμόζοντας τον μετασχηματισμό της ανταλλαγής σε ένα από τα διανύσματα εξάρτησης, το επαληθεύουμε:

$$\begin{pmatrix} 0 & 1 \\ 1 & 0 \end{pmatrix} \begin{pmatrix} 1 \\ -1 \end{pmatrix} = \begin{pmatrix} -1 \\ 1 \end{pmatrix} \prec 0$$

Για να μπορέσουμε λοιπόν να εφαρμόσουμε την ανταλλαγή, εφαρμόζουμε πρώτα την περιστροφή:

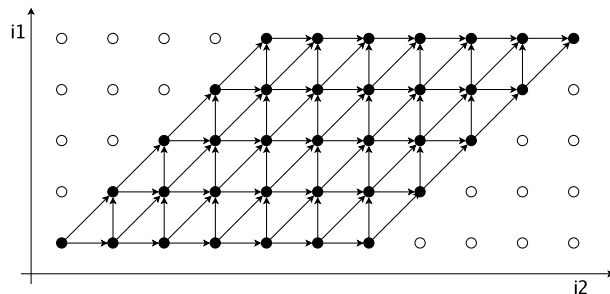
$$\begin{aligned} \vec{I}_{new} &= \begin{pmatrix} i_{1,new} \\ i_{2,new} \end{pmatrix} = T_{skew} \vec{I} = \begin{pmatrix} 1 & 0 \\ 1 & 1 \end{pmatrix} \begin{pmatrix} i_1 \\ i_2 \end{pmatrix} \Rightarrow \\ \begin{pmatrix} i_1 \\ i_2 \end{pmatrix} &= \begin{pmatrix} 1 & 0 \\ 1 & 1 \end{pmatrix}^{-1} \begin{pmatrix} i_{1,new} \\ i_{2,new} \end{pmatrix} = \begin{pmatrix} i_{1,new} \\ i_{2,new} - i_{1,new} \end{pmatrix} \end{aligned}$$

και παίρνουμε τον ακόλουθο κώδικα:

```

for ( i1=0; i1 <=4; i1++)
  for ( i2=i1; i2 <=6+i1; i2++) {
    A[ i1 ][ i2-i1 ] += A[ i1 -1 ][ i2-i1 ] + D[ i1 ][ i2-i1 +1 ];
    D[ i1 ][ i2-i1 ] += D[ i1 -1 ][ i2-i1 +1 ] + A[ i1 ][ i2-i1 ];
  }

```



Σχήμα 2.3: Ο γράφος εξάρτησης χώρου επαναλήψεων μετά την εφαρμογή του μετασχηματισμού της περιστροφής

του οποίου τα διανύσματα εξάρτησης παριστάνονται στο σχήμα 2.3. Ακολούθως, εφαρμόζουμε τον μετασχηματισμό της ανταλλαγής ο οποίος είναι έγκυρος με την νέα διάταξη που έδωσε η περιστροφή:

$$\vec{I}_{new} = \begin{pmatrix} i_{1,new} \\ i_{2,new} \end{pmatrix} = T_{int} \vec{I} = \begin{pmatrix} 0 & 1 \\ 1 & 0 \end{pmatrix} \begin{pmatrix} i_1 \\ i_2 \end{pmatrix} \Rightarrow$$

$$\begin{pmatrix} i_{1,new} \\ i_{2,new} \end{pmatrix} = \begin{pmatrix} 0 & 1 \\ 1 & 0 \end{pmatrix}^{-1} \begin{pmatrix} i_{1,new} \\ i_{2,new} \end{pmatrix} = \begin{pmatrix} i_{2,new} \\ i_{1,new} \end{pmatrix}$$

και παίρνουμε τον ακόλουθο κώδικα:

```

for (i1n=0; i1n<=6; i1n++)
  for (i2n=i1n; i2n<=4+i1n; i2n++) {
    A[i2n][i1n-i2n]+=A[i2n-1][i1n-i2n]+D[i2n][i1n-i2n
      +1];
    D[i2n][i1n-i2n]+=D[i2n-1][i1n-i2n+1]+A[i2n][i1n-
      i2n];
  }

```

2.4 Μη Γραμμικοί Μετασχηματισμοί Βρόχων

Ορισμένοι σημαντικοί μετασχηματισμοί βρόχων οι οποίοι είναι μη γραμμικοί είναι η συγχώνευση, η διάσπαση, το scalar replacement, το ξεδίπλωμα βρόχου, ο strip mining και η πλακόστρωση:

1. Η *συγχώνευση βρόχων* (loop fussion) σκοπό έχει την βελτίωση της χρονικής τοπικότητας συνδυάζοντας βρόχους οι οποίοι σε διαφορετικά σημεία του προγράμματος προσπελάνουν τις ίδιες θέσεις μνήμης. Ακολουθεί ένα παράδειγμα μιας τέτοιας συγχώνευσης:

```

for (i=2; i<=N; i++) {
  for (j=1; j<=N; j++)
    X[i][j]-=X[i-1][j]*A[i][j]/B[i-1][j]
}

```

```

for (j=1; j<=N; j++)
    B[i][j]=A[i][j]*A[i][j]/B[i-1][j]
}

```

⇓ loop fussion ⇓

```

for (i=2; i<=N; i++) {
    for (j=1; j<=N; j++) {
        X[i][j]=X[i-1][j]*A[i][j]/B[i-1][j]
        B[i][j]=A[i][j]*A[i][j]/B[i-1][j]
    }
}

```

Η κοινή χρήση των πινάκων A και B μαρτυρά υπέρ της συγχώνευσης, έτσι ώστε τα δεδομένα των πινάκων A και B να μην χρειαστεί να αποθηκευθούν στην κρυφή μνήμη δύο φορές.

2. Η *διάσπαση βρόχων* (loop fission) μπορεί να βελτιώσει την τοπικότητα προγραμμάτων που περιέχουν μεγάλο πλήθος εντολών και μεταβλητών, διασπώντας ένα σύστημα φωλιασμένων βρόχων σε επιμέρους μικρότερα συστήματα, που το καθένα χρειάζεται μικρότερο και ξεχωριστό όγκο δεδομένων. Κάθε σύστημα επομένως μπορεί να δουλέψει με τον μικρότερο όγκο δεδομένων τα οποία χωρούν στην κρυφή μνήμη, χωρίς αυτά να απομακρυνθούν πριν τελειώσει ο μικρότερος σε έργο υπολογισμός.
3. Το *ξεδίπλωμα βρόχου* (inner unrolling) αντικαθιστά το σώμα του εσωτερικότερου βρόχου σε ένα σύστημα φωλιασμένων βρόχων με δύο ή περισσότερα αντίγραφα του σώματος και τροποποιώντας κατάλληλα τον έλεγχο ορίων του βρόχου. Με τον τρόπο αυτό αυξάνεται η παραλληλία σε επίπεδο εντολής, αφού υπάρχουν περισσότερες εντολές προς εκτέλεση ανά επανάληψη και επίσης μικραίνει η χρονική επιβάρυνση που οφείλεται στον έλεγχο ορίων, αφού γίνονται λιγότεροι ελέγχοι.
4. Η *ανάθεση μεταβλητών σε καταχωρητές scalar replacement* βελτιώνει την τοπικότητα των δεδομένων, αλλά στο επίπεδο των καταχωρητών. Σε ένα σύστημα φωλιασμένων βρόχων οι μεταβλητές εκείνες που χρησιμοποιούνται συχνότερα, αποθηκεύονται σε καταχωρητές.
5. Ο *strip mining* χρησιμοποιείται για την διαμέριση του χώρου επαναλήψεων σε λουρίδες. Για να το πετύχει αυτό, αποσυνθίεται ένα βρόχο σε δύο φωλιασμένους βρόχους ως εξής:

```

for (i=lb; i<=up; i++) {
    /* loop body */
}

```

⇓ strip mining ⇓

```

for ( ii=floor((lb-oft_ii)/step)*step+oft_ii ; i<=up;
      i+=step)
  for ( i=MAX(ii ,lb) ; i<=MIN(ii+step-1,up) ; i++) {
    /* loop body */
  }

```

Το $step$ είναι το μέγεθος της λουρίδας, και το oft_{ii} ($0 \leq oft_{ii} < step$) καθορίζει την αρχή της πρώτης λουρίδας. Ο εξωτερικός βρόχος ii μετακινείται μεταξύ των λουρίδων, ενώ ο εσωτερικός βρόχος i διατρέχει τις επαναλήψεις που αντιστοιχούν στην τρέχουσα λουρίδα.

6. Η *πλακόστρωση* (tiling) είναι ένας πολύ δημοφιλής και σημαντικός μετασχηματισμός και γι' αυτό παρουσιάζεται ξεχωριστά στην ενότητα 2.5.

2.5 Μετασχηματισμός Tiling

2.5.1 Γενικά

Ο μετασχηματισμός *tiling* αποτελεί ένα από τους πιο δημοφιλείς μετασχηματισμούς, ο οποίος εκτός από τις εφαρμογές του στο χώρο της παράλληλης επεξεργασίας, χρησιμοποιείται και για την αύξηση της τοπικότητας στην ιεραρχία μνήμης των μικροεπεξεργαστών, ειδικά όταν οι αναφορές αφορούν πίνακες μεγάλων διαστάσεων οι οποίοι δεν χωρούν ολόκληροι στα χαμηλά επίπεδα της ιεραρχίας.

Σε ένα σύστημα φωλιασμένων βρόχων όπου εφαρμόστηκε tiling, αντί να προσπελάνονται ολόκληρες γραμμές ή στήλες ενός πίνακα, οι βρόχοι εργάζονται πάνω σε υποπίνακες, που ο κάθενας χωρεί ολόκληρος στο επίπεδο της ιεραρχίας μνήμης που ενδιαφέρει. Έτσι, αυξάνεται το πλήθος των προσπελάσεων που γίνονται στα δεδομένα πριν αυτά απομακρυνθούν από το επίπεδο αυτό.

Η σημασία του μετασχηματισμού tiling επιδεικνύεται με το ακόλουθο παράδειγμα.

Παράδειγμα Ο ακόλουθος κώδικας αποτελεί την αρχική μορφή του πολλαπλασιασμού δυο πινάκων:

```

for ( i=0; i<N; i++)
  for ( j=0; j<N; j++)
    for ( k=0; k<N; k++)
      C[i][j]+=A[i][k]*B[k][j];

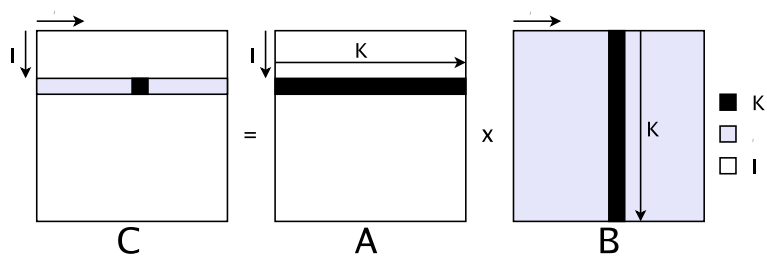
```

Μετά την εφαρμογή του μετασχηματισμού tiling προκύπτει ο ακόλουθος κώδικας:

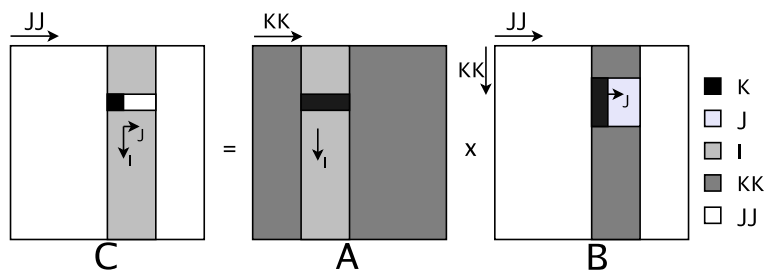
```

for ( jj=0; jj<N; jj+=step)
  for ( kk=0; kk<N; kk+=step)
    for ( i=0; i<N; i++)
      for ( j=jj; j<MIN(N, jj+step); j++)
        for ( k=kk; k<MIN(N, kk+step); k++)
          C[i][j]+=A[i][k]*B[k][j];

```



(α') κανονική μορφή



(β') tiled μορφή

Σχήμα 2.4: Προσπέλαση δεδομένων κατά την εκτέλεση του πολλαπλασιασμού πίνακα

Μελετώντας τον τρόπο που ο αρχικός κώδικας προσπελάνει τα δεδομένα, δες σχήμα 2.4(α'), παρατηρούμε ότι το στοιχείο $C[i][j]$ επαναχρησιμοποιείται από όλες τις επαναλήψεις του βρόχου k . Η δε γραμμή του A που προσπελάνεται από τον εσωτερικότερο βρόχο k , επαναχρησιμοποιείται από την επόμενη επανάληψη του j και παρόμοια η ίδια στήλη του B επαναχρησιμοποιείται από τον εξωτερικότερο βρόχο i . Στην χειρότερη περίπτωση που η κρυφή μνήμη δεν μπορεί να χωρέσει ούτε μια γραμμή του πίνακα A , τότε η γραμμή του A δεν επαναχρησιμοποιείται κι επομένως $2N^3 + N^2$ λέξεις δεδομένων πρέπει να διαβαστούν από την κύρια μνήμη σε N^3 επαναλήψεις. Η μετασχηματισμένη όμως μορφή προσπελάνει μικρά τετράγωνα τμήματα του πίνακα D κάθε φορά, δες σχήμα 2.4(β'), διαστάσεων $step \times step$. Εάν λοιπόν οι διαστάσεις του τμήματος επιλεγούν έτσι ώστε να χωρεί στην κρυφή μνήμη, τότε οι λέξεις που προσπελάνονται μειώνονται στις $(2N^3/step) + N^2$, δηλαδή έχουμε βελτίωση *size* φορές.

2.5.2 Εφαρμόζοντας τον Μετασχηματισμό Tiling

Εγκυρότητα Μετασχηματισμού

Ο μετασχηματισμός *tiling* στη συνηθισμένη περίπτωση εφαρμογής του σε ένα μόνο επίπεδο, αυξάνει το βάθος n ενός συστήματος φωλιασμένων βρόχων σε βάθος που κυμαίνεται από $n + 1$ μέχρι $2n$, ανάλογα με το πόσοι βρόχοι πλακοστρώνονται. Η πλακόστρωση ενός ή περισσότερων βρόχων αλλάζει τη σειρά διάσχυσης του χώρου επαναλήψεων, έτσι ώστε να αποτελείται από μικρότερα πολύεδρα τα οποία εκτελούνται στη σειρά.

Παράδειγμα Για το ακόλουθο σύστημα φωλιασμένων βρόχων βάθους 2, η σειρά διάσχυσης τροποποιείται όπως φαίνεται στο σχήμα 2.5.

Αρχική μορφή

```
for ( i=0; i<N; i++)
  for ( j=0; j<N; j++)
    /* loop body */
```

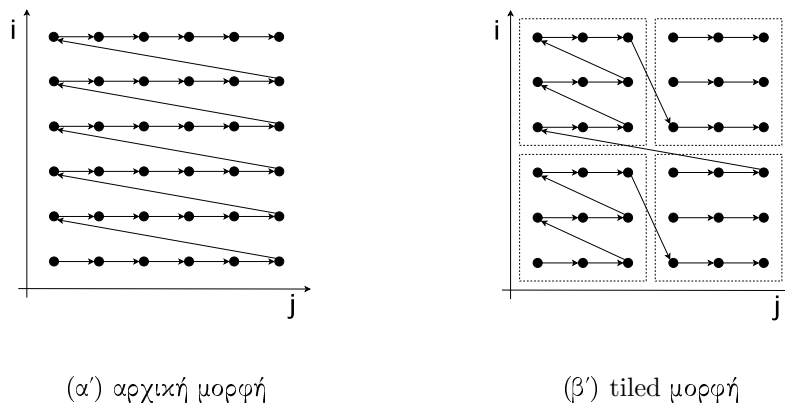
Tiled μορφή

```
for ( ii=0; ii<N; ii++)
  for ( jj=0; jj<N; jj++)
    for ( i=ii; i<MINN(, jj+size); i++)
      for ( j=jj; j<MIN(N, ii+size); j++)
        /* loop body */
```

Αφού ο μετασχηματισμός *tiling* τροποποιεί τη σειρά διάσχυση του χώρου επαναλήψεων, αυτό σημαίνει ότι η εφαρμογή του δεν είναι πάντοτε έγκυρη.

Θεώρημα[18] 2.3 Σε ένα σύστημα φωλιασμένων βρόχων, οι βρόχοι l_i μέχρι l_j μπορούν να μετασχηματιστούν με *tiling*, αν είναι πλήρως μεταθέσιμοι (θεώρημα 2.2).

Υπενθυμίζουμε ότι η μετατροπή ενός μη-πλήρως μεταθέσιμου συστήματος φωλιασμένων βρόχων σε πλήρως μεταθέσιμο, μπορεί να γίνει με χρήση της περιστροφής.



Σχήμα 2.5: Αλλαγή της σειράς εκτέλεσης των επαναλήψεων ενός συστήματος φωλιασμένων βρόχων βάθους n μετά την εφαρμογή του tiling

Επιλογή Παραμέτρων

Για την μεγιστοποίηση της τοπικότητας των δεδομένων, που αυτός άλλωστε είναι κι ο σκοπός του μετασχηματισμού, πρέπει να επιλυθούν τα δύο ερωτήματα που αφορούν τις παραμέτρους του μετασχηματισμού. Η λύση τους καθοδηγείται από την ανάλυση και εύρεση της επαναχρησιμοποίησης (ενότητα 2.2) η οποία πρέπει να προηγηθεί. Το πρώτο ερώτημα αφορά ποιοι είναι οι βρόχοι που πρέπει να πλακοστρωθούν και ποια είναι η σχετική διάταξη των βρόχων αυτών, έτσι ώστε να υπάρξει όσο το δυνατόν περισσότερη εκμετάλλευση της επαναχρησιμοποίησης και επομένως βελτίωση της τοπικότητας των δεδομένων.

Το δεύτερο ερώτημα και το πιο ευαίσθητο για την απόδοση του μετασχηματισμού είναι το μέγεθος του tile. Επιλέγοντας το βέλτιστο μέγεθος, κάθε τμήμα της υπολογιστικής διαδικασίας θα ολοκληρώνεται, χωρίς αστοχίες κρυφής μνήμης, εκτός από τις υποχρεωτικές. Βασικό ρόλο για την επιλογή του μεγέθους του tile παίζει η οργάνωση της κρυφής μνήμης. Για παράδειγμα, μια κρυφή μνήμη ευθείας αντιστοίχισης, παρόλο που μπορεί να είναι αρκετά μεγάλη για να χωρέει τα δεδομένα που χρησιμοποιούνται, δεν είναι ικανή να απαλείψει τις αστοχίες λόγω συγκρούσεων μεταξύ των στοιχείων του ίδιου πίνακα ή διαφορετικών πινάκων όπως αναφέρεται στο [10]. Σε μια τέτοια περίπτωση το μέγεθος του tile ίσως να πρέπει να επιλεγεί αρκετά μικρό για να αποφευχθούν τέτοιες συγκρούσεις. Στο [10] επίσης αναφέρεται ότι η λογική να επιλέγεται ένα σταθερό μέγεθος για το tile είναι λανθασμένη και καταστροφική. Το μέγεθος πρέπει να είναι συναρτήσει τόσο του μεγέθους της κρυφής μνήμης, όσο και του μεγέθους του προβλήματος, αλλιώς σε κρυφές μνήμες μικρής συσχέτισης, εκτός από τις αστοχίες λόγω χωρητικότητας παρατηρούνται και αστοχίες λόγω συγκρούσεων μεταξύ στοιχείων του ίδιου πίνακα.

Επίσης, για την βελτίωση της τοπικότητας στα διάφορα επίπεδα της ιεραρχίας μνήμης, θα πρέπει να εφαρμόζεται πολλαπλό tiling. Αυτό σημαίνει, αναδρομική εφαρμογή του tiling σε κάθε επίπεδο, διαιρώντας με αυτό τον τρόπο ένα tile σε μικρότερα tiles. Η βελτιστοποίηση βέβαια του πολλαπλού tiling δεν είναι τόσο απλή, λόγω των αλληλεπιδράσεων μεταξύ των διαφόρων επιπέδων. Μια πρακτική μέθοδος για την εφαρμογή πολλαπλού tiling, είναι η

διαδοχική σειριακή εφαρμογή του tiling, έτσι ώστε οι κατευθύνσεις των tiles⁵ που προκύπτουν σε διπλανά επίπεδα της ιεραρχίας, να είναι διαφορετικές. Πλεονέκτημα αυτής της μεθόδου είναι ότι για την συνολική βελτιστοποίηση του tiling, αρκεί η βελτιστοποίηση του κάθε επιπέδου ξεχωριστά.

Παραγωγή Κώδικα

Αφού επιλυθούν τα δύο αυτά ζητήματα και επιλεγούν οι δύο βασικοί παράμετροι, διάταξη βρόχων και μέγεθος tile, αυτό που απομένει είναι η εφαρμογή του μετασχηματισμού για την παραγωγή του κώδικα. Συνήθως ο μετασχηματισμός του tiling διαμερίζει το χώρο επαναλήψεων σε tiles χρησιμοποιώντας δύο γνωστούς μετασχηματισμούς, strip-mining και μετάθεση, που και οι δυο περιγράφονται στην ενότητα 2.4.

Για την διαμέριση του χώρου επαναλήψεων σε tiles, οι δύο μετασχηματισμοί (strip mining, μετάθεση) εφαρμόζονται διαδοχικά, τόσες φορές όσο το πλήθος των διαστάσεων που πρόκειται να διαμεριστούν. Αρχικά εφαρμόζεται μετάθεση, έτσι ώστε ο βρόχος που πρόκειται να διαμεριστεί να γίνει ο εξωτερικότερος. Ακολούθως για κάθε βρόχο που πρόκειται να διαμεριστεί, χρησιμοποιείται ο strip mining για την διαμέριση του και στη συνέχεια η μετάθεση για την αναδιάταξη των εσωτερικών βρόχων που διατρέχουν το χώρο επαναλήψεων, έτσι ώστε ο επόμενος βρόχος που πρόκειται να διαμεριστεί να γίνει ο εξωτερικότερος αυτών. Αφού διαμεριστούν όλοι οι επιθυμητοί βρόχοι, εφαρμόζεται για ακόμη μια τελευταία φορά η μετάθεση για να επιτευχθεί η επιθυμητή διάταξη των εσωτερικών βρόχων, η οποία βελτιώνει την τοπικότητα των δεδομένων μέσα στο tile.

Ακολούθως, στην περίπτωση πολυεπίδεδου tiling που συμπεριλαμβάνει και το επίπεδο των καταχωρητών, ξεδιπλώνονται πλήρως οι εσωτερικοί βρόχοι που διατρέχουν επαναλήψεις που βρίσκονται εντός των μικρών tiles των καταχωρητών. Τέλος, μπορεί να χρησιμοποιηθεί scalar replacement για την ανάθεση ορισμένων δεδομένων σε καταχωρητές, αποφεύγοντας με αυτό τον τρόπο περιττά load και stores.

Παράδειγμα Παρουσιάζονται τα στάδια της εφαρμογής του μετασχηματισμού tiling στον κώδικα που εκτελεί τον πολλαπλασιασμό δυο πινάκων, για το επίπεδο κρυφής μνήμης. Η τιμή που χρησιμοποιείται για το oft_{jj} και oft_{kk} κατά την εφαρμογή του strip mining είναι το 0.

Αρχική μορφή

```

for ( i=0; i<N; i++)
  for ( j=0; j<N; j++)
    for ( k=0; k<N; k++)
      C[i][j]+=A[i][k]*B[k][j];

```

$$\Downarrow \quad T = \begin{pmatrix} 0 & 1 & 0 \\ 0 & 0 & 1 \\ 1 & 0 & 0 \end{pmatrix} \quad \Downarrow$$

⁵Η κατεύθυνση ενός tile καθορίζεται από τον βρόχο που δεν πλακοστρώθηκε γι' αυτό το επίπεδο.

```

for ( j=0; j<N; j++)
  for ( k=0; k<N; k++)
    for ( i=0; i<N; i++)
      /* loop body */

```

↓ strip mining στον βρόχο *j* ↓

```

for ( jj=0; jj<N; jj+=step)
  for ( j=MAX(0, jj); j<MIN(N, jj+step); j++)
    for ( k=0; k<N; k++)
      for ( i=0; i<N; i++)
        /* loop body */

```

↓ $T = \begin{pmatrix} 0 & 1 & 0 \\ 1 & 0 & 0 \\ 0 & 0 & 1 \end{pmatrix}$ ↓

```

for ( jj=0; jj<N; jj+=step)
  for ( k=0; k<N; k++)
    for ( j=jj; j<MIN(N, jj+step); j++)
      for ( i=0; i<N; i++)
        /* loop body */

```

↓ strip mining στον βρόχο *k* ↓

```

for ( jj=0; jj<N; jj+=step)
  for ( kk=0; kk<N; kk+=step)
    for ( k=kk; k<MIN(N, kk+step); k++)
      for ( j=jj; j<MIN(N, jj+step); j++)
        for ( i=0; i<N; i++)
          /* loop body */

```

Tiled μορφή

↓ $T = \begin{pmatrix} 0 & 0 & 1 \\ 0 & 1 & 0 \\ 1 & 0 & 0 \end{pmatrix}$ ↓

```

for ( jj=0; jj<N; jj+=step)
  for ( kk=0; kk<N; kk+=step)
    for ( i=0; i<N; i++)
      for ( j=jj; j<MIN(N, jj+step); j++)
        for ( k=kk; k<MIN(N, kk+step); k++)
          C[i][j]+=A[i][k]*B[k][j];

```


Κεφάλαιο 3

Μετασχηματισμοί Δεδομένων

3.1 Γενικά

Οι μετασχηματισμοί βρόχων δεν είναι οι μόνοι μετασχηματισμοί που μπορούν να χρησιμοποιηθούν για την βελτιστοποίηση της τοπικότητας των δεδομένων σε ένα προγράμμα και κατά επέκταση του χρόνου εκτέλεσης του. Μια άλλη κατηγορία μετασχηματισμών είναι οι μετασχηματισμοί δεδομένων, οι οποίοι ασχολούνται με την διάταξη, αποθήκευση και προσπέλαση των δεδομένων, παρά με την τροποποίηση και αναδιάταξη του ελέγχου ροής ενός προγράμματος.

Σημαντικό πλεονέκτημα των μετασχηματισμών δεδομένων είναι ότι μπορούν να αγνοήσουν τις εξαρτήσεις δεδομένων και να εφαρμοσθούν στις περιπτώσεις που οι εξαρτήσεις δεν επιτρέπουν την εφαρμογή μετασχηματισμών βρόχων. Επίσης, είναι δυνατή η εφαρμογή τους και σε μη τέλεια φωλιασμένους βρόχους, των οποίων η πολυπλοκότητα δεν επιτρέπει την εφαρμογή τεχνικών από το πεδίο των μετασχηματισμών βρόχων. Από την άλλη μεριά, ένα βασικό μειονέκτημα των μετασχηματισμών δεδομένων είναι η αδυναμία τους να εκμεταλλευτούν την χρονική τοπικότητα των δεδομένων όπου αυτή υπάρχει, το οποίο δεν συμβαίνει με τους μετασχηματισμούς βρόχων. Επίσης, όπως αναφέρεται στο [6] οι μετασχηματισμοί δεδομένων δεν μπορούν να εφαρμοσθούν σε προγράμματα που χρησιμοποιούν αριθμητική δεικτών (pointer arithmetic) ή όταν δημιουργούν ψευδώνυμα (aliases) μεταξύ διαφορετικών τύπων.

Το συμπέρασμα που προκύπτει είναι ότι κανένα από τα δύο είδη μετασχηματισμού δεν υπερτερεί του άλλου αρκετά. Γι' αυτό το λόγο συνήθως οι δύο μετασχηματισμοί εφαρμόζονται ενοποιημένα για να πετύχουν το καλύτερο δυνατό αποτέλεσμα. Το ακόλουθο παράδειγμα[6] ενθαρρύνει το επιχείρημα αυτό.

Παράδειγμα Ο ακόλουθος κώδικας υλοποιεί τον πολλαπλασιασμό τριών πινάκων:

```
for ( i=0; i<N; i++)
  for ( j=0; j<N; j++)
    for ( k=0; k<N; k++)
      C[i][j]+=A[i][k]*B[k][j];
for ( i=0; i<N; i++)
  for ( j=0; j<N; j++)
    for ( k=0; k<N; k++)
```

$$F[i][j] += E[i][k] * C[k][j];$$

Υπάρχουν τρεις εναλλακτικοί τρόποι για να προσεγγίσουμε το πρόβλημα της βελτιστοποίησης της τοπικότητας:

- *Με μετασχηματισμούς δεδομένων.* Οι πίνακες A, E, F πρέπει να αποθηκευτούν κατά γραμμές, διότι ο δείκτης των στηλών ελέγχεται από βρόχο εσωτερικότερο από το βρόχο που ελέγχει το δείκτη των γραμμών. Το αντίθετο συμβαίνει για τον B κι άρα πρέπει να αποθηκευτεί κατά στήλες. Για τον πίνακα C καμιά από τις δύο δυνατές διατάξεις δεν προτιμάτε έναντι της άλλης διότι η μια είναι κατάλληλη για το πρώτο σύστημα φωλιασμένων βρόχων, ενώ η άλλη για το δεύτερο, κι επομένως υπάρχει σύγκρουση.
- *Με μετασχηματισμούς βρόχων.* Υποθέτουμε αποθήκευση των πινάκων κατά γραμμές. Ο βρόχος j θα πρέπει να γίνει ο εσωτερικότερος βρόχος, κι έτσι να προκύψει η ακόλουθη διάταξη βρόχων (i, k, j) . Έτσι, εμφανίζεται χωρική τοπικότητα για τους πίνακες B, C, F και χρονική για τους A, E .
- *Με μετασχηματισμούς βρόχων και δεδομένων.* Επιτυγχάνεται η βέλτιστη τοπικότητα μετασχηματίζοντας τους βρόχους, έτσι ώστε η διάταξη τους να είναι η (j, i, k) , και αποθηκεύοντας τους πίνακες A, E κατά γραμμές και τους B, C, F κατά στήλες.

3.2 Βασικές Έννοιες

Ορισμός 3.1 ¹ Κάθε επανάληψη ενός συστήματος m φωλιασμένων βρόχων αντιπροσωπεύεται από το m -διάστατο διάνυσμα $\vec{J} = (j_1, j_2, \dots, j_m) \in \mathbf{Z}^m$, που ονομάζεται **διάνυσμα επανάληψης** (*iteration vector*).

Ορισμός 3.2 Το σύνολο των επαναλήψεων που ορίζεται από τα όρια των φωλιασμένων βρόχων:

$$J^m = \{(j_1, j_2, \dots, j_m) \mid j_k \in \mathbf{Z} \wedge l_k \leq i_k \leq u_k, 1 \leq k \leq m\} \subseteq \mathbf{Z}^m$$

αποτελεί ένα κυρτό πολύεδρο του \mathbf{Z}^m και ονομάζεται **χώρος επαναλήψεων** (*iteration space*). Παίρνοντας μαζί όλες τις ανισότητες, σχηματίζεται η ακόλουθη ανισότητα πινάκων:

$$A \cdot \vec{J} \leq \alpha$$

Ορισμός 3.3 Κάθε στοιχείο ενός n -διάστατου πίνακα αντιπροσωπεύεται από το n -διάστατο διάνυσμα $\vec{I} = (i_1, i_2, \dots, i_n) \in \mathbf{Z}^n$, που ονομάζεται **διάνυσμα δεικτών** (*index vector*).

Ορισμός 3.4 Το σύνολο των δεικτών:

$$I^n = \{(i_1, i_2, \dots, i_n) \mid i_j \in \mathbf{Z} \wedge \lambda_j \leq i_j \leq \mu_j, 1 \leq j \leq n\} \subseteq \mathbf{Z}^n$$

αποτελεί ένα ορθογώνιο πολύεδρο² του \mathbf{Z}^n και ονομάζεται **χώρος δεικτών** (*index space*). Παίρνοντας μαζί όλες τις ανισότητες, σχηματίζεται η ακόλουθη ανισότητα πινάκων³:

$$B \cdot \vec{J} \leq \beta$$

¹Επαναλαμβάνονται ορισμένοι ορισμοί από το κεφάλαιο 2 για σκοπούς πληρότητας.

²Θεωρούμε σταθερά όρια $\lambda_j, \leq \mu_j$, αλλιώς το πολύεδρο θα είναι κυρτό.

³Ο πίνακας B της ανισότητας σχηματίζεται με τον ανάλογο τρόπο που σχηματίζεται ο πίνακας A της παραπάνω ανισότητας.

Ορισμός 3.5 Σε ένα σύστημα φωλιασμένων βρόχων βάθους m , μια αναφορά στον n -διάστατο πίνακα A μπορεί να αναπαρασταθεί με τη διανυσματική συνάρτηση $f_A(j_1, j_2, \dots, j_n) = U \cdot \vec{J} + \vec{u}$, όπου ο πίνακας U διαστάσεων $n \times m$ ονομάζεται πίνακας αναφοράς και το n -διάστατο διάνυσμα \vec{u} ονομάζεται διάνυσμα απόκλισης. Η διανυσματική συνάρτηση f_A θα ονομάζεται διάνυσμα αναφοράς.

Ορισμός 3.6 Αντιστοίχιση δεδομένων (*data mapping*) είναι η συνάρτηση η οποία απεικονίζει το διάνυσμα αναφοράς στην απόσταση από το πρώτο στοιχείο του πίνακα.

Η συνάρτηση αντιστοίχισης δεδομένων είναι σημαντική, διότι είναι αυτή που προβάλλει ένα πολυδιάστατο πίνακα στην μονοδιάστατη μνήμη.

Για ένα δισδιάστατο πίνακα τα διάνυσματα αντιστοίχισης που εκφράζουν την αποθήκευση των στοιχείων του πίνακα κατά γραμμές και κατά στήλες, δεδομένου ότι το μήκος κάθε γραμμής ή στήλης είναι n , είναι αντίστοιχα τα:

$$m = \begin{pmatrix} n \\ 1 \end{pmatrix} \quad m = \begin{pmatrix} 1 \\ n \end{pmatrix}$$

Το εσωτερικό γινόμενο των διανυσμάτων αναφοράς αντιστοίχισης δίνει τη μετατόπιση της αντιστοίχισης. Για παράδειγμα μια αναφορά $A[i][j]$ έχει διάνυσμα αναφοράς το (i, j) και επομένως η μετατόπιση της αντιστοίχισης σε πίνακα αποθηκευμένο κατα γραμμές είναι:

$$\psi = (i, j) \cdot \begin{pmatrix} n \\ 1 \end{pmatrix} = in + j$$

3.3 Μετασχηματισμοί δεδομένων

3.3.1 Ορισμός

Βασιζόμενοι στο [15] θα παρουσιάσουμε σε γενικές γραμμές το βασικό θεωρητικό πλαίσιο των μετασχηματισμών δεδομένων των οποίων ο πίνακας μετασχηματισμού είναι αντιστρέψιμος.

Ορισμός 3.7 Ένας μετασχηματισμός δεδομένων (*data transformation*) (\mathcal{A}, a) για ένα n -διάστατο πίνακα A , αποτελείται από ένα $n \times n$ αντιστρέψιμο πίνακα \mathcal{A} και ένα n -διάστατο διάνυσμα a .

Στην περίπτωση που το διάνυσμα a είναι ίσο με $\mathbf{0}$, το (\mathcal{A}, a) γράφεται απλά \mathcal{A} . Εφαρμόζοντας τον μετασχηματισμό \mathcal{A} στο διάνυσμα αναφοράς \vec{f}_A ενός πίνακα A , παίρνουμε το νέο διάνυσμα αναφοράς:

$$\vec{f}'_A = U' \cdot J + \vec{u}' = \mathcal{A} \cdot U \cdot J + (\mathcal{A}\vec{u} + \vec{a})$$

3.3.2 Εφαρμογή Μετασχηματισμού

Ο μετασχηματισμός δεδομένων (\mathcal{A}, a) που αφορά ένα πίνακα δεδομένων A , εφαρμόζεται σε κάθε προσπέλαση που γίνεται στον πίνακα, ενημερώνοντας έτσι τους δείκτες των προσπελάσεων αυτών, και επίσης αλλάζει την διάταξη με την οποία αποθηκεύεται στην μνήμη ο πίνακας A . Γι' αυτό και οι μετασχηματισμοί δεδομένων είναι οικουμενικοί, σε αντίθεση με

τους μετασχηματισμούς βρόχων που είναι τοπικοί. Επίσης, ο \mathcal{A} είναι ένας αριστερά εφαρμοζόμενος μετασχηματισμός, σε αντίθεση με τους μετασχηματισμούς βρόχων οι οποίοι είναι δεξιά εφαρμοζόμενοι.

Για την αλλαγή της διάταξης με την οποία αποθηκεύεται ο πίνακας A στη μνήμη, μετασχηματίζουμε το χώρο δεικτών χρησιμοποιώντας τον μετασχηματισμό (A, a) .

Οι νέοι δείκτες J' σχετίζονται με τους παλιούς J ως:

$$J' = \mathcal{A} \cdot \vec{J} + \vec{a}$$

Επομένως:

$$J = \mathcal{A}^{-1} \cdot \vec{J}' - \mathcal{A}^{-1} \vec{a}$$

Και αντικαθιστώντας την τελευταία στην

$$B \cdot \vec{J} \leq \beta$$

προκύπτει:

$$B \cdot (\mathcal{A}^{-1} \cdot \vec{J}' - \mathcal{A}^{-1} \vec{a}) \leq \beta \Rightarrow B \cdot \mathcal{A}^{-1} \cdot \vec{J}' \leq \beta + \mathcal{A}^{-1} \vec{a}$$

Συνοψίζοντας, με την εφαρμογή του μετασχηματισμού (A, a) τα όρια του νέου χώρου δεικτών βρίσκονται από την λύση της ανισότητας:

$$B' \cdot \vec{J}' \leq \beta'$$

όπου: $B' = B \cdot \mathcal{A}^{-1}$ και $\beta' = \beta + B \cdot \mathcal{A}^{-1} \vec{a}$

Η παραπάνω ανίσωση στη γενική περίπτωση δεν θα δώσει σταθερά όρια. Εάν υπάρχει ανάγκη για σταθερά όρια τότε μπορεί να χρησιμοποιηθεί το μικρότερο ορθογώνιο πολύεδρο που περικλείει το χώρο δεικτών.

Παράδειγμα Έστω το ακόλουθο τμήμα του κώδικα ενός προγράμματος:

```
int A[8][4], B[4][8];
...
for (i=0; i<3; i++)
    for (j=1; j<4; j++)
        A[j][i]=A[j-1][i+1]+B[j][i+j];
```

Εφαρμόζοντας τους ακόλουθους μετασχηματισμούς δεδομένων:

$$\mathcal{A}_A = \begin{pmatrix} 0 & 1 \\ 1 & 0 \end{pmatrix} \quad a_A = \begin{pmatrix} 0 \\ 0 \end{pmatrix}$$

$$\mathcal{A}_B = \begin{pmatrix} -1 & 1 \\ 1 & 0 \end{pmatrix} \quad a_B = \begin{pmatrix} 0 \\ 4 \end{pmatrix}$$

παίρνουμε:

$$U'_A = \begin{pmatrix} 0 & 1 \\ 1 & 0 \end{pmatrix} \begin{pmatrix} 0 & 1 \\ 1 & 0 \end{pmatrix} = \begin{pmatrix} 1 & 0 \\ 0 & 1 \end{pmatrix}$$

$$u'_A = \begin{pmatrix} 0 & 1 \\ 1 & 0 \end{pmatrix} \begin{pmatrix} 0 \\ 0 \end{pmatrix} + \begin{pmatrix} 0 \\ 0 \end{pmatrix} = \begin{pmatrix} 0 \\ 0 \end{pmatrix}$$

Επομένως, η εικόνα της αναφοράς $A[j][i]$ είναι η $A[i][j]$. Η εικόνα της $A[j-1][i+1]$ βρίσκεται παρόμοια.

$$U'_B = \begin{pmatrix} -1 & 1 \\ 1 & 0 \end{pmatrix} \begin{pmatrix} 0 & 1 \\ 1 & 1 \end{pmatrix} = \begin{pmatrix} 1 & 0 \\ 0 & 1 \end{pmatrix}$$

$$u'_B = \begin{pmatrix} -1 & 1 \\ 1 & 0 \end{pmatrix} \begin{pmatrix} 0 \\ 0 \end{pmatrix} + \begin{pmatrix} 4 \\ 0 \end{pmatrix} = \begin{pmatrix} 4 \\ 0 \end{pmatrix}$$

Επομένως, η εικόνα της αναφοράς $B[j][i+j]$ είναι η $B[i+4][j]$.

Απομένει να βρούμε τα όρια του χώρου δεικτών. Ο αρχικός χώρος δεικτών για τους δύο πίνακες απεικονίζεται από τις ανισώσεις:

$$\begin{pmatrix} 1 & 0 \\ 0 & 1 \\ -1 & 0 \\ 0 & -1 \end{pmatrix} \begin{pmatrix} i_1 \\ i_2 \end{pmatrix} \leq \begin{pmatrix} 7 \\ 3 \\ 0 \\ 0 \end{pmatrix}$$

$$\begin{pmatrix} 1 & 0 \\ 0 & 1 \\ -1 & 0 \\ 0 & -1 \end{pmatrix} \begin{pmatrix} i_1 \\ i_2 \end{pmatrix} \leq \begin{pmatrix} 3 \\ 7 \\ 0 \\ 0 \end{pmatrix}$$

Οι αντίστροφοι των πινάκων μετασχηματισμών είναι:

$$\mathcal{A}_A^{-1} = \begin{pmatrix} 0 & 1 \\ 1 & 0 \end{pmatrix} \quad \mathcal{A}_B^{-1} = \begin{pmatrix} 0 & 1 \\ 1 & -1 \end{pmatrix}$$

Και άρα οι ανισότητες που περιγράφουν τους νέους χώρους δεικτών που προκύπτουν από τους μετασχηματισμούς είναι οι ακόλουθες:

$$\begin{pmatrix} 0 & 1 \\ 1 & 0 \\ 0 & -1 \\ -1 & 0 \end{pmatrix} \begin{pmatrix} i'_1 \\ i'_2 \end{pmatrix} \leq \begin{pmatrix} 7 \\ 3 \\ 0 \\ 0 \end{pmatrix}$$

$$\begin{pmatrix} 0 & 1 \\ 1 & 1 \\ 0 & -1 \\ -1 & -1 \end{pmatrix} \begin{pmatrix} i'_1 \\ i'_2 \end{pmatrix} \leq \begin{pmatrix} 3 \\ 11 \\ 0 \\ -4 \end{pmatrix}$$

Για τον πίνακα A τα όρια είναι προφανή. Για τον πίνακα B όμως θα πρέπει να λυθούν οι ανισότητες:

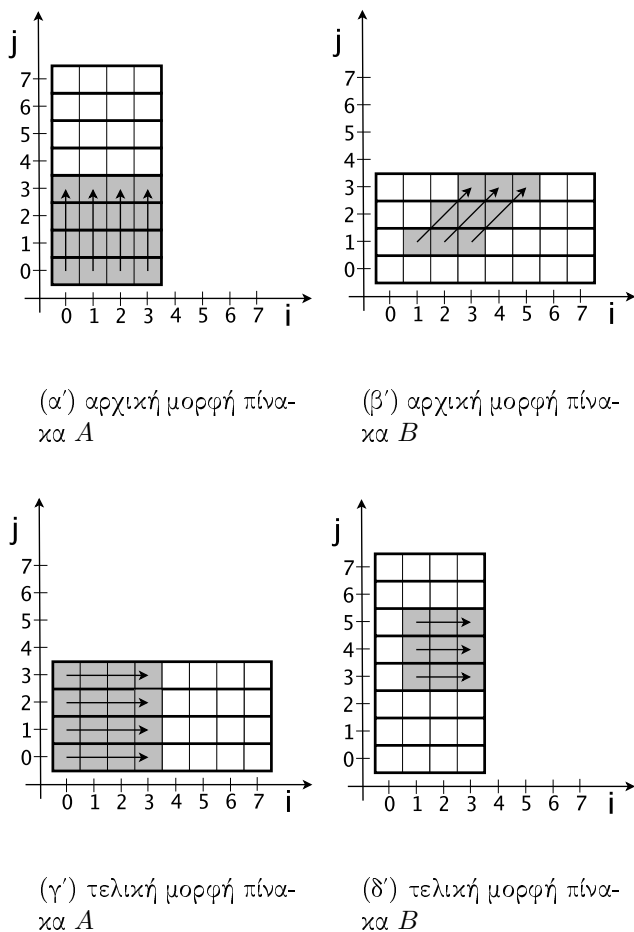
$$4 - i'_2 \leq i'_1 \leq 11 - i'_2$$

$$0 \leq i'_2 \leq 3$$

Αυτό όμως που μας ενδιαφέρει είναι να βρούμε το μικρότερο ορθογώνιο πολύεδρο που περι-κλείει το χώρο δεικτών, το οποίο είναι:

$$1 \leq i'_1 \leq 11$$

$$0 \leq i'_2 \leq 3$$



Σχήμα 3.1: Μοτίβο προσπέλασης των δεδομένων των πινάκων A και B πριν και μετά την εφαρμογή του μετασχηματισμού δεδομένων

```

int A[4][8], B[12][4];
...
for (i=0; i<3; i++)
    for (j=1; j<4; j++)
        A[i][j]=A[i+1][j-1]+B[i+4][j];

```

Στο σχήμα 3.1 παρουσιάζονται τα μοτίβα προσπέλασης δεδομένων πριν και μετά την εφαρμογή του μετασχηματισμού δεδομένων.

3.3.3 Ορισμένες Βασικές Μορφές

Θα παρουσιάσουμε ορισμένους βασικούς μετασχηματισμούς δεδομένων των οποίων ο πίνακας μετασχηματισμού είναι αντιστρέψιμος.

Unimodular Μετασχηματισμοί⁴ Τέτοιοι είναι η μετάθεση, η αναστροφή και η περιστροφή του πίνακα δεδομένων.

$$\begin{array}{l} \text{μετάθεση} \\ \text{αναστροφή} \\ \text{περιστροφή} \end{array} \begin{array}{l} \left(\begin{array}{cc} 0 & 1 \\ 1 & 0 \end{array} \right), \\ \left(\begin{array}{cc} 1 & 0 \\ 0 & -1 \end{array} \right), \\ \left(\begin{array}{cc} 1 & 0 \\ 1 & 1 \end{array} \right), \end{array} \begin{array}{l} \left(\begin{array}{c} 0 \\ 0 \end{array} \right) \\ \left(\begin{array}{c} 0 \\ 0 \end{array} \right) \\ \left(\begin{array}{c} 0 \\ 0 \end{array} \right) \end{array}$$

Σημειώνεται ότι, αν και ο μετασχηματισμένος χώρος δεικτών έχει το ίδιο πλήθος σημείων με τον αρχικό χώρο, το πολύεδρο είναι κυρτό εν γένει, όπως για παράδειγμα με τον μετασχηματισμό της περιστροφής. Σε μια τέτοια περίπτωση, εάν ο πίνακας πρέπει να αποθηκευτεί με τη χρήση ενός ορθογώνιου πίνακα, θα υπάρχουν σημεία που θα μένουν κενά. Επίσης, η συνηθισμένη μεταγωγή μεταξύ της κατά γραμμές ή της κατά στήλες αποθήκευσης του πίνακα γίνεται με τον μετασχηματισμό της μετάθεσης.

Διεύρυνση(Scaling) Χρησιμοποιείται για την διεύρυνση ενός μικρού πίνακα. Για παράδειγμα, εάν θέλουμε να κλιμακώσουμε το πρώτο δείκτη κατά 2, ο πίνακας μετασχηματισμού είναι ο ακόλουθος:

$$\left(\begin{array}{cc} 1 & 0 \\ 0 & 2 \end{array} \right), \left(\begin{array}{c} 0 \\ 0 \end{array} \right)$$

Συμπίεση(Compression) Χρησιμοποιείται για την συμπίεση ενός πίνακα, όταν το μέγεθος του χώρου είναι κρίσιμο. Για παράδειγμα, εάν θέλουμε να συμπίεσουμε το πρώτο δείκτη κατά 2, ο πίνακας μετασχηματισμού είναι ο ακόλουθος:

$$\left(\begin{array}{cc} 1/2 & 0 \\ 0 & 1 \end{array} \right), \left(\begin{array}{c} 0 \\ 0 \end{array} \right)$$

Ολίσθηση(Shift) Χρησιμοποιείται για την ολίσθηση ενός πίνακα κατά μια σταθερά. Κάτι τέτοιο είναι χρήσιμο στην περίπτωση που επιθυμούμε ο πίνακας να ευθυγραμμιστεί (data alignment) και να αποθηκευτεί σε διαφορετική θέση μέσα στην κρυφή μνήμη, με σκοπό την ελάττωση των συγκρούσεων με άλλους πίνακες που υπάρχουν στην κρυφή μνήμη. Για παράδειγμα, εάν θέλουμε να ολισθήσουμε τον πίνακα κατά -1, ο πίνακας μετασχηματισμού είναι ο ακόλουθος:

$$\left(\begin{array}{cc} 1 & 0 \\ 0 & 1 \end{array} \right), \left(\begin{array}{c} 1 \\ 0 \end{array} \right)$$

⁴Σε αναλογία με τους μετασχηματισμούς βρόχων.

3.3.4 Εγκυρότητα

Αρχικά, για να είναι έγκυρος ένας μετασχηματισμός δεδομένων, θα πρέπει να ενημερώνονται όλες οι αναφορές και να μην προκύπτουν συγκρούσεις μεταξύ δύο αναφορών. Για παράδειγμα εάν τα στοιχεία $A[1][2]$ και $A[3][4]$ προσπελάνονται και τα δύο, τότε δεν θα πρέπει να μετασχηματιστούν και να αποθηκευτούν στο ίδιο σημείο, έστω $A'[1][2]$. Θα πρέπει επίσης να βεβαιωθούμε ότι δεν χάνονται χρήσιμα δεδομένα⁵ με τη χρήση του νέου σχήματος. Επιπρόσθετα, θα πρέπει να βεβαιωθούμε ότι όλες οι εξαρτήσεις δεδομένων διατηρούνται. Το επόμενο σημαντικό θεώρημα αποδικνύεται στο [15].

Θεώρημα 3.1 Η εφαρμογή μετασχηματισμών δεδομένων που ο πίνακας τους είναι αντιστρεψίμος, $\det(A) \neq 0$, είναι πάντοτε έγκυρη.

3.4 Ενοποίηση Μετασχηματισμών Βρόχων και Δεδομένων

3.4.1 Γενικά

Φορμαλιστικά, η ενοποιημένη εφαρμογή ενός μετασχηματισμού βρόχων, έστω \mathcal{L} , και ενός μετασχηματισμού δεδομένων, έστω \mathcal{A} , μετασχηματίζει ένα πίνακα αναφορών U στον νέο πίνακα αναφορών U' :

$$U' = \mathcal{A}U\mathcal{L}^{-1}$$

Η ερευνητική κοινότητα αναγνώρισε την ανάγκη για ενοποίηση των μετασχηματισμών βρόχων και δεδομένων με σκοπό την εκμετάλλευση της τοπικότητας που δεν είναι δυνατό να εκμεταλλευτεί η ξεχωριστή εφαρμογή των δύο τύπων μετασχηματισμών. Σκοπός είναι με το μετασχηματισμό δεδομένων να επιτυγχάνεται η αποθήκευση των δεδομένων με τη σειρά που αυτά προσπελάνονται από τον βελτιστοποιημένο με τους μετασχηματισμούς βρόχων κώδικα.

3.4.2 Γραμμικές Διατάξεις

Στις γραμμικές διατάξεις τα δεδομένα ενός πίνακα αποθηκεύονται στη μνήμη ως μια φωλιασμένη διάτρεξη των διαστάσεων. Η εσωτερικότερη διάσταση αποτελεί τη διάσταση κατά την οποία αποθηκεύεται ο πίνακας στην μνήμη και αποτελεί τη γρηγορότερα μεταβαλλόμενη διάσταση του πίνακα. Για ένα n -διάστατο πίνακα υπάρχουν $n!$ πιθανές γραμμικές διατάξεις. Για παράδειγμα, ένας διδιάστατος πίνακας έχει δύο πιθανές τέτοιες διατάξεις: κατά γραμμές ή κατά στήλες. Στην κατά γραμμές (βλέπε σχήμα 3.2(α')) αποθηκεύεται αρχικά η πρώτη γραμμή του πίνακα, ακολουθεί η δεύτερη γραμμή κ.ο.κ και η γρηγορότερα μεταβαλλόμενη διάσταση είναι η διάσταση i_1 ή αλλιώς διάσταση γραμμών. Στην κατά στήλες αποθηκεύεται αρχικά η πρώτη στήλη του πίνακα, ακολουθεί η δεύτερη στήλη κ.ο.κ και η γρηγορότερα μεταβαλλόμενη διάσταση είναι η διάσταση i_2 ή αλλιώς διάσταση στηλών.

Στο [6] παρουσιάζεται μια ενιαία προσέγγιση η οποία περιορίζεται σε γραμμικές διατάξεις πινάκων. Εισάγεται η έννοια του διανύσματος διασκελισμού (stride vector) ως εναλλακτικό

⁵Με τον όρο χρήσιμα δεδομένα, αναφερόμαστε στα δεδομένα που γίνεται τουλάχιστο μια αναφορά κι άρα χρησιμοποιούνται. Για παράδειγμα, σε ένα αραιό πίνακα αναφορές γίνονται μόνο στα μη μηδενικά στοιχεία.

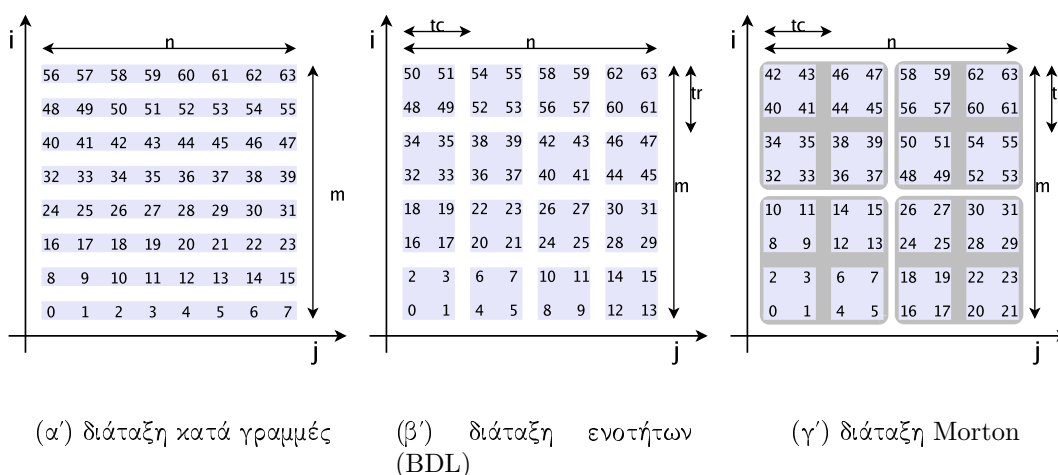
του διανύσματος επαναχρησιμοποίησης (βλέπε εότητα 2.2) και αναπτύσσεται μια στρατηγική βελτιστοποίησης με σκοπό την εύρεση του επιθυμητού διανύσματος αντιστοίχισης (mapping vector), που αντιπροσωπεύει διατάξεις δεδομένων, και τον πίνακα μετασχηματισμού. Στο τέλος προκύπτει η εξίσωση: $L\vec{v} = U\vec{m}$, όπου το μόνο γνωστό είναι ο πίνακας αναφορών U . Ο αλγόριθμος προσπαθεί να βρει τον μετασχηματισμό του χώρου επαναλήψεων L , το διάνυσμα αντιστοίχισης \vec{m} , το οποίο έχει $n!$ πιθανές μορφές για ένα n -διάστατο πίνακα, και το διάνυσμα διασκέλισης \vec{v} . Επειδή το πρόβλημα είναι αρκετά δύσκολο, χρησιμοποιείται η ακόλουθη ευριστική μέθοδος. Πρώτο, υποθέτει ότι ο πίνακας L περιέχει μόνο 0 και 1. Δεύτερο, η τιμή του διανύσματος \vec{v} θεωρείται γνωστή. Ο αλγόριθμος κατασκευάζει σταδιακά γραμμή-γραμμή τον πίνακα T χρησιμοποιώντας ένα περιορισμένο αριθμό από μετασχηματισμούς. Μειονεκτήματα της μεθόδου αυτής είναι η μικρή ακρίβεια, λόγω του περιορισμένου εύρους μετασχηματισμών που χρησιμοποιούνται και επίσης το γεγονός ότι είναι αναγκαία η γνώση του \vec{v} .

Στο [9] παρουσιάζεται μια άλλη μέθοδος για τον συνδυασμό μετασχηματισμών δεδομένων και βρόχων, η οποία όντως στηρίζόμενη στην παραπάνω μέθοδο περιορίζεται κι αυτή σε γραμμικές διατάξεις πινάκων. Ο αλγόριθμος διακρίνει τους πίνακες δεδομένων ανάλογα με τη θέση που εμφανίζονται μέσα σε μια έκφραση: πίνακας LHS, όταν εμφανίζεται στο αριστερό μέλος και πίνακες RHS, όταν εμφανίζονται στο δεξιό μέλος. Επειδή συνήθως ένας πίνακας LHS, εμφανίζεται και ως RHS, ο αλγόριθμος προσπαθεί αρχικά να βρει τη βέλτιστη διάταξη του LHS πίνακα. Ο πίνακας μετασχηματισμού L θα πρέπει να είναι τέτοιος έτσι ώστε ο δείκτης j_m του διανύσματος επανάληψης $\vec{J} = j_1, \dots, j_m$ του μετασχηματισμένου συστήματος φωλιασμένων βρόχων να δεικτοδοτεί μονάχος μόνο μια διάσταση r του πίνακα LHS. Τότε ο πίνακας LHS αποθηκεύεται με γρηγορότερα μεταβαλλόμενη διάσταση την διάσταση r . Ακολούθως, βελτιστοποιείται η διάταξη του πίνακα RHS. Για την βελτιστοποίηση του πίνακα RHS ο αλγόριθμος ελέγχει αν εμφανίζεται μονάχος ο δείκτης j_m μόνο σε κάποια διάσταση s και αν πράγματι συμβαίνει αυτό, τότε ο πίνακας αποθηκεύεται με γρηγορότερα μεταβαλλόμενη διάσταση, την διάσταση s . Αν αυτό δεν είναι δυνατό, τότε ελέγχεται ο δείκτης j_{m-1} αν εμφανίζεται μόνο με τον j_m σε κάποια διάσταση s' , κ.ο.κ. και τότε αποθηκεύεται ο πίνακας RHS με γρηγορότερα μεταβαλλόμενη διάσταση την διάσταση s' . Η όλη διαδικασία επαναλαμβάνεται για όλες τις εναλλακτικές διατάξεις αποθήκευσης του πίνακα LHS και στο τέλος επιλέγεται η λύση η οποία εκμεταλλεύεται χωρική τοπικότητα στον εσωτερικότερο βρόχο για τις περισσότερες αναφορές πινάκων. Με τον αλγόριθμο αυτό κατασκευάζεται ταυτόχρονα ο μετασχηματισμός βρόχων και η διάταξη αποθήκευσης των πινάκων.

3.4.3 Διάταξη Ενοτήτων

Οι προηγούμενες μέθοδοι προσπαθούν να βρουν την βέλτιστη γραμμική διάταξη για την αποθήκευση των πινάκων. Τέτοιες όμως γραμμικές διατάξεις ευνοούν μόνο μια διάσταση του πίνακα, δημιουργώντας ανεπιθύμητα μοτίβα προσπέλασης δεδομένων. Οι αστοχίες κρυφής μνήμης λόγω συγχρούσεων που προκαλούνται από τις γραμμικές διατάξεις έχουν σαν αποτέλεσμα την δραστική μείωση της επίδοσης του συστήματος μνήμης. Μια λύση στο πρόβλημα είναι η χρήση των διατάξεων ενοτήτων (block data layouts-BDL). Η χρήση τέτοιων διατάξεων στηρίζεται στην υψηλή επίδοση του μετασχηματισμού tiling, η οποία θα μπορούσε να αυξηθεί ακόμη περισσότερο αν τα δεδομένα αποθηκεύονταν με τη διάταξη που αυτά προσπελάνονται, δηλαδή σε ενότητες (blocks).

Σύμφωνα με το [5] ένας δισδιάστατος πίνακας διαστάσεων $m \times n$ μπορεί να θεωρηθεί ως ένας πίνακας διαστάσεων $\lceil \frac{m}{t_R} \rceil \times \lceil \frac{n}{t_C} \rceil$ αποτελούμενος από ενότητες διαστάσεων $t_R \times$



Σχήμα 3.2: Τρεις διαφορετικές διατάξεις αποθήκευσης δεδομένων

t_C . Κατ' επέκταση, ο δισδιάστατος χώρος (i, j) του αρχικού πίνακα αντιστοιχίζεται σε ένα τετραδιάστατο χώρο (t_i, t_j, f_i, f_j) . Για την διάταξη των δεδομένων μέσα στο χώρο (f_i, f_j) της κάθε ενότητας προτείνεται η χρήση γραμμικής διάταξης, δηλαδή διάταξη κατά στήλες ή κατά γραμμές, ανάλογα με τη σειρά που τα δεδομένα προσπελάνονται από τον κώδικα του προγράμματος (βλέπε σήμα 3.2(β')). Παρόλα αυτά, οι επιπλέον εντολές που εκτελούνται για την μετατροπή των δισδιάστατων αναφορών προσπέλασης σε τετραδιάστατες, επιβαρύνουν το συνολικό χρόνο εκτέλεσης.

Μια άλλη παρόμοια διάταξη είναι η αναδρομική διάταξη Morton (βλέπε σήμα 3.2(γ')). Στην διάταξη αυτή ο αρχικός πίνακας χωρίζεται στα τέσσερα τεταρτημόρια, και κάθε υποπίνακας που προκύπτει προβάλλεται συνεχόμενα στην μνήμη. Στη συνέχεια, κάθε τέτοιος υποπίνακας υποδιαιρείται αναδρομικά και προβάλλεται με τον ίδιο τρόπο, μέχρι οι υποπίνακες φτάσουν το επιθυμητό μέγεθος της ενότητας.

Στην επόμενη ενότητα παρουσιάζεται η μέθοδος MBaLt η οποία είναι ιδιαίτερα αποτελεσματική για την γρήγορη δεικτοδότηση των ενότητων που προκύπτουν από την εφαρμογή διατάξεων τύπου BDL.

3.5 Η Μέθοδος Διευθυνσιοδότησης MBaLt

Η Αθανασάκη στο [2][16] προτείνει μια αποδοτική μέθοδο υπολογισμού διευθύνσεων για διατάξεις ενότητων, την οποία ονομάζει *MBaLt* (Masked Blocked array Layouts). Υιοθετεί διατάξεις ενότητων και δεικτοδότηση διστάλμένων ακεραίων, παρόμοια με την δεικτοδότηση που χρησιμοποιείται στην διάταξη Morton. Επομένως, συνδυάζει τοπικότητα δεδομένων, λόγω των διατάξεων BDL, μαζί με αποδοτική προσπέλαση των στοιχείων, αφού οι πράξεις που γίνονται για την δεικτοδότηση ανάγονται σε απλές πράξεις δυαδικών αριθμών. Η ενσωμάτωση της μεθόδου σε κώδικες που εφαρμόζουν tiling⁶ έχει σαν αποτέλεσμα την αποθήκευση των

⁶Η ενσωμάτωση της MBaLt σε κώδικες tiling είναι πιο εύκολη, όταν το σύστημα φωλιασμένων βρόχων είναι πλακωστρομένο σε όλες τις διαστάσεις, δηλαδή έχει βάθος βάθος $2N$, όπου N το βάθος

δεδομένων με τη σειρά που αυτά προσπελάνονται, χωρίς οι επιπλέον πράξεις που γίνονται για τη δεικτοδότηση να επιβαρύνουν σε μεγάλο βαθμό το συνολικό χρόνο εκτέλεσης.

3.5.1 Διεσταλμένοι Ακέραιοι (Dilated Integers) και Δεικτοδότηση Morton

Οι ακόλουθοι ορισμοί ισχύουν μόνο για δισδιάστατους πίνακες.

Ορισμός 3.8 Ο ακέραιος $\vec{b} = \sum_{k=0}^{w-1} 4^k$ είναι η σταθερά 0x55555555 και καλείται *evenBits*. Παρόμοια, ο ακέραιος $\overleftarrow{b} = 2\vec{b}$ είναι η σταθερά 0xaaaaaaaa και καλείται *oddBits*.

Ορισμός 3.9 Η άρτια-διεσταλμένη (*even-dilated*) αναπαράσταση του $j = \sum_{k=0}^{w-1} j_k 2^k$ είναι $\sum_{k=0}^{w-1} j_k 4^k$ και συμβολίζεται με \vec{j} . Η περιττή-διεσταλμένη (*odd-dilated*) αναπαράσταση του $i = \sum_{k=0}^{w-1} i_k 2^k$ είναι $2\vec{i}$ και συμβολίζεται με \overleftarrow{i} .

Θεώρημα 3.2 Η δεικτοδότηση Morton για το $\langle i, j \rangle$ στοιχείο ενός πίνακα είναι $\overleftarrow{i} \vee \vec{j}$, ή $\overleftarrow{i} + \vec{j}$.

Έστω λοιπόν ο δείκτης γραμμής i με τα δυαδικά ψηφία του διεσταλμένα, έτσι ώστε να καταλαμβάνουν τις θέσεις των ψηφίων 1 του *oddBits*, και ο δείκτης στήλης j με τα δυαδικά ψηφία του διεσταλμένα, έτσι ώστε να καταλαμβάνουν τις θέσεις των ψηφίων 1 του *evenBits*. Εάν ο πίνακας A είναι αποθηκευμένος σε διάταξη *Morton*, τότε το στοιχείο (i, j) προσπελάεται ως $A[i + j]$ ασχέτως του μεγέθους του πίνακα.

Ένας βρόχος της μορφής:

```
for (i=0; i<N; i++)
```

...

τροποποιείται στον:

```
for (im=0; im<Nm; im=(im-evenBits)&evenBits)
```

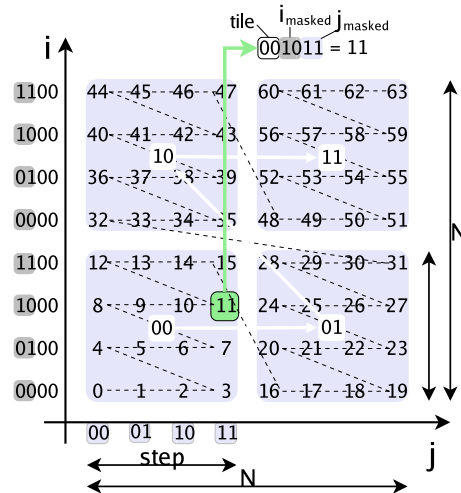
...

όπου $im = \vec{i}$ και $Nm = \vec{N}$.

Εάν χρησιμοποιούμε αναπαράσταση διεσταλμένων ακέραιων για την δεικτοδότηση ενός πίνακα, τότε εάν ένας δείκτης:

- Χρησιμοποιείται μόνο ως δείκτης στήλης, η αναπαράσταση του είναι άρτια.
- Χρησιμοποιείται μόνο ως δείκτης γραμμής, η αναπαράσταση του είναι περιττή.
- Χρησιμοποιείται ως δείκτης στήλης και γραμμής, η αναπαράσταση του είναι άρτια και όταν θέλουμε την περιττή αναπαράσταση του απλώς διπλασιάζουμε.

του συστήματος χωρίς tiling.



Σχήμα 3.3: Μετασχηματισμός ZZ

Παράδειγμα Ο πολλαπλασιασμός πινάκων με πίνακες αποθηκευμένους σε διάταξη Morton είναι ο ακόλουθος:

```
#define evenIncrement(i) (i=((i-evenBits)&evenBits))
#define oddIncrement(i) (i=((i-oddBits)&oddBits))
for (i=0; i<colsOdd; oddIncrement(i))
  for (j=0; j<rowsEven; evenIncrement(j))
    for (k=0; k<rowsAEven; evenIncrement(k))
      C[i+j]+=A[i+k]*B[2*k+j];
...

```

Όπου, rowsEven, colsOdd και rowsAEven είναι τα όρια σε αναπαράσταση διεσταλμένων ακεραίων. Παρατηρείστε ότι ο k χρησιμοποιείται ως δείκτης στήλης και ως δείκτης γραμμής. Επομένως, μετατρέπεται στον \overleftarrow{k} και όταν χρησιμοποιηθεί ως δείκτης γραμμής διπλασιάζεται για να μας δώσει το \overleftarrow{k} .

3.5.2 Μια Πρώτη Προσέγγιση

Τα BDL επεκτείνονται, έτσι ώστε τα δεδομένα να αποθηκεύονται με τη σειρά που αυτά προσπελάνονται όταν εκτελείται το πρόγραμμα. Αυτή η διάταξη αποθήκευσης παρουσιάζεται στο σχήμα 3.3 για ένα πίνακα μεγέθους 8×8 , ο οποίος υποδιαιρείται σε tiles μεγέθους 4×4 . Η διακεκομμένη γραμμή δείχνει τη σειρά με την οποία το πρόγραμμα προσπελάνει τα δεδομένα, ενώ η αρίθμηση δηλώνει τη σειρά με την οποία τα δεδομένα είναι αποθηκευμένα. Οι πίνακες υποδιαιρούνται σε tiles ίδιου μεγέθους με αυτά που χρησιμοποιεί το πρόγραμμα το οποίο προσπελάνει τα στοιχεία του πίνακα.

Ο μετασχηματισμός του παραδείγματος ονομάζεται ZZ, διότι το εσωτερικό των tiles σαρώνεται κατά γραμμές, όμοια με Z και η μετακίνηση από tile σε tile είναι επίσης όμοια με Z. Γενικά, το πρώτο γράμμα του μετασχηματισμού δηλώνει τη μετακίνηση από tile σε tile, ενώ το δεύτερο γράμμα δηλώνει τη σειρά με την οποία τα δεδομένα σαρώνονται στο εσωτερικό του tile.

Η σάρωση των στοιχείων ενός πίνακα σε διάταξη ZZ μπορεί να γίνει με τον ακόλουθο κώδικα:

```
/* ZZ-order */
for ( ii=0; ii<N; ii+=step)
  for ( jj=0; jj<N; jj+=step)
    for ( i=ii; i<MIN(ii+step,N); i++)
      for ( j=jj; j<MIN(jj+step,N); j++)
        A[i][j]=...;
```

Παρόμοια προκύπτουν και οι άλλες τρεις μορφές του μετασχηματισμού: NZ, NN και ZN, οι οποίες παρουσιάζονται στο σχήμα 3.4. Οι αντίστοιχοι κώδικες σάρωσης είναι οι παρακάτω:

```
/* NZ-order */
for ( jj=0; jj<N; jj+=step)
  for ( ii=0; ii<N; ii+=step)
    for ( i=ii; i<MIN(ii+step,N); i++)
      for ( j=jj; j<MIN(jj+step,N); j++)
        A[i][j]=...;
```

```
/* ZN-order */
for ( ii=0; ii<N; ii+=step)
  for ( jj=0; jj<N; jj+=step)
    for ( i=ii; i<MIN(ii+step,N); i++)
      for ( j=jj; j<MIN(jj+step,N); j++)
        A[j][i]=...;
```

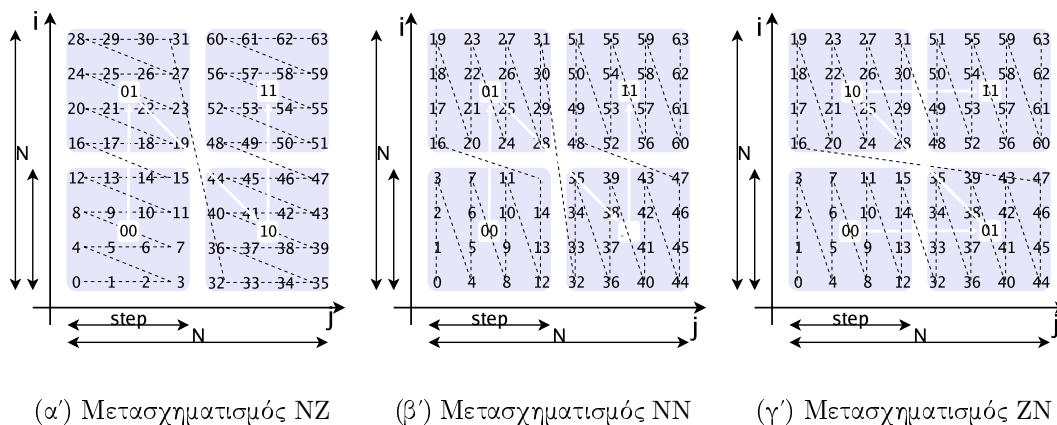
```
/* NN-order */
for ( jj=0; jj<N; jj+=step)
  for ( ii=0; ii<N; ii+=step)
    for ( i=ii; i<MIN(ii+step,N); i++)
      for ( j=jj; j<MIN(jj+step,N); j++)
        A[j][i]=...;
```

Επειδή οι μεταγλωττιστές υποστηρίζουν μόνο γραμμικές διατάξεις και όχι διατάξεις ενοτήτων, η σάρωση του πίνακα όταν είναι αποθηκευμένος σε μία από τις παραπάνω μορφές μπορεί να γίνει χρησιμοποιώντας μονοδιάστατο πίνακα του οποίου η δεικτοδότηση γίνεται μέσω διασταλμένων ακέραιων. Η δεικτοδότηση Morton δεν μπορεί να εφαρμοσθεί, διότι προϋποθέτει την ύπαρξη αναδρομικού σχήματος πλακόστρωσης, σε αντίθεση με την παρούσα περίπτωση που η πλακόστρωση εφαρμόζεται μόνο σε ένα επίπεδο. Αντίς λοιπόν των oddBits και evenBits, χρησιμοποιούνται δυαδικές μάσκες.

3.5.3 Θεωρία Μασκών

Ακολουθεί η παρουσίαση της μορφής των μασκών για ένα πίνακα $A[i][j]$ μεγέθους $N_i \times N_j$ και μέγεθος tile $step_i \times step_j$.

Ο αριθμός των συνεχόμενων 0 και 1 που αποτελούν το κάθε τμήμα της μάσκας ορίζεται από τις συναρτήσεις $m_x = \log(step_x)$ και $t_x = \log \frac{N_x}{step_x}$, όπου $step$ είναι δύναμη του 2. Εάν



Σχήμα 3.4: Οι άλλες τρεις μορφές του μετασχηματισμού

το N δεν είναι δύναμη του 2, τότε δεσμεύουμε τον αμέσως μεγαλύτερο πίνακα με $N = 2^n$ και γεμίζουμε τα κενά στοιχεία με τυχαίες τιμές. Αυτά τα επιπρόσθετα στοιχεία δεν επιβαρύνουν το συνολικό χρόνο εκτέλεσης, διότι δεν προσπελάνονται ποτέ.

Όπως και στην περίπτωση της δεικτοδότησης των 4-δεντρων, έτσι κι εδώ κάθε στοιχείο $A[i][j]$ του διδιάστατου πίνακα βρίσκεται στην θέση $[i_m + j_m] = [i_m | j_m]$ του μονοδιάστατου πίνακα. Τα i_m, j_m παράγονται από τα i, j όταν εφαρμοσθεί στα τελευταία η κατάλληλη μάσκα.

3.5.4 Υλοποίηση-Σχεδιασμός Κώδικα

Στο σχήμα 3.5 παρουσιάζεται πως γίνεται η αποθήκευση των στοιχείων $A[i][j]$ του διδιάστατου πίνακα σε ένα μονοδιάστατο πίνακα, χρησιμοποιώντας τη διάταξη ZZ. Γενικά, για την υλοποίηση των BDL, οι δείκτες που ελέγχουν τη θέση των στοιχείων στο διδιάστατο πίνακα δεν θα πρέπει να παίρνουν διαδοχικές τιμές. Στο παράδειγμα μας, οι ορθές τιμές των δεικτών i και j που ελέγχουν τις γραμμές και τις στήλες αντίστοιχα παρουσιάζονται στον παρακάτω πίνακα:

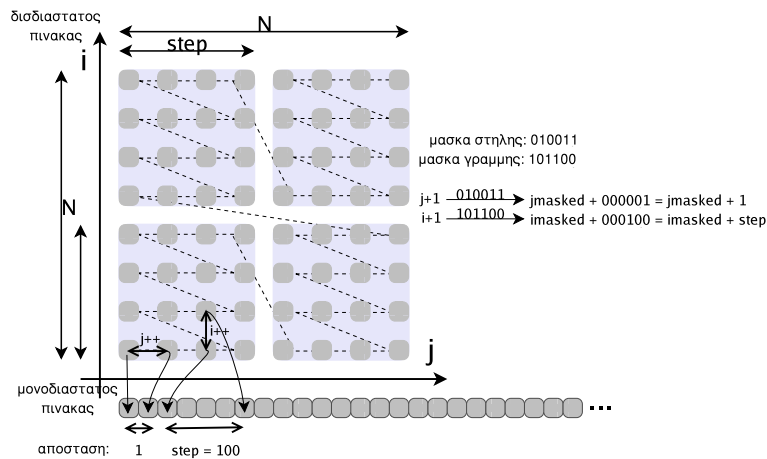
Γραμμή/Στήλη:	0	1	2	3	4	5	6	7
i :	0	4	8	12	32	36	40	44
j :	0	1	2	3	16	17	18	19

Αυτές οι τιμές αντιστοιχούν στα στοιχεία της πρώτης γραμμής και στήλης (βλέπε σχήμα 3.3). Για παράδειγμα, όταν γίνεται μια αναφορά στο στοιχείο της 2ης γραμμής και 3ης στήλης, δηλαδή $A[2][3]$, οι αντίστοιχοι δείκτες για τον μονοδιάστατο πίνακα θα είναι $i = 8, j = 3$. Το επιθυμητό στοιχείο προσπελάνεται προσθέτωντας τους δύο δείκτες: $A[i + j] = A[8 + 3] = A[11]$.

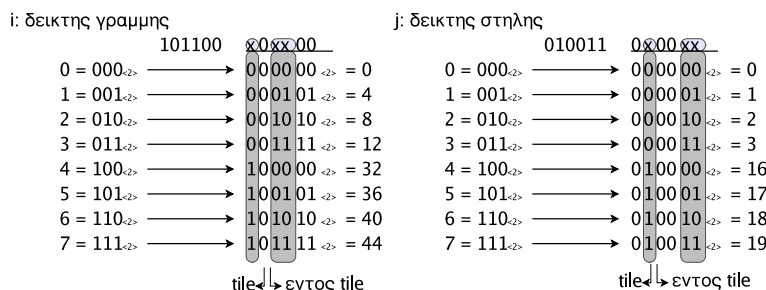
Οι κατάλληλες μάσκες για τον 8×8 πίνακα του παραδείγματός μας, με $step = 4$, είναι 101100 για το δείκτη γραμμής i και 010011 για το δείκτη στήλης j . Εάν οι τιμές 0 – 7 των γραμμικών δεικτών φιλτραριστούν χρησιμοποιώντας αυτές τις μάσκες (βλέπε σχήμα 3.6), τότε προκύπτουν οι επιθυμητές διεσταλμένες τιμές.

Μετασχηματισμός ZZ				
Δείκτης Γραμμής	11...1	00...0	11...1	00...0
Δείκτης Στήλης	00...0	11...1	00...0	11...1
	$\leftarrow t_i \rightarrow$	$\leftarrow t_j \rightarrow$	$\leftarrow m_i \rightarrow$	$\leftarrow m_j \rightarrow$
Μετασχηματισμός NZ				
Δείκτης Γραμμής	00...0	11...1	11...1	00...0
Δείκτης Στήλης	11...1	00...0	00...0	11...1
	$\leftarrow t_i \rightarrow$	$\leftarrow t_j \rightarrow$	$\leftarrow m_i \rightarrow$	$\leftarrow m_j \rightarrow$
Μετασχηματισμός NN				
Δείκτης Γραμμής	00...0	11...1	00...0	11...1
Δείκτης Στήλης	11...1	00...0	11...1	00...0
	$\leftarrow t_i \rightarrow$	$\leftarrow t_j \rightarrow$	$\leftarrow m_i \rightarrow$	$\leftarrow m_j \rightarrow$
Μετασχηματισμός ZN				
Δείκτης Γραμμής	11...1	00...0	00...0	11...1
Δείκτης Στήλης	00...0	11...1	11...1	00...0
	$\leftarrow t_i \rightarrow$	$\leftarrow t_j \rightarrow$	$\leftarrow m_i \rightarrow$	$\leftarrow m_j \rightarrow$

Πίνακας 3.1: Μάσκες Μετασχηματισμών



Σχήμα 3.5: Μετατροπή ενός διδιάστατου πίνακα σ' ένα μονοδιάστατο με τη χρήση του μετασχηματισμού ZZ



Σχήμα 3.6: Μετατροπή των γραμμικών τιμών των δεικτών γραμμής και στήλης στις αντίστοιχες διεσταλμένες τιμές με τη χρήση μασκών ZZ

Παράδειγμα (Πολλαπλασιασμός Πινάκων) Στο κεφάλαιο 2 εφαρμόσαμε τον μετασχηματισμό tiling στον κωδικα του πολλαπλασιασμού πινάκων για την βελτίωση της τοπικότητας. Εδώ θα προχωρήσουμε περαιτέρω την βελτιστοποίηση χρησιμοποιώντας τις διατάξεις ενοτήτων (BDL) και τη μέθοδο MBaLt για την γρήγορη δεικτοδότηση των ενοτήτων.

Επειδή γενικά η εφαρμογή της μεθόδου MBaLt είναι πιο απλή σε κώδικες που ο μετασχηματισμός tiling εφαρμόστηκε σε όλες τις διαστάσεις, θα χρησιμοποιήσουμε τον κώδικα πολλαπλασιασμού πινάκων με tiling και στις τρεις διαστάσεις. Επίσης όπως προκύπτει με την εφαρμογή του μοντέλου εκτίμησης κόστους φωλιασμένων βρόχων που παρουσιάζεται στο παράστημα A.1, η βέλτιστη διάταξη των βρόχων είναι η (i, k, j) . Ο μετασχηματισμένος κώδικας είναι ο ακόλουθος:

```

for ( ii=0; ii < 8; ii+=4)
  for ( kk=0; kk < 8; kk+=4)
    for ( jj=0; jj < 8; jj+=4)
      for ( i=ii; i < MIN(8, ii+4); i++)
        for ( k=kk; k < MIN(8, kk+4); k++)
          for ( j=jj; j < MIN(8, jj+step); j++)
            C[i][j] += A[i][k] * B[k][j];

```

Και οι τρεις πίνακες A, B, C σαρώνονται με βάση τη διάταξη του μετασχηματισμού ZZ. Οι τρεις εσωτερικότεροι βρόχοι (i, k, j) ελέγχουν τη σάρωση εντός του tile. Όπως φαίνεται και στο σχήμα 3.6, τα 4 λιγότερο σημαντικά ψηφία των μασκών είναι αρκετά για την σάρωση όλων των επαναλήψεων εντός του tile. Οι τρεις εξωτερικότεροι βρόχοι ελέγχουν τη μετακίνηση από tile σε tile. Τα δύο περισσότερο σημαντικά ψηφία των μασκών είναι ικανά για την μετακίνηση μεταξύ των tiles.

Στον ακόλουθο πίνακα παρουσιάζονται οι ρόλοι των δεικτών και οι κατάλληλες μάσκες:

Δείκτης	Ελέγχει	Πίνακα	Κατάλληλη Μάσκα
i, ii	γραμμές	A, C	μάσκα γραμμής (101100)
j, jj	στήλες	B, C	μάσκα στήλης (010011)
k, kk	γραμμές	B	μάσκα γραμμής (για kB, kkB)
k, kk	στήλες	A	μάσκα στήλης (για kA, kkA)

Ο δείκτης i παίρνει τιμές στο $\{x000|x \in 0, 1\}$ και το ii παίρνει τιμές στο $\{x00000|x \in 0, 1\}$, κι άρα το $i|ii = x0xx00$ δίνει τις επιθυμητές τιμές για τις γραμμές των πινάκων

A, C . Παρόμοια, ο δείκτης j παίρνει τιμές στο $\{00xx|x \in 0,1\}$ και το jj παίρνει τιμές στο $\{0x0000|x \in 0,1\}$, κι άρα το $j|jj = 0x00xx$ δίνει τις επιθυμητές τιμές για τις στήλες των πινάκων B, C . Ο δείκτης k δεν ελέγχει τον ίδιο τύπο διάστασης και στους δύο πίνακες που χρησιμοποιείται. Έτσι, για τον πίνακα A η κατάλληλη μάσκα είναι η μάσκα στήλης, $kA \in \{00xx|x \in 0,1\}$ και $kkA \in \{0x0000|x \in 0,1\}$. Για τον πίνακα B η κατάλληλη μάσκα είναι η μάσκα γραμμής, $kB \in \{xx00|x \in 0,1\}$ και $kkB \in \{x00000|x \in 0,1\}$. Μια χρήσιμη παρατήρηση είναι ότι $kB = kA \ll \log(step)$ και $kkB = kkA \ll \log(\frac{N}{step})$.

Έχουμε λοιπόν:

$$\begin{aligned} ibound &= column_mask = 101100_{\langle 2 \rangle} = 44 \\ iincrement &= 100000_{\langle 2 \rangle} = 32 = 4 \times 4 \ll \frac{N}{step} \\ iincrement &= 100_{\langle 2 \rangle} = 4 = step \\ ireturn &= \min\{column_mask, ii|1100_{\langle 2 \rangle}\} \end{aligned}$$

```

for ( ii=0; ii<ibound; ii+=iincrement ) {
  itilebound=(ii | imask)+1;
  ireturn=MIN(ibound, itilebound);
  for ( kk=0; kk<kjbound; kk+=kkjincrement ) {
    ktilebound=(kk | kjmask)+1;
    kreturn=MIN(kjbound, ktilebound);
    kB=kk<<logNxy;
    for ( jj=0; jj<kjbound; jj+=kkjincrement ) {
      jtilebound=(jj | kjmask)+1;
      jreturn=MIN(kjbound, jtilebound);
      for ( i=ii; i<ireturn; i+=iincrement )
        for ( k=kk; k<kreturn; k+=kjincrement ) {
          kB=(k & (step_1))<<logstep;
          ktB=kkB | kB;
          xA=i | k;
          for ( j=jj; j<jreturn; j+=kjincrement )
            C[i | j]+=A[xA]*B[ktB | j];
        }
      }
    }
  }
}

```

3.5.5 Ο αλγόριθμος

Επίσης, η Αθανασάκη στο [2] προτείνει ένα ευριστικό αλγόριθμο⁷ για την εύρεση του μετασχηματισμού που πετυχαίνει την μέγιστη δυνατή βελτιστοποίηση. Ο αλγόριθμος είναι οικουμενικός, δηλαδή για την εύρεση της καλύτερης διάταξης του κάθε πίνακα, λαμβάνει υπόψιν όλες τις εμφανίσεις των πινάκων μέσα στο πρόγραμμα. Ακολουθούν τα στάδια του αλγορίθμου με παράλληλη αναφορά στο παράδειγμα του πολλαπλασιασμού:

⁷Ο αλγόριθμος επεκτείνει τον αλγόριθμο που παρουσιάζεται στο [9] και στον οποίο γίνεται μια σύντομη αναφορά στην ενότητα 3.4.2.

1. Δημιούργησε ένα πίνακα R μεγέθους $r \times l$, όπου $r =$ πλήθος διαφορετικών αναφορών πίνακα και $l =$ βάθος συστήματος φωλιασμένων βρόχων (πριν την εφαρμογή tiling). Εάν υπάρχουν δύο ταυτόσημες αναφορές σ' ένα πίνακα, δεν υπάρχει λόγος να σημειωθούν και οι δύο. Απλά, σημείωσε την αναφορά αυτή, έτσι ώστε να έχει μεγαλύτερη προτεραιότητα κατά την βελτιστοποίηση. Για το παράδειγμα του πολλαπλασιασμού πινάκων ο πίνακας R είναι ο ακόλουθος:

$$R = \begin{pmatrix} & i & k & j \\ 1 & 0 & 1 & \\ 1 & 1 & 0 & \\ 0 & 1 & 1 & \end{pmatrix} \begin{matrix} C^{**} \\ A \\ B \end{matrix}$$

Πρέπει να σημειωθεί ότι ο LHS πίνακας μιας έκφρασης (στο παράδειγμα μας ο C) είναι πιο σημαντικός, διότι συνήθως σε κάθε επανάληψη το στοιχείο διαβάζεται και γράφεται.

Κάθε στήλη του πίνακα C αντιπροσωπεύει ένα δείκτη επανάληψης. Έτσι, κάθε στοιχείο του R είναι ίσο με 1 όταν ο αντίστοιχος δείκτης ελέγχει μια από τις διαστάσεις του πίνακα, αλλιώς είναι ίσο με 0.

2. Βελτιστοποίησε πρώτα τη διάταξη του πίνακα με τις περισσότερες αναφορές μέσα στο σύστημα φωλιασμένων βρόχων (στο παράδειγμα μας ο C). Ο εφαρμοζόμενος μετασχηματισμός βρόχων θα πρέπει να είναι τέτοιος ώστε ένας από τους δείκτες επανάληψης του συστήματος φωλιασμένων βρόχων που ελέγχουν κάποια διάσταση του πίνακα αυτού, να μετακινηθεί στην εσωτερικότερη θέση. Άρα, η γραμμή C του R θα πρέπει να έρθει στη μορφή $(x_1, \dots, x_{l-1}, 1)$, όπου $x_k \in \{0, 1\}$. Για να επιτευχθεί αυτό, μπορεί να γίνει εναλλαγή των στηλών. Ο επιλεγόμενος δείκτης επανάληψης είναι προτιμότερο να είναι ο μόνος δείκτης που δεικτοδοτεί την διάσταση αυτή και να μην εμφανίζεται σε άλλη διάσταση του πίνακα C .

Για την εκμετάλλευση της χωρικής επαναχρησιμοποίησης της αναφοράς αυτής, ο πίνακας C θα πρέπει να αποθηκευτεί στη μνήμη με την επιλεγμένη διάσταση, έστω fed_C να αποτελεί την γρηγορότερα μεταβαλλόμενη διάσταση. Σημειώνεται ότι θα πρέπει να ελεγχθούν όλες οι πιθανές διαστάσεις.

3. Ακολούθως, θα πρέπει να διορθωθούν οι υπόλοιπες αναφορές κατά σειρά προτεραιότητας. Ο στόχος είναι να έρθουν όσο το δυνατό περισσότερες γραμμές του R στη μορφή $(x_1, \dots, x_{l-1}, 1)$, όπου $x_k \in \{0, 1\}$. Εάν ένας δείκτης πίνακα, έστω ότι είναι αυτός που ελέγχει τη διάσταση y του πίνακα A , είναι ταυτόσημος με τον fed_C του πίνακα C , τότε αποθήκευσε τον A έτσι ώστε η γρηγορότερα μεταβαλλόμενη διάσταση να είναι η y . Εάν δεν υπάρχει τέτοια διάσταση για τον A , τότε θα πρέπει να ελεγχθεί εάν η αναφορά μπορεί να μετασχηματιστεί στη μορφή $A[* , \dots , *, f(j_{in-1}, *, \dots , *)]$, όπου $f(j_{in-1})$ είναι συνάρτηση του δείκτη του δεύτερου εσωτερικότερου βρόχου και άλλων δεικτών εκτός του j_{in} , και το $*$ δηλώνει όρο ανεξάρτητο των j_{in-1} και j_{in} . Άρα, η γραμμή A του πίνακα R θα πρέπει να είναι της μορφής $(x_1, \dots, x_{l-2}, 1, 0)$, όπου $x_k \in \{0, 1\}$, και να εκμεταλλεύεται η χωρική επαναχρησιμοποίηση κατά μήκος του j_{in-1} . Εάν δεν υπάρχει τέτοιος μετασχηματισμός, τότε ελέγχεται ο j_{in-2} , κ.ο.κ. Εάν ελεγχθούν όλοι οι δείκτες επανάληψης, τότε οι βρόχοι θέτονται σε μια τυχαία διάταξη, λαμβάνοντας υπόψιν τις εξαρτήσεις δεδομένων.

4. Μετά την εύρεση ενός πλήρους μετασχηματισμού βρόχων και μιας διάταξης μνήμης ελέγχονται οι υπόλοιπες εναλλακτικές λύσεις. Στο τέλος επιλέγεται η λύση η οποία εμφανίζει χωρική τοπικότητα στον εσωτερικότερο βρόχο στις περισσότερες αναφορές.
5. Αφού το σύστημα φωλιασμένων βρόχων αναδιατακτεί πλήρως, γίνεται στη συνέχεια εφαρμογή του μετασχηματισμού tiling. Σε αυτό το στάδιο καθορίζεται η πλήρης διάταξη αποθήκευσης των πινάκων.

Στην περίπτωση της tiled μορφής, για κάθε μια από τις αναφορές πίνακα, η διάσταση η οποία ορίστηκε ως η γρηγορότερα μεταβαλλόμενη θα πρέπει να παραμείνει η ίδια όσον αφορά τη διάταξη αποθήκευσης στο εσωτερικό των tiles. Αυτό σημαίνει ότι στην περίπτωση των δισδιάστατων πινάκων, εάν η αναφορά έχει τη μορφή $C[* , j_n]$, έτσι ώστε η επιθυμητή διάταξη αποθήκευσης στο εσωτερικό του tile να είναι διάταξη γραμμών, θα πρέπει να χρησιμοποιήσουμε τη διάταξη xZ , δηλαδή τη ZZ ή τη NZ . Εάν η αναφορά έχει τη μορφή $C[j_n , *]$, έτσι ώστε η επιθυμητή διάταξη αποθήκευσης στο εσωτερικό του tile να είναι διάταξη στηλών, θα πρέπει να χρησιμοποιήσουμε τη διάταξη xN , δηλαδή τη NN ή τη ZN . Η μετακίνηση από tile σε tile, κι άρα το πρώτο γράμμα του μετασχηματισμού, καθορίζεται από το είδος του tiling που θα εφαρμοστεί. Για το παράδειγμα μας, εάν δεν εφαρμοσθεί tiling στη διάσταση $*$ τότε ο μετασχηματισμός θα είναι ο NZ ή ο ZN αντίστοιχα. Αλλιώς, εάν η tiled μορφή του συστήματος φωλιασμένων βρόχων βάρους n : (j_1, j_2, \dots, j_n) είναι: $(jj_1, jj_2, \dots, jj_n, j_1, j_2, \dots, j_n)$ (όπου jj_k είναι ο δείκτης επανάληψης που ελέγχει την μετακίνηση από ένα tile σε ένα άλλο της διάστασης j_k), τότε χρησιμοποιείται η διάταξη ZZ ή NN αντίστοιχα.

Κεφάλαιο 4

Το Μετροπρόγραμμα ‘Παραγοντοποίηση Cholesky’ και η Επίδοση Διατάξεων Ενοτήτων με Δεικτοδότηση MBaLt

4.1 Γενικά

Δεδομένου ενός πίνακα A για τον οποίο ισχύει $\forall x \in \mathbf{R}(x^T A x > 0)$, η παραγοντοποίηση Cholesky βρίσκει ένα πίνακα $C : A = C^T C$. Τέτοιες παραγοντοποιήσεις είναι χρήσιμες για την επίλυση γραμμικών συστημάτων εξισώσεων. Ο κώδικας που εκτελεί την παραγοντοποίηση είναι ο ακόλουθος:

```
for (k=0; k<N; k++) {
  A[k][k]=sqrt(A[k][k]);
  for (i=k+1; i<N; i++)
    A[i][k]=A[i][k]/A[k][k];

  for (j=k+1; j<N; j++)
    for (i=j; i<N; i++)
      A[i][j]=A[i][j]-A[i][k]*A[j][k];
}
```

Η παραγοντοποίηση Cholesky χρησιμοποιείται ευρέως ως μετροπρόγραμμα για την μέτρηση της επίδοσης υπολογιστικών συστημάτων. Στο παρών κεφάλαιο θα υλοποιήσουμε την παραγοντοποίηση Cholesky εφαρμόζοντας διάφορους μετασχηματισμούς βρόχων και δεδομένων, συμπεριλαμβανομένου και των διατάξεων ενοτήτων με διευθυνσιόδοτηση MBaLt, για να μελετήσουμε και να συγκρίνουμε την αποτελεσματικότητα της τελευταίας.

4.2 Σχεδίαση Tiled Μορφής με Γραμμικές Διατάξεις

Εξαρτήσεις δεδομένων Αρχικά, θα πρέπει να βρούμε τις εξαρτήσεις δεδομένων. Έστω δύο επαναλήψεις $\mathcal{I} = (k_1, j_1, i_1)$ και $\mathcal{I}' = (k_2, j_2, i_2)$ του χώρου επαναλήψεων (k, j, i) τέτοιες ώστε $\mathcal{I}' \succ \mathcal{I}$. Ο χώρος επαναλήψεων καθορίζεται από τις ανισώσεις:

$$\begin{aligned} 0 &\leq k_{1,2} \leq N-1 \\ k_{1,2} + 1 &\leq j_{1,2} \leq N-1 \\ j_{1,2} &\leq i_{1,2} \leq N-1 \end{aligned}$$

οι οποίες σε μορφή πίνακα γράφονται ως:

$$\begin{pmatrix} 1 & 0 & 0 \\ 0 & 1 & 0 \\ 0 & 0 & 1 \\ -1 & 0 & 0 \\ 1 & -1 & 0 \\ 0 & 1 & -1 \end{pmatrix} \begin{pmatrix} k \\ j \\ i \end{pmatrix} \leq \begin{pmatrix} N-1 \\ N-1 \\ N-1 \\ 0 \\ -1 \\ 0 \end{pmatrix}$$

Τα διανύσματα εξαρτήσεων βρίσκονται ως ακολούθως.

- Εξάρτηση τύπου RAW $\mathbf{A}[\mathbf{i}_1][\mathbf{j}_1] \rightarrow \mathbf{A}[\mathbf{i}_2][\mathbf{k}_2]$ Αφού αναφέρονται στο ίδιο στοιχείο, ισχύει: $i_1 = i_2, j_1 = k_2 \Rightarrow j_2 \geq k_1 + 1$ και $j_2 \geq j_1 + 1 \Rightarrow k = k_2 - k_1 \geq 1, j = j_2 - j_1 \geq 1$ και $i = i_2 - i_1$. Επομένως το διάνυσμα εξάρτησης είναι:

$$d_1 = (+, +, 0) \succ 0$$

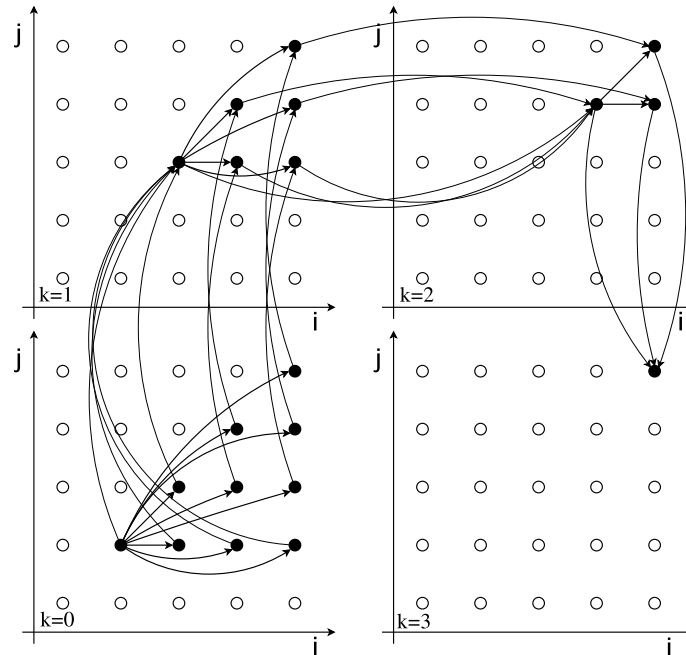
- Εξάρτηση τύπου RAW $\mathbf{A}[\mathbf{i}_1][\mathbf{j}_1] \rightarrow \mathbf{A}[\mathbf{j}_2][\mathbf{k}_2]$ Αφού αναφέρονται στο ίδιο στοιχείο, ισχύει: $i_1 = j_2, j_1 = k_2 \Rightarrow k_2 \geq k_1 + 1, j_2 \geq j_1$ και $i_2 \geq i_1 \Rightarrow k = k_2 - k_1 \geq 1, j = j_2 - j_1 \geq 0, i = i_2 - i_1 \geq 0$. Επομένως το διάνυσμα εξάρτησης είναι:

$$d_2 = (+, +, +) \succ 0$$

- Εξάρτηση τύπου RAW, WAW $\mathbf{A}[\mathbf{i}_1][\mathbf{k}_1] \rightarrow \mathbf{A}[\mathbf{k}_2][\mathbf{k}_2]$ Αφού αναφέρονται στο ίδιο στοιχείο, ισχύει: $i_1 = k_2, k_1 = k_2 \Rightarrow j_2 - 1 \geq j_1$ και $i_2 \geq j_2 \geq i_1 + 1 \Rightarrow k = k_2 - k_1 \geq 0, j = j_2 - j_1 \geq 1, i = i_2 - i_1 \geq 1$. Επομένως το διάνυσμα εξάρτησης είναι:

$$d_3 = (0, +, +) \succ 0$$

Τα διανύσματα εξάρτησης είναι όλα λεξικογραφικά θετικά, άρα όλες οι διατάξεις των βρόχων είναι επιτρεπτές κι επομένως η εφαρμογή του μετασχηματισμού tiling.



Σχήμα 4.1: Οι εξαρτήσεις δεδομένων στην παραγοντοποίηση Cholesky

Βέλτιστη διάταξη Για να βρούμε την βέλτιστη διάταξη εφαρμόζουμε τον αλγόριθμο Α'.1, σελ.112 με τον οποίο βρίσκουμε τα κόστη των βρόχων για τις δύο δυνατές γραμμικές διατάξεις αποθήκευσης του πίνακα.

Πίνακας Αποθηκευμένος Κατά Γραμμές

Ομάδες	βρόχος k	βρόχος j	βρόχος i
$A[k][k]$	$n \times n$	-	$1 \times n$
$A[i][k]$	$\frac{n}{cls} \times n^2$	$1 \times n^2$	$n \times n^2$
$A[i][j]$	$1 \times n^2$	$\frac{n}{cls} \times n^2$	$n \times n^2$
$A[j][k]$	$\frac{n}{cls} \times n^2$	$n \times n^2$	$1 \times n^2$
Συνολικό	$\frac{2}{cls}n^3 + 2n^2$	$(\frac{1}{cls} + 1)n^3 + n^2$	$2n^3 + n^2 + n$

Πίνακας Αποθηκευμένος Κατά Στήλες

Ομάδες	βρόχος k	βρόχος j	βρόχος i
$A[k][k]$	$n \times n$	-	$1 \times n$
$A[i][k]$	$n \times n^2$	$1 \times n^2$	$\frac{n}{cls} \times n^2$
$A[i][j]$	$1 \times n^2$	$n \times n^2$	$\frac{n}{cls} \times n^2$
$A[j][k]$	$n \times n^2$	$\frac{n}{cls} \times n^2$	$1 \times n^2$
Συνολικό	$2n^3 + 2n^2$	$(\frac{1}{cls} + 1)n^3 + n^2$	$\frac{2}{cls}n^3 + n^2 + n$

Από τα παραπάνω εκτιμώμενα κόστη και βάση του λήμματος Α'.1, σελ.114 συμπεραίνουμε ότι η βέλτιστη διάταξη των βρόχων είναι:

- (i, j, k) για αποθήκευση κατά γραμμές

- (k, j, i) για αποθήκευση κατά στήλες

Επομένως, ο κώδικας του μετροπρογράμματος για αποθήκευση κατά στήλες δεν χρειάζεται κάποια μετατροπή, ενώ για αποθήκευση κατά γραμμές θα πρέπει να εφαρμοσθεί μετάθεση στη διάταξη βρόχων. Ο πίνακας μετασχηματισμού για τη μετάθεση (i, j, k) είναι ο ακόλουθος:

$$T_{ijk} = \begin{pmatrix} 0 & 0 & 1 \\ 0 & 1 & 0 \\ 1 & 0 & 0 \end{pmatrix}, T_{ijk}^{-1} = \begin{pmatrix} 0 & 0 & 1 \\ 0 & 1 & 0 \\ 1 & 0 & 0 \end{pmatrix}$$

Στηρίζομενοι στην εξίσωση 2.1, σελ. 34 ο μετασχηματισμένος χώρος επαναλήψεων βρίσκεται από το ακόλουθο σύστημα ανισώσεων:

$$\begin{pmatrix} 1 & 0 & 0 \\ 0 & 1 & 0 \\ 0 & 0 & 1 \\ -1 & 0 & 0 \\ 1 & -1 & 0 \\ 0 & 1 & -1 \end{pmatrix} \begin{pmatrix} 0 & 0 & 1 \\ 0 & 1 & 0 \\ 1 & 0 & 0 \end{pmatrix} \begin{pmatrix} i \\ j \\ k \end{pmatrix} \leq \begin{pmatrix} N-1 \\ N-1 \\ N-1 \\ 0 \\ -1 \\ 0 \end{pmatrix}$$

Λύνοντας το σύστημα αυτό προκύπτουν τα νέα όρια των βρόχων για τη διάταξη (i, j, k) :

$$\begin{aligned} 1 &\leq i \leq N-1 \\ 1 &\leq j \leq i \\ 0 &\leq k \leq j-1 \end{aligned}$$

Επειδή το σύστημα φωλιασμένων βρόχων δεν είναι τέλεια φωλιασμένο, μετατρέπεται σε τέλεια φωλιασμένο χρησιμοποιώντας το μετασχηματισμό βύθισης κώδικα (βλέπε 2.1.1, σελ.27) για να μπορεί να εφαρμοστεί ο μετασχηματισμός της μετάθεσης. Το νέο σώμα του συστήματος φωλιασμένων βρόχων είναι:

```

if (k+1==i && j==k+1) A[k][k]=sqrt(A[k][k]);
if (j==k+1) A[i][k]=A[i][k]/A[k][k];
A[i][j]=A[i][j]-A[i][k]*A[j][k];

```

Επειδή οι συνθήκες ελέγχου εισάγουν καθυστέρηση, προσπαθούμε να τις απαλείψουμε ή να τις απλοποιήσουμε. Πράγματι, οι δύο πρώτες πράξεις μπορούν να βγουν προς εξωτερικότερες θέσεις όπως φαίνεται και στον τελικό κώδικα στο παράρτημα Β'.1, το οποίο σημαίνει ότι οι ελέγχοι θα γίνονται λιγότερες φορές κι επομένως η χρονική καθυστέρηση που εισάγουν μειώνεται. Στο Β'.1.cholesky_LJK (γραμμές 51-65) και Β'.1.cholesky_column_major (γραμμές 70-84) βρίσκονται οι τελικοί κώδικες για τις διατάξεις (i, j, k) και (k, j, i) αντίστοιχα.

Εφαρμογή tiling Ακολουθώντας, προχωράμε με την εφαρμογή του μετασχηματισμού tiling για να πάρουμε την tiled μορφή του μετροπρογράμματος. Αν και η εφαρμογή του tiling μπορεί να γίνει και στις δύο διατάξεις, οι ελέγχοι συνθηκών που υπάρχουν στην τελική tiled μορφή και οι οποίοι εισάγονται κατά τον μετασχηματισμό των μη τέλειων φωλιασμένων βρόχων σε τέλεια φωλιασμένους, απλοποιούνται περισσότερο στην περίπτωση της διάταξης (k, j, i) με

αποθήκευση κατά στήλες, παρά στην περίπτωση της (i, j, k) με αποθήκευση κατά γραμμές. Γι' αυτό και η πρώτη διάταξη προτιμάται έναντι της δεύτερης.¹

Ακολουθεί η παρουσίαση της εφαρμογής του μετασχηματισμού tiling στη διάταξη (k, j, i) . Υλοποιούμε δύο εκδόσεις της tiled μορφής: tiling μόνο στις διαστάσεις k, j και tiling σε όλες τις διαστάσεις. Η δεύτερη έκδοση αποτελεί το μεταβατικό στάδιο προς τις διατάξεις ενοτήτων.

- *Tiling στις διαστάσεις k, j : (kk, jj, k, j, i)* ². Αρχικά το σύστημα φωλιασμένων βρόχων γίνεται τέλειο με βύθιση κώδικα. Ακολούθως εφαρμόζονται διαδοχικά strip mining και μετάθεση στους βρόχους k, j .

⇓ Βύθιση Κώδικα ⇓

```

for (k=0; k<N; k++)
  for (j=k+1; j<N; j++)
    for (i=j; i<N; i++)
      ...

```

⇓ strip mining στον βρόχο k ⇓

```

for (kk=0; kk<N; kk+=Bkk)
  for (k=kk; k<MIN(kk+Bkk, N); k++)
    for (j=k+1; j<N; j++)
      for (i=j; i<N; i++)
        ...

```

⇓ $T = \begin{pmatrix} 0 & 1 & 0 \\ 1 & 0 & 0 \\ 0 & 0 & 1 \end{pmatrix}$ ⇓

```

for (kk=0; kk<N; kk+=Bkk)
  for (j=kk+1; j<N; j++)
    for (k=kk; k<MIN(kk+Bkk, j); k++)
      for (i=j; i<N; i++)
        ...

```

¹Αν και στο πλαίσιο της παρούσας εργασίας έγινε και η μελέτη της (i, j, k) , επειδή η επίδοση της είναι σημαντικά χειρότερη από αυτή της (k, j, i) , δεν θα ασχοληθούμε αναλυτικά με την παρουσίαση της πρώτης. Γίνεται μόνο παρουσίαση πειραματικών αποτελεσμάτων της διάταξης (k, j, i) με συνδυασμό MBaLt τα οποία δικαιολογούν την απόφασή μας αυτή.

²Η επιλογή για tiling στις δύο αυτές διαστάσεις, στην περίπτωση που το tiling εφαρμόζεται στις δύο από τις τρεις διαστάσεις, θεωρητικά υποστηρίζεται από το γεγονός ότι γίνονται περισσότερες αναφορές που έχουν το δείκτη k σε γραμμή, παρά το i , κι άρα υπάρχει μεγαλύτερη εκμετάλλευση της επαναχρησιμοποίησης. Επίσης, επαληθεύτηκε με πειραματικές μετρήσεις που δεν παρουσιάζονται λόγω χώρου, ότι αποτελεί τη βέλτιστη επιλογή.

↓ strip mining στον βρόχο j ↓

```

for (kk=0; kk<N; kk+=Bkk)
  jjlow = (int) floor((double)kk/Bjj)*Bjj;
  for (jj = jjlow; jj<N; jj+=Bjj)
    for (j=MAX(jj, kk+1); j<MIN(jj+Bjj, N); j++)
      for (k=kk; k<MIN(kk+Bkk, j); k++)
        for (i=j; i<N; i++)
          ...

```

$$\Downarrow \quad T = \begin{pmatrix} 0 & 1 & 0 \\ 1 & 0 & 0 \\ 0 & 0 & 1 \end{pmatrix} \quad \Downarrow$$

```

for (kk=0; kk<N; kk+=Bkk)
  jjlow = (int) floor((double)kk/Bjj)*Bjj;
  for (jj = jjlow; jj<N; jj+=Bjj)
    for (k=kk; k<MIN(kk+Bkk, N); k++)
      for (j=MAX(jj, k+1); j<MIN(jj+Bjj, N); j++)
        for (i=j; i<N; i++)
          ...

```

- *Tiling* στις διαστάσεις k, j, i : (kk, jj, ii, k, j, i) . Στον τελευταίο κώδικα γίνεται ακόμη μια φορά εφαρμογή strip mining, συγκεκριμένα στον βρόχο i και ακολούθως μετάθεση στους εσωτερικότερους βρόχους για να έρθουν στη διάταξη (k, j, i) .

Ακολούθως, εφαρμόζοντας τις κατάλληλες απλοποιήσεις στους ελέγχους συνθηκών, που προστέθηκαν από τη βύθιση κώδικα, παίρνουμε τις τελικές μορφές οι οποίες παρατίθενται στο παράρτημα B'.1.cholesky_tiled_KJ (γραμμές 90-123) και B'.1.cholesky_tiled_full (γραμμές 185-222).

Οι τελευταίοι δύο κώδικες μπορούν να βελτιστοποιηθούν περαιτέρω εφαρμόζοντας 'με το χέρι' ξεδίπλωμα βρόχων και scalar replacement. Συγκεκριμένα, ο εσωτερικότερος βρόχος i ξεδιπλώνεται ανά τετράδες και η αναφορά $A[k][j]$ αποθηκεύεται σε καταχωρητή. Οι νέοι κώδικες παρατίθενται στο παράρτημα B'.1.cholesky_tiled_KJ_hopt (γραμμές 130-179) και B'.1.cholesky_tiled_full_hopt (γραμμές 229-281).

4.3 Σχεδίαση Tiled Μορφής με Διατάξεις Ενοτήτων και Αποδοτική Δεικτοδότηση MBaLt

Στην τελική tiled μορφή (kk, jj, ii, k, j, i) , εφαρμόζονται Διατάξεις Ενοτήτων με Αποδοτική Δεικτοδότηση MBaLt για την αποθήκευση των δεδομένων. Ο λόγος για την επιλογή αυτής

της μορφής, αντίς της μορφής (kk, jj, k, j, i) , είναι πρώτο το γεγονός ότι η εφαρμογή της Διεθυσιοδότησης MBaLt είναι απλούστερη σε συστήματα φωλιασμένων βρόχων με tiling σε όλες τις διαστάσεις και δεύτερο ότι οι επιδόσεις των δύο tiled μορφών είναι παραπλήσιες.

Αφού η tiled μορφή (kk, jj, ii, k, j, i) χρησιμοποιεί την κατά στήλες γραμμική διάταξη για την αποθήκευση των δεδομένων, αυτό συνεπάγεται ότι μετά την εφαρμογή της διάταξης ενοτήτων τα δεδομένα μέσα στις ενότητες θα είναι κι αυτά αποθηκευμένα κατά στήλες. Λαμβάνοντας ακόμη υπόψιν ότι το tiling εφαρμόστηκε σε όλες τις διαστάσεις, καταλήγουμε στο συμπέρασμα ότι ο μετασχηματισμός που θα πρέπει να χρησιμοποιηθεί είναι ο NN .

Στον ακόλουθο πίνακα παρουσιάζονται οι ρόλοι των δεικτών και οι κατάλληλες μάσκες:

Δείκτης	Ελέγχει	Αναφορά	Κατάλληλη Μάσκα
i, ii	γραμμές	$A[i][j], A[i][k]$	μάσκα γραμμής
j, jj	γραμμές	$A[j][k]$	μάσκα γραμμής
j, jj	στήλες	$A[i][j]$	μάσκα στήλης
k, kk	γραμμές	$A[k][k]$	μάσκα γραμμής
k, kk	στήλες	$A[i][k], A[j][k]$	μάσκα στήλης

Οι δείκτες i και ii ελέγχουν μόνο γραμμές του πίνακα A κι άρα η μάσκα που θα χρησιμοποιηθεί είναι η μάσκα γραμμής. Οι δείκτες όμως j, k, jj και kk ελέγχουν τόσο γραμμές όσο και στήλες του πίνακα A . Γι' αυτό και στους δείκτες αυτούς εφαρμόζεται αρχικά η μάσκα στήλης. Όταν σε κάποιο σημείο του προγράμματος είναι αναγκαία η χρήση της έκδοσης των δεικτών με μάσκα γραμμής, τότε απλώς ολισθαίνουμε τους δείκτες. Για παράδειγμα αν τα k, kk χρησιμοποιούνται ως δείκτες στήλης, τότε τα $kkC = kk \gg \log(\frac{N}{step})$, $kC = k \gg \log(step)$ και $kfC = kkC|kC$ μπορούν να χρησιμοποιηθούν για δεικτοδότηση γραμμών, αντικαθιστώντας στις αναφορές το kk με το kkC και το k με το kfC .

Για την παραγωγή των μασκών χρησιμοποιούμε τις βοηθητικές συναρτήσεις του παραρτήματος Β'.3.1. Συγκεκριμένα χρησιμοποιούμε τις Β'.3.1.create_mask (γραμμές 93-117) και Β'.3.1.create_innerness (γραμμές 28-44) για την παραγωγή των μασκών. Επίσης η create_mask χρησιμοποιείται για τη δημιουργία των άνω ορίων. Οι συναρτήσεις Β'.3.1.create_increment (γραμμές 49-65) και Β'.3.1.create_tile_increment (γραμμές 70-88) χρησιμοποιούνται για τη δημιουργία των βημάτων για μετακίνηση από στοιχείο σε στοιχείο εσωτερικά του tile και μετακίνηση από tile σε tile αντίστοιχα.

Ένα σημείο που θα πρέπει να υπενθυμίσουμε αφορά το μέγεθος N , που χρησιμοποιείται για τη δημιουργία των μασκών. Όπως αναφέρεται στην ενότητα 3.5.3 το N θα πρέπει να είναι δύναμη του 2. Επειδή το πρόγραμμα μας θέλουμε να χειρίζεται και πίνακες που οι διαστάσεις τους δεν είναι απαραίτητα δυνάμεις του 2, αυτό που κάνουμε είναι να βρίσκουμε τον αμέσως μεγαλύτερο πίνακα που η διαστάση του N_m είναι δύναμη του 2. Ακολούθως, δημιουργούμε τις μάσκες χρησιμοποιώντας το νέο N_m , ενώ τα όρια βρίσκονται με εφαρμογή της μάσκας πάνω στο αρχικό N . Σημειώνεται ότι, οι συναρτήσεις create_mask και create_tile_increment λαμβάνουν υπόψιν τους την περίπτωση αυτή.

Τέλος, όπως και στην περίπτωση του tiling με γραμμικές διατάξεις, έτσι κι εδώ ο κώδικας μπορεί να βελτιστοποιηθεί περαιτέρω εφαρμόζοντας 'με το χέρι' ξεδιπλώματα βρόχων και scalar replacement. Συγκεκριμένα, ο εσωτερικότερος βρόχος i ξεδιπλώνεται ανά τετράδες και η αναφορά $A[jfC|k]$ αποθηκεύεται σε καταχωρητή.

Ο κώδικας που προκύπτει με την εφαρμογή διάταξης ενοτήτων και δεικτοδότησης MBaLt, καθώς και η βελτιστοποιημένη 'με το χέρι' έκδοση του, παρατίθενται στο παράρτημα Β'.1.cholesky

Χαρακτηριστικό	UltraSparc II 400	Pentium III 500 (Katmai)
Συχνότητα Λειτουργίας	400MHz	500MHz
Κρυφή Μνήμη I-L1, D-L1	Ευθείας Αντιστοίχισης	Συσχέτισης Συνόλου
Μέγεθος I-L1, D-L1	16KB	4-Δρόμων 16KB
Τοποθεσία L1	στη ψηφίδα	στη ψηφίδα
Μέγεθος Γραμμής L1	32B	32B
Καθυστέρηση αστοχίας L1	8 κύκλοι	20 κύκλοι
Κρυφή Μνήμη L2	Συσχέτισης Συνόλου	Συσχέτισης Συνόλου
Μέγεθος L2	4-Δρόμων 4MB	4-Δρόμων 512KB
Τοποθεσία L2	εξωτερική	εξωτερική (στη συσκευασία)
Μέγεθος Γραμμής L2	64B	32B
Καθυστέρηση αστοχίας L2	84 κύκλοι	51 κύκλοι
Αριθμός Εγγραφών D-TLB	32	64
Συσχέτιση	Πλήρης Συσχέτισης	Ευθείας Αντιστοίχισης
Μέγεθος Σελίδας	8KB	4KB
Καθυστέρηση αστοχίας D-TLB	51 κύκλοι	5 κύκλοι

Πίνακας 4.1: Τεχνικά χαρακτηριστικά ιεραρχίας μνήμης επεξεργαστών

_tiled_full _bdL_NN (γραμμές 286-378) και B'.1.cholesky _tiled_full _bdL_NN_hopt (γραμμές 384-495).

4.4 Πειραματικά Αποτελέσματα

4.4.1 Περιβάλλον Εκτέλεσης

Για την επίδειξη της αποτελεσματικότητας της μεθόδου παρουσιάζονται πραγματικοί χρόνοι εκτέλεσης των διαφόρων εκδόσεων του μετροπρογράμματος, καθώς και αποτελέσματα που προκύπτουν από την προσομοίωση της εκτέλεσης τους στο εργαλείο SimpleScalar [4]. Οι πραγματικοί χρόνοι λήφθηκαν από την εκτέλεση του μετροπρογράμματος σε δύο διαφορετικά υπολογιστικά συστήματα: Sun HPC 450 Ultra το οποίο αποτελείται από 4 επεξεργαστές UltraSparc II 400, και Linux Cluster το οποίο αποτελείται από 16 επεξεργαστές Pentium III 500 (Katmai).³ Οι εκτελέσεις έγιναν σε ένα κόμβο/επεξεργαστή. Στον πίνακα 4.1 παρουσιάζονται τα τεχνικά χαρακτηριστικά της ιεραρχίας μνήμης που ενδιαφέρουν.

Για την μεταγλώττιση χρησιμοποιήθηκε ο *cc* (Sun Compiler) για τον UltraSparc II και ο *gcc* (GNU Compiler) για τον Pentium III. Επειδή θέλουμε να μελετήσουμε την καθαρή επίδοση των διαφόρων μεθόδων, αρχικά μεταγλωττίζουμε τους κώδικες χωρίς επιπλέον βελτιστοποίηση (*cc -xO0*, *gcc -O0*) και ακολούθως χρησιμοποιώντας την μέγιστη δυνατή βελτιστοποίηση που παρέχει ο μεταγλωττιστής (*cc -fast -xtarget=native*, *gcc -O2*).

³ Αποτελούν μέρος του εργαστηρίου CSLAB/ECE/NTUA Περισσότερες λεπτομέρειες για τα συστήματα στο: <http://pdsg.cslab.ece.ntua.gr/cluster.html#topology>

Μετασχηματισμός Βρόχων	Μετασχηματισμός Δεδομένων	Κωδική Ονομασία
Καμιά	Καμιά	raw
Βέλτιστη διάταξη βρόχων	Γραμμική διάταξη κατά γραμμές	linear_row
Βέλτιστη διάταξη βρόχων	Γραμμική διάταξη κατά στήλες	linear_col
Tiling στις διαστάσεις k, j	Γραμμική διάταξη κατά στήλες	tiled_KJ_col, tiled_KJ_col_hopt
Tiling σ' όλες τις διαστάσεις	Γραμμική διάταξη κατά στήλες	tiled_full_col, tiled_full_col_hopt
Tiling σ' όλες τις διαστάσεις	Διάταξη Ενοτήτων NN - MBaLT	tiled_full_bdl_NN, tiled_full_bdl_NN_hopt
Tiling σ' όλες τις διαστάσεις	Διάταξη Ενοτήτων ZZ - MBaLT	tiled_full_bdl_ZZ

Πίνακας 4.2: Βελτιστοποιήσεις για τις οποίες παρουσιάζονται πειραματικά αποτελέσματα

Στον πίνακα 4.2 δίνονται οι διάφορες βελτιστοποιημένες εκδοχές για τις οποίες λήφθηκαν και παρουσιάζονται πειραματικά αποτελέσματα. Ορισμένες βελτιστοποιήσεις συνοδεύονται από μια επιπλέον έκδοση στην οποία εφαρμόσθηκε περαιτέρω βελτιστοποίηση 'με το χέρι' και περιλαμβάνει ξεδίπλωμα βρόχων και scalar replacement όπως αναφέρεται στις ενότητες 4.2 και 4.3

4.4.2 Χρονικές Μετρήσεις

Οι πειραματικές μετρήσεις λήφθηκαν για διάφορα μεγέθη προβλήματος, συγκεκριμένα για τιμές (N) στο διάστημα 16 ως 2048, με το μέγεθος του tile να κυμαίνεται από 16 μέχρι N , αποσκοπώντας τόσο στη μελέτη της επίδοσης στην περίπτωση που το μέγεθος προβλήματος χωράει στην κρυφή μνήμη, όσο και στην περίπτωση που δεν χωράει.

Στα σχήματα 4.2-4.5, σελ.77-80 παρουσιάζονται οι χρόνοι εκτέλεσης των διαφόρων εκδοχών του μετροπρογράμματος, για διαφορετικό υπολογιστικό σύστημα και επίπεδο βελτιστοποίησης μεταγλωττιστή. Οι χρόνοι εκτέλεσης για τις εκδοχές που εφαρμόζουν tiling αντιστοιχούν στο καλύτερο tile. Ο χρόνος εκτέλεσης των tiled μορφών με γραμμικές διατάξεις είναι μικρότερος κατά ένα ποσοστό 17 – 25% από το χρόνο εκείνων που δεν εφαρμόζουν tiling. Με τη χρήση διατάξεων ενοτήτων NN και δεικτοδότησης MBaLT ο χρόνος εκτέλεσης πέφτει επιπλέον κατά ένα ποσοστό 10% και το ποσοστό αυτό είναι ακόμη μεγαλύτερο στην περίπτωση που οι κώδικες μεταγλωττίζονται με `cc -fast xtarget=native` (σχήμα 4.5). Εξαιρέση αποτελεί η περίπτωση του `gcc -O2`. Επίσης, όπως αναμενόταν η επίδοση της διάταξης ενοτήτων ZZ είναι χειρότερη κι από την επίδοση των γραμμικών διατάξεων, κυρίως λόγω των φωλιασμένων στον εσωτερικότερο βρόχο ελεγχών συνθηκών.

Όπως φαίνεται και στα σχήματα, ειδικά στο σχήμα 4.5, η επίδοση των tiled εκδοχών με γραμμικές διατάξεις είναι ασταθής με τη μεταβολή του μεγέθους της διάστασης του πίνακα κι αυτό οφείλεται κυρίως λόγω των συγκρούσεων στην κρυφή μνήμη. Τέτοιες αστάθειες μπορούν να διορθωθούν με εφαρμογή αντιγραφής δεδομένων σε προσωρινούς καταχωρητές (buffers) σε συνεχόμενες θέσεις μνήμης, όπως προτείνεται στο [10]. Τέτοια όμως φαινόμενα δεν παρατηρούνται με τις διατάξεις ενοτήτων, οι οποίες εξομαλύνουν τις αστάθειες παρουσιάζοντας με αυτό τον τρόπο μια αρκετά ομαλή επίδοση. Το γεγονός αυτό είναι αρκετά θετικό,

αφού καθιστά την εφαρμογή των διατάξεων ενοτήτων άμεση, χωρίς την χρήση περαιτέρω βοηθητικών βελτιστοποιήσεων.

Ένα άλλο σημείο, είναι η εφαρμογή βελτιστοποίησης από τον μεταγλωττιστή η οποία φαίνεται ότι δεν ευνοεί αρκετά τους κώδικες που χρησιμοποιούν διατάξεις ενοτήτων, λόγω της περιπλοκότητάς τους. Ενώ με την εφαρμογή βελτιστοποίησης από τον gcc η επίδοση του tiled κωδίκας με γραμμικές διατάξεις βελτιώνεται κατά 45%, ο κώδικας με γραμμικές διατάξεις βελτιώνεται λιγότερο, γύρω στο 30%. Η βελτιστοποίηση ‘με το χέρι’ είναι επομένως αναγκαία στην περίπτωση που ο κώδικας είναι ιδιαίτερα περίπλοκος και η βελτιστοποίηση του μεταγλωττιστή δεν είναι τόσο ικανοποιητική. Όπως φαίνεται και στα σχήματα, η εφαρμογή βελτιστοποίησης ‘με το χέρι’, συγκεκριμένα ξεδίπλωμα βρόχων και ανάθεση μεταβλητών σε καταχωρητές, επιδρά θετικά τόσο στον κώδικα με γραμμικές διατάξεις, όσο και στον κώδικα με διατάξεις ενοτήτων.

Παρόλο, που ο κώδικας που χρησιμοποιεί διατάξεις ενοτήτων σε σχέση με τον κώδικα που εφαρμόζει γραμμικές διατάξεις είναι πολυπλοκότερος και μεγαλύτερος, εν τούτοις αποδίδει καλύτερα, κυρίως χάριν του αποδοτικού μηχανισμού δεικτοδότησης MBaLt βάση του οποίου οι υπολογισμοί των δεικτών γίνονται αρκετά γρήγορα χρησιμοποιώντας δυαδικούς τελεστές.

Στα σχήματα 4.6-4.7, σελ.81-82 παρουσιάζονται οι χρόνοι εκτέλεσης των tiled μορφών του μετροπρογράμματος, με γραμμικές διατάξεις και με διατάξεις ενοτήτων, συναρτήσει της διάστασης του tile, για διάφορα μεγέθη προβλήματος. Παρατηρώντας τα σχήματα, διαπιστώνουμε ότι στην περίπτωση του tiling με γραμμικές διατάξεις δεν υπάρχει ένα σταθερό μέγεθος tile που να δίνει την καλύτερη επίδοση για όλα τα μεγέθη προβλημάτων, κάτι το οποίο είναι σύμφωνο με τις παρατηρήσεις του [10]. Αντίθετα, στην περίπτωση των διατάξεων ενοτήτων το μέγεθος του tile που δίνει βέλτιστη επίδοση παραμένει σχεδόν ανεξάρτητο του μεγέθους του προβλήματος. Στην περίπτωση μας το μέγεθος αυτό είναι ίσο με 32×32 και για τα δύο υπολογιστικά συστήματα. Πράγματι, το μέγεθος 32×32 είναι το μεγαλύτερο μέγεθος tile που χωράει στην κρυφή μνήμη $L1$, αφού $32 \times 32 \times \text{sizeof}(\text{double}) = 32 \times 32 \times 8\text{bytes} = 8KB = \frac{1}{2}C_{L1} < C_{L1}$, ενώ $64 \times 64 \times \text{sizeof}(\text{double}) = 64 \times 64 \times 8\text{bytes} = 32KB = 2C_{L1} > C_{L1}$. Για την περίπτωση του UltraSparc II η ανάλυση αυτή είναι και σε συμφωνία με την παρατήρηση του [10] ότι σε κρυφές μνήμες ευθείας αντιστοίχισης το μέγεθος tile δεν πρέπει να ξεπερνά το $\sqrt{C_{L1}}$. Υπενθυμίζεται ότι χρησιμοποιούμε τετραγωνικά tiles, γιατί κατά αυτόν τον τρόπο, χάρη στην ομοιομορφία της δεικτοδότησης MBaLt κερδίζουμε σε υπολογιστικό χρόνο. Το γεγονός ότι υπάρχει ένα σταθερό μέγεθος tile ικανό για όλα τα μεγέθη προβλήματος είναι αρκετά σημαντικό, αφού αμβλύνει το πρόβλημα επιλογής του ορθού μεγέθους tile, από το οποίο υποφέρουν οι κώδικες tiling με γραμμικές διατάξεις.

4.4.3 Αποτελέσματα Προσομοίωσης

Για να πάρουμε ποσοτικά αποτελέσματα σχετικά με τη συμπεριφορά της ιεραρχίας μνήμης, προσομοιώσαμε την εκτέλεση των δύο εκδοχών του μετροπρογράμματος, tiled_full_col και tiled_full_bdl_NN, με τη βοήθεια του εργαλείου SimpleScalar [4], για τα χαρακτηριστικά της ιεραρχίας μνήμης του UltraSparc II. Συγκεκριμένα, μετρήθηκαν οι αστοχίες κρυφής μνήμης δεδομένων $L1$ (dl1.misses), οι αστοχίες ενιαίας κρυφής μνήμης $L2$ (ul2.misses) και οι αστοχίες του TLB δεδομένων (dtlb.misses), για μεγέθη προβλήματος N στο διάστημα 32 ως 1024, με τη διάσταση του tile να παίρνει τις τιμές 16, 32, 64 (δεν χρησιμοποιήσαμε μεγαλύτερες διαστάσεις tile, διότι από τις χρονικές μετρήσεις παρατηρούμε ότι η βέλτιστη συμπεριφορά παρατηρείται για μικρές διαστάσεις tile). Η μεταγλώττιση έγινε χωρίς τη χρήση βελτιστοποίησης

από την πλευρά του μεταγλωττιστή.

Στο σχήμα 4.8, σελ.83 παρουσιάζεται το συνολικό κόστος σε κύκλους μηχανής των αστοχιών της ιεραρχίας μνήμης για τις δύο βασικές εκδοχές του μετροπρογράμματος, tiling με γραμμικές διατάξεις, και tiling με διατάξεις ενοτήτων και δεικτοδότηση MBaLt, για τρεις διαστάσεις tile (16,32,64). Παρατηρούμε ότι οι αστοχίες κρυφής μνήμης δεδομένων L1 κυριαρχούν σε σχέση με τους άλλους τύπους αστοχιών. Οι αστοχίες L1 για την περίπτωση tiling με διατάξεις ενοτήτων MBaLt ελαχιστοποιούνται για μέγεθος tile ίσο με 32×32 , το οποίο είναι σταθερό για όλα τα μεγέθη προβλήματος, κρατάει τα δεδομένα εντός της κρυφής μνήμης L1 και προκύπτει αναλυτικά όπως είδαμε στην προηγούμενη υποενότητα. Επίσης, οι διατάξεις ενοτήτων αποθηκεύοντας τα δεδομένα ενός tile σε συνεχόμενες θέσεις, μειώνουν τις αστοχίες κρυφής μνήμης λόγω συγχρούσεων οι οποίες είναι σημαντικός παράγοντας, ειδικά σε κρυφές μνήμες ευθείας αντιστοίχισης. Όσον αφορά τις αστοχίες L2, αυτές είναι κατά πολύ λιγότερες από τις L1, ειδικά λόγω του μεγάλου μεγέθους της L2, 4MB.

Συνεχίζοντας, στην περίπτωση tiling με διατάξεις ενοτήτων MBaLt δεν παρατηρείται υπερχειλίση TLB, σε αντίθεση με το tiling με γραμμικές διατάξεις που για μεγάλους πίνακες η κατάχρηση TLB αποτελεί ένα μικρό, αλλά σημαντικό ποσοστό του συνολικού κόστους. Το μέγεθος tile 32×32 το οποίο ισοδυναμεί με την ελαχιστοποίηση των αστοχιών L1, ισοδυναμεί και με το μέγεθος σελίδας 8KB και επομένως βρίσκεται σε συμφωνία με την ελαχιστοποίηση των αστοχιών TLB. Ο λόγος είναι ότι στην περίπτωση των διατάξεων ενοτήτων τα δεδομένα αποθηκεύονται σε συνεχόμενες θέσεις, έτσι κάθε tile χρειάζεται μια μόνο σελίδα⁴, κι επομένως μόνο μια εγγραφή TLB, σ' αντίθεση με τις γραμμικές διατάξεις όπου ενδεχομένως το tile εκτείνεται σε διαφορετικές σελίδες κι άρα οι αναφορές σε διαφορετικές σελίδες είναι περισσότερες.

Στο σχήμα 4.9, σελ.84 παρουσιάζονται συγκριτικά οι αστοχίες στα διάφορα επίπεδα της ιεραρχίας μνήμης για τις δύο εκδοχές του μετροπρογράμματος. Οι αστοχίες αντιστοιχούν στο μέγεθος tile που δίνει την καλύτερη συνολική επίδοση σε κάθε περίπτωση. Με τη χρήση διατάξεων ενοτήτων οι αστοχίες L1, καθώς και οι αστοχίες TLB μειώνονται σημαντικά, μέχρι και μία τάξη μεγέθους για μεγάλους πίνακες. Όσον αφορά τις αστοχίες L2 παρατηρούνται αυξομειώσεις μεταξύ των δύο μεθόδων, για τις οποίες δεν μπορούμε να πούμε ότι επηρεάζουν την επίδοση με κάποιο σταθερό παράγοντα.

4.5 Συμπεράσματα

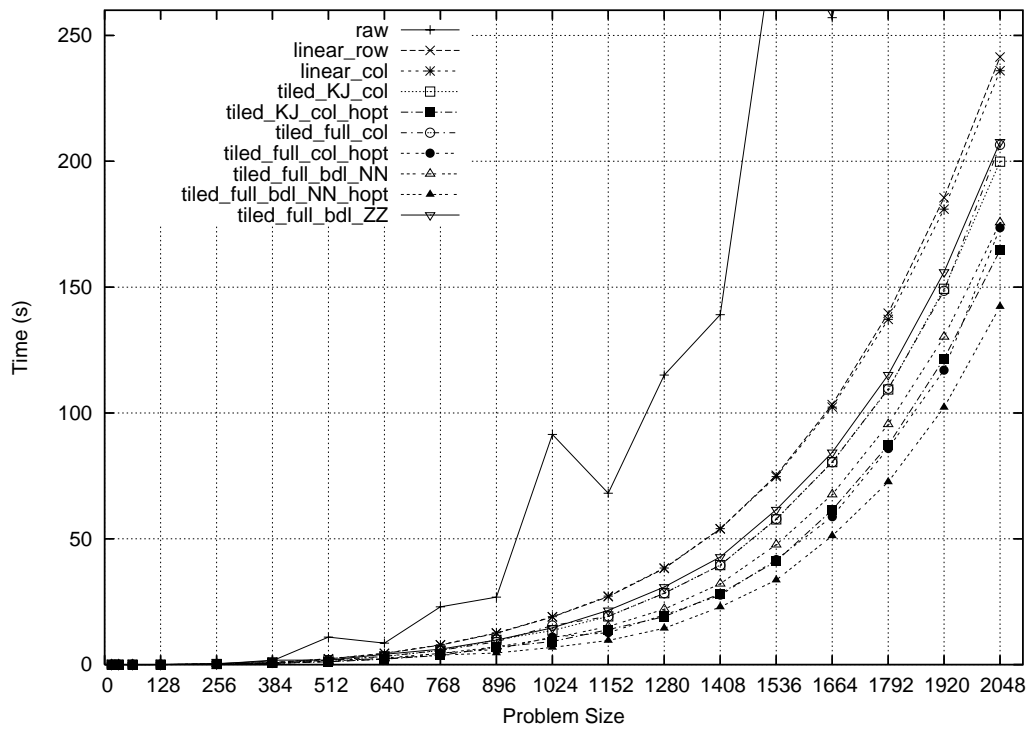
Η χρήση tiling είναι μια αρκετά διαδομένη μέθοδος για την αύξηση της τοπικότητας των δεδομένων και κατ' επέκταση για την αύξηση της επίδοσης της ιεραρχίας μνήμης των σύγχρονων υπολογιστικών συστημάτων. Η επίδοση όμως της ιεραρχίας μνήμης στους κώδικες με tiling μπορεί να αυξηθεί ακόμη περισσότερο με την ταυτόχρονη εφαρμογή διατάξεων ενοτήτων, οι οποίες αποθηκεύουν τα δεδομένα με τη σειρά που αυτά ζητούνται από τον μετασχηματισμένο με tiling κώδικα. Το πρόβλημα με τις διατάξεις ενοτήτων είναι η αποδοτική δεικτοδότηση των δεδομένων, το οποίο όμως λύνεται με την αποδοτική δεικτοδότηση MBaLt [2].

Στο παρών κεφάλαιο μελετήσαμε την επίδοση της μεθόδου, εφαρμόζοντάς την στο μετροπρόγραμμα 'Παραγοντοποίηση Cholesky' και τα αποτελέσματα ήταν αρκετά ενθαρρυντικά. Η επιπλέον βελτίωση στην επίδοση του μετροπρογράμματος από τη χρήση διατάξεων ενοτήτων

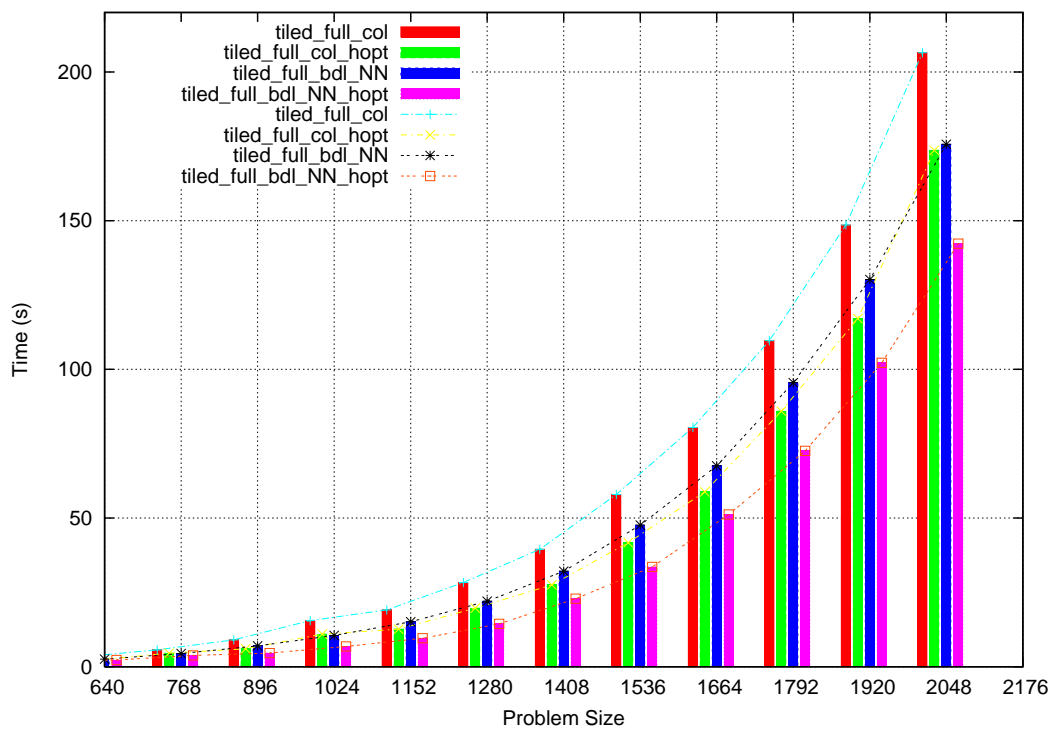
⁴Γίνεται η απλοποίηση ότι τα δεδομένα έχουν ευθυγραμμιστεί (aligned) κατά μήκος των σελίδων.

με δεικτοδότηση MBaLt κυμαίνεται γύρω από το 10%, ανάλογα με τον τύπο του υπολογιστικού συστήματος, το οποίο αποτελεί ένα σημαντικό ποσοστό βελτίωσης. Επιπλέον οι διατάξεις ενοτήτων παρουσιάζουν μια ομαλή εξέλιξη στην επίδοσή τους κατά την αύξηση του μεγέθους του προβλήματος, κάτι το οποίο δεν συμβαίνει με τις γραμμικές διατάξεις. Επίσης, το βέλτιστο μέγεθος tile στην περίπτωση διατάξεων ενοτήτων παραμένει σταθερό σε σχέση με το μέγεθος του προβλήματος, αλλά εξαρτάται από την αρχιτεκτονική του συστήματος (κρυφή μνήμη L1), το οποίο βέβαια είναι θετικό, αφού μας γλιτώνει από το βάρος της εύρεσης του βέλτιστου μεγέθους tile.

Επίσης με τις διατάξεις ενοτήτων παρατηρείται βελτίωση στην υπερχείληση του TLB. Ένα tile πλέον δεν εκτείνεται σε αρκετές σελίδες, κι επομένως κατά την επεξεργασία του γίνονται λιγότερες αναφορές σε διαφορετικές σελίδες. Οι λιγότερες διαφορετικές αναφορές συνεπάγονται μικρότερο ενεργό σύνολο σελίδων κι άρα λιγότερες αστοχίες TLB.

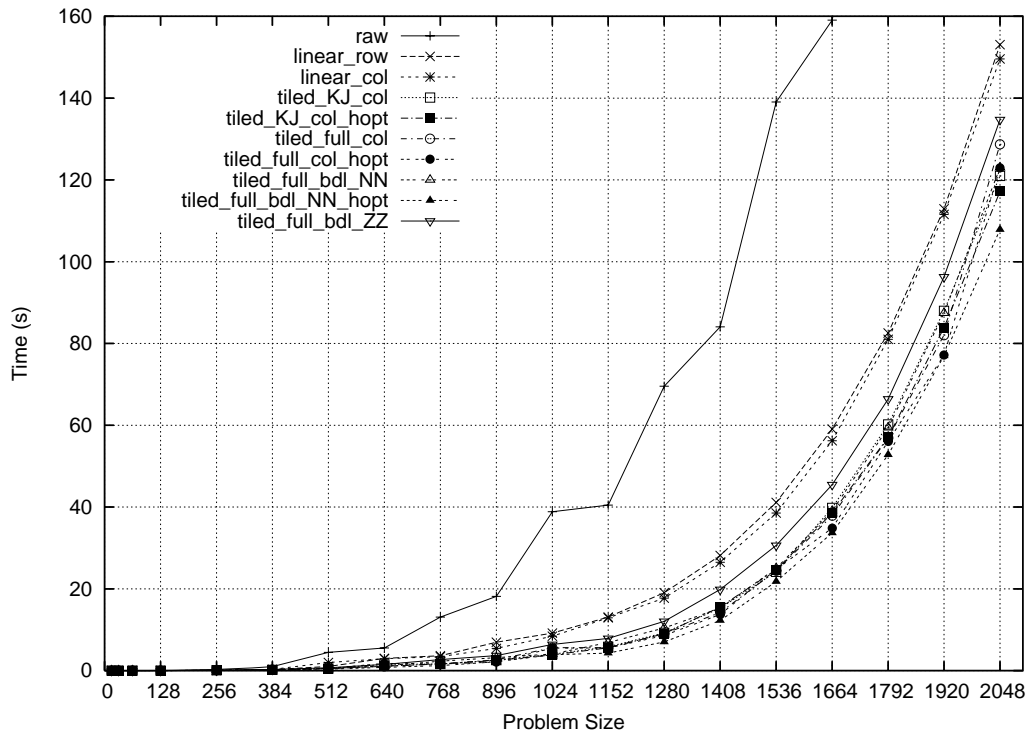


(α) Όλες οι εκδοχές

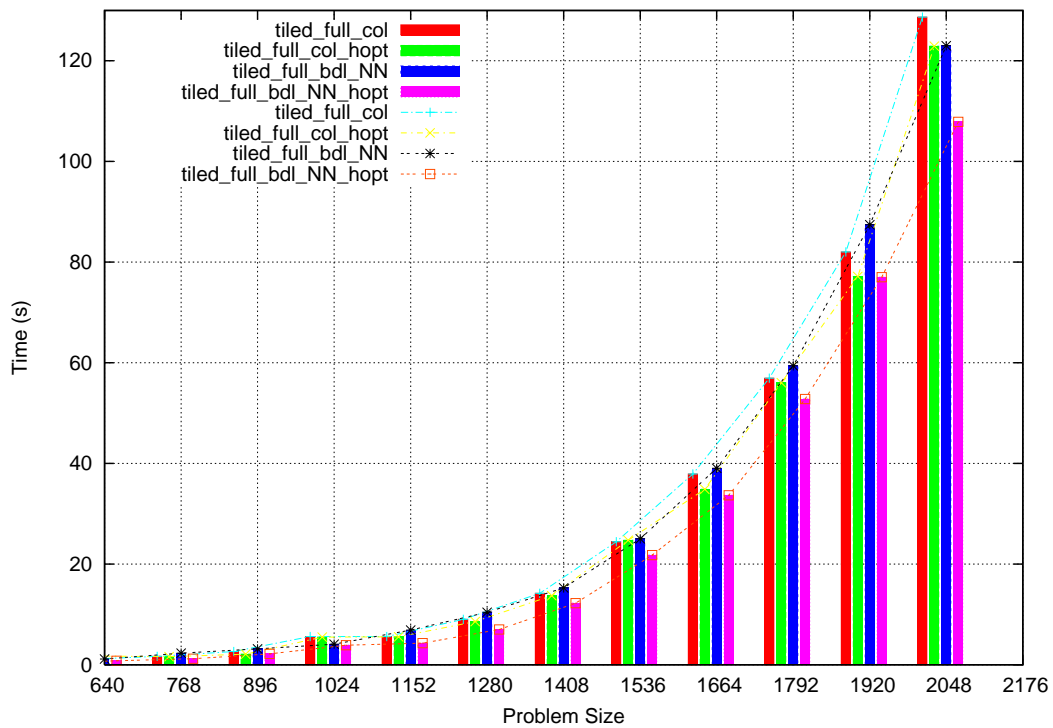


(β) Μόνο οι tiled εκδοχές (γραμμικές διατάξεις και διατάξεις ενοτήτων)

Σχήμα 4.2: Χρόνος Εκτέλεσης στον Pentium III, -O0

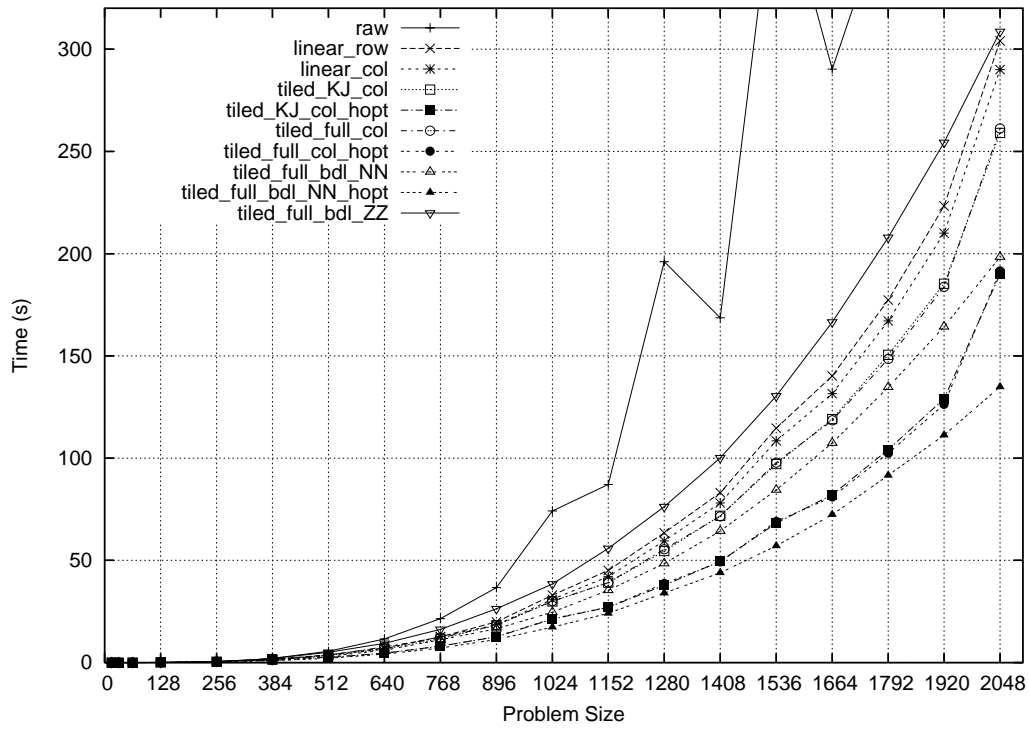


(α') Όλες οι εκδοχές

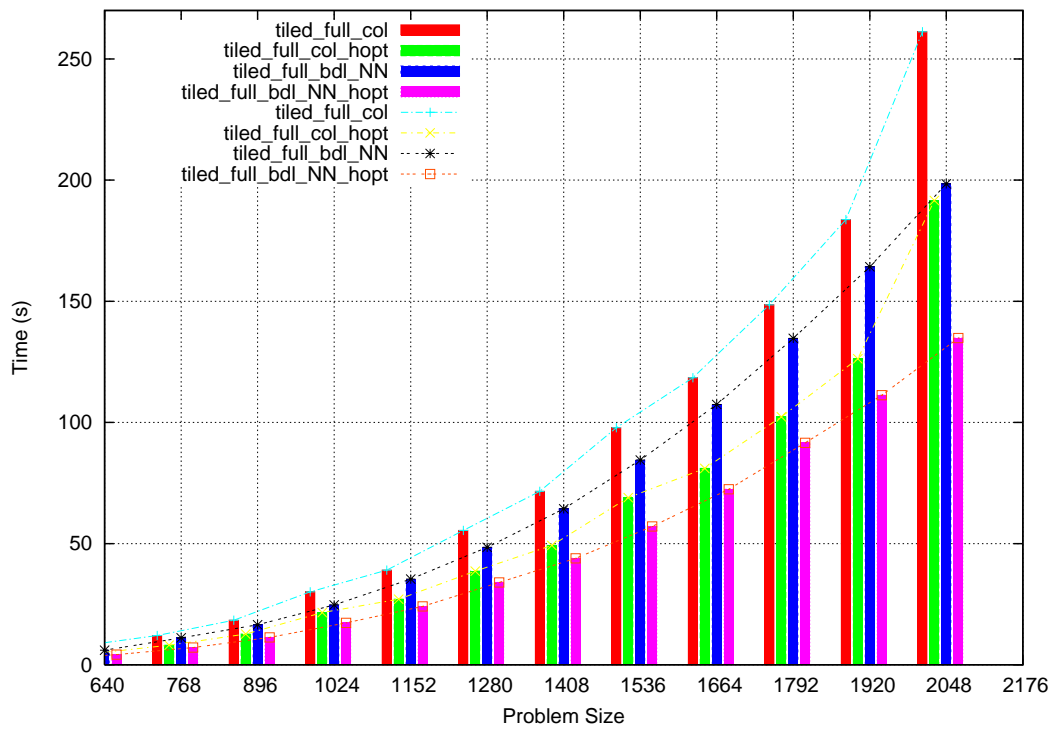


(β') Μόνο οι tiled εκδοχές (γραμμικές διατάξεις και διατάξεις ενοτήτων)

Σχήμα 4.3: Χρόνος Εκτέλεσης στον Pentium III, -O2

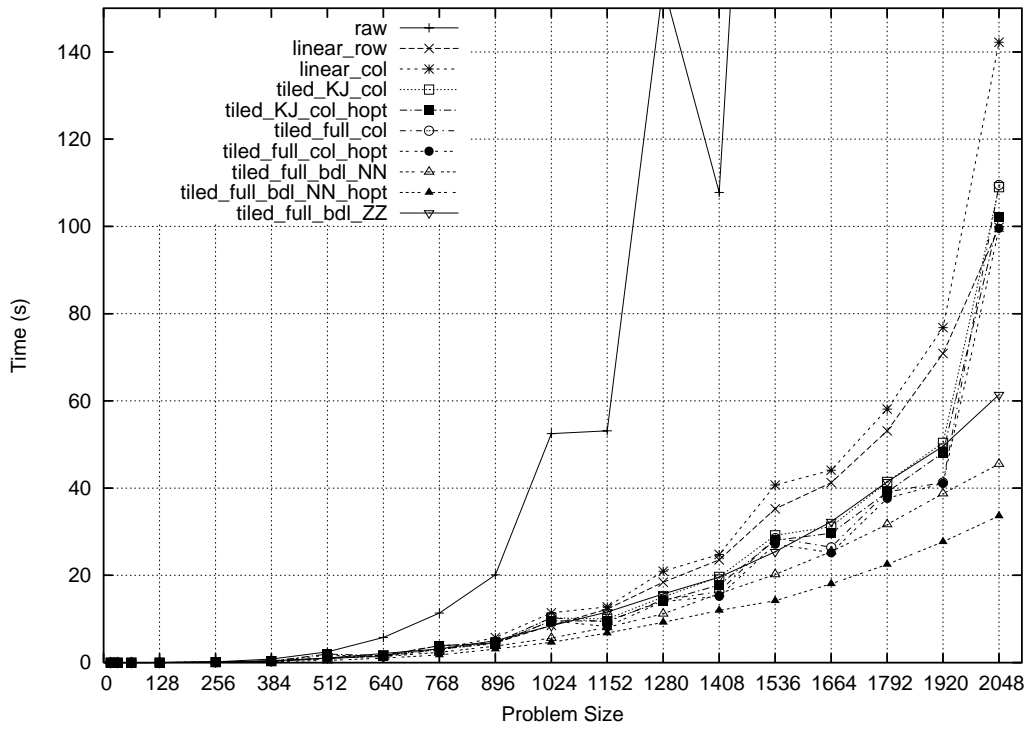


(α) Όλες οι εκδοχές

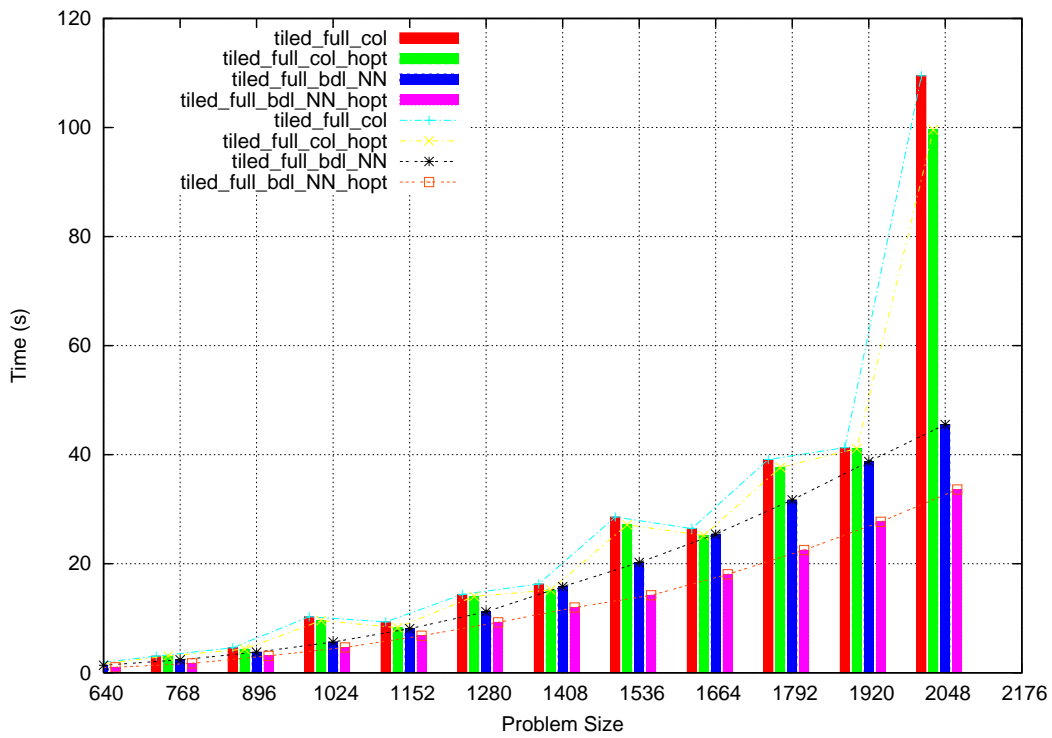


(β) Μόνο οι tiled εκδοχές (γραμμικές διατάξεις και διατάξεις ενοτήτων)

Σχήμα 4.4: Χρόνος Εκτέλεσης στον UltraSparc II, -x00

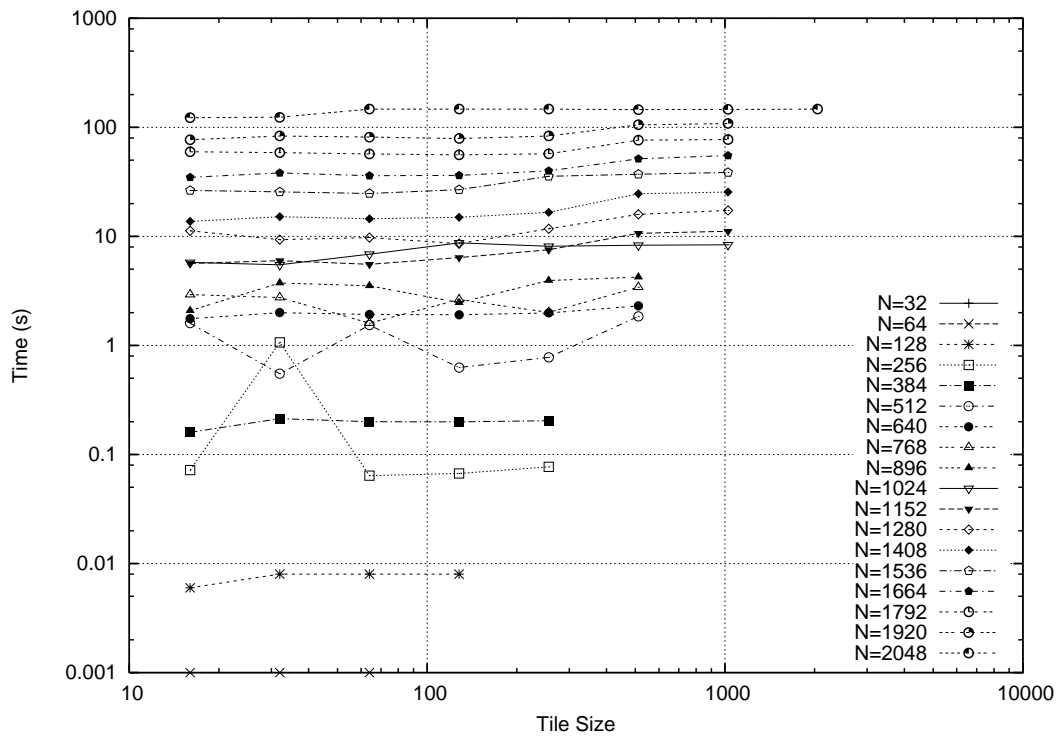


(α') Όλες οι εκδοχές

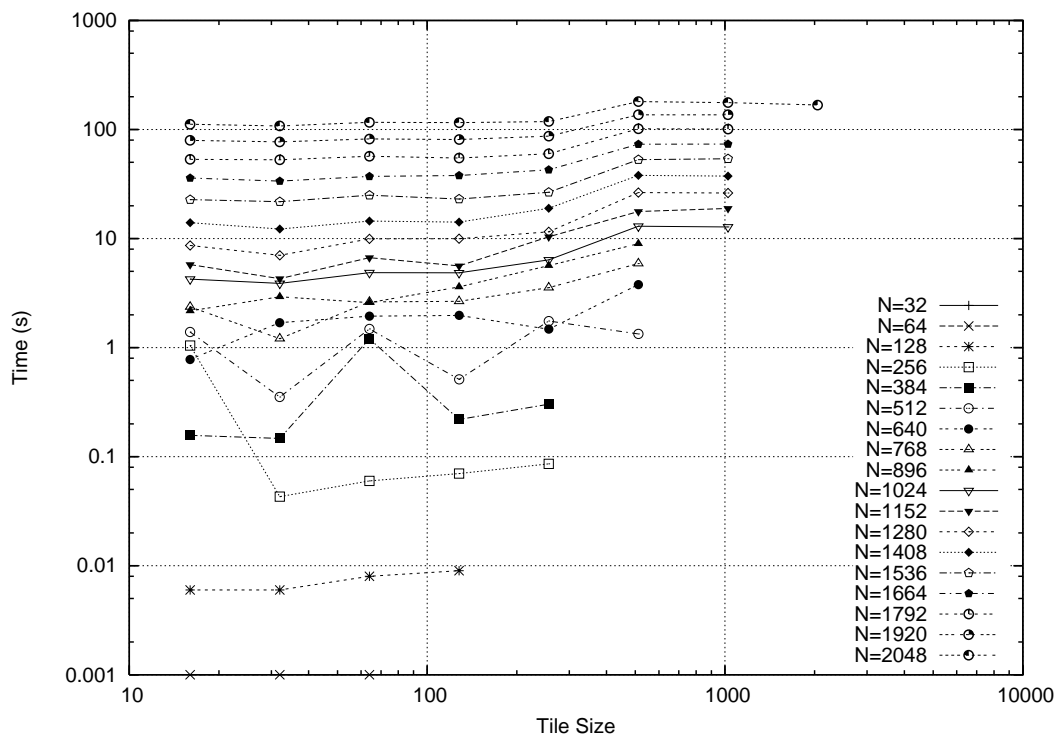


(β') Μόνο οι tiled εκδοχές (γραμμικές διατάξεις και διατάξεις MBaLt ενότητων)

Σχήμα 4.5: Χρόνος Εκτέλεσης στον UltraSparc II, -fast

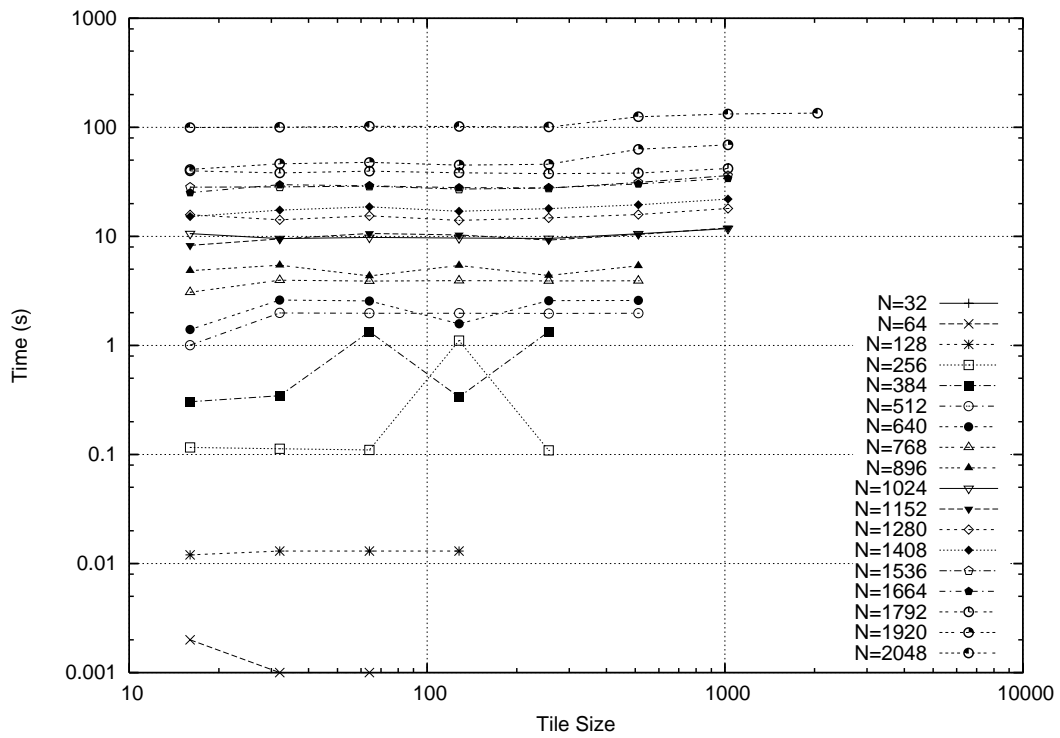


(α) Tiling σε όλες τις διαστάσεις με γραμμικές διατάξεις

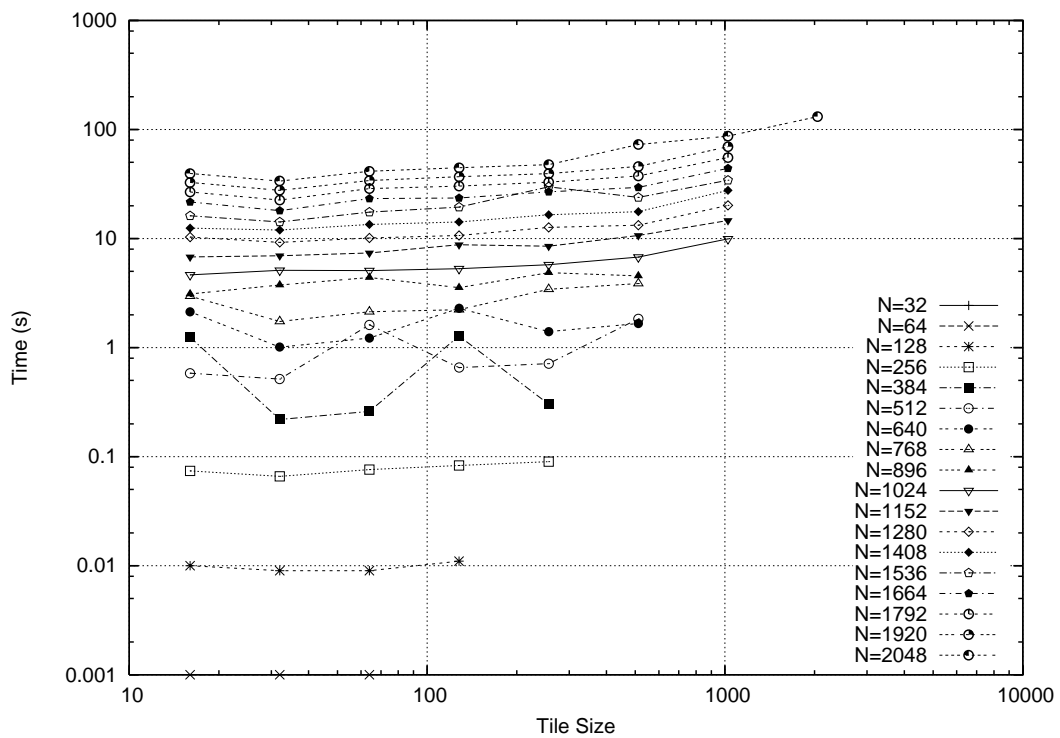


(β) Tiling σε όλες τις διαστάσεις με διατάξεις ενοτήτων MBaLt

Σχήμα 4.6: Χρόνος Εκτέλεσης συναρτήσεων Μεγέθους Tile στον Pentium III, -O2

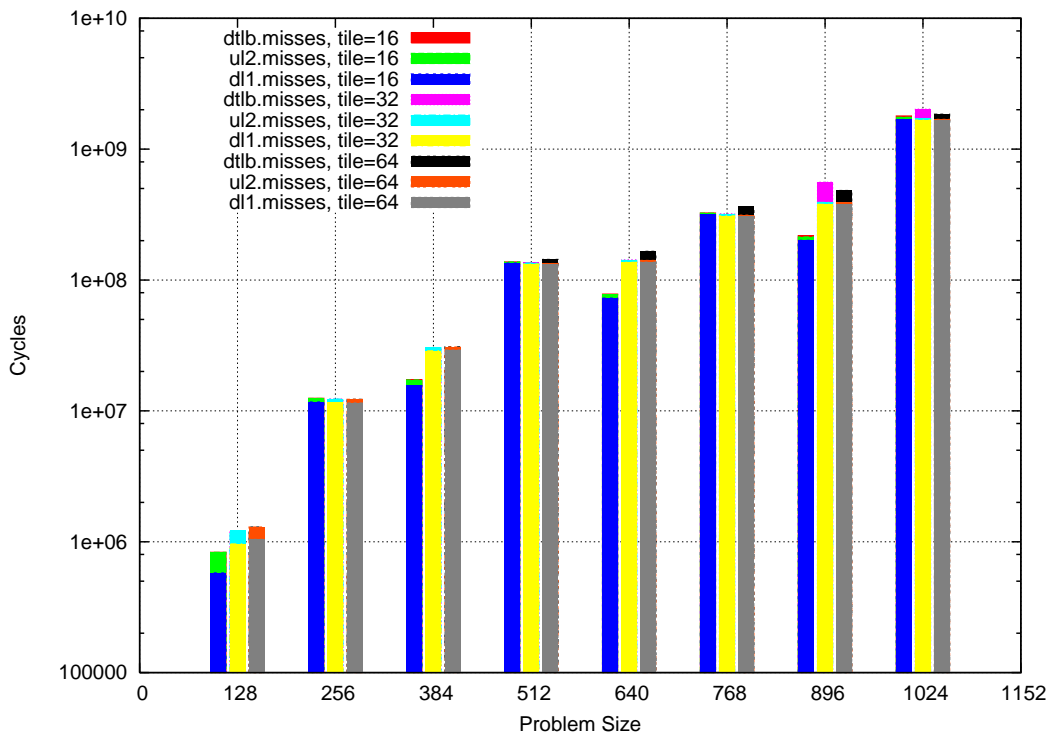


(α') Tiling σε όλες τις διαστάσεις με γραμμικές διατάξεις

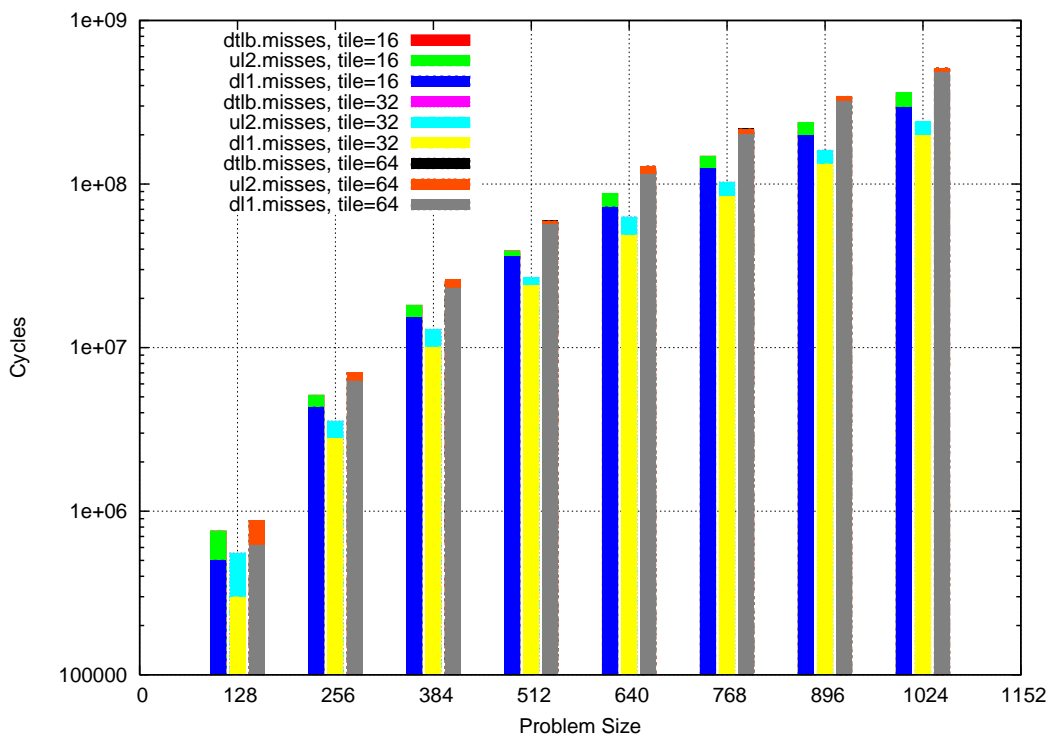


(β') Tiling σε όλες τις διαστάσεις με διατάξεις ενότητας MBaLt

Σχήμα 4.7: Χρόνος Εκτέλεσης συναρτήσεως Μεγέθους Tile στον UltraSparc II, -fast

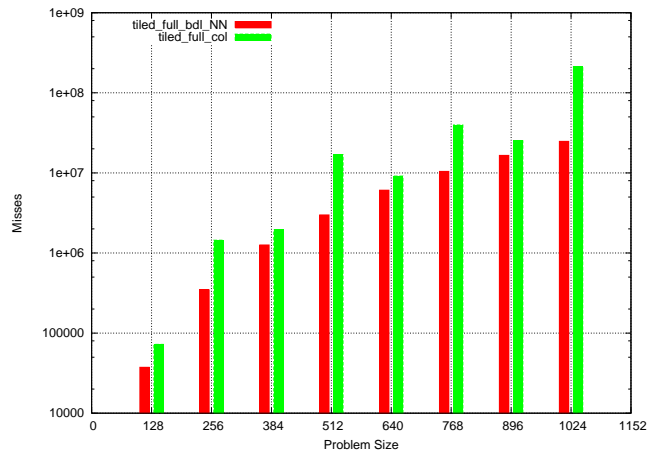


(α) Tiling σε όλες τις διαστάσεις με γραμμικές διατάξεις

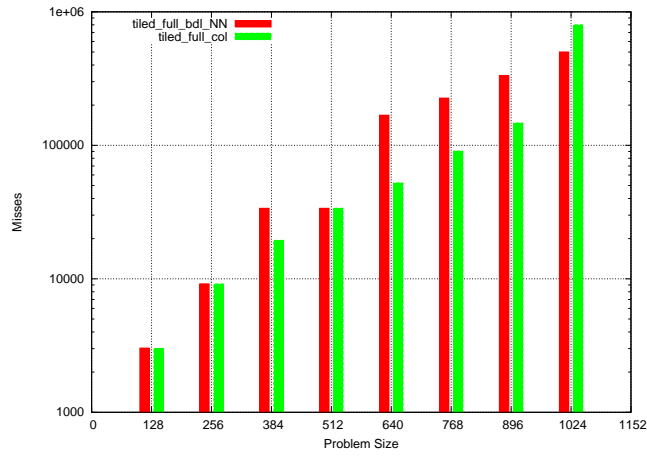


(β) Tiling σε όλες τις διαστάσεις με διατάξεις ενότητων MBaLt

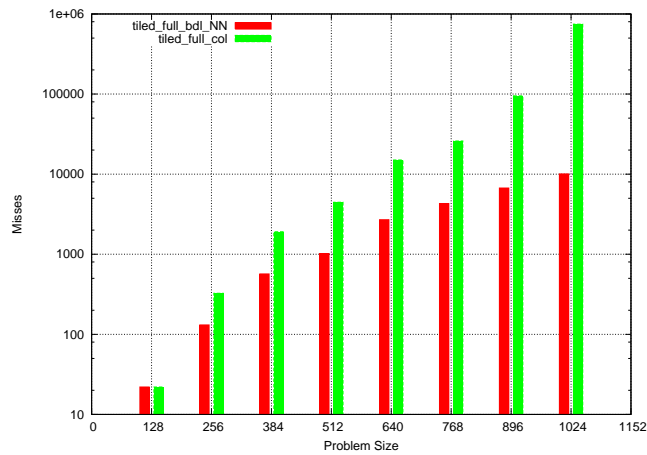
Σχήμα 4.8: Αποτελέσματα προσομοίωσης για το συνολικό κόστος αστοχιών ιεραρχίας μνήμης UltraSparc II



(α') αστοχίες κρυφής μνήμης δεδομένων L1



(β') αστοχίες ενιαίας κρυφής μνήμης L2



(γ') αστοχίες TLB δεδομένων

Σχήμα 4.9: Αποτελέσματα προσομοίωσης για τις αστοχίες ιεραρχίας μνήμης Ultra-Sparc II

Κεφάλαιο 5

Πολυνηματικές Αρχιτεκτονικές

5.1 Γενικά

Τα σύγχρονα υπολογιστικά συστήματα για να πετύχουν υψηλή επίδοση στηρίζονται σε δύο μορφές παραλληλίας: την παραλληλία σε επίπεδο εντολής (instruction-level parallelism (ILP)) και την παραλληλία σε επίπεδο νήματος (thread-level parallelism (TLP)). Οι *υπερβαθμωτοί επεξεργαστές* (superscalar processors) εκμεταλλεύονται την ILP εκτελώντας πολλαπλές εντολές από ένα πρόγραμμα σε ένα κύκλο μηχανής. Από την άλλη μεριά οι πολυεπεξεργαστές εκμεταλλεύονται την TLP εκτελώντας παράλληλα διάφορα νήματα σε διαφορετικούς επεξεργαστές. Δυστυχώς, και οι δύο μέθοδοι παραλληλοποίησης διαμοιράζουν στατικά τους υπολογιστικούς πόρους και δεν προσαρμόζονται δυναμικά στις αυξομειώσεις της ILP και της TLP ενός προγράμματος. Χωρίς την ύπαρξη αρκετής TLP ορισμένοι επεξεργαστές θα μένουν ανενεργοί, και χωρίς την ύπαρξη αρκετής ILP η δυνατότητα των υπερβαθμωτών επεξεργαστών για εκτέλεση πολλαπλών εντολών σπαταλιέται.

Τα τελευταία χρόνια έχουν γίνει αρκετές προσπάθειες για εκμετάλλευση της TLP από υπολογιστικά συστήματα ενός επεξεργαστή, με πιο σημαντική την *ταυτόχρονη πολυνημάτωση* (simultaneous multithreading (SMT)) η οποία επιτρέπει την ύπαρξη πολλαπλών νημάτων τα οποία ανταγωνίζονται για τους πόρους του επεξεργαστή, εκμεταλλευόμενοι με αυτό τον τρόπο τόσο την ILP, όσο και την TLP. Το παρών κεφάλαιο παρουσιάζει τα βασικά στοιχεία της αρχιτεκτονικής SMT, καθώς και την τεχνολογία Hyper-Threading η οποία αποτελεί μια εμπορική υλοποίηση από την Intel.

5.2 Πολυνημάτωση

Η *πολυνημάτωση* (multithreading) είναι μια τεχνική η οποία προτάθηκε για την εκμετάλλευση της TLP από ένα επεξεργαστή και η οποία στηρίζεται στην διαμοίραση των μονάδων εκτέλεσης του επεξεργαστή ανάμεσα σε *πολλαπλά νήματα* (multiple threads). Για να είναι δυνατός ο διαμοιρασμός αυτός, θα πρέπει ο επεξεργαστής να διαθέτει επιπλέον μονάδες (καταχωρητές, μετρητής προγράμματος, πίνακας σελίδων) για την διατήρηση της κατάστασης του κάθε νήματος. Ακόμη, το υλικό θα πρέπει να υποστηρίζει την γρήγορη μεταγωγή ελέγχου ανάμεσα στα νήματα.

Υπάρχουν βασικά δύο προσεγγίσεις της πολυνημάτωσης. Στην *λεπτοκομμένη πολυνη-*

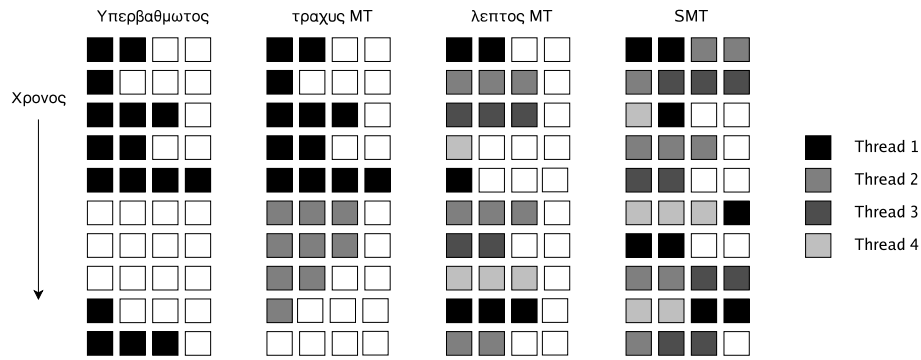
ματωση (fine-grained multithreading), η μεταγωγή ελέγχου ανάμεσα στα νήματα γίνεται εναλλάξ σε κάθε εντολή, προκαλώντας μια διαφυλλωμένη εκτέλεση των νημάτων. Πλεονέκτημα αυτής της προσέγγισης είναι η ικανότητα της να κρύβει την καθυστέρηση (latency) που προκαλούν τα κολλήματα (stalls), αφού εντολές από άλλα νήματα μπορούν να εκτελεστούν όταν είναι κολλημένο ένα νήμα. Το κυριότερο μειονέκτημά της είναι η επιβράδυνση του κάθε νήματος, λόγω της συνεχούς μεταγωγής ελέγχου. Ένα νήμα ενώ είναι έτοιμο να εκτελέσει μια σειρά από εντολές χωρίς κολλήματα, θα επιβραδυνθεί αναπόφευκτα από εντολές άλλων νημάτων.

Η δεύτερη προσέγγιση, η *χοντροκομμένη πολυνημάτωση* (coarse-grain multithreading) προσπαθεί να λύσει το μειονέκτημα της προσέγγισης της λεπτοκομμένης πολυνημάτωσης. Η μεταγωγή ελέγχου δεν γίνεται σε κάθε εντολή, αλλά μόνο στις περιπτώσεις που εμφανίζονται καθυστερήσεις μεγάλης διάρκειας, όπως είναι οι αστοχίες κρυφής μνήμης. Έτσι, η μεταγωγή δεν προκαλεί μεγάλη επιβράδυνση στην εκτέλεση του κάθε νήματος. Δεν παύει όμως να εμφανίζει κι αυτή η μέθοδος μειονεκτήματα, με πιο βασικό μειονέκτημα ότι υποφέρει από κολλήματα μικρής διάρκειας. Ο επεξεργαστής στην χοντροκομμένη πολυνημάτωση φέρνει κι εκτελεί εντολές από ένα νήμα. Όταν εμφανιστεί ένα κόλλημα, θα πρέπει ο επεξεργαστής να αδειάσει τον αγωγό του, πριν φέρει εντολές από ένα άλλο νήμα. Μέχρι την συμπλήρωση της εκτέλεσης των νέων εντολών, θα έχει περάσει ένα μικρό χρονικό διάστημα το οποίο επιβαρύνει την συνολική επίδοση του επεξεργαστή και το οποίο μπορεί να καταστεί καταστροφικό στην περίπτωση που τα κολλήματα μικρής διάρκειας εμφανίζονται συχνά.

Στο σχήμα 5.1 βλέπουμε πως χρησιμοποιούνται οι issue slots ενός υπερβαθμωτού επεξεργαστή στις περιπτώσεις των δύο προσεγγίσεων πολυνηματισμού που μόλις αναφερθήκαμε. Όπως φαίνεται και στο σχήμα η χρησιμοποίηση των issue slots στην περίπτωση του υπερβαθμωτού επεξεργαστή, περιορίζεται από την ILP. Επίπροσθετα, μια αστοχία κρυφής μνήμης είναι ικανή να καταστήσει τον επεξεργαστή ανενεργό για σημαντικό χρόνο. Στην περίπτωση της χοντροκομμένης πολυνημάτωσης, τα διάφορα κολλήματα που εμφανίζονται κρύβονται με την εκτέλεση εντολών από άλλο νήμα. Και πάλι η ILP περιορίζει τον αριθμό εντολών που εκτελούνται ανά κύκλο μηχανής. Διακρίνεται, επίσης και η καθυστέρηση που εμφανίζεται στην εκκίνηση των νέων εντολών που εισήγγιθησαν στον αγωγό. Στην περίπτωση του λεπτοκομμένου πολυνηματισμού, η εναλλάξ εκτέλεση των νημάτων εξαφανίζει τις τυχόν άδειες issue slots κατά μήκος του κατακόρυφου άξονα, κι έτσι σε κάθε κύκλο μηχανής εκτελούνται εντολές. Αλλά και πάλι η ILP περιορίζει το πλήθος των εντολών που εκτελούνται ανα κύκλο μηχανής.

5.3 Ταυτόχρονη Πολυνημάτωση (SMT)

Η *ταυτόχρονη πολυνημάτωση* (simultaneous multithreading (SMT)) επιτρέπει την εκτέλεση πολλαπλών νημάτων σε ένα μόνο επεξεργαστή, χωρίς τη χρήση μεταγωγής. Το κίνητρο πίσω από την ταυτόχρονη πολυνημάτωση είναι το γεγονός, ότι ενώ οι σύγχρονοι επεξεργαστές έχουν την ικανότητα να φέρνουν και να εκτελούν σε κάθε κύκλο μέχρι και 8 εντολές, στην πραγματικότητα υπολειπούνται, αφού στις περισσότερες περιπτώσεις ένα απλό νήμα που εκτελείται δεν παρουσιάζει ILP πέρα των 2-3 εντολών. Με τη χρήση όμως της ταυτόχρονης πολυνημάτωσης, ο επεξεργαστής κατά τη διάρκεια ενός κύκλου μηχανής ψάχνει και βρίσκει εντολές ταυτόχρονα από πολλά νήματα, τις οποίες δυναμικά δρομολογεί προς τις μονάδες εκτέλεσης, επιτυγχάνοντας με αυτό τον τρόπο την μέγιστη δυνατή χρησιμοποίηση των issue



Σχήμα 5.1: Χρησιμοποίηση των issue slots ενός υπερβαθμωτού επεξεργαστή

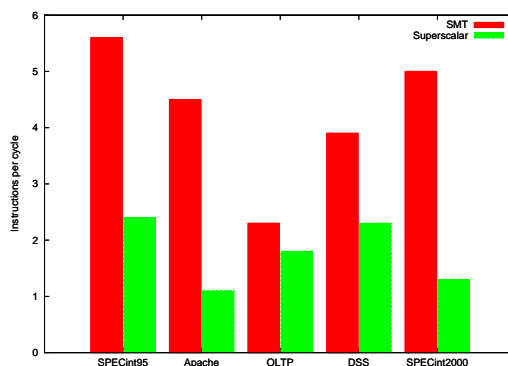
slots σε κάθε κύκλο, όπως φαίνεται και στο σχήμα 5.1.

Με την ύπαρξη λοιπόν πολλαπλών νημάτων τα οποία ανταγωνίζονται για τους πόρους του επεξεργαστή, η SMT συνδυάζει τις δυνατότητες των υπερβαθμωτών επεξεργαστών για εκτέλεση πολλαπλών εντολών (παραλληλία ILP) και τις δυνατότητες των πολυνηματικών για απόκρυψη των χρονικών καθυστερήσεων (παραλληλία TLP).

Η αρχιτεκτονική SMT όπως προτείνεται στο [11] μπορεί να εκτελέσει εντολές μέχρι κι από 8 νήματα και αποτελεί μια επέκταση του υπερβαθμωτού επεξεργαστή ο οποίος διαθέτει ήδη πολλούς από τους αναγκαίους μηχανισμούς για την εκμετάλλευση της TLP μέσω πολυνημάτωσης. Για την υποστήριξη της ταυτόχρονης πολυνημάτωσης ο υπερβαθμωτός επεξεργαστής χρειάζεται βασικά μόνο δύο αλλαγές: στο μηχανισμό εύρεσης εντολών (instruction fetch mechanism) και στο σύνολο καταχωρητών.

Ένα συνηθισμένο σύστημα πρόβλεψης διακλαδώσεων οδηγεί την εύρεση εντολών, μόνο που για να μπορεί ο επεξεργαστής να βρίσκει εντολές από 8 νήματα, διαθέτει 8 μετρητές προγράμματος και 8 δείκτες στοιβας, ένα για κάθε νήμα. Σε κάθε κύκλο, ο μηχανισμός εύρεσης εντολών επιλέγει δύο νήματα (από τα νήματα για τα οποία δεν εκκρεμεί αστοχία κρυφής μνήμης εντολών) και φέρνει μέχρι και 4 εντολές από κάθε νήμα. Ο μηχανισμός αυτός είναι λοιπόν ισοδύναμος με αυτό ενός υπερβαθμωτού επεξεργαστή πλάτους 8 εντολών, και χρειάζεται μόνο 2 θύρες στην κρυφή μνήμη εντολών. Για την πιο αποδοτική λειτουργία του μηχανισμού εύρεσης εντολών, ανατίθενται προτεραιότητες στα νήματα. Η τεχνική που εφαρμόζεται, αναθέτει την υψηλότερη προτεραιότητα στα νήματα τα οποία έχουν το μικρότερο πλήθος εντολών στα στάδια: αποκωδικοποίηση εντολών, μετονομασία καταχωρητών, ουρά εντολών προς εκτέλεση. Με αυτό τον τρόπο αποφεύγεται η λιμοκτονία ενός νήματος ή η αποκλειστική χρήση του επεξεργαστή από ένα νήμα, επιτυγχάνοντας ομοιόμορφη κατανομή των εντολών ανάμεσα στα νήματα.

Μετά την εύρεση και αποκωδικοποίηση εντολών ακολουθεί η μετονομασία καταχωρητών (register renaming). Κάθε νήμα διαθέτει 32 αρχιτεκτονικούς καταχωρητές οι οποίοι αντιστοιχίζονται μέσω της διαδικασίας μετονομασίας καταχωρητών στους φυσικούς καταχωρητές, οι οποίοι σε πλήθος είναι όσοι οι συνολικοί αρχιτεκτονικοί καταχωρητές ($8 \times 32 = 256$ συν κάποιους επιπλέον καταχωρητές για την μετονομασία καταχωρητών). Επειδή, το μεγαλύτερο σύνολο καταχωρητών χρειάζεται περισσότερο χρόνο προσπέλασης, τα στάδια ανάγνωσης και εγγραφής καταχωρητών επιμηκύνονται στους δύο κύκλους μηχανής για την αποφυγή αύξησης της διάρκειας του κύκλου μηχανής.



Σχήμα 5.2: Διαφορά επίδοσης ανάμεσα σε ένα SMT και ένα υπερβαθμωτό επεξεργαστή

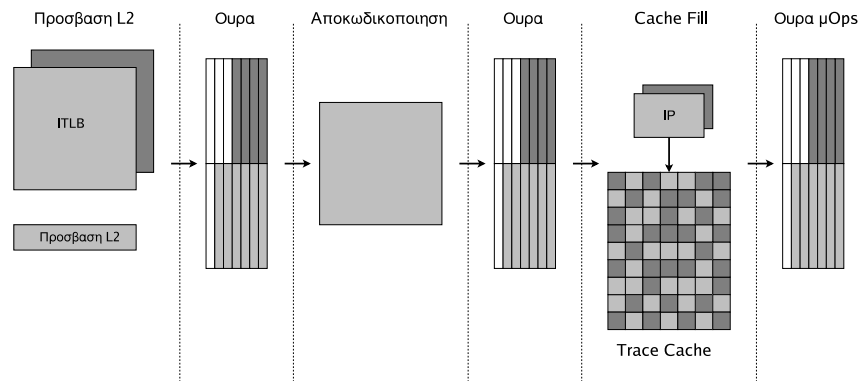
Επιπρόσθετα του νέου μηχανισμού εύρεσης εντολών, του μεγαλύτερου σύνολου καταχωρητών και του μακρύτερου αγωγού, χρειάζεται και ο πολλαπλασιασμός τριών πόρων του επεξεργαστή: του μηχανισμού αποδέσμευσης εντολών (instruction retire) ανά νήμα, του μηχανισμού διακοπών, και ένα επιπρόσθετο πεδίο στις εγγραφές του καταχωρητή πρόβλεψης διακλαδώσεων (branch prediction buffer) το οποίο δηλώνει την ταυτότητα του νήματος. Δεν χρειάζονται επιπλέον κυκλώματα για την πολυνηματική χρονοδρομολόγηση. Αυτό συμβαίνει, διότι η διαδικασία μετονομασίας καταχωρητών εξαλείφει τις οποιοσδήποτε εξαρτήσεις καταχωρητών μεταξύ νημάτων, έτσι ώστε οι συνηθισμένες ουρές εντολών να μπορούν να χρησιμοποιηθούν για την δυναμική χρονοδρομολόγηση εντολών από διαφορετικά νήματα. Οι εντολές των νημάτων περιμένουν μέσα στις ουρές, και μια εντολή μπορεί να εκτελεστεί μόλις τα ορίσματα της είναι διαθέσιμα.

Στην σχεδίαση που προτείνεται, οι περισσότεροι πόροι του επεξεργαστή μοιράζονται δυναμικά ανάμεσα στα νήματα, ενώ ελάχιστοι μοιράζονται στατικά. Επομένως στην περίπτωση που εκτελείται ένα μόνο νήμα, οι πόροι είναι σχεδόν όλοι διαθέσιμοι. Η αρχιτεκτονική μας επιτρέπει λοιπόν να πετυχαίνουμε την επίδοση της ταυτόχρονης πολυνημάτωσης, χωρίς να επηρεάζεται η επίδοση και η σχεδίαση του σύγχρονου υπερβαθμωτού επεξεργαστή.

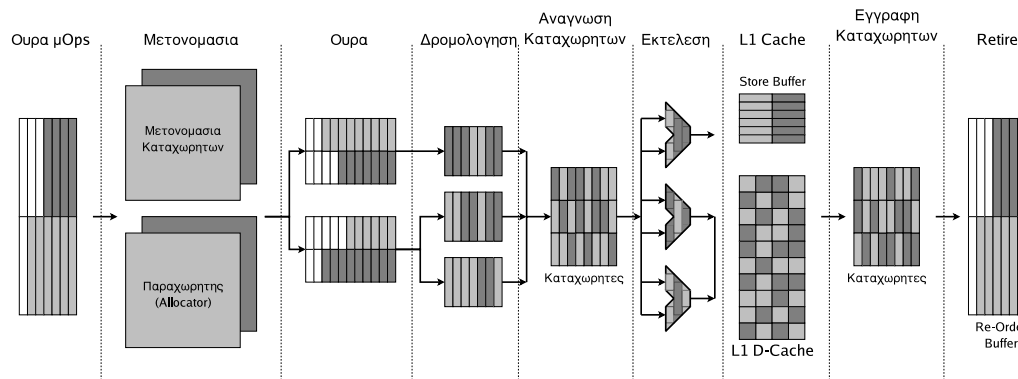
5.4 Τεχνολογία Hyper-Threading (HT)

Η τεχνολογία Hyper-Threading[13] αποτελεί την εμπορική υλοποίηση της αρχιτεκτονική SMT από την Intel.

Εφαρμόζοντας η Intel μια παραλλαγή της SMT με δύο νήματα, ένας απλός φυσικός επεξεργαστής με τεχνολογία Hyper-Threading εμφανίζεται στο λειτουργικό σύστημα ως δύο λογικοί επεξεργαστές. Κάθε λογικός επεξεργαστής έχει τη δική του αρχιτεκτονική κατάσταση. Η αρχιτεκτονική κατάσταση αποτελείται από τους καταχωρητές γενικού σκοπου, τους καταχωρητές ελέγχου, τους προγραμματίσιμους καταχωρητές διακοπών (APIC), και ορισμένους καταχωρητές κατάστασης. Από λογισμικής πλευράς, από τη στιγμή που υπάρχουν δύο ξεχωριστές αρχιτεκτονικές καταστάσεις, ένα λειτουργικό σύστημα το οποίο είναι ικανό για πολυεπεξεργαστικά περιβάλλοντα αντιμετωπίζει τον επεξεργαστή ως δύο ανεξάρτητους επεξεργαστές.



(α') Μονοπάτι Μπροστινού Μέρους



(β') Μονοπάτι Out-of-order

Σχήμα 5.3: Διαμοιρασμός των πόρων σε ένα επεξεργαστή τεχνολογίας Hyper-Threading

Η βασική διαφορά ανάμεσα στην Hyper-Threading υλοποίηση και την προτεινόμενη αρχιτεκτονική SMT εντοπίζεται στον τρόπο που οι πόροι του επεξεργαστή μοιράζονται ανάμεσα στα δύο νήματα. Ενώ η αρχιτεκτονική SMT προτείνει σαν πιο αποδοτικό τον δυναμικό διαμοιρασμό των πόρων αντί του στατικού διαχωρισμού, στην υλοποίηση της Intel ορισμένες δομές διαχωρίζονται στατικά. Βασικά δύο είναι οι λόγοι γι' αυτή την επιλογή. Πρώτο, ο στατικός διαχωρισμός απομονώνει καλύτερα ένα νήμα από ένα άλλο που δεν συμπεριφέρεται αποδοτικά. Δεύτερο, αν και η τεχνική του στατικού διαχωρισμού δεν επεκτείνεται τόσο καλά για πολλά νήματα, όπως τα 8 νήματα της SMT, στην περίπτωση των δύο νημάτων προσεγγίζει πολύ καλά την επίδοση του δυναμικού διαμοιρασμού. Θυσιάζοντας λοιπόν ένα μικρό ποσοστό της επίδοσης, επιτυγχάνεται μια πιο απλή υλοποίηση.

Στο σχήμα 5.3 φαίνεται πως γίνεται ο διαμοιρασμός των πόρων στο μονοπάτι δεδομένων (datapath) ενός επεξεργαστή τεχνολογίας Hyper-Threading. Πόροι που διαμοιράζονται δυναμικά όπως οι μονάδες εκτέλεσης, οι κρυφές μνήμες και οι καταχωρητές διακλαδώσεων χρησιμοποιούνται από κοινού από τα δύο νήματα. Όσον αφορά τους πόρους που διαχωρίζον-

ται στατικά όπως η ουρά μικροεντολών, οι καταχωρητές φόρτωσης και αποθήκευσης, ο ROB (reorder buffer), αυτοί δεν είναι πλήρως διαθέσιμοι στους λογικούς επεξεργαστές. Κάθε λογικός επεξεργαστής μπορεί να χρησιμοποιήσει τις μισές εγγραφές από κάθε τέτοια δομή. Για παράδειγμα αν οι συνολικές εγγραφές του ROB είναι 126, τότε κάθε λογικός επεξεργαστής μπορεί να χρησιμοποιήσει το μέγιστο 63 εγγραφές.

Στην περίπτωση που μόνο ένα νήμα εκτελείται στον επεξεργαστή, ή τουλάχιστο το δεύτερο νήμα είναι σε κατάσταση ύπνωσης, θα θέλαμε όλοι οι στατικά διαχωρισμένοι πόροι να είναι διαθέσιμοι στο ένα νήμα. Η τεχνολογία Hyper-Threading δίνει αυτή τη δυνατότητα μέσω των καταστάσεων λειτουργίας του επεξεργαστή. Συγκεκριμένα υπάρχουν δύο τέτοιες καταστάσεις: κατάσταση απλής διεργασίας (single-task mode (ST)) και κατάσταση πολλαπλών διεργασιών (multi-task mode (MT)). Στην κατάσταση MT και οι δύο λογικοί επεξεργαστές είναι ενεργοί και ο διαμοιρασμός των πόρων γίνεται όπως περιγράφηκε νωρίτερα. Στην κατάσταση ST μόνο ο ένα λογικός επεξεργαστής είναι ενεργός, και οι πόροι που ήταν διαμοιρασμένοι στην κατάσταση MT συνενώνονται έτσι ώστε ο ένας λογικός επεξεργαστής να έχει στη διάθεση του όλους τους πόρους του επεξεργαστή. Η μετάβαση από την μια κατάσταση λειτουργίας στην άλλη, γίνεται μέσω της εντολής πυρήνα HALT. Η δε επαναφορά του λογικού επεξεργαστή, που εκτέλεσε την εντολή, γίνεται μέσω διακοπής που προκαλεί ο άλλος λογικός επεξεργαστής και η οποία αφυπνίζει τον πρώτο και θέτει επομένως ολόκληρο τον επεξεργαστή στην κατάσταση MT. Η εντολή HALT, προσδιορίζεται κυρίως για χρήση από τον χρονοδρομολογητή του λειτουργικού συστήματος για την βελτίωση της επίδοσης των χρονοδρομολογούμενων διεργασιών.

Ένα άλλο σημείο άξιο σχολιασμού είναι η κοινή χρήση της κρυφής μνήμης από τους δύο λογικούς επεξεργαστές. Η κοινή χρήση μπορεί να οδηγήσει σε ανεπιθύμητες συγκρούσεις μειώνοντας την επίδοση του επεξεργαστή. Παρόλα αυτά, μπορούν να αναπτυχθούν μεθόδοι που εκμεταλλεύονται την κοινή χρήση της κρυφής μνήμης, όπως είναι για παράδειγμα το μοντέλο παραγωγού-καταναλωτή στο οποίο ο ένας λογικός επεξεργαστής αναλαμβάνει να φέρνει τα δεδομένα που θα χρειαστεί ο άλλος λογικός επεξεργαστής πριν αυτός τα χρειαστεί, έτσι ώστε να κρύβονται οι καθυστερήσεις μνήμης. Επίσης ενθαρρύνει την ανάπτυξη γρήγορων μηχανισμών συγχρονισμού για την περίπτωση παράλληλων εργασιών.

Γενικά, όπως θα δούμε με περισσότερο βάθος στο επόμενο κεφάλαιο, αυτό που διαπιστώνεται σχετικά με την επίδοση της τεχνολογίας Hyper-Threading είναι ότι συμπεριφέρεται καλύτερα σε περιβάλλοντα πολλαπλών ανομοιογενών εφαρμογών, παρά σε περιβάλλοντα ομοιογενών εφαρμογών παράλληλων υπολογισμών, λόγω του ότι οι πολλαπλές εφαρμογές τείνουν να χρησιμοποιήσουν διαφορετικούς πόρους του επεξεργαστή, σε αντίθεση με τις παράλληλες εφαρμογές των οποίων τα νήματα χρησιμοποιούν τους ίδιους πόρους.

Κεφάλαιο 6

Επίδοση Διατάξεων Ενοτήτων με Δεικτοδότηση MBaLt σε Ιεραρχία Μνήμης Πολυνηματικής Αρχιτεκτονικής

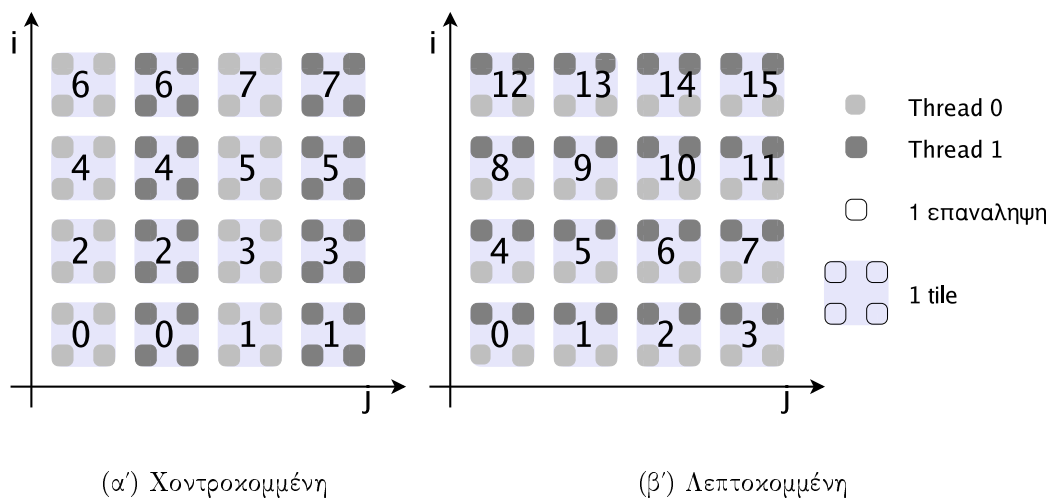
6.1 Γενικά

Αντίθετα με τους υπερβαθμωτούς επεξεργαστές, η αρχιτεκτονική SMT εκμεταλλεύεται την παραλληλία σε επίπεδο εντολής μεταξύ νημάτων, κατά την απόκρυψη καθυστερήσεων. Επομένως, είναι πιθανό οι βελτιστοποιήσεις οι οποίες είναι κατάλληλες για τέτοια μηχανήματα, να μην είναι κατάλληλες για την SMT. Στηριζόμενοι στα θετικά αποτελέσματα που μας έδωσε η εφαρμογή του tiling με διατάξεις ενοτήτων και δεικτοδότηση MBaLt, στο παρών κεφάλαιο προχωράμε στη μελέτη της επίδοσης της βελτιστοποίησης αυτής σε μια εμπορική υλοποίηση της SMT, την τεχνολογία Hyper-Threading της Intel. Οι διάφορες εκδοχές του μετροπρογράμματος ‘Παραγοντοποίηση Cholesky’ που υλοποιήσαμε στο κεφάλαιο 4 παραλληλοποιούνται με χρήση νημάτων Pthreads (POSIX Threads) και εκτελούνται σε ένα υπολογιστικό σύστημα αποτελούμενο από επεξεργαστές Intel Xeon οι οποίοι διαθέτουν τεχνολογία Hyper-Threading, για τη λήψη πραγματικών αποτελεσμάτων και την εξαγωγή συμπερασμάτων.

6.2 Πολυνηματική Παραλληλοποίηση

Για την διάσπαση του χώρου εργασίας ενός προγράμματος και της ανάθεσης των τμημάτων που προκύπτουν σε διαφορετικά νήματα τα οποία τρέχουν παράλληλα, χρησιμοποιούνται δύο βασικές μέθοδοι: λεπτοκομμένη διαμέριση εργασίας (fine-grain work partitioning), όπου μικρά τμήματα των δεδομένων ανατίθενται κυκλικά σε διαφορετικά νήματα και χοντροκομμένη διαμέριση εργασίας (coarse-grain work partitioning), όπου μεγάλα κομμάτια δεδομένων ανατίθενται σε κάθε νήμα.

Στην περίπτωση του tiling (και κατ’ επέκταση στις διατάξεις ενοτήτων με συνδυασμό tiling), οι δύο διαμοιράσεις εφαρμόζονται ως εξής:

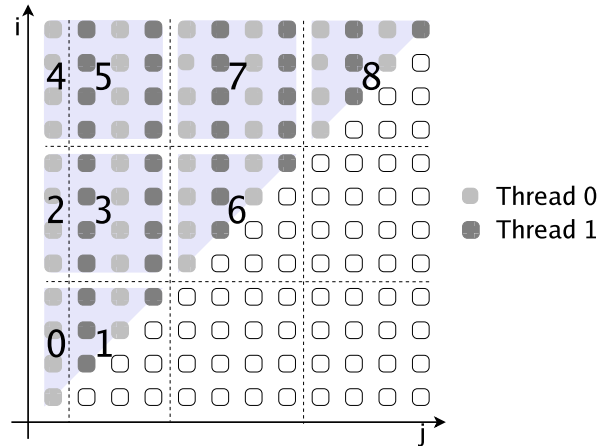


Σχήμα 6.1: Οι δύο βασικές μεθόδους διαμέρισης χώρου εργασίας στην περίπτωση tiling

- Χοντροκομμένη Διαμέριση Εργασίας:** Συνεχόμενα tiles ανατίθενται κυκλικά σε διαφορετικά νήματα, όπως φαίνεται στο σχήμα 6.1(α'): Η χρήση της διαμέρισης αυτής ενδείκνυται στην περίπτωση πολυεπεξεργαστών, διότι αναθέτοντας σε κάθε επεξεργαστή/νήμα ένα tile αυξάνεται η επαναχρησιμοποίηση και μειώνεται η απαραίτητη επικοινωνία και συγχρονισμός μεταξύ των επεξεργαστών/νημάτων. Σ' ένα επεξεργαστή όμως SMT, μια τέτοια διαμέριση όπως διαπιστώνεται στο [12] μπορεί να είναι επιβλαβής. Αυτό συμβαίνει διότι τα νήματα εργάζονται σε ξεχωριστά σύνολα δεδομένων, αυξάνοντας με αυτό τον τρόπο το χώρο εργασίας του προγράμματος και οδηγώντας σε υπερχείληση του TLB (TLB thrashing).
- Λεπτοκομμένη Διαμέριση Εργασίας:** Συνεχόμενα στοιχεία ενός tile ανατίθενται κυκλικά σε διαφορετικά νήματα, όπως φαίνεται στο σχήμα 6.1(β'). Όπως σημειώνεται στο [12], η χρήση της διαμέρισης αυτής ενδείκνυται στην περίπτωση των επεξεργαστών αρχιτεκτονικής SMT, όπου τα νήματα μοιράζονται την κοινή κρυφή μνήμη κι επομένως δεν υποφέρουν από καθυστερήσεις λόγω συνάφειας κρυφής μνήμης. Επίσης είναι δυνατή η υλοποίηση αρκετά γρήγορων μηχανισμών συγχρονισμού, η οποία στηρίζεται στην ύπαρξη της κοινής κρυφής μνήμης. Επιπλέον ο χώρος εργασίας είναι μικρότερος, κι επομένως μειώνεται η υπερχείληση του TLB.

6.3 Πολυνηματική Παραλληλοποίηση Παραγοντοποίησης Cholesky

Για τη μελέτη της επίδοσης των διατάξεων ενοτήτων με δεικτοδότηση MBaLt, σε ιεραρχία μνήμης πολυνηματικής αρχιτεκτονικής τύπου SMT και συγκεκριμένα του επεξεργαστή Intel Xeon DP με τεχνολογία Hyper-Threading, το μετροπρόγραμμα Cholesky παραλληλοποιείται σε 2 νήματα χρησιμοποιώντας τις δύο βασικές μεθόδους διαμέρισης: λεπτοκομμένη και χοντροκομμένη. Επίσης εφαρμόζεται και ο συνδυασμός των δύο μεθόδων για την διαμέριση του



Σχήμα 6.2: Οι προσπελάσεις όπως γίνονται από τα νήματα στην περίπτωση λεπτοκομμένης διαμέρισης εργασίας

χώρου εργασίας στην περίπτωση 4 νημάτων.

6.3.1 Λεπτοκομμένη Διαμέριση Εργασίας

Η περίπτωση λεπτοκομμένης διαμέρισης εργασίας είναι σχετικά απλή. Και τα δύο νήματα εργάζονται στο ίδιο tile (ή ενότητα) το οποίο το μοιράζονται κυκλικά όπως φαίνεται στο σχήμα 6.2. Σε κάθε tile το πρώτο νήμα εκτελεί αν χρειάζεται τον υπολογισμό της τετραγωνικής ρίζας των στοιχείων επί της διαγωνίου (1), εκτελεί τις διαιρέσεις (2) κι ακολούθως συνεχίζει με τους πολλαπλασιασμούς στο μισό tile. Το δεύτερο νήμα εκτελεί τους πολλαπλασιασμούς στο υπόλοιπο μισό tile παράλληλα με το πρώτο νήμα. Για μικρό μέγεθος προβλήματος η διαμέριση αυτή παρουσιάζει ανισορροπίες, οι οποίες όμως σε προβλήματα μεγάλου μεγέθους είναι αμελητέες.

Ο ακόλουθος κώδικας αποτελεί τμήμα της παράλληλης υλοποίησης του μετροπρογράμματος χρησιμοποιώντας λεπτοκομμένη διαμέριση εργασίας. Ο κώδικας αυτός προσπελάνει τα στοιχεία ενός tile και είναι παραμετρικός του αριθμού νήματος *thread* και του πλήθους νημάτων *threads*. Ο πλήρης κώδικας ο οποίος περιλαμβάνει διατάξεις ενοτήτων με δεικτοδότηση MBaLt μπορεί να βρεθεί στο παράρτημα B.2.thread_tiled_full_bdl_NN_fine_grain (γραμμές 80-217).

```

for (k=kk; k<MIN(kk+Bkk,N);k++) {
  if (thread_ID==0) {
    if (jj<=k && k<jj+Bjj && ii<=k && k<ii+Bii)
      A[k][k]=sqrt(fabs(A[k][k]));
    if (jj==(int) floor((double)kk/Bjj)*Bjj)
      for (j = MAX(ii, k+1); j<MIN(ii+Bjj,N); j++)
        A[k][j]/=A[k][k];
  }

  /* Barrier Synchronization */

```

```

for ( j=MAX( jj ,k+1)+thread_ID ; j<MIN( jj+Bjj ,N) ; j+=
      threads)
  for ( i=MAX( ii , j) ; i<MIN( ii+Bii ,N) ; i++)
    A[j][i]=A[k][i]*A[k][j];
}

```

6.3.2 Χοντροκομμένη Διαμέριση Εργασίας

Στην περίπτωση χοντροκομμένης διαμέρισης εργασίας, τα tiles ανατίθενται κυκλικά στα 2 νήματα. Κάθε νήμα λοιπόν εργάζεται στο δικό του tile παράλληλα με το άλλο νήμα. Η ύπαρξη όμως εξαρτήσεων μεταξύ των tiles όπως φαίνεται στο σχήμα 6.3, καθιστά αναγκαίο το συγχρονισμό μεταξύ των νημάτων για την μη παραβίαση των εξαρτήσεων. Οι εξαρτήσεις υποχρεώνουν το πρώτο, τα τρία τελευταία και ορισμένες φορές το τέταρτο tile από το τέλος, να υπολογισθούν ακολουθιακά κι έτσι ανατίθενται πάντοτε στο πρώτο thread. Τα υπόλοιπα tiles ομαδοποιούνται στατικά σε ομάδες των δύο tiles και ανατίθενται στα νήματα με το μοτίβο που φαίνεται στο σχήμα 6.3. Με αυτό τον τρόπο εξασφαλίζεται η διατήρηση των εξαρτήσεων και επιπρόσθετα επιτυγχάνεται υψηλή επίδοση, αφού στα ενδιάμεσα tiles τα νήματα προχωρούν παράλληλα σχεδόν σε πλήρη ταχύτητα.

Οι λόγοι που δεν επιτυγχάνεται πλήρης ταχύτητα είναι βασικά δύο:

- Η ύπαρξη ακολουθιακής εκτέλεσης, η οποία όμως είναι αμελητέα στην περίπτωση που υπάρχουν αρκετά tiles. Στην περίπτωση μας το πλήθος των tiles δίνεται από την σχέση:

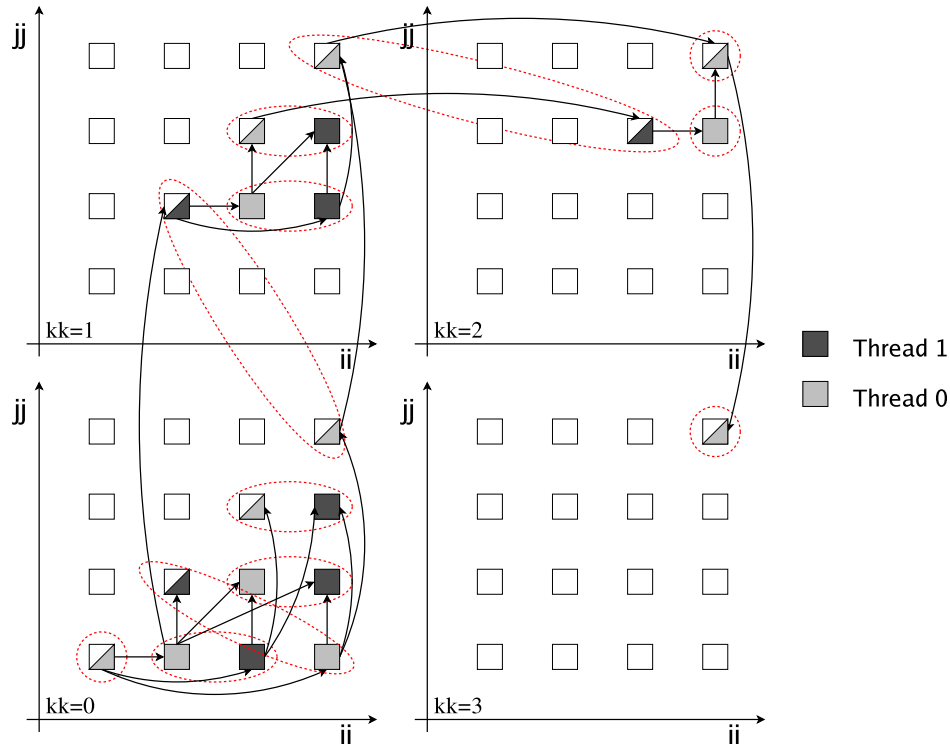
$$tiles = \sum_{k=1}^M \sum_{l=1}^k l = \frac{M(M+1)(M+2)}{6}, M = \lfloor \frac{N}{T} \rfloor$$

όπου N το μέγεθος του πίνακα και T το μέγεθος του tile. Υποθέτωντας πλήρης ισορροπία στο φορτίο των tiles η επιτάχυνση *speedup* δίνεται από την σχέση:

$$speedup = \frac{tiles}{\frac{tiles-5}{2} + 5}$$

Στην περίπτωση που το N είναι αρκετά μεγαλύτερο του T , που αυτό είναι και το σύνηθες η επιτάχυνση *speedup* $\rightarrow 2$. Για παράδειγμα για μια συνηθισμένη περίπτωση $N = 1024$ και $T = 32$ *speedup* = 1.998.

- Η ανισορροπία που υπάρχει στο φορτίο των tiles. Τα tiles που βρίσκονται στα σύνορα του χώρου επαναλήψεων, χρειάζονται περισσότερο χρόνο για να ολοκληρωθούν, παρά τα εσωτερικά tiles. Έτσι, ένα νήμα αφού ολοκληρώσει το δικό του tile ενδέχεται να παραμείνει ανενεργό περιμένοντας την ολοκλήρωση του άλλου νήματος, για να συνεχίσουν ακολουθώντας μαζί στα επόμενα tiles. Θα μπορούσαμε να αντισταθμίσουμε τον παράγοντα της ανισορροπίας, εάν επιτρέπαμε σε ορισμένες περιπτώσεις στα νήματα να ελέγχουν δυναμικά τις εξαρτήσεις και να προχωρούν πιο ελεύθερα. Για τους σκοπούς όμως της παρούσας εργασίας η επιτάχυνση που επιτυγχάνεται με το παραπάνω στατικό μοτίβο ανάθεσης των tiles στα νήματα είναι ικανοποιητική, και μια πιο πολύπλοκη υλοποίηση δεν χρειάζεται.



Σχήμα 6.3: Οι εξαρτήσεις μεταξύ των tiles στο χώρο επαναλήψεων της παραγοντοποίησης Cholesky

Ο κώδικας της παράλληλης υλοποίησης του μετροπρογράμματος που χρησιμοποιεί χοντροκομμένη διαμέριση εργασίας, καθώς και διατάξεις ενοτήτων με δεικτοδότηση MBaLt μπορεί να βρεθεί στο παράρτημα B'.2.thread_tiled_full_bdl_NN_coarse_grain (γραμμές 226-669).

6.3.3 Συνδυασμός Χοντροκομμένης και Λεπτοκομμένης Διαμέρισης

Στην περίπτωση συνδυασμού λεπτοκομμένης και χοντροκομμένης διαμέρισης εργασίας, αρχικά τα tiles ανατίθενται κυκλικά στους δύο φυσικούς επεξεργαστές χρησιμοποιώντας τη χοντροκομμένη διαμέριση. Ακολούθως, χρησιμοποιώντας λεπτοκομμένη διαμέριση εργασίας καθένα από τα δύο tile που ανατέθηκαν στους δύο φυσικούς επεξεργαστές, διαμερίζεται ανάμεσα σε 2 νήματα, τα οποία τρέχουν στους δυο λογικούς επεξεργαστές που διαθέτει ο κάθε φυσικός επεξεργαστής.

Ο κώδικας της παράλληλης υλοποίησης του μετροπρογράμματος που χρησιμοποιεί συνδυασμό λεπτοκομμένης και χοντροκομμένης διαμέρισης εργασίας, καθώς και διατάξεις ενοτήτων με δεικτοδότηση MBaLt μπορεί να βρεθεί στο παράρτημα B'.2.thread_tiled_full_bdl_NN_coarse_fine_grain (γραμμές 638-1041).

6.4 Θέματα Υλοποίησης

6.4.1 Νήματα POSIX

Ένα *νήμα* (thread) είναι μια ανεξάρτητη ροή ελέγχου μέσα σε μια διεργασία. Όλα τα νήματα μιας διεργασίας μοιράζονται:

- τον εικονικό χώρο διευθύνσεων της διεργασίας
- ανοικτά αρχεία (file descriptors)
- χειριστές διακοπών (signal handlers)

, ενώ κάθε νήμα έχει:

- το δικό του περιεχόμενο (καταχωρητές, μετρητής προγράμματος)
- τη δική του στοίβα για τοπικές μεταβλητές

Η βιβλιοθήκη NPTL (Native POSIX Threads Library) παρέχει τη δυνατότητα πολυνηματικού προγραμματισμού για το λειτουργικό σύστημα Linux. Αποτελεί την πιο ολοκληρωμένη και συμβατή με το πρότυπο POSIX λύση, παρέχοντας καλύτερες επιδόσεις από παλαιότερες βιβλιοθήκες πολυνηματικού προγραμματισμού, όπως η LinuxThreads.

6.4.2 CPU Affinity

Η ικανότητα του χρονοδρομολογητή ενός λειτουργικού συστήματος να δίνει μια διεργασία σε ένα συγκεκριμένο επεξεργαστή ονομάζεται *CPU affinity*. Σε μια τέτοια περίπτωση ο χρήστης έχει τη δυνατότητα να περιορίζει το σύνολο των επεξεργαστών στους οποίους ο χρονοδρομολογητής δρομολογεί τη διεργασία προς εκτέλεση. Το σύνολο αυτό μπορεί να είναι μόνο ένας επεξεργαστής, οπότε η διεργασία θα εκτελείται μόνο στο συγκεκριμένο επεξεργαστή ή μπορεί να είναι ένα υποσύνολο των επεξεργαστών, οπότε η διεργασία θα εκτελείται σε έναν από αυτούς τους επεξεργαστές. Είναι επίσης επιθυμητό για λόγους επίδοσης, στη γενική περίπτωση που ο χρονοδρομολογητής αποφασίζει ελεύθερα την δρομολόγηση, να είναι σε θέση να δρομολογεί μια διεργασία πάντοτε στον ίδιο επεξεργαστή.

Στην περίπτωση του λειτουργικού συστήματος Linux, παρέχεται στο χρήστη η δυνατότητα αυτή μέσω της κλήσης συστήματος *sched_setaffinity*. Η κλήση αυτή δέχεται ως ορίσματα την ταυτότητα *id* της διεργασίας και μια μάσκα *affinity mask* η οποία ορίζει το σύνολο των επεξεργαστών στους οποίους η διεργασία μπορεί να εκτελεστεί. Η μάσκα αυτή είναι ένας ακέραιος αριθμός, όπου το ψηφίο *k* στην δυαδική του αναπαράσταση αντιστοιχεί στον επεξεργαστή *k* του συστήματος. Όταν το ψηφίο είναι 1 τότε η διεργασία επιτρέπεται να εκτελεστεί στον επεξεργαστή και το αντίθετο όταν είναι 0. Για παράδειγμα η μάσκα 1101 επιτρέπει την εκτέλεση μιας διεργασίας σε όλους τους επεξεργαστές πλην του επεξεργαστή 1.

Στην περίπτωση μας, το CPU affinity είναι πολύ σημαντικό, διότι μέσω αυτού ορίζουμε σε ποιους επεξεργαστές θα εκτελεστούν τα νήματα της παράλληλης υλοποίησης του μετροπρογράμματος. Όπως σε κάθε διεργασία, έτσι και σε κάθε νήμα αντιστοιχεί μια ταυτότητα νήματος την οποία μπορούμε να περάσουμε στην *sched_setaffinity* για να ορίσουμε σε ποιους επεξεργαστές επιτρέπεται να εκτελεστεί το νήμα. Στο παράρτημα Β'3.2 παρατίθενται οι βοηθητικές συναρτήσεις που χρησιμοποιούνται για την δήλωση του *cpu affinity* κάθε νήματος.

6.4.3 Μηχανισμοί Συγχρονισμού

Οι πολυνηματικές εκδοχές του μετροπρογράμματος χρησιμοποιούν μηχανισμούς συγχρονισμού για να εξασφαλίσουν την ατομικότητα των τροποποιήσεων στα κοινά δεδομένα, καθώς και για να πετύχουν τον μεταξύ τους συντονισμό στις εργασίες που έχουν να εκτελέσουν. Οι μηχανισμοί αυτοί θα πρέπει να είναι όσο το δυνατόν πιο ελαφροί από άποψη υπολογιστικών πόρων, έτσι ώστε η πολύ συχνή χρήση τους να μην επιβαρύνει σε μεγάλο βαθμό το σύστημα.

Ένας διαδομένος μηχανισμός συγχρονισμού στο χώρο της παράλληλης επεξεργασίας είναι τα *spin locks*. Σ' ένα τέτοιο κλειδωμά ο επεξεργαστής προσπαθεί συνεχώς να αποκτήσει το κλειδωμά, στριφογυρίζοντας γύρω από ένα βρόχο μέχρι να τα καταφέρει. Η χρήση τέτοιων κλειδωμάτων ενδείκνυται σε περιπτώσεις που ο προγραμματιστής περιμένει ότι θα δεσμεύσει το κλειδωμά για ένα μικρό χρονικό διάστημα κι όταν επιθυμεί η διαδικασία κλειδώματος να έχει μικρή καθυστέρηση όταν ένα τέτοιο κλειδωμά είναι διαθέσιμο. Εδώ χρησιμοποιούμε την υλοποίηση των μηχανισμών από τους [1]. Οι μηχανισμοί αυτοί είναι υλοποιημένοι σε συμβολική γλώσσα x86 και λειτουργούν εξ' ολοκλήρου στο χώρο χρήστη *user space* χρησιμοποιώντας κοινές μεταβλητές συγχρονισμού. Όταν οι *spin locks* εκτελεστούν σε επεξεργαστές που υποστηρίζουν τεχνολογία HT, προκαλούν επιβαρύνσεις στην επίδοση, κυρίως λόγω των διαδοχικών εκκενώσεων του αγωγού που προκαλούνται κατά την έξοδο από των βρόχων. Επιπρόσθετα, καταναλώνουν σημαντικούς πόρους, αφού στριφογυρίζουν γρηγορότερα σε σχέση με το χρόνο που χρειάζεται ο διάδρομος της μνήμης για να ενημερώσει την μεταβλητή συγχρονισμού. Αυτοί οι πόροι ουσιαστικά σπαταλιώνται και θα μπορούσαν να χρησιμοποιηθούν από τον άλλο λογικό επεξεργαστή. Γι' αυτό και στην υλοποίησή τους οι [1] ενσωμάτωσαν την εντολή *PAUSE*, όπως προτείνεται και από την Intel. Η εντολή αυτή εισάγει μια μικρή καθυστέρηση στο βρόχο και παγώνει την εκτέλεση του μέσα στον αγωγό, αποτρέποντας τον βρόχο να υπερκαταναλώνει πολύτιμους πόρους.

Με την εισαγωγή της εντολής *PAUSE* ουσιαστικά ο λογικός επεξεργαστής αποδεσμεύει τους πόρους που διαμοιράζονται δυναμικά. Δεν αποδεσμεύει όμως τους στατικά διαχωρισμένους πόρους. Γι' αυτό και στην υλοποίησή εισάγεται και η εντολή *HALT* η οποία όπως αναφέρεται στην ενότητα 5.4 όταν εκτελεστεί από ένα λογικό επεξεργαστή, αποδεσμεύει όλους τους πόρους που ήταν κατειλημμένοι από αυτόν, διαθέτοντας τους στον άλλο λογικό επεξεργαστή. Επειδή όμως η εντολή αυτή αποτελεί εντολή πυρήνα, ο πυρήνας του λειτουργικού συστήματος *Linux* επεκτάθηκε κατάλληλα, για να είναι δυνατή η κλήση της εντολής από το χώρο χρήστη. Με την εντολή *HALT* οι *spin locks* μπορούν να έχουν περισσότερη διάρκεια, χωρίς να σπαταλιώνται οι πόροι του επεξεργαστή. Βέβαια, η μεταγωγή από και προς την κατάσταση ύπνωσης εισάγει χρονική επιβάρυνση, η οποία όμως αντισταθμίζεται από τους πόρους που κερδίζουμε με τη χρήση της *HALT*.

Τέλος, χρησιμοποιώντας τους *spin locks* υλοποιείται μια μορφή *barriers*, η οποία στηρίζεται στο [7]. Οι *barriers* είναι ιδιαίτερα χρήσιμοι για τον συντονισμό των νημάτων και τον έλεγχο ροής του προγράμματος και είναι ο μηχανισμός συγχρονισμού που χρησιμοποιείται στους πολυνηματικούς κώδικες της παρούσας εργασίας.

6.5 Πειραματικά Αποτελέσματα

6.5.1 Περιβάλλον Εκτέλεσης

Οι πειραματικές μετρήσεις έγιναν στο υπολογιστικό σύστημα Xenon¹ το οποίο αποτελείται από επεξεργαστές Intel Xeon DP οι οποίοι διαθέτουν τεχνολογία Hyper-Threading. Η οικογένεια των Intel Xeon βασίζεται στην μικροαρχιτεκτονική Netburst και είναι η πρώτη εμπορική οικογένεια επεξεργαστών που υλοποιεί την αρχιτεκτονική SMT. Στον πίνακα 6.1 παρουσιάζονται ορισμένα βασικά τεχνικά χαρακτηριστικά του επεξεργαστή, ενώ στον πίνακα 6.2 παρουσιάζονται οι αριθμητικές ταυτότητες των λογικών επεξεργαστών του υπολογιστικού συστήματος.

Για την μεταγλώττιση χρησιμοποιήθηκε ο *gcc* (GNU Compiler). Επειδή θέλουμε να μελετήσουμε την καθαρή επίδοση των διαφόρων εκδοχών, αρχικά μεταγλωττίζουμε τους κώδικες χωρίς επιπλέον βελτιστοποίηση (*gcc -O0*) και ακολούθως χρησιμοποιώντας την μέγιστη δυνατή βελτιστοποίηση που παρέχει ο μεταγλωττιστής (*gcc -O2*). Επίσης, σημειώνεται ότι για τη σύνδεση (*linking*) χρησιμοποιήθηκε στατική σύνδεση (*static linking*) η οποία σε σχέση με τη δυναμική σύνδεση (*dynamic linking*) δίνει γρηγορότερο, αλλά μεγαλύτερο κώδικα. Η δυναμική σύνδεση έδωσε γρηγορότερο κώδικα μόνο στην περίπτωση της σειριακής εκδοχής με διατάξεις ενοτήτων.

Για τη λήψη αναλυτικών αποτελεσμάτων που αφορούν τις αστοχίες κρυφής μνήμης χρησιμοποιούνται οι Model Specific Registers (MSRs) του επεξεργαστή, μέσω των οποίων γενικά μπορούμε να πάρουμε πληροφορίες που αφορούν γεγονότα επίδοσης. Για την ανάγνωση των καταχωρητών χρησιμοποιείται η βιβλιοθήκη και ο *module* που ανέπτυξαν οι [1]. Ο λόγος που χρησιμοποιείται ο *module* είναι διότι η εντολή *rdsmr* η οποία διαβάζει το περιεχόμενο ενός MSR μπορεί να εκτελεστεί μόνο από το χρώρο πυρήνα.

Στον πίνακα 6.3 δίνονται οι διάφορες εκδοχές πολυνηματικής παραλληλοποίησης για τις οποίες λήφθηκαν και παρουσιάζονται πειραματικά αποτελέσματα.

6.5.2 Αποτελέσματα

Στα σχήματα 6.4-6.6, σελ.103-105 παρουσιάζονται οι χρόνοι εκτέλεσης των σειριακών και πολυνηματικών εκδοχών του μετροπρογράμματος. Κι εδώ, οι χρόνοι εκτέλεσης για τις εκδοχές που εφαρμόζουν *tiling* αντιστοιχούν στο καλύτερο *tile*. Επίσης, στο σχήμα 6.8, σελ. 107 παρουσιάζονται αναλυτικά το πλήθος των αστοχιών κρυφής μνήμης L1 και L2, που αντιστοιχούν στο καλύτερο *tile*. Τέλος, στο σχήμα 6.7, σελ.106 παρουσιάζονται οι χρόνοι εκτέλεσης της σειριακής και των πολυνηματικών με διατάξεις ενοτήτων εκδοχών του μετροπρογράμματος και στο σχήμα 6.10, σελ.109 παρουσιάζονται οι αστοχίες κρυφής μνήμης L1, συναρτήσει της διάστασης του *tile*, για διάφορα μεγέθη προβλήματος.

Στο σχήμα 6.4 παρατηρούμε ότι η εφαρμογή διατάξεων ενοτήτων επιφέρει μόνο μια μικρή βελτίωση στο χρόνο εκτέλεσης, περίπου 3 – 4%. Αυτό οφείλεται κυρίως στον πολύ καλό μηχανισμό *hardware prefetching* που είναι εφοδιασμένος ο επεξεργαστής Xeon, ο οποίος φέρνει στην κρυφή μνήμη L2 δεδομένα πριν αυτά ζητηθούν. Ο μηχανισμός αυτός φαίνεται ότι βοηθά αρκετά την εκδοχή χωρίς *tiling*, αφού επιτυγχάνει μια επίδοση πολύ κοντά στην βελτιστοποιημένη εκδοχή με *tiling* και διατάξεις ενοτήτων. Επίσης, στην περίπτωση του *tiling*

¹Αποτελεί μέρος του εργαστηρίου CSLAB/ECE/NTUA

Χαρακτηριστικό	Intel Xeon
Συχνότητα Λειτουργίας	2.8GHz
Βάθος Αγωγού	20 στάδια
Δυνατότητα Εκτέλεσης	6 εντολές
Δυνατότητα Παράδοσης (commit)	3 εντολές
Καταχωρητές Μετονομασίας	128
Εντολές σε Εκκρεμότητα	126
Κρυφή Μνήμη I-L1	Διαθέτει Trace Cache
Μέγεθος Trace Cache	Συσχέτισης Συνόλου 8-Δρόμων 12Kυρος
Κρυφή Μνήμη D-L1	Συσχέτισης Συνόλου 8-Δρόμων
Μέγεθος D-L1	16KB
Μέγεθος Γραμμής D-L1	64B
Καθυστέρηση αστοχίας L1	2 κύκλοι
Κρυφή Μνήμη L2	Συσχέτισης Συνόλου 8-Δρόμων
Μέγεθος L2	1MB
Μέγεθος Γραμμής L2	64B
Καθυστέρηση αστοχίας L2	7 κύκλοι
TLB	128 εγγραφών
	Συσχέτισης Συνόλου 4-Δρόμων

Πίνακας 6.1: Τεχνικά χαρακτηριστικά επεξεργαστή Intel Xeon

	Λογικός Επεξεργαστής 0	Λογικός Επεξεργαστής 1
Φυσικός Επεξεργαστής 0	0	2
Φυσικός Επεξεργαστής 1	1	3

Πίνακας 6.2: Ταυτότητες επεξεργαστών στη συστοιχεία Xenon

Διαμέριση	Πλ. Νημάτων	Κατανομή Νημάτων	Κωδική Ονομασία
Κομιά	1	1/φυσικό επεξ.	column_major, tiled_full_hopt, tiled_full_bdl_NN_hopt
Χοντροκομμένη	2	1/φυσικό επεξ.	tiled_full_smp_coarse, tiled_full_bdl_NN_smp_coarse,
Χοντροκομμένη	2	1/λογικό επεξ.	tiled_full_smt_coarse, tiled_full_bdl_NN_smt_coarse,
Λεπτοκομμένη	2	1/λογικό επεξ.	column_major_smt_fine, tiled_full_smt_fine, tiled_full_bdl_NN_smt_fine
Χοντροκομμένη και Λεπτοκομμένη	4	2/φυσικό επεξ. 1/λογικό επεξ.	tiled_full_smt_fine_smp_coarse, tiled_full_bdl_NN_smt_fine _smp_coarse

Πίνακας 6.3: Οι διάφορες εκδοχές πολυνηματικής παραλληλοποίησης για τις οποίες παρουσιάζονται πειραματικά αποτελέσματα

οι μακρύτεροι φωλιασμένοι βρόχοι οδηγούν σε περισσότερες λανθασμένες διακλάδωσεις [3], οι οποίες στην περίπτωση του Xeon είναι αρκετά κρίσιμες, αφού η ποινή των 20 κύκλων² είναι μεγαλύτερη κι από την αστοχία κρυφής μνήμης.

Συγκρίνοντας την επίδοση των πολυνηματικών εκδοχών του μετροπρογράμματος, παρατηρούμε ότι αντίθετα από ότι θα περίμενε κανείς, η χρήση περισσότερων νημάτων δεν επιφέρει την ανάλογη βελτίωση. Στο σχήμα 6.5 παρατηρείται ότι η επίδοση των πολυνηματικών εκδοχών σε δύο λογικούς επεξεργαστές του ίδιου φυσικού επεξεργαστή (ταυτόχρονη πολυνημάτωση - SMT), οι οποίες χρησιμοποιούν είτε χοντροκομμένη διαμέριση εργασίας, είτε λεπτοκομμένη διαμέριση εργασίας είναι ελαφρώς καλύτερη από την επίδοση της σειριακής εκδοχής κατά ένα ποσοστό 4%, η οποία δεν ικανοποιεί τις προσδοκίες μας. Επίσης, η χρησιμοποίηση λεπτοκομμένης διαμέρισης είναι ελαφρώς καλύτερη από την χοντροκομμένη διαμέριση, το οποίο είναι σε συμφωνία με την διαπίστωση του [12]. Αντίθετα, όταν η εκδοχή με χοντροκομμένη διαμέριση εκτελεστεί σε δυο λογικούς επεξεργαστές διαφορετικών φυσικών επεξεργαστών (πολυεπεξεργαστές - SMP), η επίδοση αυξάνεται σημαντικά κατά ένα παράγοντα που φτάνει το 1.85. Επεκτείνοντας παραπέρα σε 4 νήματα, τα οποία ανατίθενται στους 4 λογικούς επεξεργαστές 2 φυσικών επεξεργαστών, η επίδοση δυστυχώς δεν βελτιώνεται. Αυτό συμβαίνει κυρίως λόγω της σύγκρουσης στο μέγεθος tile που ευνοεί την χοντροκομμένη και την λεπτοκομμένη βελτίωση. Με την εισαγωγή βελτιστοποίησης από την πλευρά του μεταγλωττιστή (-O2) επιτυγχάνεται όπως φαίνεται και στο σχήμα 6.6 μια μικρή αύξηση στην επίδοση όλων των εκδοχών, με την διαφορά επίδοσης μεταξύ σειριακής εκδοχής και πολυνηματικών εκδοχών να μειώνεται.

Η ανάθεση των 2 νημάτων στους λογικούς επεξεργαστές ενός φυσικού επεξεργαστή, προκαλεί όπως φαίνεται στο σχήμα 6.8(γ') αύξηση των αστοχιών κρυφής μνήμης L1. Τα 2 νήματα μοιράζονται και ανταγωνίζονται για την κρυφή μνήμη L1 του φυσικού επεξεργα-

²Σε σύγχρονες αρχιτεκτονικές, η ποινή λανθασμένης πρόβλεψης διακλάδωσης είναι ίση με το βάθος του αγωγού.

στή, προκαλώντας αύξηση των αστοχιών λόγω συγκρούσεων. Παρόλα αυτά, η αύξηση των αστοχιών L1 δεν είναι αρκετά μεγάλη για να δικαιολογήσει την χαμηλή βελτίωση επίδοσης. Όπως επιβεβαιώνεται από το σχήμα 6.10 οι αστοχίες L1 μειώνονται για μέγεθος tile 32×32 , το οποίο αποτελεί το μεγαλύτερο μέγεθος tile το οποίο χωρεί στην κρυφή μνήμη χωρίς να προκαλούνται συγκρούσεις μεταξύ στοιχείων του ίδιου tile στην περίπτωση της σειριακής και της λεπτοκομμένης εκδοχής, και συγκρούσεις μεταξύ των δύο tiles στην περίπτωση της χοντροκομμένης εκδοχής.³ Όσον αφορά τις αστοχίες κρυφής μνήμης L2, όπως φαίνεται στο σχήμα 6.8(δ') στην περίπτωση της πολυνηματικής εκδοχής με χοντροκομμένη διαμέριση οι αστοχίες παρουσιάζουν μια ελαφριά αύξηση σε σχέση με την σειριακή εκδοχή, ενώ στην περίπτωση πολυνηματικής εκδοχής με λεπτοκομμένη διαμέριση οι αστοχίες παρουσιάζουν μια ελαφριά πτώση. Με την εισαγωγή βελτιστοποίησης από την πλευρά του μεταγλωττιστή (-O2), όπως φαίνεται στο σχήμα 6.9 δεν υπάρχει ουσιαστική βελτιστοποίηση τόσο στο πλήθος των αστοχιών L1, όσο και στο πλήθος αστοχιών L2.

Οι αστοχίες κρυφής μνήμης πιθανόν κρύβονται από την ύπαρξη των 2 νημάτων, και επομένως η μικρή αύξηση τους δεν τις καθιστά υπεύθυνες για την μειωμένη απόδοση των πολυνηματικών εκδοχών του μετροπρογράμματος. Κυρίως, η μειωμένη απόδοση αποδίδεται στο κόστος συγχρονισμού σε συνδυασμό με την διαμέριση των υπολογιστικών πόρων του επεξεργαστή και τη σύγκρουση των 2 νημάτων μέσα στους υπολογιστικούς πόρους.

Φαίνεται λοιπόν ότι η υιοθέτηση τεχνικών από το χώρο της παράλληλης επεξεργασίας σε συστήματα πολυεπεξεργαστών για τη διαμέριση του φορτίου και του υπολογισμού σε κώδικες που περιέχουν μεγάλο όγκο υπολογισμών του ίδιου τύπου (compute intensive applications) στην περίπτωση αρχιτεκτονικών SMT, δεν αποτελεί και την καταλληλότερη λύση. Η παραλληλοποίηση/πολυνημάτωση όπως έγινε χώρισε την εργασία σε δύο όμοια νήματα τα οποία έχουν τις ίδιες ανάγκες σε ποσότητα και τύπο υπολογιστικών πόρων. Η ταυτόχρονη πολυνημάτωση στηρίζεται στο ότι κάποιοι υπολογιστικοί πόροι που μένουν ανεχμετάλλευτοι λόγω έλλειψης ILP μπορούν να ικανοποιηθούν με την εύρεση εντολών από άλλα νήματα. Στην περίπτωσή μας όμως οι ανεχμετάλλευτοι πόροι που μένουν από το ένα νήμα δεν είναι αυτοί που χρειάζεται το άλλο νήμα, αφού και τα δύο ζητούν τους ίδιους τύπους πόρων.

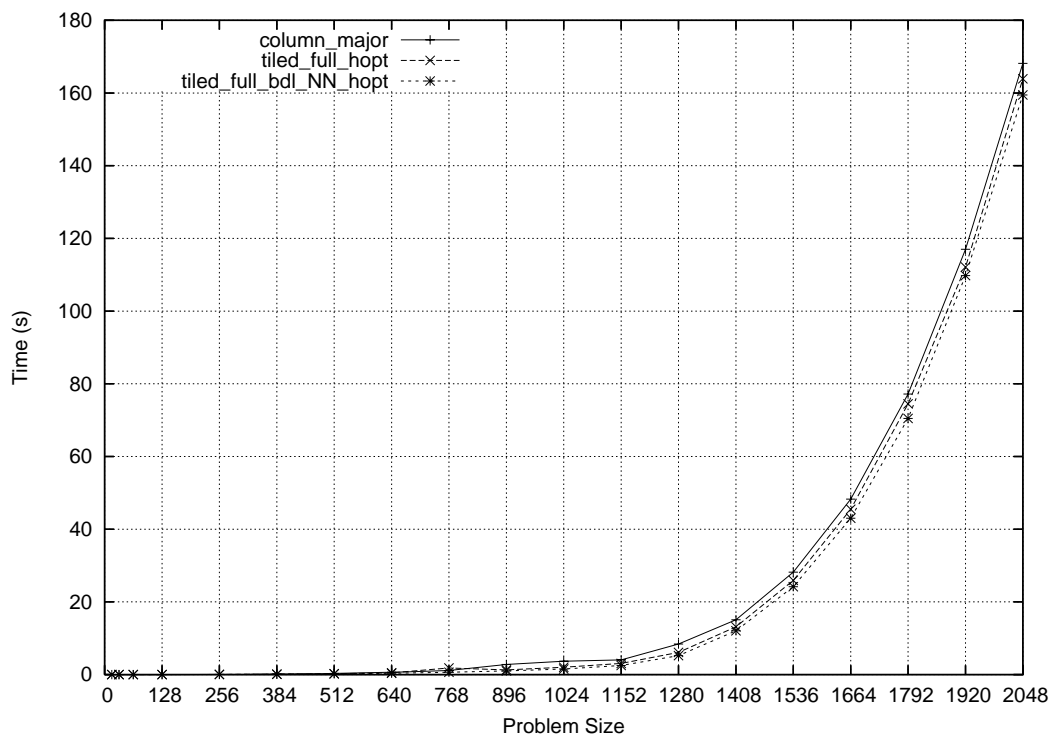
6.6 Συμπεράσματα

Συμπεραίνουμε ότι υπάρχει μια αδυναμία της τεχνολογίας Hyper-Threading και γενικότερα της αρχιτεκτονικής SMT να πετύχει υψηλή επίδοση σε πολυνηματικά παράλληλα προγράμματα με μεγάλα υπολογιστικά φορτία. Τα νήματα ενός παράλληλου προγράμματος έχοντας όμοια χαρακτηριστικά, τείνουν να ανταγωνίζονται τους ίδιους υπολογιστικούς πόρους της αρχιτεκτονικής SMT, καθιστώντας μ' αυτό τον τρόπο κάποιο πόρο σημείο συμφόρησης. Αυτό το φαινόμενο είναι ακόμη οξύτερο στην περίπτωση της τεχνολογίας Hyper-Threading η οποία εφαρμόζει στατική διαμέριση ορισμένων πόρων. Η αρχιτεκτονική SMT στην πράξη παρουσιάζει καλά αποτελέσματα σε ετερογενή φορτία [17], όπου η ανομοιογένεια των εντολών δείνει τη δυνατότητα στην SMT να μετατρέψει την παραλληλία επιπέδου νήματος σε παραλληλία επιπέδου εντολών.

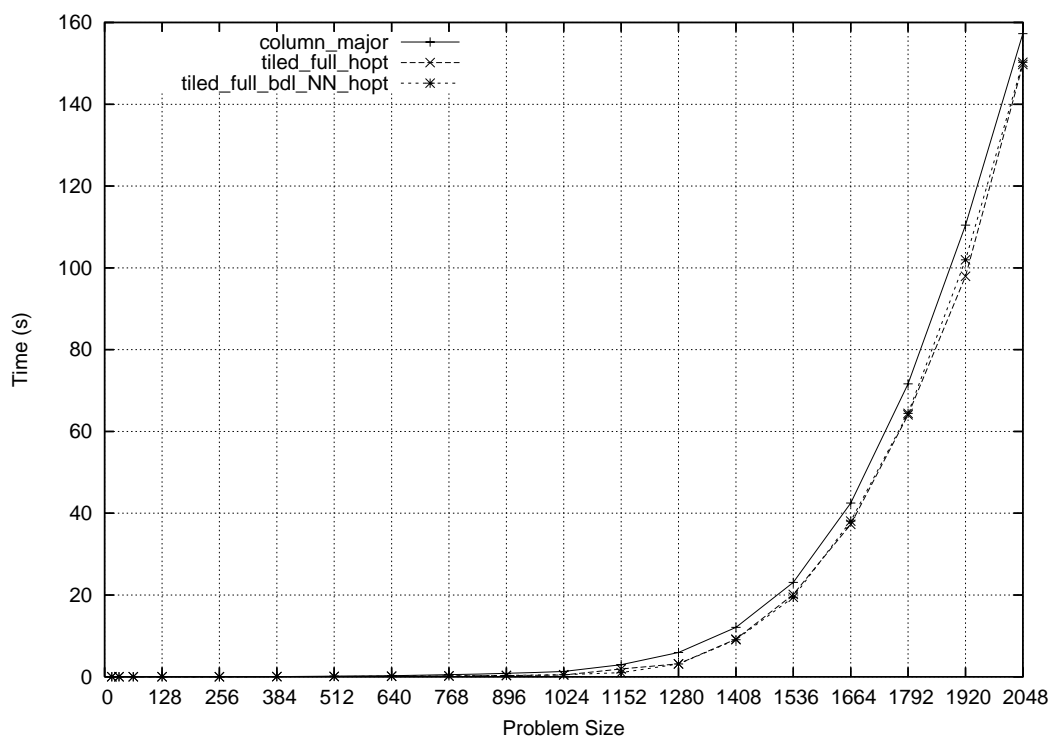
³ Παρόλα αυτά κάποιες συγκρούσεις στην περίπτωση της πολυνηματικής εκδοχής με χοντροκομμένη διαμέριση υπάρχουν, διότι όπως έγινε η στατική διαμέριση του φορτίου μπορεί να υπάρξουν περιπτώσεις που τα δύο tiles αποθηκεύονται στις ίδιες θέσεις μέσα στην κρυφή μνήμη.

Τα βελτιστοποιημένα προγράμματα παρουσιάζουν υψηλή παραλληλία σε επίπεδο εντολής (ILP) η οποία ικανοποιεί σε μεγάλο βαθμό τις ανάγκες ενός υπερβαθμωτού επεξεργαστή, επιτυγχάνοντας κατ' αυτόν τον τρόπο υψηλή επίδοση. Η παραλληλοποίηση τέτοιων προγραμμάτων σε πολλαπλά νήματα και η εκτέλεση τους σε περιβάλλον αρχιτεκτονικής SMT δεν επιφέρει σημαντική βελτίωση, αφού τα νήματα που προκύπτουν παρουσιάζουν υψηλή ILP η οποία καταναλώνει τους ίδιους υπολογιστικούς πόρους, αφήνοντας ελάχιστα περιθώρια στην SMT να εκμεταλλευτεί την ύπαρξη πολλαπλών νημάτων. Έτσι, η παραλληλία που παρουσιάζει ένας SMT επεξεργαστής σ' αυτή την περίπτωση δεν είναι μεγαλύτερη από αυτήν που παρουσιάζει ένας υπερβαθμωτός επεξεργαστής. Επίσης, η αυξημένη τοπικότητα των δεδομένων η οποία χαρακτηρίζει τα βελτιστοποιημένα προγράμματα (μικρός αριθμός αστοχιών L1) δεν ωφελεί σε μεγάλο βαθμό τις πολυνηματικές εκδοχές, αφού η SMT μπορεί να κρύψει ένα μεγάλο αριθμό από αστοχίες L1.

Επομένως, η άμεση εφαρμογή των τεχνικών που χρησιμοποιούνται για αύξηση της ILP και της τοπικότητας των δεδομένων στους τυπικούς υπερβαθμωτούς, επεξεργαστές, όπως είναι το tiling με διατάξεις ενοτήτων και δεικτοδότηση MBALt, δεν επιφέρει θεαματικά αποτελέσματα σε επεξεργαστές αρχιτεκτονικής τύπου SMT, οι οποίοι οφελούνται από προγράμματα με χαμηλό ILP και απλούς κώδικες εκτέλεσης. Η εφαρμογή μεθόδων παράλληλης πολυνημάτωσης, οι οποίες θα στηρίζονται σε νήματα με μη όμοια χαρακτηριστικά και ανάγκες σε διαφορετικούς τύπους υπολογιστικών πόρων, θα δίνει περισσότερες ευκαιρίες στους επεξεργαστές SMT για μετατροπή της TLP σε ILP.

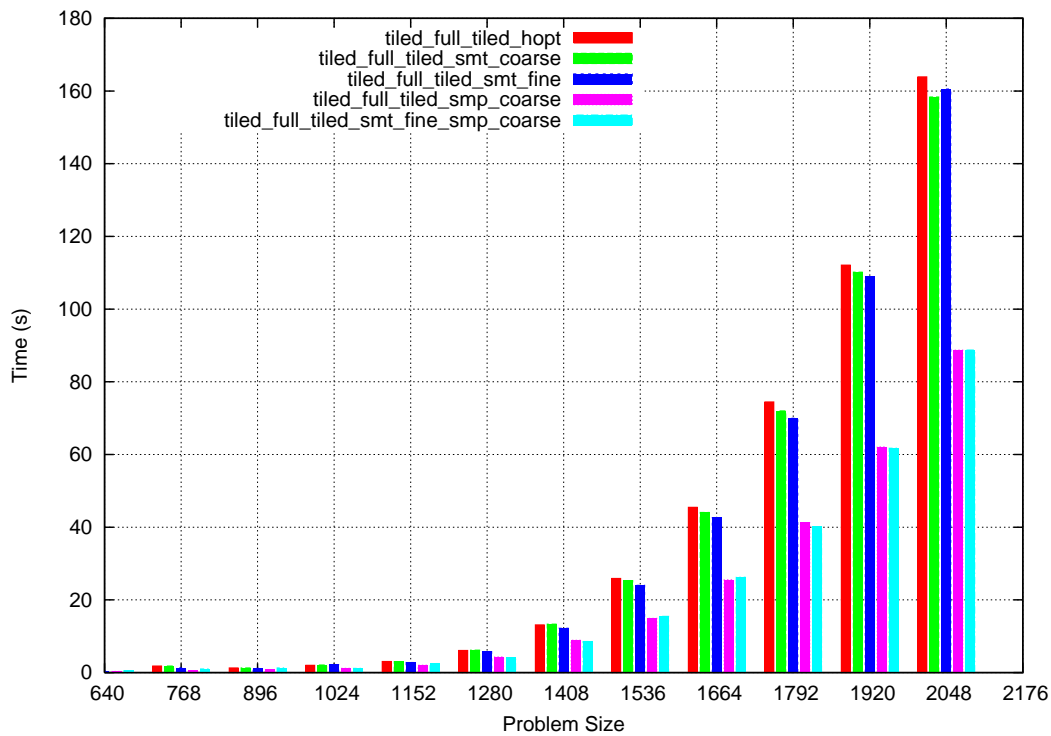


(α) gcc -O0

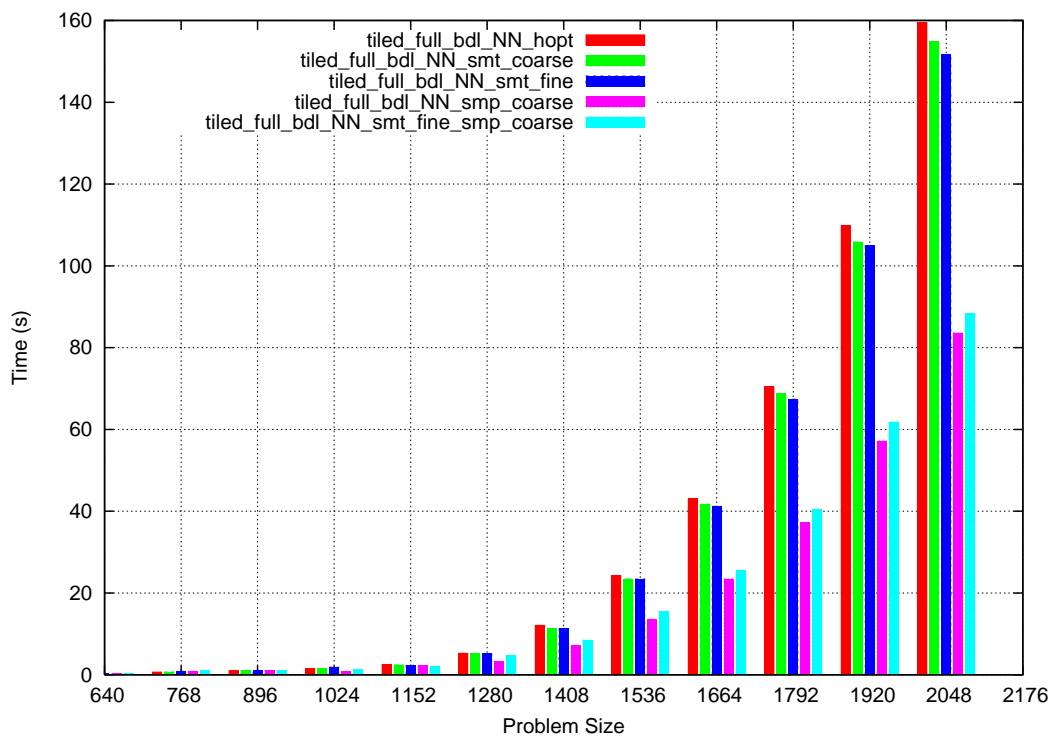


(β) gcc -O2

Σχήμα 6.4: Χρόνος Εκτέλεσης στον Xeon (Σειριακές Εκδοχές)

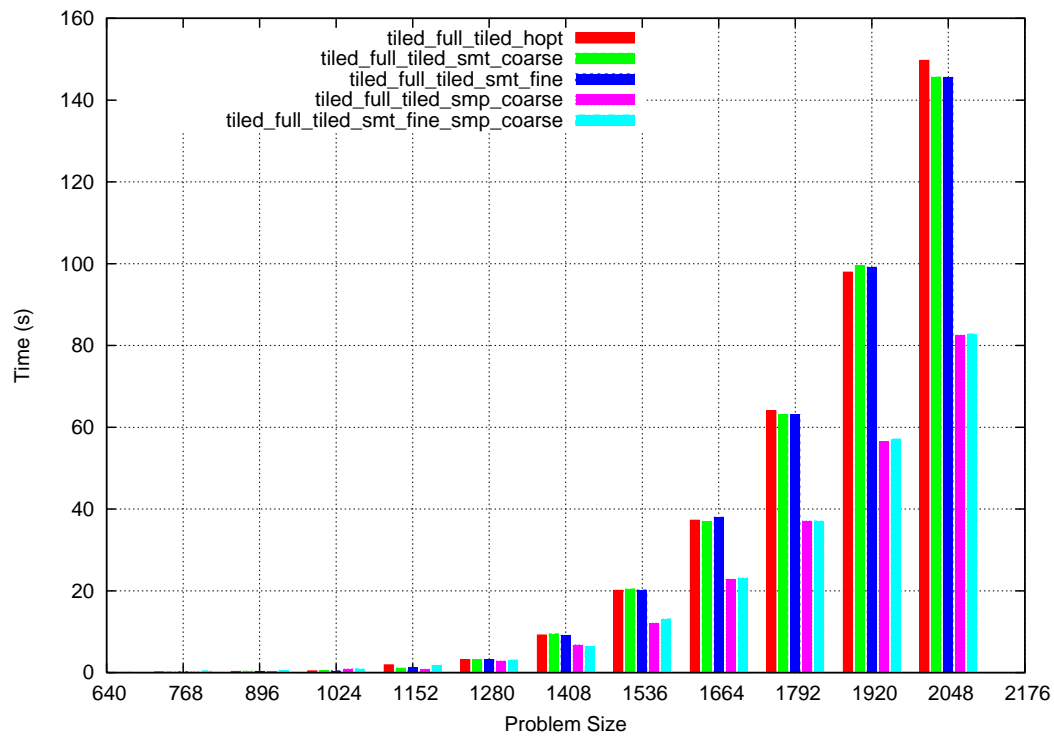


(α') Tiling σε όλες τις διαστάσεις με γραμμικές διατάξεις

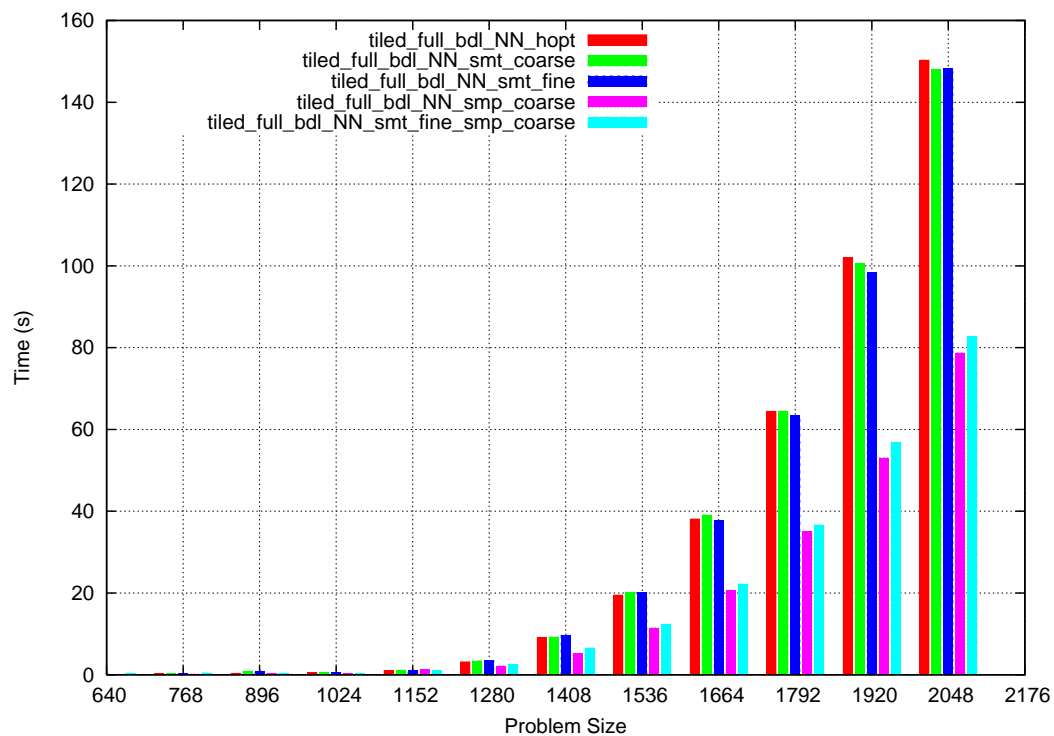


(β') Tiling σε όλες τις διαστάσεις με διατάξεις ενότητων MBaLt

Σχήμα 6.5: Χρόνος Εκτέλεσης στον Xeon, -OO (Πολυνηματικές Εκδοχές)

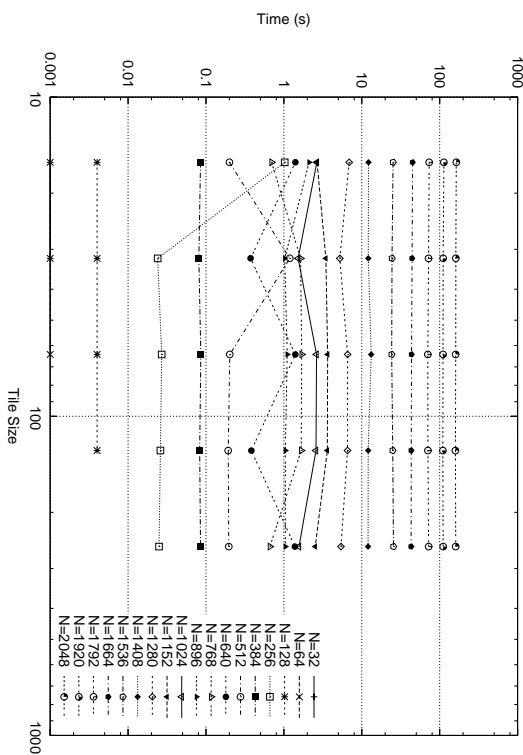


(α') Tiling σε όλες τις διαστάσεις με γραμμικές διατάξεις

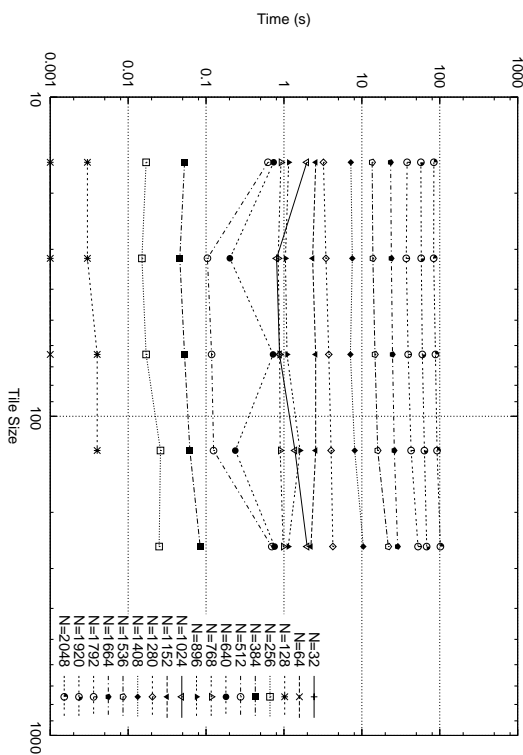


(β') Tiling σε όλες τις διαστάσεις με διατάξεις ενότητας MBaLt

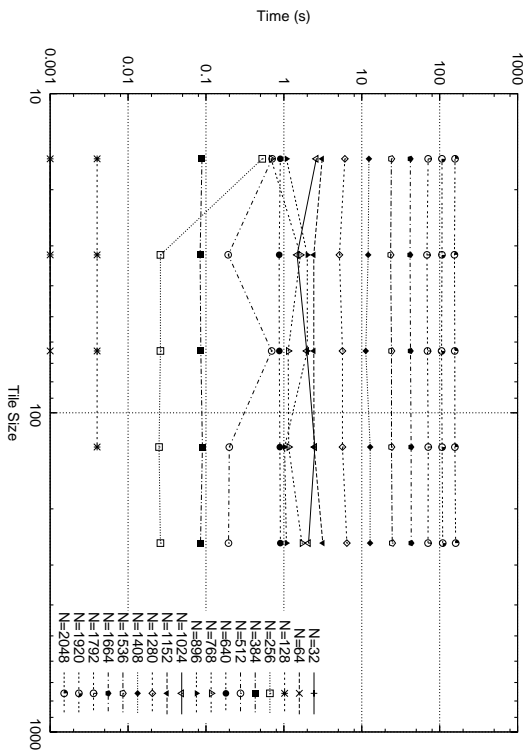
Σχήμα 6.6: Χρόνος Εκτέλεσης στον Xeon, -O2 (Πολυνηματικές Εκδοχές)



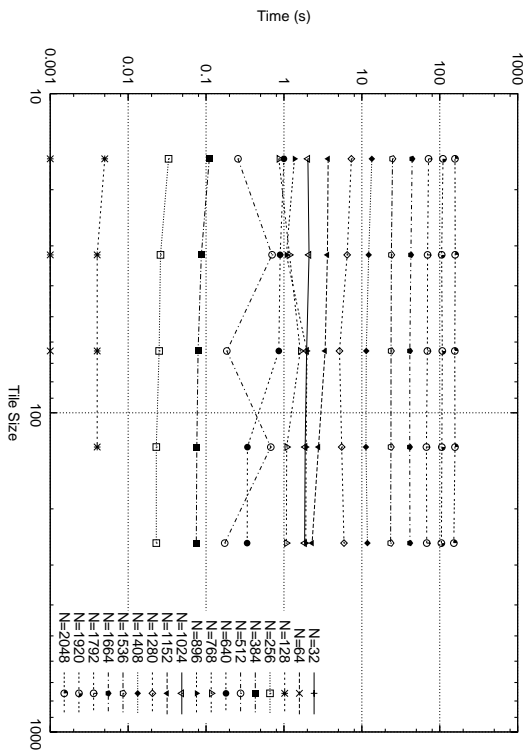
(α') tiled_full_bdl_NN_hopt



(β') tiled_full_bdl_NN_smp_coarse

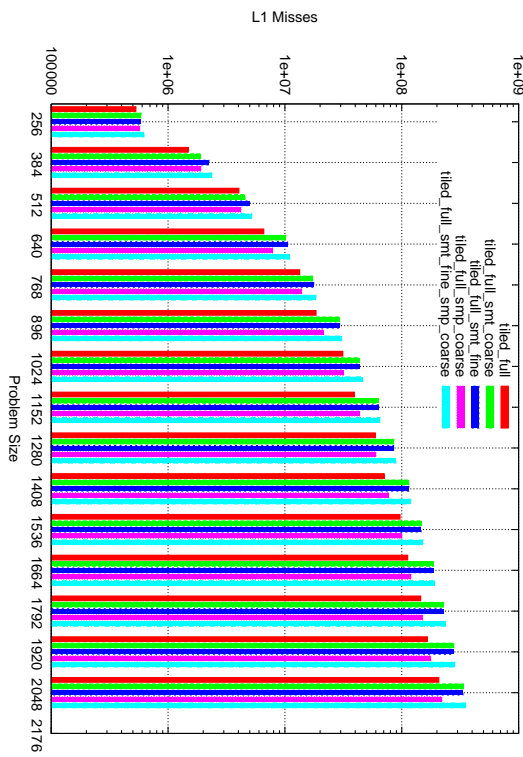


(γ') tiled_full_bdl_NN_smt_coarse

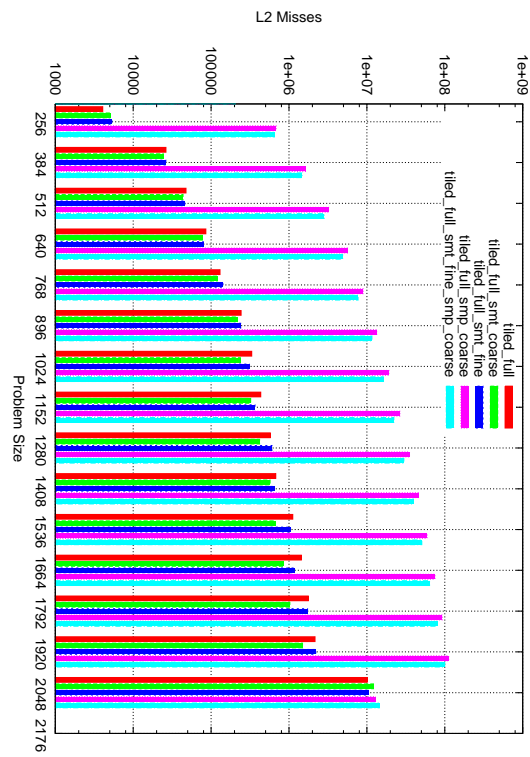


(δ') tiled_full_bdl_NN_smt_fine

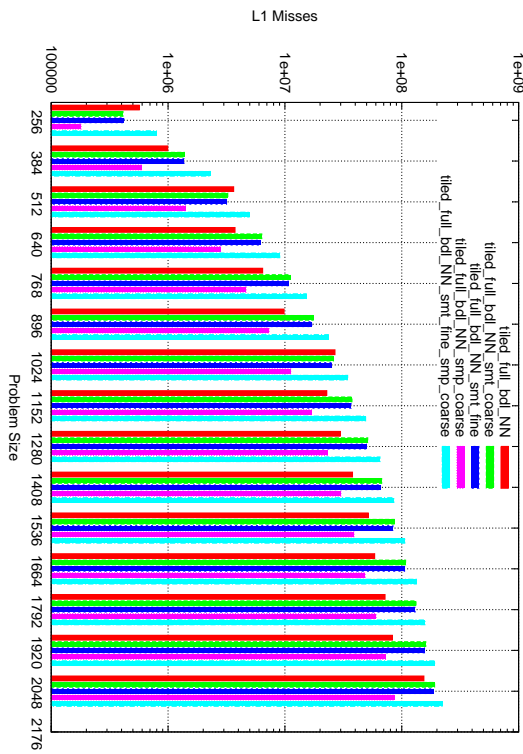
Σχήμα 6.7: Χρόνος Εκτέλεσης συναρτήσεων Μεγέθους Tile στον Xeon, -O0



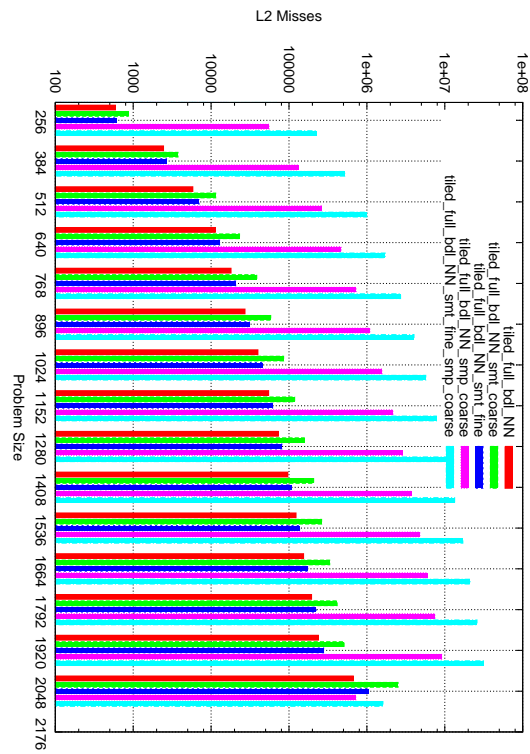
(α') Κρυφή μνήμη L1



(β') Κρυφή μνήμη L2

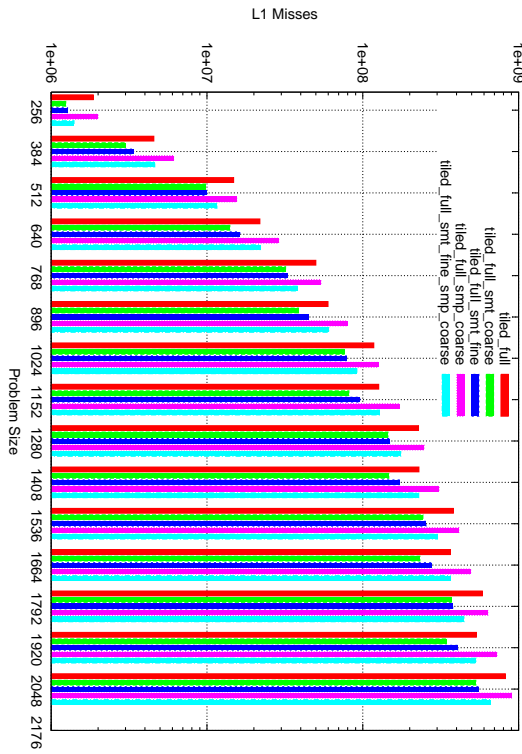


(γ') Κρυφή μνήμη L1

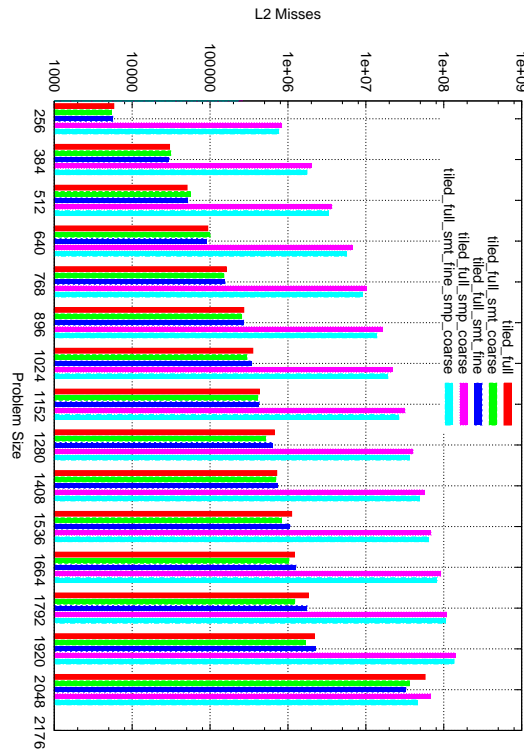


(δ') Κρυφή μνήμη L2

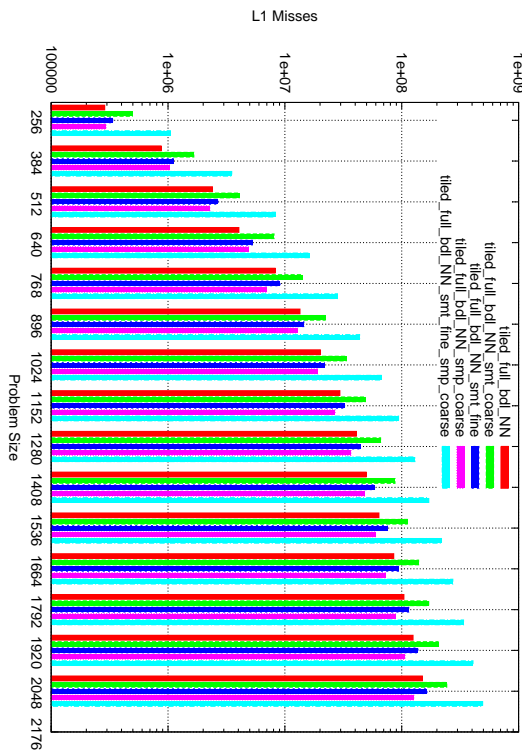
Σχήμα 6.8: Αστοχίες κρυφής μνήμης Xeon, gcc -O0



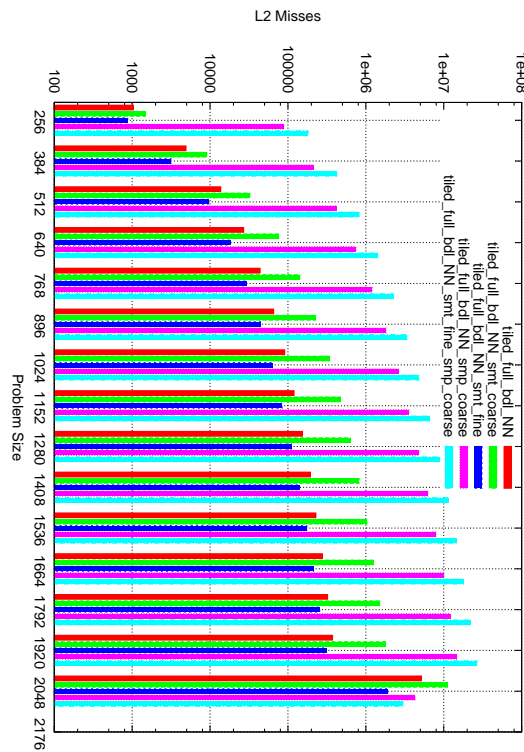
(α') Κρυφή μνήμη L1



(β') Κρυφή μνήμη L2

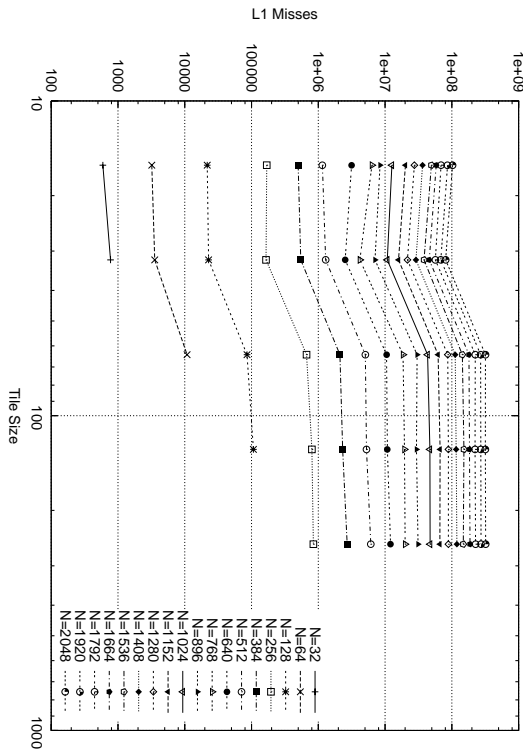


(γ') Κρυφή μνήμη L1

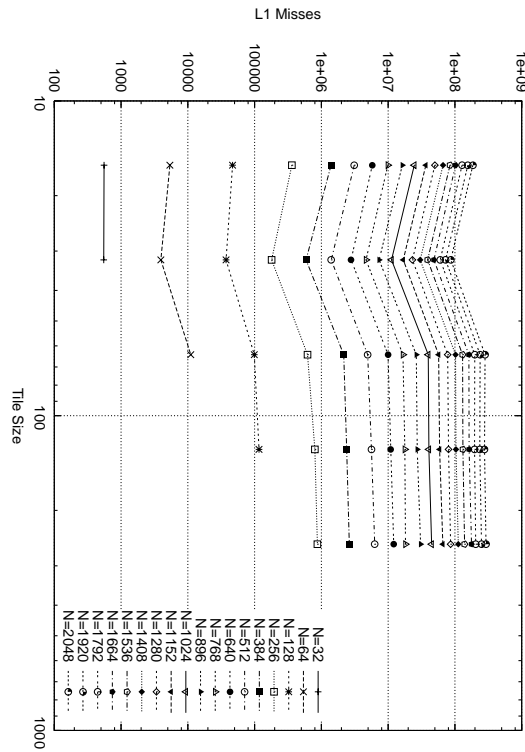


(δ') Κρυφή μνήμη L2

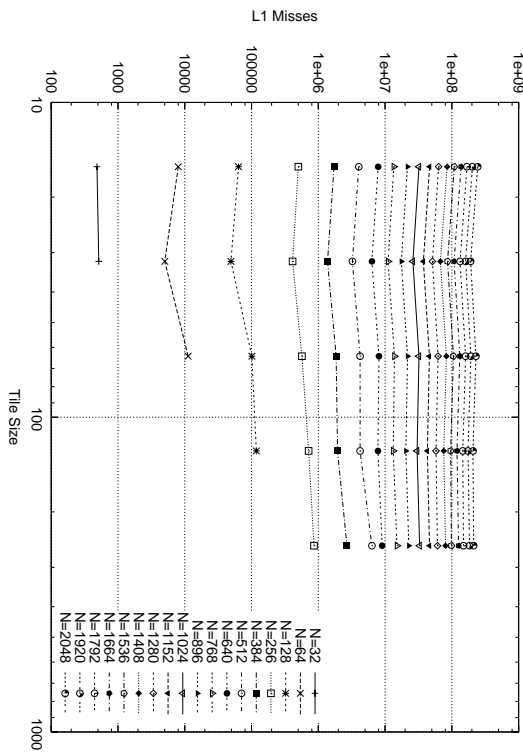
Σχήμα 6.9: Αστοχίες κρυφής μνήμης Xeon, gcc -O2



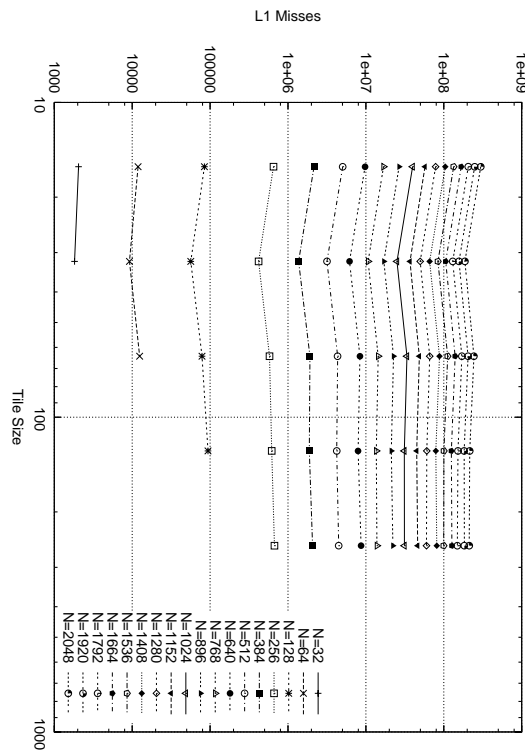
(α) tiled_full_bdl_NN_hopt



(β) tiled_full_bdl_NN_smp_coarse



(γ) tiled_full_bdl_NN_smt_coarse



(δ) tiled_full_bdl_NN_smt_fine

Σχήμα 6.10: Αστοχίες κρυφής μνήμης L1 συναρτήσει μεγέθους Tile στον Xeon, -O0

Παράρτημα Α΄

Συμπληρωματικά Θέματα

Α΄.1 Ένα Απλό Μοντέλο Εκτίμησης Κόστους Εκτέλεσης Φωλιασμένων Βρόχων

Α΄.1.1 Γενικά

Στο [14] χρησιμοποιείται ένα αποδοτικό, αλλά κι απλό, μοντέλο για την εκτίμηση του κόστους εκτέλεσης των βρόχων και με την εφαρμογή διαφόρων μετασχηματισμών, βρίσκεται η δομή των βρόχων που χρειάζεται το λιγότερο χρόνο εκτέλεσης.

Το μέτρο εκτίμησης της τοπικότητας είναι το πλήθος των ενοτήτων της κρυφής μνήμης που προσπελάνει ένα σύστημα φωλιασμένων βρόχων. Ελαχιστοποιώντας τον αριθμό των φορών που μια ενότητα πρέπει να μεταφερθεί από την κύρια μνήμη προς την κρυφή μνήμη, ελαχιστοποιούνται οι προσπελάσεις στην κύρια μνήμη κι άρα αυξάνεται η τοπικότητα.

Το μοντέλο κάνει τις ακόλουθες υποθέσεις:

- Επικεντρώνεται στην επαναχρησιμοποίηση που εμφανίζεται μεταξύ μικρού αριθμού επαναλήψεων του εσωτερικότερου βρόχου.
- Δεν υπάρχουν αποτυχίες κρυφής μνήμης λόγω χωρητικότητας σε μια επανάληψη του εσωτερικότερου βρόχου [10].
- Χωρίς βλάβη της γενικότητας θεωρείται ότι οι πίνακες αποθηκεύονται κατά γραμμές, όπως συμβαίνει με τη γλώσσα C/C++¹.

Α΄.1.2 Ομάδες Αναφορών

Αρχικά εντοπίζονται ποιες αναφορές ανήκουν στην ίδια ομάδα αναφορών (reference group). Δύο αναφορές ανήκουν στην ίδια ομάδα, αν παρουσιάζουν ομαδο-χρονική ή ομαδο-χωρική επαναχρησιμοποίηση.

¹Το μοντέλο όπως προτείνεται από το [14] ακολουθεί τη σύμβαση της Fortran η οποία αποθηκεύει τους πίνακες κατά στήλες. Εδώ παρουσιάζεται ελαφρώς τροποποιημένο για να ακολουθεί το μοντέλο της C/C++.

Ορισμός Α'.1 Δύο αναφορές Ref_1 και Ref_2 ανήκουν στην ίδια ομάδα αναφορών ως προς τον βρόχο l εάν:

1. $\exists Ref_1 \vec{\delta} Ref_2$, και
 - (α) $\vec{\delta}$ είναι εξάρτηση ανεξάρτητη βρόχου, ή
 - (β) d_l είναι μια μικρή σταθερά d ($|d| \leq 2$) και όλες οι άλλες συνιστώσες του $\vec{\delta}$ είναι μηδέν.
2. ή, Ref_1 και Ref_2 αναφέρονται στον ίδιο πίνακα και διαφέρουν το πολύ d' στην τελευταία συνιστώσα, όπου το d' είναι μικρότερο ή ίσο με την ενότητα κρυφής μνήμης, μετρώντας στοιχεία πίνακα. Κι όλες οι άλλες συνιστώσες ταυτίζονται.

Η πρώτη συνθήκη αναφέρεται στην ομαδο-χρονική επαναχρησιμοποίηση, και η δεύτερη στην ομαδο-χωρική επαναχρησιμοποίηση. Μια αναφορά ανήκει μόνο σε μία ομάδα αναφορών, αφού ο παραπάνω ορισμός τοποθετεί μια αναφορά σε μια ομάδα, αν ικανοποιεί την πρώτη ή την δεύτερη συνθήκη με κάποια άλλη αναφορά μιας ομάδας.

Παράδειγμα Έστω ο ακόλουθος κώδικας:

```
for (k=2; k<=N-1; k++)
  for (j=2; j<=N-1; j++)
    for (i=2; i<=N-1; i++)
      A[i][j][k]=A[i][j+1][k+1]+B[i][j][k]
      +B[i][j+1][k]+B[i][j][k+1];
```

Εφαρμόζοντας τον ορισμό βρίσκουμε τις ακόλουθες ομάδες αναφορών:

βρόχος j	βρόχος i & k
$\{A[i][j][k]\}$	$\{A[i][j][k]\}$
$\{A[i][j+1][k+1]\}$	$\{A[i][j+1][k+1]\}$
$\{B[i][j][k], B[i][j+1][k], B[i][j][k+1]\}$	$\{B[i][j][k], B[i][j][k+1]\}$
	$\{B[i][j+1][k]\}$

Για παράδειγμα, οι αναφορές $B[i][j][k]$ και $B[i][j+1][k]$ διαφέρουν κατά 1 στη δεύτερη συνιστώσα, κι άρα βάση της συνθήκης 1(α) ανήκουν στην ίδια ομάδα ως προς το βρόχο j . Επίσης, η αναφορά $B[i][j][k+1]$ διαφέρει από την $B[i][j][k]$ κατά 1 στην τελευταία συνιστώσα και επομένως βάσει της συνθήκης 2 ανήκει στην ίδια ομάδα αναφορών. Οι υπόλοιπες ομάδες αναφορών παράγονται με παρόμοιο τρόπο.

Α'.1.3 Κόστος Βρόχου

Αλγόριθμος Α'.1 Αλγόριθμος για την εύρεση κόστους εκτέλεσης ενός βρόχου, σε σύστημα φωλιασμένων βρόχων

Είσοδος:

$L = l_1, \dots, l_n$ φωλιασμένοι βρόχοι με όρια lb_i, ub_i και βήμα $step_i$

$R = Ref_1, \dots, Ref_m$ αναφορές που αντιπροσωπεύουν κάθε ομάδα

$$\begin{aligned}
 & \text{αναφορών} \\
 \text{trip}_l &= (\text{ubl} - \text{lbl} + \text{step}_l) / \text{step}_l \\
 \text{cls} &= \text{το μέγεθος της ενότητας μνήμης σε στοιχεία} \\
 \text{coef}(f, i_l) &= \text{ο συντελεστής της μεταβλητής ελέγχου } i_l \text{ στη συνιστώσα } f \\
 \text{stride}(f_j, i_l, l) &= |\text{step}_l \times \text{coef}(f_j, i_l)|
 \end{aligned}$$

Έξοδος:

$$\text{LoopCost}(l) = \text{το πλήθος των ενοτήτων κρυφής μνήμης που προσπελάνονται, όταν ο } l \text{ αποτελεί τον εσωτερικότερο βρόχο}$$

$$\begin{aligned}
 \text{LoopCost}(l) &= \sum_{k=1}^m (\text{RefCost}(\text{Ref}_k(f_1(i_1, \dots, i_n), \dots, f_j(i_1, \dots, i_n)), l)) \prod_{h \neq l} \text{trip}_h \\
 \text{Refcost}(\text{Ref}_k, l) &= \begin{cases} 1 & \text{if}((\text{coef}(f_1, i_1) = 0) \wedge \dots \wedge \\ & (\text{coef}(f_j, i_l) = 0)) \\ \frac{\text{trip}_l}{(\frac{\text{cls}}{\text{stride}(f_1, i_1, l)})} & \text{if}((\text{stride}(f_j, i_l, l) < \text{cls}) \wedge (\text{coef}(f_2, i_1) = 0 \\ & \wedge \dots \wedge \\ & (\text{coef}(f_j, i_l) = 0)) \\ \text{trip}_l & \text{αλλιώς} \end{cases}
 \end{aligned}$$

Ο αλγόριθμος A'.1 εφαρμόζεται αφού βρεθούν οι διάφορες ομάδες αναφορών. Για την εύρεση του κόστους σε ενότητες κρυφής μνήμης μιας ομάδας αναφορών, επιλέγουμε τυχαία μια αναφορά με το μεγαλύτερο βάθος από κάθε ομάδα αναφορών. Κάθε βρόχος l με trip επαναλήψεις, θεωρείται ως υποψήφιος για ως ο εσωτερικότερος βρόχος στο σύστημα φωλιασμένων βρόχων. Το cls είναι το μέγεθος της ενότητας κρυφής μνήμης και το stride είναι το βήμα του βρόχου l πολλαπλασιασμένο με το συντελεστή της μεταβλητής ελέγχου.

Η RefCost υπολογίζει την τοπικότητα για τον βρόχο l , δηλαδή το πλήθος ενοτήτων κρυφής μνήμης που ο l χρησιμοποιεί: 1 για αναφορές ανεξάρτητες βρόχου, $\text{trip}/(\text{cls}/\text{stride})$ για συνεχόμενες αναφορές και trip για μη συνεχόμενες αναφορές. Ακολούθως η LoopCost υπολογίζει το συνολικό πλήθος ενοτήτων που προσπελάνονται από όλες τις αναφορές όταν ο βρόχος l αποτελεί τον εσωτερικότερο βρόχο.

Παράδειγμα Έστω ο ακόλουθος κώδικας ο οποίος εκτελεί τον πολλαπλασιασμό δυο πινάκων:

```

for (i=0; i<N; i++)
  for (j=0; j<N; j++)
    for (k=0; k<N; k++)
      C[i][j]=A[i][k]*B[k][j];

```

Εφαρμόζοντας τον αλγόριθμο A'.1 βρίσκουμε τα ακόλουθα κόστη:

Ομάδες	βρόχος i	βρόχος j	k
$C[i][j]$	$n \times n^2$	$\frac{n}{cls} \times n^2$	$1 \times n^2$
$A[i][k]$	$n \times n^2$	$1 \times n^2$	$\frac{n}{cls} \times n^2$
$B[k][j]$	$1 \times n^2$	$\frac{n}{cls} \times n^2$	$n \times n^2$
Συνολικό	$2n^3 + n^2$	$\frac{2}{cls}n^3 + n^2$	$\frac{1+cls}{cls}n^3 + n^2$

Για παράδειγμα, η *RefCost* βρίσκει ως προς τον βρόχο j την αυτο-χωρική επαναχρησιμοποίηση των αναφορών $C[i][j]$ και $B[k][j]$ και αναθέτει σε κάθε αναφορά κόστος ίσο με *fracncls* ενότητες κρυφής μνήμης. Η $A[i][k]$ είναι ανεξάρτητη από τον βρόχο j και επομένως έχει κόστος 1. Η *LoopCost* λοιπόν για τον βρόχο i όταν αυτός είναι ο εσωτερικότερος, έχει συνολικό κόστος $\frac{2}{cls}n^3 + n^2$ για n^2 επαναλήψεις των βρόχων i και k .

Α'.1.4 Εύρεση της Βέλτιστης Δομής

Στο [10] παρουσιάζεται αναλυτικά ένας ευριστικός αλγόριθμος, ο οποίος στηριζόμενος στην παραπάνω εκτίμηση κόστους εφαρμόζει τους κατάλληλους μετασχηματισμούς βρόχων που οδηγούν στην βέλτιστη δομή βρόχων. Εδώ, θα παρουσιάσουμε περιληπτικά τη λειτουργία του αλγορίθμου αυτού.

Μετάθεση Βρόχων

Λήμμα Α'.1 *Εάν ο βρόχος l εκμεταλλεύεται περισσότερη επαναχρησιμοποίηση από τον βρόχο l' όταν και οι δυο λαμβάνονται υπόψιν ως εσωτερικότεροι βρόχοι, τότε είναι πολύ πιθανόν ο l να εκμεταλλεύεται περισσότερη επαναχρησιμοποίηση από τον l' και σε οποιαδήποτε άλλη εξωτερικότερη θέση.*

Ορισμός Α'.2 *Η διάταξη βρόχων (i_1, i_2, \dots, i_n) για την οποία ισχύει $LoopCost(i_{k-1}) \geq LoopCost(i_k)$ ονομάζεται διάταξη φθίνουσας μνήμης (memory order).*

Για την εύρεση της βέλτιστης διάταξης βρόχων, ο αλγόριθμος που προτείνεται στο [14], για ένα σύνολο βρόχων $\{l_1, l_2, \dots, l_n\}$ με διάταξη φθίνουσας μνήμης $L = (l_{s_1}, l_{s_2}, \dots, l_{s_n})$, τοποθετεί ως εξωτερικότερο βρόχο τον ακριβότερο βρόχο l_{s_k} που βρίσκει ότι είναι έγκυρο (δηλαδή οι εξαρτήσεις παραμένουν λεξικογραφικά θετικές) να τοποθετηθεί εκεί. Ακολούθως βρίσκει τον επόμενο ακριβότερο βρόχο που επιτρέπεται να τοποθετηθεί σε βάθος 2, κ.ο.κ.

Θεώρημα Α'.1 *Εάν υπάρχει έγκυρη μετάθεση όπου ο βρόχος i_{s_n} αποτελεί τον εσωτερικότερο βρόχο, τότε ο αλγόριθμος θα βρει αυτή την μετάθεση.*

Αναστροφή Βρόχου Η αναστροφή βρόχου εφαρμόζεται από την μετάθεση βρόχων, όταν κάποιος βρόχος λόγω εγκυρότητας δεν μπορεί να τοποθετηθεί σε μια επιθυμητή θέση.

Συγχώνευση Βρόχων

Ορισμός Α'.3 *Δύο βρόχοι είναι συμβατοί εάν οι βρόχοι εκτελούν τον ίδιο αριθμό επαναλήψεων. Δύο συστήματα φωλιασμένων βρόχων είναι συμβατά σε βάθος d αν οι βρόχοι σε βάθος 1 ως d είναι συμβατοί, και είναι τελείως φωλιασμένοι μέχρι βάθος d .*

Δύο συστήματα φωλιασμένων βρόχων μπορούν να συγχωνευθούν αν είναι συμβατά. Για την εκτίμηση του κατά πόσο η συγχώνευση είναι επικερδής αρχικά υπολογίζονται τα *RefCost* και *LoopCost* κάθε συστήματος ξεχωριστά, και ακολούθως υπολογίζονται για τις συγχωνευμένες εκδόσεις των συστημάτων. Εάν το *LoopCost* της φωλιασμένης έκδοσης είναι μικρότερο από το *LoopCost* των αρχικών εκδόσεων, τότε η εφαρμογή της συγχώνευσης αυξάνει την τοπικότητα κι άρα είναι επιθυμητή. Πρέπει βέβαια η συγχώνευση να ελέγχεται για την νομιμότητα της.

Σύνθεση Μετασχηματισμών Τελικός σκοπός είναι να επιτευχθεί διάταξη φθίνουσας μνήμης για όσο το δυνατό περισσότερες εντολές. Έτσι, ο ευριστικός αλγόριθμος αρχικά βελτιστοποιεί κάθε σύστημα φωλιασμένων βρόχων ξεχωριστά κι ακολούθως εφαρμόζει συγχώνευση αν αυτό είναι επικερδές. Για την βελτιστοποίηση κάθε επιμέρους συστήματος, ο αλγόριθμος εφαρμόζει μετάθεση για να πετύχει διάταξη φθίνουσας μνήμης. Αν δεν επιτυγχάνεται η βέλτιστη διάταξη λόγω παραβίασης της νομιμότητας, τότε εφαρμόζεται συγχώνευση η οποία μπορεί να νομιμοποιήσει την βέλτιστη διάταξη. Αν η συγχώνευση δεν επιτυγχάνει την νομιμοποίηση, τότε μπορεί να εφαρμοστεί η διάσπαση βρόχων.

Παράρτημα Β΄

Πηγαίος Κώδικας

Β΄.1 Πηγαίος Κώδικας Μετροπρογράμματος Cholesky

```
1  /* CHOLESKY BENCHMARK SUIT
2  * Final Version
3  * Copyright (R) by Haris M. Volos in 2005
4  *
5  * Different methods used to implement and optimize the benchmark
6  * See main for the different optimization levels
7  *
8  * THIS IS USED TO OBTAIN MEASUREMENTS
9  */
10
11 #include <stdio.h>
12 #include <math.h>
13 #include <sys/time.h>
14 #include "bd1.c"
15
16 #define MAX(a, b) ((a>b)?a:b)
17 #define MIN(a, b) ((a<b)?a:b)
18
19 #define eps 0.001
20
21 /* =====
22 *
23 * The implementations—optimizations of the Cholesky benchmark follow
24 *
25 * =====
26 */
27
28
29 /* Function:  cholesky_raw
30 * The unoptimized version of the benchmark
31 */
32 void cholesky_raw(double **A, int N)
33 {
34     int i, j, k;
35
36     for (k=0; k<N; k++)
37     {
38         A[k][k]=sqrt(fabs(A[k][k]));
39         for (i=k+1; i<N; i++)
40             A[i][k]=A[i][k]/A[k][k];
41
42         for (j=k+1; j<N; j++)
43             for (i=j; i<N; i++)
44                 A[i][j]=A[i][j]-A[i][k]*A[j][k];
45     }
46 }
47
48 /* Function:  cholesky_IJK
49 * Loops are in the order (i, j, k)
50 */
```

```

51 void cholesky_LJK(double **A, int N)
52 {
53     int i, j, k;
54     for (i=1; i<N; i++)
55     {
56         A[i-1][i-1] = sqrt(fabs(A[i-1][i-1]));
57         for (j=1; j<=i; j++)
58         {
59             A[i][j-1]=A[i][j-1]/A[j-1][j-1];
60             for (k=0; k<j; k++)
61                 A[i][j]=A[i][j]-A[i][k]*A[j][k];
62         }
63     }
64     A[N-1][N-1]=sqrt(fabs(A[N-1][N-1]));
65 }
66
67 /* Function:  cholesky_linear_layout_column_major
68 * Column major linear layout is used for the storage of the array
69 */
70 void cholesky_column_major(double **A, int N)
71 {
72     int i, j, k;
73
74     for (k=0; k<N; k++)
75     {
76         A[k][k]=sqrt(fabs(A[k][k]));
77         for (j=k+1; j<N; j++)
78             A[k][j]/=A[k][k];
79
80         for (j=k+1; j<N; j++)
81             for (i=j; i<N; i++)
82                 A[j][i]-=A[k][i]*A[k][j];
83     }
84 }
85
86 /* Function:  cholesky_tiled_KJ
87 * Cholesky is tiled along loops K, J
88 * Column major linear layout is used for the storage of the array
89 */
90 void cholesky_tiled_KJ(double **A, int N, int tile_size)
91 {
92     int i, j, k;
93     int ii, jj, kk;
94     int Bii=tile_size, Bjj=tile_size, Bkk=tile_size;
95     int jlow, kkup, jlow, jup;
96
97     for (kk=0; kk<N; kk+=Bkk)
98     {
99         {
100             jlow = (int) floor((double)kk/Bjj)*Bjj;
101             for (jj = jlow; jj<N; jj+=Bjj)
102             {
103                 kkup = MIN(kk+Bkk,N);
104                 for (k=kk; k<kkup; k++)
105                 {
106                     if (jj<=k && k<jj+Bjj)
107                         A[k][k]=sqrt(fabs(A[k][k]));
108
109                     if (jj==jlow)
110                     {
111                         for (j=k+1; j<N; j++)
112                             A[k][j]/=A[k][k];
113                     }
114
115                     jlow = MAX(jj, k+1);
116                     jup = MIN(jj+Bjj, N);
117                     for (j=jlow; j<jup; j++)
118                         for (i=j; i<N; i++)
119                             A[j][i]-=A[k][i]*A[k][j];
120                 }
121             }
122         }
123     }
124
125 /* Function:  cholesky_tiled_KJ_hopt
126 * Cholesky is tiled along loops K, J
127 * Column major linear layout is used for the storage of the array
128 * Hand optimization includes loop unrolling and scalar replacement
129 */
130 void cholesky_tiled_KJ_hopt(double **A, int N, int tile_size)
131 {
132     int i, j, k;
133     int ii, jj, kk;
134     int Bii=tile_size, Bjj=tile_size, Bkk=tile_size;
135     int jlow, kkup, jlow, jup;

```

```

136     int iup_unrolled;
137     register double Akj;
138
139     for (kk=0; kk<N; kk+=Bkk)
140     {
141         jjlow = (int) floor((double)kk/Bjj)*Bjj;
142         for (jj = jjlow; jj<N; jj+=Bjj)
143         {
144             kkup = MIN(kk+Bkk,N);
145             for (k=kk; k<kkup; k++)
146             {
147                 if (jj<=k && k<jj+Bjj)
148                     A[k][k]=sqrt(fabs(A[k][k]));
149
150                 if (jj==jjlow)
151                 {
152                     for (j=k+1; j<N; j++)
153                         A[k][j]/=A[k][k];
154                 }
155
156                 jlow = MAX(jj, k+1);
157                 jup = MIN(jj+Bjj, N);
158                 for (j=jlow; j<jup; j++)
159                 {
160                     Akj = A[k][j];
161
162                     iup_unrolled = j + (N-j)/4*4;
163
164                     for (i=j; i<iup_unrolled; i+=4)
165                     {
166                         A[j][i]-=A[k][i]*Akj;
167                         A[j][i+1]-=A[k][i+1]*Akj;
168                         A[j][i+2]-=A[k][i+2]*Akj;
169                         A[j][i+3]-=A[k][i+3]*Akj;
170                     }
171
172                     for (; i<N; i++)
173                         A[j][i]-=A[k][i]*Akj;
174                 }
175             }
176         }
177     }
178 }
179 }
180
181 /* Function:  cholesky_tiled_full
182 * Cholesky is tiled along all loops
183 * Column major linear layout is used for the storage of the array
184 */
185 void cholesky_tiled_full(double **A, int N, int tile_size)
186 {
187     int i, j, k;
188     int ii, jj, kk;
189     int Bii=tile_size, Bjj=tile_size, Bkk=tile_size;
190     int kkup, jlow, jup, ilow, iup;
191     int j2low, j2up;
192
193     for (kk=0; kk<N; kk+=Bkk)
194     {
195         kkup = MIN(kk+Bkk,N);
196         for (jj=(int) floor((double)kk/Bjj)*Bjj; jj<N; jj+=Bjj)
197             for (ii=(int) floor((double)jj/Bii)*Bii; ii<N; ii+=Bii)
198                 for (k=kk; k<kkup; k++)
199                 {
200                     if (jj<=k && k<jj+Bjj && ii<=k && k<ii+Bii)
201                         A[k][k]=sqrt(fabs(A[k][k]));
202
203                     if (jj==(int) floor((double)kk/Bjj)*Bjj)
204                     {
205                         j2low = MAX(ii, k + 1);
206                         j2up = MIN(ii + Bjj, N);
207                         for (j=j2low; j<j2up; j++)
208                             A[k][j]/=A[k][k];
209                     }
210
211                     jlow = MAX(jj, k + 1);
212                     jup = MIN(jj + Bjj, N);
213                     iup = MIN(ii + Bii, N);
214                     for (j=jlow; j<jup; j++)
215                     {
216                         ilow = MAX(ii, j);
217                         for (i=ilow; i<iup; i++)
218                             A[j][i]-=A[k][i]*A[k][j];
219                     }
220                 }
221     }
222 }

```

```

223
224 /* Function:  cholesky_tiled_full_hopt
225 * Cholesky is tiled along all loops
226 * Column major linear layout is used for the storage of the array
227 * Hand optimization includes loop unrolling and scalar replacement
228 */
229 void cholesky_tiled_full_hopt(double **A, int N, int tile_size)
230 {
231     int i, j, k;
232     int ii, jj, kk;
233     int Bii=tile_size, Bjj=tile_size, Bkk=tile_size;
234     int kkup, jlow, jup, ilow, iup;
235     int j2low, j2up;
236     int iup_unrolled;
237     register double Akj;
238
239     for (kk=0; kk<N;kk+=Bkk)
240     {
241         kkup = MIN(kk+Bkk,N);
242         for (jj=(int) floor((double)kk/Bjj)*Bjj;jj<N;jj+=Bjj)
243             for (ii=(int) floor((double)jj/Bii)*Bii;ii<N;ii+=Bii)
244                 for (k=kk; k<kkup;k++)
245                 {
246                     if (jj<=k && k<jj+Bjj && ii<=k && k<ii+Bii)
247                         A[k][k]=sqrt(fabs(A[k][k]));
248
249                     if (jj==(int) floor((double)kk/Bjj)*Bjj)
250                     {
251                         j2low = MAX(ii, k + 1);
252                         j2up = MIN(ii + Bjj, N);
253                         for (j=j2low;j<j2up;j++)
254                             A[k][j]/=A[k][k];
255                     }
256
257                     jlow = MAX(jj, k + 1);
258                     jup = MIN(jj + Bjj, N);
259                     iup = MIN(ii + Bii, N);
260
261                     for (j=jlow;j<jup;j++)
262                     {
263                         Akj = A[k][j];
264
265                         ilow = MAX(ii, j);
266                         iup_unrolled = ilow + (iup-ilow)/4*4;
267
268                         for (i=ilow;i<iup_unrolled;i+=4)
269                         {
270                             A[j][i]-=A[k][i]*Akj;
271                             A[j][i+1]-=A[k][i+1]*Akj;
272                             A[j][i+2]-=A[k][i+2]*Akj;
273                             A[j][i+3]-=A[k][i+3]*Akj;
274                         }
275
276                         for (;i<iup;i++)
277                             A[j][i]-=A[k][i]*Akj;
278                     }
279                 }
280     }
281 }
282
283 /* Function:  cholesky_tiled_full_bdl_NN
284 * Cholesky is tiled along all loops, and Block Data Layout NN is used
285 */
286 void cholesky_tiled_full_bdl_NN(double *A, int N, int Nmask, int step)
287 {
288     int i, j, k;
289     int iR, jC, kC;
290     int ii, jj, kk, jjC, kkC;
291     int jfC, kfC;
292     int kk_plus_jkkincrement;
293
294     int transformation_type = NN, transformation_type2 = Nn;
295
296     int logNstep, logstep;
297
298     int imask, jkmask;
299     int ibound, jkbound, itilebound, jtilebound, ktilebound;
300     int iincrement, jkkincrement;
301     int iincrement, jkincrement;
302     int iup, ilow, jup, jlow, kup, klow, ilowDiv;
303     int jjlow, iilow;
304     int step_l, kplusl, kpluslC, kpluslFC;
305
306     logNstep = lg(Nmask/step);
307     logstep = lg(step);
308

```



```

309     ibound = create_mask(N, Nmask, step, transformation_type, COL) + 1;
310     jkbound = create_mask(N, Nmask, step, transformation_type, ROW) + 1;
311
312     imask = create_innmask(step, transformation_type2, 0) + 1;
313     jkmask = create_innmask(step, transformation_type2, 1) + 1;
314
315     iincrement = create_tileincrement(Nmask, step, transformation_type2, COL);
316     jkkincrement = create_tileincrement(Nmask, step, transformation_type2, ROW);
317
318
319     iincrement = create_increment(step, transformation_type2, COL);
320     jkincrement = create_increment(step, transformation_type2, ROW);
321
322     step_1 = step - 1;
323
324     for (kk = 0; kk < jkbound; kk += jkkincrement)
325     {
326         ktilebound = (kk | jkmask);
327         kup = (jkbound < ktilebound ? jkbound : ktilebound);
328         kk_plus_jkkincrement = kk+jkkincrement;
329
330         kkC = kk >> logNstep;
331
332         jlow = (int) floor((double)kk/jkkincrement)*jkkincrement;
333         for (jj = jlow; jj < jkbound; jj += jkkincrement)
334         {
335             jtilebound = (jj | jkmask);
336             jup = (jkbound < jtilebound ? jkbound : jtilebound);
337
338             jjC = jj >> logNstep;
339
340             iilow = ( (int) floor((double)jj/jkkincrement)*jkkincrement ) >> logNstep
341             ;
342             for (ii=iilow; ii<ibound; ii+=iincrement)
343             {
344                 itilebound = (ii | imask);
345                 iup = (ibound < itilebound ? ibound : itilebound);
346
347                 for (k=kk; k<kup;k+=jkincrement)
348                 {
349                     kC = ((k >> logstep) & step_1);
350                     kfC = kkC | kC;
351
352                     kplus1 = ((k+jkincrement==ktilebound)? kk_plus_jkkincrement:k+
353                             jkincrement);
354                     kplus1fC = ((kfC+iincrement==itilebound)? kkC+iincrement:kfC+
355                             iincrement);
356                     ilowDiv = (ii > kplus1fC ? ii : kplus1fC);
357
358                     if (jj<=k && k<jtilebound && ii<=kfC && kfC<itilebound)
359                         A[kfC|k]=sqrt(fabs(A[kfC|k]));
360
361                     if (jj==jlow)
362                     {
363                         for (i=ilowDiv; i<iup; i+=iincrement)
364                             A[i|k]/=A[kfC|k];
365                     }
366
367                     jlow = (jj > kplus1 ? jj : kplus1);
368                     for (j=jlow; j<jup; j+=jkincrement)
369                     {
370                         jC = ((j >> logstep) & step_1);
371                         jfC = jjC | jC;
372                         ilow = (ii > jfC ? ii : jfC);
373                         for (i=ilow; i<iup; i+=iincrement)
374                             A[i|j]-=A[i|k]*A[jfC|k];
375                     }
376                 }
377             }
378         }
379     }
380
381     /* Function:  cholesky_tiled_full_bdl_NN_hopt
382     * Cholesky is tiled along all loops, Block Data Layout NN is used
383     * Hand optimization includes loop unrolling and scalar replacement
384     */
385     void cholesky_tiled_full_bdl_NN_hopt(double *A, int N, int Nmask, int step)
386     {
387         int i, j, k;
388         int iR, jC, kC;
389         int ii, jj, kk, jjC, kkC;
390         int jfC, kfC;
391         int kk_plus_jkkincrement;
392
393         int transformation_type = NN, transformation_type2 = Nn;

```

```

393
394 int logNstep, logstep;
395
396 int imask, jkmask;
397 register double A[jfC][k];
398 register int ibound, jkbound, itilebound, jtilebound, ktilebound;
399 register int iincrement, jkkincrement;
400 register int iincrement, jkincrement;
401 int iup, ilow, jup, jlow, kup, klow, ilowDiv;
402 int jllow, iilow;
403 register int step_1, kplus1, kplus1C, kplus1fC;
404
405 int iup_unrolled, iincrement_unroll;
406
407 logNstep = lg(Nmask/step);
408 logstep = lg(step);
409
410 ibound = create_mask(N, Nmask, step, transformation_type, COL) + 1;
411 jkbound = create_mask(N, Nmask, step, transformation_type, ROW) + 1;
412
413 imask = create_innermask(step, transformation_type2, 0) + 1;
414 jkmask = create_innermask(step, transformation_type2, 1) + 1;
415
416 iincrement = create_tileincrement(Nmask, step, transformation_type2, COL);
417 jkkincrement = create_tileincrement(Nmask, step, transformation_type2, ROW);
418
419
420 iincrement = create_increment(step, transformation_type2, COL);
421 jkincrement = create_increment(step, transformation_type2, ROW);
422
423 /*
424  * iincrement_unroll in our case is 4 that is why we replace it with the constant
425  *   4
426  * iincrement_unroll = iincrement * 4;
427  */
428 step_1 = step - 1;
429
430 for (kk = 0; kk < jkbound; kk += jkkincrement)
431 {
432     ktilebound = (kk | jkmask);
433     kup = (jkbound < ktilebound ? jkbound : ktilebound);
434     kk_plus_jkkincrement = kk + jkkincrement;
435
436     kkC = kk >> logNstep;
437
438     jllow = (int) floor((double)kk/jkkincrement)*jkkincrement;
439     for (jj = jllow; jj < jkbound; jj += jkkincrement)
440     {
441         jtilebound = (jj | jkmask);
442         jup = (jkbound < jtilebound ? jkbound : jtilebound);
443
444         jjC = jj >> logNstep;
445
446         iilow = ( (int) floor((double)jj/jkkincrement)*jkkincrement ) >> logNstep
447         for (ii=iilow; ii<ibound; ii+=iincrement)
448         {
449             itilebound = (ii | imask);
450             iup = (ibound < itilebound ? ibound : itilebound);
451
452             for (k=kk; k<kup;k+=jkincrement)
453             {
454                 kC = ((k >> logstep) & step_1);
455                 kfC = kkC | kC;
456
457                 kplus1 = ((k+jkincrement==ktilebound)? kk_plus_jkkincrement:k+
458                 jkincrement);
459                 kplus1fC = ((kfC+iincrement==itilebound)? kkC+iincrement:kfC+
460                 iincrement);
461                 ilowDiv = (ii > kplus1fC ? ii : kplus1fC);
462
463                 if (jj<=k && k<jtilebound && ii<=kfC && kfC<itilebound)
464                     A[kfC|k]=sqrt(fabs(A[kfC|k]));
465
466                 if (jj==jllow)
467                 {
468                     for (i=iilowDiv; i<iup; i+=iincrement)
469                         A[i|k]/=A[kfC|k];
470                 }
471
472                 jlow = (jj > kplus1 ? jj : kplus1);
473                 for (j=jlow; j<jup; j+=jkincrement)
474                 {
475                     jC = ((j >> logstep) & step_1);
476                     jfC = jjC | jC;

```

```

476         ilow = (ii > jfC ? ii : jfC);
477         AjfC_k = A[jfC|k];
478
479         iup_unrolled = ilow + (iup-ilow)/4*4;
480         for (i=i_low; i<iup_unrolled; i+=4)
481         {
482             A[i|j]-=A[i|k]*AjfC_k;
483             A[(i+1)|j]-=A[(i+1)|k]*AjfC_k;
484             A[(i+2)|j]-=A[(i+2)|k]*AjfC_k;
485             A[(i+3)|j]-=A[(i+3)|k]*AjfC_k;
486         }
487
488         for (; i<iup; i++)
489             A[i|j]-=A[i|k]*AjfC_k;
490     }
491 }
492 }
493 }
494 }
495 }
496
497 /* Function:  cholesky_full_tiled_bdl_ZZ
498  * Cholesky is tiled along all loops, Block Data Layout ZZ is used
499  */
500 void cholesky_tiled_full_bdl_ZZ(double *A, int N, int Nmask, int step)
501 {
502     struct timeval start, finish;
503
504     int i, j, k;
505     int iR, jC, kC;
506     int ii, jj, kk, jjC, kkC;
507     int jfC, kfC;
508     register int temp1;
509     int temp2, temp3;
510
511     int transformation_type = ZZ, transformation_type2 = Zz;
512
513     int logNstep, logstep;
514
515     int imask, jkmask;
516     int ibound, jkbound, itilebound, jtilebound, ktilebound;
517     int iincrement, jkkkincrement;
518     int iincrement, jkincrement;
519     int iup, ilow, jup, jlow, kup, kkup;
520     int jjup;
521     int step_l, kplus1;
522
523     logNstep = lg(Nmask/step);
524     logstep = lg(step);
525
526     ibound = create_mask(N, Nmask, step, transformation_type, COL) + 1;
527     jkbound = create_mask(N, Nmask, step, transformation_type, ROW) + 1;
528
529     imask = create_innermask(step, transformation_type2, 0) + 1;
530     jkmask = create_innermask(step, transformation_type2, 1) + 1;
531
532     iincrement = create_tileincrement(Nmask, step, transformation_type2, COL);
533     jkkkincrement = create_tileincrement(Nmask, step, transformation_type2, ROW);
534
535
536     iincrement = create_increment(step, transformation_type2, COL);
537     jkincrement = create_increment(step, transformation_type2, ROW);
538
539     step_l = step - 1;
540
541     gettimeofday(&start, (struct timezone*) NULL);
542
543     for (ii = 0; ii < ibound; ii += iincrement)
544     {
545         itilebound = (ii | imask);
546         iup = (ibound < itilebound ? ibound : itilebound);
547         ilow = (iincrement > ii ? iincrement : ii);
548
549         jjup = (ii >> logNstep);
550         for (jj = 0; jj <= jjup; jj += jkkkincrement)
551         {
552             jtilebound = (jj | jkmask);
553             jlow = (jkincrement > jj ? jkincrement : jj);
554
555             jjC = jj << logNstep;
556
557             for (kk = 0; kk <= jj; kk += jkkkincrement)
558             {
559                 ktilebound = (kk | jkmask);
560                 kkC = kk << logNstep;

```



```

651         }
652     } else {
653         printf("Memory_allocation_failed!\n");
654         exit(1);
655     }
656 }
657
658 gettimeofday(&start ,(struct timezone*) NULL);
659
660 switch (optimization_level) {
661     case 0:
662         cholesky_raw(B_2D, N);
663         break;
664     case 1:
665         cholesky_IJK(B_2D, N);
666         break;
667     case 2:
668         cholesky_column_major(B_2D, N);
669         break;
670     case 3:
671         cholesky_tiled_KJ(B_2D, N, tile_size);
672         break;
673     case 4:
674         cholesky_tiled_KJ_hopt(B_2D, N, tile_size);
675         break;
676     case 5:
677         cholesky_tiled_full(B_2D, N, tile_size);
678         break;
679     case 6:
680         cholesky_tiled_full_hopt(B_2D, N, tile_size);
681         break;
682     case 7:
683         cholesky_tiled_full_bdl_NN(B, N, Nsize, tile_size);
684         break;
685     case 8:
686         cholesky_tiled_full_bdl_NN_hopt(B, N, Nsize, tile_size);
687         break;
688     case 9:
689         cholesky_tiled_full_bdl_ZZ(B, N, Nsize, tile_size);
690         break;
691     default:
692         cholesky_raw(B_2D, N);
693 }
694 gettimeofday(&finish ,(struct timezone*) NULL);
695
696 /* Show report */
697 printf("%d\t%d\t%d\t",N , Nsize , tile_size);
698 printf("%8.3lf\n", finish.tv_sec-start.tv_sec
699         + (double)((finish.tv_usec-start.tv_usec)>=0)?(finish.tv_usec-start
700         tv_usec):
701         (1000000+finish.tv_usec-start.tv_usec))/1000000);
702
703 if (optimization_level >= 7)
704     free(B);
705 else
706     free(B_2D);
707 }
708 }

```

B'.2 Πηγαίος Κώδικας Μετροπρογράμματος Cholesky - Πολυνηματικές Εκδοχές

Λόγου χώρου παρουσιάζονται μόνο οι πολυνηματωμένες εκδοχές με μετασχηματισμό tiling και διατάξεις δεδομένων με δεικτοδότηση MBaLt.

```

1  /* CHOLESKY BENCHMARK SUIT FOR HYPER-THREADING ENABLED PROCESSORS (Intel Xeon,
2     Pentium 4)
3     * Final Version
4     * Copyright (R) by Haris M. Volos in 2005
5     *
6     * Different methods used to parallelize (fine-grain, coarse-grain)
7     * and optimize (tiling, block data layouts, unrolling) the benchmark
8     * See main for the different optimization levels
9     *
10    * THIS IS USED TO OBTAIN MEASUREMENTS
11    */
12 #include <pthread.h>
13 #include <sched.h>

```

```

14 #include <stdio.h>
15 #include <math.h>
16 #include <sys/time.h>
17 #include "bdl.c"
18 #include "aff.h"
19 #include "spin.h"
20 #include "prfcnt.h"
21
22 #define MAX(a, b) ((a>b)?a:b)
23 #define MIN(a, b) ((a<b)?a:b)
24
25 #define eps 0.001
26
27 typedef struct mm_thread_args {
28     double **A;
29     double *A_ID;
30     int N, Nmask;
31     int tile_size;
32     int tid;
33     int tgid;
34     int n_threads;
35     int ng_threads;
36     int n_groups;
37     int pk;
38     cpu_t sib;
39     spin_barrier_t *spin_barrier_fine;
40     spin_barrier_t *spin_barrier_coarse;
41 } mm_thread_args_t;
42
43 static spin_barrier_t spin_barrier_A2;
44 static spin_barrier_t spin_barrier_B2;
45 static spin_barrier_t spin_barrier_A4;
46
47 struct cpuinfo cpus;
48 int prf_flag;
49 cpu_t prf_cpu;
50
51 void myprfcnt_start(cpu_t cpu_id, int sib_id)
52 {
53     if (prf_flag == 1 && cpu_id == prf_cpu)
54     {
55         if (sib_id == 0)
56             prfcnt_init(prf_cpu, PRFCNT_FL_T0);
57         else if (sib_id == 1)
58             prfcnt_init(prf_cpu, PRFCNT_FL_T1);
59         prfcnt_start();
60     }
61 }
62
63 void myprfcnt_stop(int cpu_id)
64 {
65     if (prf_flag == 1 && cpu_id == prf_cpu)
66     {
67         prfcnt_pause();
68         prfcnt_report();
69         prfcnt_shut();
70     }
71 }
72
73 /* Function: thread_tiled_full_bdl_NN_fine_grain
74 * Block Data Layout NN is used
75 * Tiling is applied along all loops
76 * Hand optimization includes loop unrolling and scalar replacement
77 * All threads work on the same tile simultaneously and the data of the tile are
78 * distributed
79 * between them in a fine grain fashion
80 */
81 void thread_tiled_full_bdl_NN_fine_grain(mm_thread_args_t *args)
82 {
83     mm_thread_args_t * thread_args = (mm_thread_args_t *) args;
84
85     int i, j, k;
86     int iR, jC, kC;
87     int ii, jj, kk, jjC, kkC;
88     int jfC, kfC;
89     int kk_plus_jkkincrement;
90
91     int transformation_type = NN, transformation_type2 = Nn;
92
93     int logNstep, logstep;
94
95     int imask, jkmask;
96     int ibound, jkbound, itilebound, jtilebound, ktilebound;
97     int iincrement, jkkincrement;
98     int iincrement, jkincrement;
99     int jkincrement_2;

```



```

182
183         if (jj==jlow)
184             for (i=ilowDiv; i<iup; i++)
185                 A[i|k]/=A[kfC|k];
186     }
187     spin_barrier_lsense(thread_args->spin_barrier_fine, &lsense);
188
189     jlow = (jj > kplus1 ? jj : kplus1);
190
191     for (j=jlow + (thread_args->tid)*jkincrement; j<jup; j+=jkincrement_2)
192     {
193         jC = ((j >> logstep) & step_1);
194         jfC = jjC | jC;
195         ilow = (ii > jfC ? ii : jfC);
196         AjfC_k = A[jfC|k];
197
198         iup_div = ilow + (iup-ilow)/4*4;
199         for (i=ilow; i<iup_div; i+=4)
200         {
201             A[i|j]-=A[i|k]*AjfC_k;
202             A[(i + 1)|j]-=A[(i + 1)|k]*AjfC_k;
203             A[(i + 2)|j]-=A[(i + 2)|k]*AjfC_k;
204             A[(i + 3)|j]-=A[(i + 3)|k]*AjfC_k;
205         }
206
207         for (; i<iup; i++)
208             A[i|j]-=A[i|k]*AjfC_k;
209     }
210 }
211 }
212 }
213 }
214
215 /* stop the performance counter */
216 myprfcnt_stop(cpus.pk[thread_args->pk].sib[thread_args->sib]);
217 }
218
219
220 /* Function: thread_tiled_full_bdl_NN_coarse_grain
221 * Block Data Layout NN is used
222 * Tiling is applied along all loops
223 * Hand optimization includes loop unrolling and scalar replacement
224 * Coarse Grain work partitioning, i.e Threads work on two separate adjacent tiles
225 */
226 void thread_tiled_full_bdl_NN_coarse_grain(void * args)
227 {
228     mm_thread_args_t * thread_args = (mm_thread_args_t *) args;
229
230     int i, j, k;
231     int iR, jC, kC;
232     int ii, jj, kk, jjC, kkC;
233     int jfC, kfC;
234     int kk_plus_jkkincrement;
235
236     int N, Nmask;
237     int t_initial_ii;
238     int tile_size, step;
239     int last_iteration_ii, last_iteration_jj, last_iteration_kk;
240     double *A;
241
242     int transformation_type = NN, transformation_type2 = Nn;
243
244     int logNstep, logstep;
245
246     int imask, jkmask;
247     int ibound, jkbound, itilebound, jtilebound, ktilebound;
248     int iincrement, jkkincrement;
249     int iincrement, jkincrement;
250     int iup, ilow, jup, jlow, kup, klow, ilowDiv, iup_div;
251     int jlow, ilow;
252     int step_1, kplus1, kplus1C, kplus1fC;
253
254     register double AjfC_k;
255
256     int lsense;
257
258     spin_barrier_init_lsense(&lsense);
259
260     N = thread_args->N;
261     Nmask = thread_args->Nmask;
262     A = thread_args->A_1D;
263     step = tile_size = thread_args->tile_size;
264
265     logNstep = lg(Nmask/step);
266     logstep = lg(step);
267

```



```

268   ibound = create_mask(N, Nmask, step, transformation_type, COL) + 1;
269   jkbound = create_mask(N, Nmask, step, transformation_type, ROW) + 1;
270
271   imask = create_innermask(step, transformation_type2, 0) + 1;
272   jkmask = create_innermask(step, transformation_type2, 1) + 1;
273
274   iincrement = create_tileincrement(Nmask, step, transformation_type2, COL);
275   jkkincrement = create_tileincrement(Nmask, step, transformation_type2, ROW);
276
277
278   iincrement = create_increment(step, transformation_type2, COL);
279   jkincrement = create_increment(step, transformation_type2, ROW);
280
281   step_1 = step - 1;
282
283   // Bind the thread to the given physical package and logical processor unit
284   if(thread_args->sib == -1) {
285     run_on_cpus( ( 1 << cpus.pk[thread_args->pk].sib[0] ) | ( 1 << cpus.pk[
286       thread_args->pk].sib[1] ) );
287   } else
288     run_on_cpu( cpus.pk[thread_args->pk].sib[thread_args->sib] );
289
290   t_initial_ii = tile_size * (thread_args->tid + 1);
291
292   last_iteration_kk = ceil((double)jkbound/jkkincrement)*jkkincrement -
293     jkkincrement*3;
294   last_iteration_jj = ceil((double)jkbound/jkkincrement)*jkkincrement -
295     jkkincrement;
296   last_iteration_ii = ceil((double)ibound/iincrement)*iincrement - iincrement;
297
298   myprfent_start(cpus.pk[thread_args->pk].sib[thread_args->sib], thread_args->sib);
299
300   // Iterations 0:0:0 to and not including ~ N-2*Bkk:N:N are partitioned among
301   // threads and executed in
302   // parallel in groups
303   for (kk=0; kk<jkbound-2*jkkincrement; kk+=jkkincrement)
304   {
305     ktilebound = (kk | jkmask);
306     kup = (jkbound < ktilebound ? jkbound : ktilebound);
307     kk_plus_jkkincrement = kk+jkkincrement;
308
309     kkC = kk >> logNstep;
310
311     if ( ( thread_args->tid == 0 && kk == 0 ) ||
312         ( thread_args->tid == 0 && last_iteration_kk >= 0 && (jj-jkkincrement
313           != last_iteration_jj || ii-2*iincrement != last_iteration_ii) )
314       )
315     {
316       jj = kk;
317
318       jjlow = (int) floor((double)kk/jkkincrement)*jkkincrement;
319
320       ii = jj >> logNstep;
321
322       t_initial_ii = iincrement * (thread_args->tid + 1);
323
324       jtilebound = (jj | jkmask);
325       jup = (jkbound < jtilebound ? jkbound : jtilebound);
326
327       jjC = jj >> logNstep;
328
329       itilebound = (ii | imask);
330       iup = (ibound < itilebound ? ibound : itilebound);
331
332       // =====
333       for (k=kk; k<kup;k+=jkincrement)
334       {
335         kC = ((k >> logstep) & step_1);
336         kfC = kkC | kC;
337
338         kplus1 = ((k+jkincrement==ktilebound)? kk_plus_jkkincrement:k+
339           jkincrement);
340         kplus1fC = ((kfC+iincrement==itilebound)? kkC+iincrement:kfC+iincrement
341           );
342         ilowDiv = (ii > kplus1fC ? ii : kplus1fC);
343
344         if (jj<=k && k<jtilebound && ii<=kfC && kfC<itilebound)
345           A[kfC|k]=sqrt(fabs(A[kfC|k]));
346
347         if (jj==jjlow)
348         {
349           for (i=ilowDiv; i<iup; i+=iincrement)
350             A[i|k]/=A[kfC|k];
351         }
352       }
353     }
354   }

```



```

428
429         jlow = (jj > kplus1 ? jj : kplus1);
430         for (j=jlow;j<jup;j+=jkincrement)
431         {
432             jC = ((j >> logstep) & step_1);
433             jfC = jjC | jC;
434             ilow = (ii > jfC ? ii : jfC);
435         //         for (i=ilow;i<iup;i+=iincrement)
436         //         A[i|j]-=A[i|k]*A[jfC|k];
437
438             AjfC_k = A[jfC|k];
439
440             iup_div = ilow + (iup-ilow)/4*4;
441             for (i=ilow;i<iup_div;i+=4)
442             {
443                 A[i|j]-=A[i|k]*AjfC_k;
444                 A[(i+1)|j]-=A[(i+1)|k]*AjfC_k;
445                 A[(i+2)|j]-=A[(i+2)|k]*AjfC_k;
446                 A[(i+3)|j]-=A[(i+3)|k]*AjfC_k;
447             }
448
449             for (;i<iup;i++)
450                 A[i|j]-=A[i|k]*AjfC_k;
451         }
452     }
453     // =====
454
455     //spin_barrier_lsense(thread_args->spin_barrier_coarse, &lsense);
456     //if (thread_args->tgid == 0) printf("Next group\n");
457     spin_barrier_lsense(thread_args->spin_barrier_coarse, &lsense);
458 }
459
460     t_initial_ii = ((ii == last_iteration_ii + iincrement) ? 0 : iincrement);
461 }
462 }
463
464
465 // The execution of the last 4 iterations follows
466 // =====
467 // In the case that the last iteration of the previous loops was executed by
468 // thread 0, then the first iteration of the last 4
469 // iterations should be executed by thread 1 so as to exploit the parallelism
470 // available in this case
471 if (thread_args->tid == 1 && last_iteration_kk >= 0 &&
472     (kk-jjkincrement != last_iteration_kk || jj-jjkincrement !=
473      last_iteration_jj || ii-2*iincrement != last_iteration_ii) )
474 {
475     ktilebound = (kk | jkmask);
476     kup = (jkbound < ktilebound ? jkbound : ktilebound);
477     kk_plus_jjkincrement = kk+jjkincrement;
478
479     kkC = kk >> logNstep;
480
481     jj = (int) floor((double)kk/jjkincrement)*jjkincrement;
482     jjlow = (int) floor((double)kk/jjkincrement)*jjkincrement;
483     jtilebound = (jj | jkmask);
484     jup = (jkbound < jtilebound ? jkbound : jtilebound);
485
486     jjC = jj >> logNstep;
487
488     ii = ((int) floor((double)jj/jjkincrement)*jjkincrement) >> logNstep;
489     itilebound = (ii | imask);
490     iup = (ibound < itilebound ? ibound : itilebound);
491
492     // =====
493     for (k=kk; k<kup;k+=jkincrement)
494     {
495         kC = ((k >> logstep) & step_1);
496         kfC = kC | kC;
497
498         kplus1 = ((k+jkincrement==ktilebound)? kk_plus_jjkincrement:k+
499                jkincrement);
500         kplus1fC = ((kfC+iincrement==itilebound)? kkC+iincrement:kfC+
501                   iincrement);
502         ilowDiv = (ii > kplus1fC ? ii : kplus1fC);
503
504         if (jj<=k && k<jtilebound && ii<=kfC && kfC<itilebound)
505             A[kfC|k]=sqrt(fabs(A[kfC|k]));
506
507         if (jj==jjlow)
508         {
509             for (i=ilowDiv;i<iup;i+=iincrement)

```



```

588
589         if (jj==jlow)
590         {
591             for (i=ilowDiv; i<iup; i+=iincrement)
592                 A[i|k]/=A[kfC|k];
593         }
594
595         jlow = (jj > kplus1 ? jj : kplus1);
596         for (j=jlow; j<jup; j+=jkincrement)
597         {
598             jC = ((j >> logstep) & step_1);
599             jfC = jjC | jC;
600             ilow = (ii > jfC ? ii : jfC);
601 //         for (i=ilow; i<iup; i+=iincrement)
602 //             A[i|j]-=A[i|k]*A[jfC|k];
603
604             AjfC_k = A[jfC|k];
605
606             iup_div = ilow + (iup-ilow)/4*4;
607             for (i=ilow; i<iup_div; i+=4)
608             {
609                 A[i|j]-=A[i|k]*AjfC_k;
610                 A[(i + 1)|j]-=A[(i + 1)|k]*AjfC_k;
611                 A[(i + 2)|j]-=A[(i + 2)|k]*AjfC_k;
612                 A[(i + 3)|j]-=A[(i + 3)|k]*AjfC_k;
613             }
614
615             for (; i<iup; i++)
616                 A[i|j]-=A[i|k]*AjfC_k;
617
618         }
619     }
620 // =====
621 }
622
623     }
624     t_initial_ii = 0;
625 }
626 }
627 }
628 myprfcnt_stop(cpus.pk[thread_args->pk].sib[thread_args->sib]);
629 }
630
631 /* Function: thread_tiled_full_bdl_NN_coarse_fine_grain
632 * Block Data Layout NN is used
633 * Tiling is applied along all loops
634 * Hand optimization includes loop unrolling and scalar replacement
635 * Coarse Grain work partitioning, i.e Two groups of two threads work on two
        separate adjacent tiles
636 * The two threads of each group work on the same tile and divide their work in a
        fine grain fashion way
637 */
638 void thread_tiled_full_bdl_NN_coarse_fine_grain(void * args)
639 {
640     mm.thread_args_t * thread_args = (mm.thread_args_t *) args;
641
642     int i, j, k;
643     int iR, jC, kC;
644     int ii, jj, kk, jjC, kkC;
645     int jfC, kfC;
646     int kk_plus_jkkincrement;
647
648     int N, Nmask;
649     int t_initial_ii;
650     int tile_size, step;
651     int last_iteration_ii, last_iteration_jj, last_iteration_kk;
652     double *A;
653
654     int transformation_type = NN, transformation_type2 = Nn;
655
656     int logNstep, logstep;
657
658     int imask, jkmask;
659     int ibound, jkbound, itilebound, jtilebound, ktilebound;
660     int iincrement, jkkincrement;
661     int iincrement, jkincrement;
662     int jkincrement_2;
663     int iup, ilow, Jup, jlow, kup, klow, ilowDiv, iup_div;
664     int jlow, ilow;
665     int step_1, kplus1, kplus1C, kplus1fC;
666
667     register double AjfC_k;
668
669     int lsense, lsense_fine;
670

```

```

671 spin_barrier_init_lsense(&lsense);
672 spin_barrier_init_lsense(&lsense_fine);
673
674 N = thread_args->N;
675 Nmask = thread_args->Nmask;
676 A = thread_args->A_ID;
677 step = tile_size = thread_args->tile_size;
678
679 logNstep = lg(Nmask/step);
680 logstep = lg(step);
681
682 ibound = create_mask(N, Nmask, step, transformation_type, COL) + 1;
683 jkbound = create_mask(N, Nmask, step, transformation_type, ROW) + 1;
684
685 imask = create_innermask(step, transformation_type2, 0) + 1;
686 jkmask = create_innermask(step, transformation_type2, 1) + 1;
687
688 iincrement = create_tileincrement(Nmask, step, transformation_type2, COL);
689 jkkincrement = create_tileincrement(Nmask, step, transformation_type2, ROW);
690
691
692 iincrement = create_increment(step, transformation_type2, COL);
693 jkincrement = create_increment(step, transformation_type2, ROW);
694
695 jkincrement_2 = jkincrement * 2;
696 step_1 = step - 1;
697
698 // Bind the thread to the given physical package and logical processor unit
699 if (thread_args->sib == -1) {
700     run_on_cpus( ( 1 << cpus.pk[thread_args->pk].sib[0] ) | ( 1 << cpus.pk[
701         thread_args->pk].sib[1] ) );
702 } else
703     run_on_cpu( cpus.pk[thread_args->pk].sib[thread_args->sib] );
704
705 t_initial_ii = tile_size * (thread_args->tgid + 1);
706
707 last_iteration_kk = ceil((double)jkbound/jkkincrement)*jkkincrement -
708     jkkincrement*3;
709 last_iteration_jj = ceil((double)jkbound/jkkincrement)*jkkincrement -
710     jkkincrement;
711 last_iteration_ii = ceil((double)ibound/iincrement)*iincrement - iincrement;
712
713 myprfcnt_start(cpus.pk[thread_args->pk].sib[thread_args->sib], thread_args->sib);
714
715 // Iterations 0:0:0 to and not including ~ N-2*Bkk:N:N are partitioned among
716 // threads and executed in
717 // parallel in groups
718 for (kk=0; kk<jkbound-2*jkkincrement;kk+=jkkincrement)
719 {
720     ktilebound = (kk | jkmask);
721     kup = (jkbound < ktilebound ? jkbound : ktilebound);
722     kk_plus_jkkincrement = kk+jkkincrement;
723
724     kkC = kk >> logNstep;
725
726     if ( ( thread_args->tgid == 0 && kk == 0 ) ||
727         ( thread_args->tgid == 0 && last_iteration_kk >= 0 && (jj-jkkincrement
728             != last_iteration_jj || ii-2*iincrement != last_iteration_ii) )
729     )
730     {
731         jj = kk;
732
733         jjlow = (int) floor((double)kk/jkkincrement)*jkkincrement;
734
735         ii = jj >> logNstep;
736
737         t_initial_ii = iincrement * (thread_args->tgid + 1);
738
739         jtilebound = (jj | jkmask);
740         jup = (jkbound < jtilebound ? jkbound : jtilebound);
741
742         jjC = jj >> logNstep;
743
744         itilebound = (ii | imask);
745         iup = (ibound < itilebound ? ibound : itilebound);
746
747         // =====
748         for (k=kk; k<kup;k+=jkincrement)
749         {
750             kC = ((k >> logstep) & step_1);
751             kfC = kkC | kC;
752         }
753     }
754 }

```

```

751     kplus1 = ((k+jkincrement==ktilebound)? kk_plus_jjkkincrement:k+
752             jkincrement);
753     kplus1fC = ((kfC+iincrement==itilebound)? kkC+iincrement:kfC+iincrement
754             );
755     ilowDiv = (ii > kplus1fC ? ii : kplus1fC);
756     if (thread_args->tid == 0)
757     {
758         if (jj<=k && k<jtilebound && ii<=kfC && kfC<itilebound)
759             if (thread_args->tid == 0)
760                 A[kfC|k]=sqrt(fabs(A[kfC|k]));
761
762         if (jj==jjlow)
763             for (i=ilowDiv;i<iup;i++)
764                 A[i|k]/=A[kfC|k];
765     }
766     spin_barrier_lsense(thread_args->spin_barrier_fine, &lsense_fine);
767
768     jlow = (jj > kplus1 ? jj : kplus1);
769
770     for (j=jlow + (thread_args->tid)*jkincrement;j<jup;j+=jkincrement_2)
771     {
772         jC = ((j >> logstep) & step_1);
773         jfC = jjC | jC;
774         ilow = (ii > jfC ? ii : jfC);
775         AjfC_k = A[jfC|k];
776
777         iup_div = ilow + (iup-ilow)/4*4;
778         for (i=ilow;i<iup_div;i+=4)
779         {
780             A[i|j]-=A[i|k]*AjfC_k;
781             A[(i+1)|j]-=A[(i+1)|k]*AjfC_k;
782             A[(i+2)|j]-=A[(i+2)|k]*AjfC_k;
783             A[(i+3)|j]-=A[(i+3)|k]*AjfC_k;
784         }
785
786         for (;i<iup;i++)
787             A[i|j]-=A[i|k]*AjfC_k;
788     }
789 }
790
791 // =====
792
793     spin_barrier_lsense(thread_args->spin_barrier_coarse, &lsense);
794 }
795
796 if ( (thread_args->tgid == 1 && kk == 0) ||
797     (thread_args->tgid == 1 && last_iteration_kk >=0 && (jj-jjkkincrement
798     == last_iteration_jj && ii-2*iincrement == last_iteration_ii)
799     )
800 )
801 {
802     t_initial_ii = iincrement * (thread_args->tgid + 1);
803
804     spin_barrier_lsense(thread_args->spin_barrier_coarse, &lsense);
805 }
806
807
808 jjlow = (int) floor(((double)kk/jjkkincrement)*jjkkincrement);
809 for (jj = jjlow; jj < jkbound; jj += jjkkincrement)
810 {
811     jtilebound = (jj | jkmask);
812     jup = (jkbound < jtilebound ? jkbound : jtilebound);
813
814     jjC = jj >> logNstep;
815
816     iilow = ( (int) floor(((double)jj/jjkkincrement)*jjkkincrement ) >> logNstep
817             );
818     for (ii=t_initial_ii + iilow;ii<ibound;ii+=2*iincrement)
819     {
820         itilebound = (ii | imask);
821         iup = (ibound < itilebound ? ibound : itilebound);
822
823         // =====
824
825         for (k=kk; k<kup;k+=jkincrement)
826         {
827             kC = ((k >> logstep) & step_1);
828             kfC = kkC | kC;
829
830             kplus1 = ((k+jkincrement==ktilebound)? kk_plus_jjkkincrement:k+
831                     jkincrement);
832             kplus1fC = ((kfC+iincrement==itilebound)? kkC+iincrement:kfC+
833                     iincrement);

```

```

832     ilowDiv = (ii > kplus1fC ? ii : kplus1fC);
833
834     if (thread_args->tid == 0)
835     {
836         if (jj <= k && k < jtilebound && ii <= kfC && kfC < itilebound)
837             if (thread_args->tid == 0)
838                 A[kfC|k] = sqrt(fabs(A[kfC|k]));
839
840         if (jj == jllow)
841             for (i = ilowDiv; i < iup; i++)
842                 A[i|k] /= A[kfC|k];
843     }
844
845     spin_barrier_lsense(thread_args->spin_barrier_fine, &lsense_fine);
846
847     jllow = (jj > kplus1 ? jj : kplus1);
848
849     for (j = jllow + (thread_args->tid)*jkincrement; j < jup; j += jkincrement_2)
850     {
851         jC = ((j >> logstep) & step_1);
852         jfC = jjC | jC;
853         ilow = (ii > jfC ? ii : jfC);
854         AjfC_k = A[jfC|k];
855
856         iup_div = ilow + (iup - ilow) / 4 * 4;
857         for (i = ilow; i < iup_div; i += 4)
858         {
859             A[i|j] -= A[i|k] * AjfC_k;
860             A[(i + 1)|j] -= A[(i + 1)|k] * AjfC_k;
861             A[(i + 2)|j] -= A[(i + 2)|k] * AjfC_k;
862             A[(i + 3)|j] -= A[(i + 3)|k] * AjfC_k;
863         }
864
865         for (; i < iup; i++)
866             A[i|j] -= A[i|k] * AjfC_k;
867     }
868
869 }
870 // =====
871
872     spin_barrier_lsense(thread_args->spin_barrier_coarse, &lsense);
873 }
874
875     t_initial_ii = ((ii == last_iteration_ii + iincrement) ? 0 : iincrement);
876 }
877 }
878
879 // The execution of the last 4 iterations follows
880 // =====
881 // In the case that the last iteration of the previous loops was executed by
882 // thread 0, then the first iteration of the last 4
883 // iterations should be executed by thread 1 so as to exploit the parallelism
884 // available in this case
885 if (thread_args->tgid == 1 && last_iteration_kk >= 0 &&
886     (kk - jkkincrement != last_iteration_kk || jj - jkkincrement !=
887      last_iteration_jj || ii - 2*iincrement != last_iteration_ii))
888 {
889     ktilebound = (kk | jkmask);
890     kup = (jkbound < ktilebound ? jkbound : ktilebound);
891     kk_plus_jkkincrement = kk + jkkincrement;
892
893     kkC = kk >> logNstep;
894
895     jj = (int) floor((double)kk / jkkincrement) * jkkincrement;
896     jllow = (int) floor((double)kk / jkkincrement) * jkkincrement;
897     jtilebound = (jj | jkmask);
898     jup = (jkbound < jtilebound ? jkbound : jtilebound);
899
900     jjC = jj >> logNstep;
901
902     ii = ((int) floor((double)jj / jkkincrement) * jkkincrement) >> logNstep;
903     itilebound = (ii | imask);
904     iup = (ibound < itilebound ? ibound : itilebound);
905
906 // =====
907
908     for (k = kk; k < kup; k += jkincrement)
909     {
910         kC = ((k >> logstep) & step_1);
911         kfC = kkC | kC;
912
913         kplus1 = ((k + jkincrement == ktilebound) ? kk_plus_jkkincrement : k +
914                 jkincrement);

```



```

913         kplus1fC = ((kfC+iincrement==itilebound) ? kkC+iincrement : kfC+
914             increment);
915         ilowDiv = (ii > kplus1fC ? ii : kplus1fC);
916         if (thread_args->tid == 0)
917         {
918             if (jj<=k && k<jtilebound && ii<=kfC && kfC<itilebound)
919                 if (thread_args->tid == 0)
920                     A[kfC|k]=sqrt(fabs(A[kfC|k]));
921
922             if (jj==jjlow)
923                 for (i=ilowDiv; i<iup; i++)
924                     A[i|k]/=A[kfC|k];
925         }
926
927         spin_barrier_lsense(thread_args->spin_barrier_fine, &lsense_fine);
928
929         jlow = (jj > kplus1 ? jj : kplus1);
930
931         for (j=jlow + (thread_args->tid)*jkincrement; j<jup; j+=jkincrement_2)
932         {
933             jC = ((j >> logstep) & step_1);
934             jfC = jC | jC;
935             ilow = (ii > jfC ? ii : jfC);
936             AjfC_k = A[jfC|k];
937
938             iup_div = ilow + (iup-ilow)/4*4;
939             for (i=ilow; i<iup_div; i+=4)
940             {
941                 A[i|j]-=A[i|k]*AjfC_k;
942                 A[(i+1)|j]-=A[(i+1)|k]*AjfC_k;
943                 A[(i+2)|j]-=A[(i+2)|k]*AjfC_k;
944                 A[(i+3)|j]-=A[(i+3)|k]*AjfC_k;
945             }
946
947             for (; i<iup; i++)
948                 A[i|j]-=A[i|k]*AjfC_k;
949         }
950     }
951     // =====
952     spin_barrier_lsense(thread_args->spin_barrier_coarse, &lsense);
953 }
954 // The upper iterations ~ N-2*Bkk:X:X and ~ N-Bkk:X:X are executed by thread 0.
955 // In the worst case there will be 4 such
956 // iterations
957 else if (thread_args->tgid == 0)
958 {
959     t_initial_ii = ((kk-jkkincrement == last_iteration_kk && jj-jkkincrement ==
960         last_iteration_jj && ii-2*iincrement == last_iteration_ii) ? iincrement
961         : 0);
962
963     for (; kk<jkbound; kk+=jkkincrement)
964     {
965         ktilebound = (kk | jkmask);
966         kup = (jkbound < ktilebound ? jkbound : ktilebound);
967         kk_plus_jkkincrement = kk+jkkincrement;
968
969         kkC = kk >> logNstep;
970
971         jjlow = (int) floor((double)kk/jkkincrement)*jkkincrement;
972         for (jj = jjlow; jj < jkbound; jj += jkkincrement)
973         {
974             jtilebound = (jj | jkmask);
975             jup = (jkbound < jtilebound ? jkbound : jtilebound);
976
977             jjC = jj >> logNstep;
978
979             iilow = ( (int) floor((double)jj/jkkincrement)*jkkincrement ) >>
980                 logNstep;
981             for (ii=t_initial_ii + iilow; ii<ibound; ii+=iincrement)
982             {
983                 itilebound = (ii | imask);
984                 iup = (ibound < itilebound ? ibound : itilebound);
985
986                 // =====
987                 for (k=kk; k<kup; k+=jkincrement)
988                 {
989                     kC = ((k >> logstep) & step_1);
990                     kfC = kkC | kC;
991
992                     kplus1 = ((k+jkincrement==ktilebound) ? kk_plus_jkkincrement : k+
993                         jkincrement);

```

```

993         kplus1fC = ((kfC+iincrement==itilebound)? kkC+iincrement:kfC+
994             iincrement);
995         ilowDiv = (ii > kplus1fC ? ii : kplus1fC);
996         if (thread_args->tid == 0)
997         {
998             if (jj<=k && k<jtilebound && ii<=kfC && kfC<itilebound)
999                 if (thread_args->tid == 0)
1000                     A[kfC|k]=sqrt(fabs(A[kfC|k]));
1001
1002             if (jj==jllow)
1003                 for (i=ilowDiv;i<iup;i++)
1004                     A[i|k]/=A[kfC|k];
1005         }
1006
1007         spin_barrier_lsense(thread_args->spin_barrier_fine, &lsense_fine);
1008
1009         jlow = (jj > kplus1 ? jj : kplus1);
1010
1011         for (j=jlow + (thread_args->tid)*jkincrement;j<jup;j+=
1012             jkincrement_2)
1013         {
1014             jC = ((j >> logstep) & step_1);
1015             jfC = jjC | jC;
1016             ilow = (ii > jfC ? ii : jfC);
1017             AjfC_k = A[jfC|k];
1018
1019             iup_div = ilow + (iup-ilow)/4*4;
1020             for (i=ilow;i<iup_div;i+=4)
1021             {
1022                 A[i|j]-=A[i|k]*AjfC_k;
1023                 A[(i+1)|j]-=A[(i+1)|k]*AjfC_k;
1024                 A[(i+2)|j]-=A[(i+2)|k]*AjfC_k;
1025                 A[(i+3)|j]-=A[(i+3)|k]*AjfC_k;
1026             }
1027
1028             for (;i<iup;i++)
1029                 A[i|j]-=A[i|k]*AjfC_k;
1030         }
1031     }
1032
1033     // =====
1034 }
1035     t_initial_ii = 0;
1036 }
1037 }
1038 }
1039 }
1040 myprfcnt_stop(cpus.pk[thread_args->pk].sib[thread_args->sib]);
1041 }
1042 }
1043
1044 /* Function: thread_tiled_full_bdl_NN
1045  * Block Data Layout NN is used
1046  * Tiling is applied along all loops
1047  */
1048 void thread_tiled_full_bdl_NN(void *args)
1049 {
1050     mm_thread_args_t * thread_args = (mm_thread_args_t *) args;
1051
1052     int i, j, k;
1053     int iR, jC, kC;
1054     int ii, jj, kk, jjC, kkC;
1055     int jfC, kfC;
1056     int kk_plus_jkkincrement;
1057
1058     int transformation_type = NN, transformation_type2 = Nn;
1059
1060     int logNstep, logstep;
1061
1062     int imask, jkmask;
1063     int ibound, jkbound, itilebound, jtilebound, ktilebound;
1064     int iincrement, jkkincrement;
1065     int iincrement, jkincrement;
1066     int iup, ilow, jup, jlow, kup, klow, ilowDiv;
1067     int jllow, iilow;
1068     int step, step_1, kplus1, kplus1C, kplus1fC;
1069
1070     int N, Nmask;
1071     double *A;
1072     register double AjfC_k;
1073
1074     // Bind the thread to the given physical package and logical processor unit
1075     if(thread_args->sib == -1) {
1076         run_on_cpus((1 << cpus.pk[thread_args->pk].sib[0]) | (1 << cpus.pk[
1077             thread_args->pk].sib[1]) );

```

```

1077     } else
1078         run_on_cpu( cpus.pk[thread_args->pk].sib[thread_args->sib] );
1079
1080     // Some assignments (aliases) and initializations
1081     N = thread_args->N;
1082     Nmask = thread_args->Nmask;
1083     A = thread_args->A_1D;
1084     step = thread_args->tile_size;
1085
1086     logNstep = lg(Nmask/step);
1087     logstep = lg(step);
1088
1089     ibound = create_mask(N, Nmask, step, transformation_type, COL) + 1;
1090     jkbound = create_mask(N, Nmask, step, transformation_type, ROW) + 1;
1091
1092     imask = create_innmask(step, transformation_type2, 0) + 1;
1093     jkmask = create_innmask(step, transformation_type2, 1) + 1;
1094
1095     iincrement = create_tileincrement(Nmask, step, transformation_type2, COL);
1096     jkkincrement = create_tileincrement(Nmask, step, transformation_type2, ROW);
1097
1098
1099     iincrement = create_increment(step, transformation_type2, COL);
1100     jkincrement = create_increment(step, transformation_type2, ROW);
1101
1102     step_1 = step - 1;
1103
1104     myprfcnt_start( cpus.pk[thread_args->pk].sib[thread_args->sib], thread_args->sib);
1105
1106     for (kk = 0; kk < jkbound; kk += jkkincrement)
1107     {
1108         ktilebound = (kk | jkmask);
1109         kup = (jkbound < ktilebound ? jkbound : ktilebound);
1110         kk_plus_jkkincrement = kk+jkkincrement;
1111
1112         kkC = kk >> logNstep;
1113
1114         jjlow = (int) floor((double)kk/jkkincrement)*jkkincrement;
1115         for (jj = jjlow; jj < jkbound; jj += jkkincrement)
1116         {
1117             jtilebound = (jj | jkmask);
1118             jup = (jkbound < jtilebound ? jkbound : jtilebound);
1119
1120             jjC = jj >> logNstep;
1121
1122             iilow = ( (int) floor((double)jj/jkkincrement)*jkkincrement ) >> logNstep;
1123             for (ii=iilow; ii<ibound; ii+=iincrement)
1124             {
1125                 itilebound = (ii | imask);
1126                 iup = (ibound < itilebound ? ibound : itilebound);
1127
1128                 for (k=kk; k<kup;k+=jkincrement)
1129                 {
1130                     kC = ((k >> logstep) & step_1);
1131                     kfC = kkC | kC;
1132
1133                     kplus1 = ((k+jkincrement==ktilebound)? kk_plus_jkkincrement:k+
1134                             jkincrement);
1135                     kplus1fC = ((kfC+iincrement==itilebound)? kkC+iincrement:kfC+
1136                             iincrement);
1137                     ilowDiv = (ii > kplus1fC ? ii : kplus1fC);
1138
1139                     if (jj<=k && k<jtilebound && ii<=kfC && kfC<itilebound)
1140                         A[kfC|k]=sqrt(fabs(A[kfC|k]));
1141
1142                     if (jj==jjlow)
1143                     {
1144                         for (i=ilowDiv; i<iup; i+=iincrement)
1145                             A[i|k]/=A[kfC|k];
1146                     }
1147
1148                     jlow = (jj > kplus1 ? jj : kplus1);
1149                     for (j=jlow; j<jup; j+=jkincrement)
1150                     {
1151                         jC = ((j >> logstep) & step_1);
1152                         jfC = jjC | jC;
1153                         ilow = (ii > jfC ? ii : jfC);
1154                         AjfC_k = A[jfC|k];
1155                         for (i=ilow; i<iup; i++)
1156                             A[i|j]-=A[i|k]*AjfC_k;
1157                     }
1158                 }
1159             }
1160         }
1161     }

```

```

1162     myprfcnt_stop(cpus.pk[thread_args->pk].sib[thread_args->sib]);
1163 }
1164
1165 /* Function: thread_tiled_full_bdl_NN
1166  * Block Data Layout NN is used
1167  * Tiling is applied along all loops
1168  * Hand optimization includes loop unrolling and scalar replacement
1169  */
1170 void thread_tiled_full_bdl_NN_hopt(void *args)
1171 {
1172     mm_thread_args_t * thread_args = (mm_thread_args_t *) args;
1173
1174     int i, j, k;
1175     int iR, jC, kC;
1176     int ii, jj, kk, jjC, kkC;
1177     int jfC, kfC;
1178     int kk_plus_jkkincrement;
1179
1180     int transformation_type = NN, transformation_type2 = Nn;
1181
1182     int logNstep, logstep;
1183
1184     int imask, jkmask;
1185     int ibound, jkbound, itilebound, jtilebound, ktilebound;
1186     int iincrement, jkkincrement;
1187     int iincrement, jkincrement;
1188     int iup, ilow, jup, jlow, kup, klow, ilowDiv, ilow_div, iup_div;
1189     int jlow, ilow;
1190     double AjfC_k;
1191     int step, step_1, kplus1, kplus1C, kplus1fC;
1192     int N, Nmask;
1193     double prefetch1, prefetch2;
1194     double *A;
1195
1196     // Bind the thread to the given physical package and logical processor unit
1197     if(thread_args->sib == -1) {
1198         run_on_cpus( ( 1 << cpus.pk[thread_args->pk].sib[0] ) | ( 1 << cpus.pk[
1199             thread_args->pk].sib[1] ) );
1200     } else
1201         run_on_cpu( cpus.pk[thread_args->pk].sib[thread_args->sib] );
1202
1203     // Some assignments (aliases) and initializations
1204     N = thread_args->N;
1205     Nmask = thread_args->Nmask;
1206     A = thread_args->A_ID;
1207     step = thread_args->tile_size;
1208
1209     logNstep = lg(Nmask/step);
1210     logstep = lg(step);
1211
1212     ibound = create_mask(N, Nmask, step, transformation_type, COL) + 1;
1213     jkbound = create_mask(N, Nmask, step, transformation_type, ROW) + 1;
1214
1215     imask = create_innmask(step, transformation_type2, 0) + 1;
1216     jkmask = create_innmask(step, transformation_type2, 1) + 1;
1217
1218     iincrement = create_tileincrement(Nmask, step, transformation_type2, COL);
1219     jkkincrement = create_tileincrement(Nmask, step, transformation_type2, ROW);
1220
1221     iincrement = create_increment(step, transformation_type2, COL);
1222     jkincrement = create_increment(step, transformation_type2, ROW);
1223
1224     step_1 = step - 1;
1225
1226     myprfcnt_start(cpus.pk[thread_args->pk].sib[thread_args->sib], thread_args->sib);
1227
1228     for (kk = 0; kk < jkbound; kk += jkkincrement)
1229     {
1230         ktilebound = (kk | jkmask);
1231         kup = (jkbound < ktilebound ? jkbound : ktilebound);
1232         kk_plus_jkkincrement = kk+jkkincrement;
1233
1234         kkC = kk >> logNstep;
1235
1236         jlow = (int) floor((double)kk/jkkincrement)*jkkincrement;
1237         for (jj = jlow; jj < jkbound; jj += jkkincrement)
1238         {
1239             jtilebound = (jj | jkmask);
1240             jup = (jkbound < jtilebound ? jkbound : jtilebound);
1241
1242             jjC = jj >> logNstep;
1243
1244             ilow = ( (int) floor((double)jj/jkkincrement)*jkkincrement ) >> logNstep
1245             ;
1246             for (ii=iilow; ii<ibound; ii+=iincrement)
1247             {

```

```

1246         itilebound = (ii | imask);
1247         iup = (ibound < itilebound ? ibound : itilebound);
1248         for (k=kk; k<kup;k+=jkincrement)
1249         {
1250             kC = ((k >> logstep) & step_1);
1251             kfC = kkC | kC;
1252
1253             kplus1 = ((k+jkincrement==ktilebound) ? kk_plus_jkkincrement:k+
1254                 jkincrement);
1255             kplus1fC = ((kfC+iincrement==itilebound) ? kkC+iincrement:kfC+
1256                 iincrement);
1257             ilowDiv = (ii > kplus1fC ? ii : kplus1fC);
1258
1259             if (jj<=k && k<jtilebound && ii<=kfC && kfC<itilebound)
1260                 A[kfC|k]=sqrt(fabs(A[kfC|k]));
1261
1262             if (jj==jlow)
1263             {
1264                 for (i=ilowDiv; i<iup; i+=iincrement)
1265                     A[i|k]/=A[kfC|k];
1266             }
1267             jlow = (jj > kplus1 ? jj : kplus1);
1268             for (j=jlow; j<jup; j+=jkincrement)
1269             {
1270                 jC = ((j >> logstep) & step_1);
1271                 jfC = jjC | jC;
1272                 ilow = (ii > jfC ? ii : jfC);
1273
1274                 AjfC_k = A[jfC|k];
1275
1276                 iup_div = ilow + (iup-ilow)/4*4;
1277                 for (i=ilow; i<iup_div; i+=4)
1278                 {
1279                     A[i|j]-=A[i|k]*AjfC_k;
1280                     A[(i+1)|j]-=A[(i+1)|k]*AjfC_k;
1281                     A[(i+2)|j]-=A[(i+2)|k]*AjfC_k;
1282                     A[(i+3)|j]-=A[(i+3)|k]*AjfC_k;
1283                 }
1284
1285                 for (; i<iup; i++)
1286                     A[i|j]-=A[i|k]*AjfC_k;
1287             }
1288         }
1289     }
1290 }
1291 }
1292 myprfcnt_stop(cpus.pk[thread_args->pk].sib[thread_args->sib]);
1293 }
1294
1295 /* Function: cholesky_tiled_full_bdl_NN_smt_fine
1296 * SMT Architecture
1297 * cholesky_tiled_full_bdl_NN_smt_fine creates 2 threads using
1298 * thread_tiled_full_bdl_NN_smt_fine
1299 * and assigns these 2 threads to two logical processors of the same physical
1300 * package
1301 */
1302 void cholesky_tiled_full_bdl_NN_smt_fine(double *A, int N, int Nmask, int tile_size)
1303 {
1304     pthread_t tids[2];
1305     mm_thread_args_t t0, t1;
1306
1307     t0.pk = 0;
1308     t1.pk = 0;
1309     t0.sib = 0;
1310     t1.sib = 1;
1311
1312     t0.tid = 0;
1313     t1.tid = 1;
1314
1315     t0.N = t1.N = N;
1316     t0.Nmask = t1.Nmask = Nmask;
1317     t0.tile_size = t1.tile_size = tile_size;
1318     t0.A_1D = t1.A_1D = A;
1319     t0.n_threads = t1.n_threads = 2;
1320
1321     t0.spin_barrier_fine = t1.spin_barrier_fine = &spin_barrier_A2;
1322     spin_barrier_init(t0.spin_barrier_fine, 2);
1323
1324     pthread_create(&tids[0], NULL, thread_tiled_full_bdl_NN_fine_grain, (void *) &t0);
1325     pthread_create(&tids[1], NULL, thread_tiled_full_bdl_NN_fine_grain, (void *) &t1);
1326
1327     pthread_join(tids[0], NULL);

```

```

1326     pthread_join(tids[1], NULL);
1327 }
1328
1329 /* Function: cholesky_tiled_full_bdl_NN_smt_coarse
1330 * SMP Architecture
1331 * cholesky_tiled_full_bdl_NN_smt_coarse creates 2 threads using
1332   thread_tiled_full_bdl_NN_smt_coarse
1333 * and assigns these 2 threads to two logical processors of the same physical
1334   package
1335 */
1336 void cholesky_tiled_full_bdl_NN_smt_coarse(double *A, int N, int Nmask, int
1337   tile_size)
1338 {
1339     pthread_t tids[2];
1340     mm_thread_args_t t0, t1;
1341
1342     t0.pk = 0;
1343     t1.pk = 0;
1344     t0.sib = 0;
1345     t1.sib = 1;
1346
1347     t0.tid = 0;
1348     t1.tid = 1;
1349     t0.N = t1.N = N;
1350     t0.Nmask = t1.Nmask = Nmask;
1351     t0.tile_size = t1.tile_size = tile_size;
1352     t0.A_1D = t1.A_1D = A;
1353     t0.n_threads = t1.n_threads = 2;
1354
1355     t0.spin_barrier_coarse = t1.spin_barrier_coarse = &spin_barrier_A2;
1356     spin_barrier_init(t0.spin_barrier_coarse, 2);
1357
1358     pthread_create(&tids[0], NULL, thread_tiled_full_bdl_NN_coarse_grain, (void *) &
1359       t0);
1360     pthread_create(&tids[1], NULL, thread_tiled_full_bdl_NN_coarse_grain, (void *) &
1361       t1);
1362
1363     pthread_join(tids[0], NULL);
1364     pthread_join(tids[1], NULL);
1365 }
1366
1367 /* Function: cholesky_tiled_full_bdl_NN_smp_coarse
1368 * SMP Architecture
1369 * cholesky_tiled_full_bdl_NN_smp_coarse creates 2 threads using
1370   thread_tiled_full_bdl_NN_smp_coarse
1371 * and assigns these 2 threads to two logical processors of a different physical
1372   package
1373 */
1374 void cholesky_tiled_full_bdl_NN_smp_coarse(double *A, int N, int Nmask, int
1375   tile_size)
1376 {
1377     pthread_t tids[2];
1378     mm_thread_args_t t0, t1;
1379
1380     t0.pk = 0;
1381     t1.pk = 1;
1382     t0.sib = 0;
1383     t1.sib = 0;
1384
1385     t0.tid = 0;
1386     t1.tid = 1;
1387     t0.N = t1.N = N;
1388     t0.Nmask = t1.Nmask = Nmask;
1389     t0.tile_size = t1.tile_size = tile_size;
1390     t0.A_1D = t1.A_1D = A;
1391     t0.n_threads = t1.n_threads = 2;
1392
1393     t0.spin_barrier_coarse = t1.spin_barrier_coarse = &spin_barrier_A2;
1394     spin_barrier_init(t0.spin_barrier_coarse, 2);
1395
1396     pthread_create(&tids[0], NULL, thread_tiled_full_bdl_NN_coarse_grain, (void *) &
1397       t0);
1398     pthread_create(&tids[1], NULL, thread_tiled_full_bdl_NN_coarse_grain, (void *) &
1399       t1);
1400
1401     pthread_join(tids[0], NULL);
1402     pthread_join(tids[1], NULL);
1403 }
1404
1405 /* Function: cholesky_tiled_full_bdl_NN_smt_fine_smp_coarse
1406 * SMP Architecture
1407 * cholesky_tiled_full_bdl_NN_smt_fine_smp_coarse creates 2 groups of 2 threads
1408   using

```

```

1398 * thread_tiled_full_bdl_NN_smt_fine_smp_coarse
1399 * Each group is assigned to a different physical package and each thread of the
      group
1400 * to a different logical processor of the same physical package
1401 */
1402 void cholesky_tiled_full_bdl_NN_smt_fine_smp_coarse(double *A, int N, int Nmask, int
      tile_size)
1403 {
1404     pthread_t tids[4];
1405     mm_thread_args_t t0, t1, t2, t3;
1406
1407     t0.pk = 0; t0.sib = 0;
1408     t1.pk = 0; t1.sib = 1;
1409     t2.pk = 1; t2.sib = 0;
1410     t3.pk = 1; t3.sib = 1;
1411
1412     t0.tgid = 0; t0.tid = 0;
1413     t1.tgid = 0; t1.tid = 1;
1414     t2.tgid = 1; t2.tid = 0;
1415     t3.tgid = 1; t3.tid = 1;
1416
1417     t0.N = t1.N = t2.N = t3.N = N;
1418     t0.Nmask = t1.Nmask = t2.Nmask = t3.Nmask = Nmask;
1419     t0.tile_size = t1.tile_size = t2.tile_size = t3.tile_size = tile_size;
1420     t0.A_ID = t1.A_ID = t2.A_ID = t3.A_ID = A;
1421     t0.n_threads = t1.n_threads = t2.n_threads = t3.n_threads = 4;
1422
1423     t0.spin_barrier_coarse = t1.spin_barrier_coarse = \
1424         t2.spin_barrier_coarse = t3.spin_barrier_coarse = &spin_barrier_A4;
1425     t0.spin_barrier_fine = t1.spin_barrier_fine = &spin_barrier_A2;
1426     t2.spin_barrier_fine = t3.spin_barrier_fine = &spin_barrier_B2;
1427
1428     spin_barrier_init(&spin_barrier_A4, 4);
1429     spin_barrier_init(&spin_barrier_A2, 2);
1430     spin_barrier_init(&spin_barrier_B2, 2);
1431
1432     pthread_create(&tids[0], NULL, thread_tiled_full_bdl_NN_coarse_fine_grain, (void
1433         *) &t0);
1434     pthread_create(&tids[1], NULL, thread_tiled_full_bdl_NN_coarse_fine_grain, (void
1435         *) &t1);
1436     pthread_create(&tids[2], NULL, thread_tiled_full_bdl_NN_coarse_fine_grain, (void
1437         *) &t2);
1438     pthread_create(&tids[3], NULL, thread_tiled_full_bdl_NN_coarse_fine_grain, (void
1439         *) &t3);
1440
1441     pthread_join(tids[0], NULL);
1442     pthread_join(tids[1], NULL);
1443     pthread_join(tids[2], NULL);
1444     pthread_join(tids[3], NULL);
1445 }
1446
1447 /* Function: cholesky_tiled_full_bdl_NN
1448 * cholesky_tiled_full_bdl_NN creates 1 thread using thread_tiled_full_bdl_NN to
      implement the benchmark
1449 */
1450 void cholesky_tiled_full_bdl_NN(double *A, int N, int Nmask, int tile_size)
1451 {
1452     pthread_t tids[1];
1453     mm_thread_args_t t0;
1454
1455     t0.pk = 0; t0.sib = 0;
1456
1457     t0.N = N;
1458     t0.Nmask = Nmask;
1459     t0.A_ID = A;
1460     t0.tile_size = tile_size;
1461
1462     pthread_create(&tids[0], NULL, thread_tiled_full_bdl_NN, (void *) &t0);
1463     pthread_join(tids[0], NULL);
1464 }
1465
1466 /* Function: cholesky_tiled_full_bdl_NN_hopt
1467 * cholesky_tiled_full_bdl_NN_hopt creates 1 thread using
      thread_tiled_full_bdl_NN_hopt to implement the benchmark
1468 */
1469 void cholesky_tiled_full_bdl_NN_hopt(double *A, int N, int Nmask, int tile_size)
1470 {
1471     pthread_t tids[1];
1472     mm_thread_args_t t0;
1473
1474     t0.pk = 0; t0.sib = 0;
1475
1476     t0.N = N;
1477     t0.Nmask = Nmask;

```



```

1562
1563         for (i=1;i<N;i++)
1564             B_2D[i]=&B_2D[0][N*i];
1565
1566         for (i=0;i<N;i++)
1567             for (j=0;j<N;j++)
1568                 B_2D[i][j] = rand() % 100 + 1;
1569     }
1570     else {
1571         printf("Memory allocation failed!\n");
1572         exit(1);
1573     }
1574 }
1575
1576 gettimeofday(&start ,(struct timezone*) NULL);
1577
1578 switch ( optimization_level )
1579 {
1580     case 0:
1581         cholesky_column_major(B_2D, N);
1582         break;
1583     case 1:
1584         cholesky_column_major_smt_fine(B_2D, N);
1585         break;
1586     case 2:
1587         cholesky_tiled_full(B_2D, N, tile_size);
1588         break;
1589     case 3:
1590         cholesky_tiled_full_hopt(B_2D, N, tile_size);
1591         break;
1592     case 4:
1593         cholesky_tiled_full_smp_coarse(B_2D, N, tile_size);
1594         break;
1595     case 5:
1596         cholesky_tiled_full_smt_coarse(B_2D, N, tile_size);
1597         break;
1598     case 6:
1599         cholesky_tiled_full_smt_fine(B_2D, N, tile_size);
1600         break;
1601     case 7:
1602         cholesky_tiled_full_smt_fine_smp_coarse(B_2D, N, tile_size);
1603         break;
1604     case 12:
1605         cholesky_tiled_full_bdl_NN(B, N, Nsize, tile_size);
1606         break;
1607     case 13:
1608         cholesky_tiled_full_bdl_NN_hopt(B, N, Nsize, tile_size);
1609         break;
1610     case 14:
1611         cholesky_tiled_full_bdl_NN_smp_coarse(B, N, Nsize, tile_size);
1612         break;
1613     case 15:
1614         cholesky_tiled_full_bdl_NN_smt_coarse(B, N, Nsize, tile_size);
1615         break;
1616     case 16:
1617         cholesky_tiled_full_bdl_NN_smt_fine(B, N, Nsize, tile_size);
1618         break;
1619     case 17:
1620         cholesky_tiled_full_bdl_NN_smt_fine_smp_coarse(B, N, Nsize, tile_size
1621         );
1622         break;
1623     default:
1624         cholesky_column_major(B_2D, N);
1625 }
1626 gettimeofday(&finish ,(struct timezone*) NULL);
1627
1628 /* Show report */
1629 printf("%d\t%d\t%d\t",N , Nsize, tile_size);
1630 printf("%8.3lf\n", finish.tv_sec-start.tv_sec
1631         + (double)((finish.tv_usec-start.tv_usec >=0)?(finish.tv_usec-start
1632         .tv_usec):
1633         (1000000+finish.tv_usec-start.tv_usec))/1000000);
1634
1635 if ( optimization_level >= 10)
1636     free(B);
1637 else
1638     free(B_2D);
1639 }
1640 }

```

B'.3 Βοηθητικές Συναρτήσεις

B'.3.1 Μεθόδου MBaLt

Οι ακόλουθες συναρτήσεις βασίζονται στις συναρτήσεις της Ευαγγελίας Αθανασάκη.

```

1  /* MASK ADDRESSING for BLOCK DATA LAYOUT
2  * Based on Evaggelia Athanasaki's methods
3  *
4  * Different methods used to implement masked addressing for block data layouts
5  *
6  */
7
8  #include <math.h>
9
10 typedef enum {Zz=0, Nn, ZZ, NN, ZN, NZ} transform_type_def;
11 typedef enum {COL=0, ROW} colrow_type_def;
12
13 int lg(double x)
14 {
15     int l = 0;
16     while (x>1)
17     {
18         x/=2;
19         l++;
20     }
21     return l;
22 }
23
24
25 /* Function:  create_innmask
26 * Creates the mask for an inner loop, which can be used as the bound of the tile
27 */
28 int create_innmask(int step, transform_type_def type, colrow_type_def col_row)
29 {
30     int logstep;
31
32     logstep = lg(step);
33
34     switch (type) {
35     case Zz:
36         if (col_row==ROW) return (step-1);
37         else return ((step-1)<<logstep);
38     case Nn:
39         if (col_row==ROW) return ((step-1)<<logstep);
40         else return (step-1);
41     default:
42         return 0;
43     }
44 }
45
46 /* Function:  create_increment
47 * Creates the increment used to step between elements of the same tile
48 */
49 int create_increment(int step, transform_type_def type, colrow_type_def col_row)
50 {
51     int logstep;
52
53     logstep = lg(step);
54
55     switch (type) {
56     case Zz:
57         if (col_row==ROW) return 1;
58         else return (1<<logstep);
59     case Nn:
60         if (col_row==ROW) return (1<<logstep);
61         else return 1;
62     default:
63         return 0;
64     }
65 }
66
67 /* Function:  create_tileincrement
68 * Creates the increment used to step between tiles
69 */
70 int create_tileincrement(int N, int step, transform_type_def type, colrow_type_def
71     col_row)
72 {
73     int logstep, logNstep;
74
75     logstep = lg(step);
76     logNstep = lg(N/step);

```

```

77     switch (type) {
78     case Zz:
79         if (col_row==ROW) return (1<<(2*logstep));
80         else return (1<<(2*logstep+logNstep));
81         break;
82     case Nn:
83         if (col_row==ROW) return (1<<(2*logstep+logNstep));
84         else return (1<<(2*logstep));
85     default:
86         return 0;
87     }
88 }
89
90 /* Function:  create_mask
91 * Creates the mask for an outer loop, which can be used as the bound of the loop
92   space
93 */
94 int create_mask(int N, int Nmask, int step, transform_type_def type, colrow_type_def
95   col_row)
96 {
97     int logstep, logNstep, Nstep;
98     Nstep = Nmask / step;
99     logstep = lg(step);
100    logNstep = lg(Nstep);
101    N=N-1;
102    switch (type) {
103    case ZZ:
104        if (col_row==COL) return (((N&(step-1))<<logstep)|((N&((Nstep-1)<<logstep))
105          <<(logstep+logNstep)));
106        else return (((N&(step-1))|((N&((Nstep-1)<<logstep))<<logstep));
107    case NN:
108        if (col_row==COL) return (((N&(step-1))|((N&((Nstep-1)<<logstep))<<logstep))
109          );
110        else return (((N&(step-1))<<logstep)|((N&((Nstep-1)<<logstep))<<(logstep
111          +logNstep)));
112    case ZN:
113        if (col_row==COL) return (((N&(step-1))<<logstep)|((N&((Nstep-1)<<logstep))
114          <<logstep));
115        else return (((N&(step-1))|((N&((Nstep-1)<<logstep))<<(logstep+logNstep))
116          );
117    case NZ:
118        if (col_row==COL) return (((N&(step-1))|((N&((Nstep-1)<<logstep))<<(logstep+
119          logNstep)));
120        else return (((N&(step-1))<<logstep)|((N&((Nstep-1)<<logstep))<<logstep)
121          );
122    default:
123        return 0;
124    }
125 }
126
127 /* Function:  apply_mask
128 * Dilates a number using a mask
129 * this function is deprecated and is no more used
130 */
131 int apply_mask(unsigned long int number, unsigned long int mask)
132 {
133     unsigned long int temp_mask, apply_bit, result;
134     int mask_length, i;
135     result = 0;
136     temp_mask=mask;
137     mask_length=1;
138     while ((temp_mask >>= 1) > 0)
139         mask_length++;
140     mask <<= mask_length ;
141     apply_bit = 1 << mask_length;
142     for (i = 1; i <= mask_length; i++) {
143         if ((apply_bit & mask) == apply_bit) {
144             if ((number & 1) == 1)
145                 result = result | apply_bit;
146             number >>= 1;
147         }
148         result >>= 1;
149         mask >>= 1;
150     }
151     return result;
152 }
153
154 /* Function:  displayBits
155 * Prints the binary representation of a number
156 */

```

```

153 void displayBits(unsigned long int value, int length)
154 {
155     unsigned c, displayMask = 1 << length-1;
156     printf("%7u==", value);
157
158     for (c = 1; c <= length; c++) {
159         putchar(value & displayMask ? '1' : '0');
160         value <<= 1;
161     }
162
163     putchar('\n');
164 }
165 }

```

B'.3.2 CPU Affinity

```

1  #ifndef __AFF_H_
2  #define __AFF_H_
3
4  /* processor id type
5   * each logical processor has its own id, which is defined by the OS
6   */
7  typedef int cpu_t;
8
9  /* number of physical packages-processors in the cluster */
10 #define NPACKAGES 2
11
12 /* siblings: the logical processors found in one physical package */
13 #define NSIBLINGS 2
14
15 /* physical package type */
16 struct pkginfo {
17     cpu_t sib[NSIBLINGS];
18 };
19
20 /* Cluster processor info */
21 struct cpuinfo {
22     struct pkginfo pk[NPACKAGES];
23 };
24
25 extern void run_on_cpu(cpu_t);
26 extern void run_on_cpus(int);
27 #endif

```

```

1  #include <sys/types.h>
2  #include <linux/unistd.h>
3  #include "aff.h"
4  _syscall0(pid_t, gettid);
5  _syscall3(int, sched_setaffinity, pid_t, pid, unsigned int, len, unsigned long *, maskptr)
6
7  void run_on_cpu(cpu_t cpu)
8  {
9     unsigned long mask;
10    unsigned int len = sizeof(mask);
11    mask = 1<<cpu;
12    if (sched_setaffinity(gettid(), len, &mask))
13        printf("ERROR: Process %d not bound successfully on processor %d\n", gettid(),
14              cpu);
15 }
16
17 void run_on_cpus(cpu_t msk)
18 {
19     unsigned long mask=msk;
20     unsigned int len = sizeof(mask);
21     sched_setaffinity(gettid(), len, &mask);
22 }

```

B'.3.3 Spin-Locks

Ο ακόλουθος κώδικας είναι προσφορά του Νικόλαου Αναστόπουλου.

```

1  #ifndef __SPIN_H_
2  #define __SPIN_H_
3
4  #include <asm/unistd.h>
5
6  /***** spin-locks *****/
7
8  #define LOCK_PREFIX "lock;"

```

```

9  typedef volatile long spin_t;
10
11 #define spin_init spin_unlock
12
13 #if defined NOP
14 # define SPIN_INSTR    "rep;_nop"
15 #elif defined PAUSE
16 # define SPIN_INSTR    "pause"
17 #endif
18
19 /***** barriers *****/
20 struct spin_barrier_s {
21     spin_t lock;
22     spin_t release_flag;
23     int current_count;
24     int total;
25 };
26 typedef struct spin_barrier_s spin_barrier_t;
27
28
29
30 extern void spin_lock(spin_t *spin_var);
31 extern void spin_unlock(spin_t *spin_var);
32 extern void spin_on_condition(spin_t *spin_var, const int condition_val);
33
34 extern void spin_barrier_init(spin_barrier_t *sb, int total);
35 extern void spin_barrier_init_lsense(int *lsense);
36 extern void spin_barrier_lsense(spin_barrier_t *sb, int *lsense);
37
38 #endif

1  #include "spin.h"
2
3  inline void spin_lock(spin_t *spin_var)
4  {
5      __asm__ __volatile__ (" \n"
6
7
8          " 1:\tmovl_$1,_%eax\n\t"
9          " xchgl_0,_%eax\n\t"
10         " cmpl_$0,_%eax\n\t"
11         " jne_2f\n\t"
12         " jmp_3f\n\t"
13         " 2:\t SPIN_INSTR \n\t"
14         " cmpl_$0,%0\n\t"
15         " jne_2b\n\t"
16         " jmp_1b\n\t"
17         " 3:\t\n\t"
18         : "=m" (*spin_var)
19         : "m" (*spin_var)
20         : "%eax", "memory"
21         );
22  }
23
24 inline void spin_unlock(spin_t *spin_var)
25 {
26     __asm__ __volatile__ (" movl_$0,_%0" \
27                          : "=m" (*spin_var));
28 }
29
30
31 /***** barriers *****/
32 inline void spin_on_condition(spin_t *spin_var, const int condition_val)
33 {
34     __asm__ __volatile__ (" \n"
35                          " cmpl_%1,_%0\n\t"
36                          " je_2f\n\t"
37                          " 1:\tpause\n\t"
38                          " cmpl_%1,_%0\n\t"
39                          " jne_1b\n\t"
40                          " 2:\t\n\t"
41                          :
42                          : "m" (*spin_var), "ir" (condition_val)
43                          );
44 }
45
46
47 inline void spin_barrier_init(spin_barrier_t *sb, int total)
48 {
49     spin_init(&(sb->lock));
50     sb->release_flag = 0;
51     sb->current_count = 0;
52     sb->total = total;
53 }
54
55 inline void spin_barrier_init_lsense(int *lsense)
56 {

```

```
57     *lsense = 0;
58 }
59
60
61 /*
62  * BARRIER (with local sense)
63  *
64  */
65 inline void spin_barrier_lsense(spin_barrier_t *sb, int *lsense)
66 {
67     *lsense = ~(*lsense);
68
69     spin_lock(&(sb->lock));
70     (sb->current_count)++;
71     if (sb->current_count == sb->total) {
72         sb->current_count = 0;
73         sb->release_flag = *lsense;
74     }
75     spin_unlock(&(sb->lock));
76     spin_on_condition(&(sb->release_flag), *lsense);
77 }
```

Βιβλιογραφία

- [1] E. Athanasaki, N. Anastopoulos, K. Kourtis και N. Koziris. On prefetching and tlp performance limits for optimized memory intensive applications on smt processors. 2005.
- [2] E. Athanasaki και N. Koziris. Fast indexing for blocked array layouts to improve multi-level cache locality. Στο *Proceedings of the 8-th Workshop on Interaction between Compilers and Computer Architectures, in conjunction with HPCA-10*, Madrid, Spain, Φεβρουάριος 2004.
- [3] E. Athanasaki, N. Koziris και P. Tsanakas. A tile size selection analysis for blocked array layouts. Στο *Proceedings of the 9-th Workshop on Interaction between Compilers and Computer Architectures (INTERACT-9), in conjunction with the 11th International Symposium on High-Performance Computer Architecture (HPCA-11)*, σελίδες 70–80, San Francisco, CA, Φεβρουάριος 2005.
- [4] D. Burger και T. Austin. The simplescalar tool set, version 2.0, 1997.
- [5] S. Chatterjee, V.V. Jain, A.R. Lebeck, S. Mundhra και M. Thottethodi. Nonlinear array layouts for hierarchical memory systems. Στο *Proceedings of the 13th ACM International Conference in Supercomputing*, Ιούνιος 1999.
- [6] M. Cierniak και W. Li. Unifying data and control transformations for distributed shared-memory machines. Στο *Proceedings of the ACM SIGPLAN '95 Conference on Programming Language Design and Implementation*, La Jolla, California, USA, Ιούνιος 1995.
- [7] J. L. Hennessy και D. A. Patterson. *Computer Architecture. A Quantitative Approach, 3rd edition*. Morgan Kaufmann Publications, San Francisco, 2002.
- [8] M. Jiminez. *Multilevel tiling for non-rectangular iteration spaces*. Διακτορική Διατριβή, Universitat Politecnica de Catalunya, Μάιος 1999.
- [9] M. Kandemir, J. Ramanujam και A. Choudhary. Improving cache locality by a combination of loop and data transformations. *IEEE Transactions on Computers*, 48(2):159–167, Φεβρουάριος 1999.
- [10] M. S. Lam, E. E. Rotheberg και M. E. Wolf. The cache performance and optimizations of blocked algorithms. Στο *Proceedings of the 1991 ACM SIGMOD International Conference on Management of Data*, Denver, Colorado, Μάιος 1991.

- [11] J. L. Lo, S. J. Eggers, J. S. Emmer, H. M. Levy, R. L Stamm και D. M. Tullsen. Converting thread-level parallelism to instruction-level parallelism via simultaneous multithreading. *ACM Transactions on Computer Systems*, 15(03):322–354, Αύγουστος 1997.
- [12] J. L. Lo, S. J. Eggers, H. M. Levy, S. S. Parekh και D. M. Tullsen. Tuning compiler optimizations for simultaneous multithreading. Στο *IEEE Proceedings of Micro-30*, Research Triangle Park, North Carolina, Δεκέμβριος 1997.
- [13] D. T. Marr, F. Binns, D. L. Hill, G. Hinton, D. A. Koufaty, J. A. Miller και M. Upton. Hyper-threading technology architecture and microarchitecture. *Intel Technology Journal*, 06(01):4–15, Φεβρουάριος 2002.
- [14] K. S. McKinley, S. Carr και C. W Tseng. Improving data locality with loop transformations. *ACM Transactions on Programming Languages and Systems*, 18(04):424–453, Ιούλιος 1996.
- [15] M. F.P. O’Boyle και P. M.W. Knijnenburg. Nonsingular data transformations: Definition, validity, and applications. *International Journal of Parallel Programming*, 27(3):131–159, 1999.
- [16] Ε. Αθανασάκη. Μεθόδοι Βελτιστοποίησης για την Εκτέλεση Αλγορίθμων σε Αρχιτεκτονικές Υπολογιστών με Αξιοποίηση της Ιεραρχίας Μνήμης. Διπλωματική εργασία Master, Εθνικό Μετσόβιο Πολυτεχνείο, 2002.
- [17] N. Tuck και D. M. Tullsen. Initial observations of the simultaneous multithreading pentium 4 processor. Στο *Proceedings of 12th Intel Conference on Parallel Architectures and Compilation Techniques*, Σεπτέμβριος 2003.
- [18] M. E. Wolf και M. S. Lam. A data locality optimizing algorithm. Στο *Proceedings of the ACM SIGPLAN ’91 Conference on Programming Language Design and Implementation*, σελίδες 30–44, Toronto, Ontario, Canada, Ιούνιος 1991.

Ευρετήριο

- CPU affinity, 96
- MBaLt, 54
- block data layout, 53
- compiler prefetching, 23
- hardware prefetching, 33
- thash, 26
- thread, 22

- αντικατάσταση ενότητας
 - η πιο πρόσφατα χρησιμοποιούμενη, 20
 - με βάση το χρόνο παραμονής, 20
 - τυχαία επιλογή, 20
- αντιστοιχηση δεδομένων, 47
- αρχή της τοπικότητας της αναφοράς, 14, 17
 - χρονική τοπικότητα, 17
 - χωρική τοπικότητα, 17

- δεικτοδότηση Morton, 55
- διάνυσμα δεικτών, 46
- διάνυσμα επανάληψης, 28
- διάνυσμα εξάρτησης, 30
- διάταξη ενοτήτων, 53
- δισεταλμένοι ακέραιοι, 55

- εύρος ζώνης, 18
- εικονική μνήμη, 25
 - αριθμός εικονικής σελίδας, 25
 - προσωρινός καταχωρητής μετάφρασης (TLB), 26
 - αστοχία TLB, 26
 - επιτυχία TLB, 26
 - σελίδα, 25
- επαναχρησιμοποίηση, 32
 - αυτο-χρονική, 33
 - αυτο-χωρική, 33
 - διάνυσμα επαναχρησιμοποίησης, 33
 - ομαδο-χρονική, 33
 - ομαδο-χωρική, 33
- εξάρτηση δεδομένων
 - γράφος εξάρτησης χώρου επαναλήψεων, 30
 - λεξικογραφικά θετική, 30
- εξαρτήσεις δεδομένων, 29
 - ανάγνωση μετά από ανάγνωση, 30
 - ανάγνωση μετά από εγγραφή, 29
 - ανεξάρτητη βρόχων, 30
 - αντι-εξάρτηση, 29
 - βρόχος μεταφοράς εξάρτησης, 30
 - εγγραφή μετά από ανάγνωση, 29
 - εγγραφή μετά από εγγραφή, 30
 - εξάρτηση εισόδου, 30
 - εξάρτηση εξόδου, 30
 - πραγματική εξάρτηση, 29

- φωλιασμένοι βρόχοι, βλέπε σύστημα τέλειων φωλιασμένων βρόχων

- ιεραρχία μνήμης, 14

- καθυστέρηση απόκρισης, 18
- κρυφή μνήμη, 14, 17
 - compiler prefetching, 23
 - hardware prefetching, 23
 - αριθμός λέξης, 20
 - αστοχία, 17
 - χωρητικότητας, 22
 - σύγκρουσης, 22
 - υποχρεωτική, 21
 - βελτιστοποίηση επίδοσης
 - απομονωτής εγγραφής, 22
 - χωρίς - μπλοκάρισμα, 22
 - δείκτης, 20
 - εγγραφή ενότητας
 - δι-εγγραφή, 21
 - εγγραφή με παραχώρηση, 21

- εγγραφή χωρίς παραχώρηση, 21
- επανεγγραφή, 21
- επιτυχία, 17
- ετικέτα, 19
- ευθείας αντιστοίχισης, 18
- θυμάτων, 23
- μπιτ εγκυρότητας, 19
- μπιτ τροποποίησης, 21
- πλήρως συσχετιστική, 18
- χωρίς - μπλοκάρισμα, 22
- συσχέτισης συνόλου, 18
- λεπτοκομμένη διαμέριση εργασίας, 91
- λεξικογραφική διάταξη, 29
- μετασχηματισμός δεδομένων, 47
- μετασχηματισμοί βρόχων, 24
 - έγκυρος, 34
 - inner unrolling, 37
 - scalar replacement, 37
 - strip mining, 37
 - tiling, 24, 38
 - ανάθεση μεταβλητών σε καταχωρητές, 37
 - αναστροφή, 35
 - ανταλλαγή, 34
 - βύθισης κώδικα, 27
 - διάσπαση, 37
 - διάταξη φθίνουσας μνήμης, 114
 - μετάθεση, 34
 - περιστροφή, 35
 - πλήρως μεταθέσιμοι, 35
 - πλακόστρωση, 24, 38
 - συγχώνευση, 36
- μετασχηματισμοί δεδομένων, 24
 - βλέπε διάταξη ενοτήτων 53
 - unimodular, 51
 - διάταξη Morton, 54
 - διεύρυνση, 51
 - εγκυρότητα, 52
 - ολίσθηση, 51
 - συμπίεση, 51
- μηχανισμοί συγχρονισμού, 97
 - barriers, 97
 - spin locks, 97
- νήμα, 96
- πολυνημάτωση, 85
 - λεπτοκομμένη, 86
 - χοντροκομμένη, 86
 - ταυτόχρονη πολυνημάτωση βλέπε ταυτόχρονη πολυνημάτωση (SMT) 86
- χώρος δεικτών, 46
- χώρος επαναλήψεων, 28
- χοντροκομμένη διαμέριση εργασίας, 91
- σύστημα τέλειων φωλιασμένων βρόχων, 27
- τέλεια φωλιασμένοι βρόχοι, βλέπε σύστημα τέλειων φωλιασμένων βρόχων
- ταυτόχρονη πολυνημάτωση (SMT), 86
- τοπικότητα, 32
- υπερχείληση TLB, 26